

ISSN 2432-6046

Photon Factory
2024年度 年報

ANNUAL REPORT 2024

KEK Progress Report 2025-5

© High Energy Accelerator Research Organization (KEK), 2026

KEK Reports are available from:

High Energy Accelerator Research Organization (KEK)
1-1 Oho, Tsukuba-shi
Ibaraki-ken, 305-0801
JAPAN

Phone: +81-29-864-5137
Fax: +81-29-864-4604
E-mail: irdpub@mail.kek.jp
Internet: <https://www.kek.jp/en>

目 次

1. 施設運営	3
1-1. 組織	4
1-2. 予算	6
1-3 運転	7
1-4. 利用	9
1-5. 産業利用	13
1-6. 教育・人材育成	15
1-7. 機関連携	17
1-8. 研究会・セミナー	19
1-9. 広報・アウトリーチ	21
1-10. 外部資金	23
1-11. 次期計画	25
2. 加速器第六研究系（光源）	26
2-1. 概要	27
2-2. 活動内容	29
2-3. 今後の展望	33
3. 放射光実験施設	34
3-1. 運営部門	35
3-2. 基盤技術部門	36
3-3. 測定装置部門	38
4. 放射光科学研究系	40
4-1. 表面科学研究部門	41
4-2. 固体物理学研究部門	43
4-3. 構造生物学研究部門	45
4-4. 材料科学研究部門	47
5. ビームライン	50
ビームラインマップ、分科別ビームラインリスト	51
BL-2A/B MUSASHI：表面・界面光電子分光、広エネルギー帯域軟X線分光	54
BL-28A/B 可変偏光 VUV・SX 不等間隔平面回折格子分光器 高分解能角度分解光電子分光実験ステーション	55
BL-3B 真空紫外光電子分光ステーション	57
BL-13A/B 表面化学研究用真空紫外軟X線分光ステーション	59
BL-16A 可変偏光軟X線分光ステーション	61
BL-7A 軟X線分光（XAFS, XPS）ステーション	63
BL-12A 広波長域軟X線ビームライン	64
BL-20A 3 m直入射型分光器	65
BL-27A 放射性試料用軟X線実験ステーション	66
BL-19A/B 軟X線顕微・分光実験ステーション	67
BL-3A 極限条件下精密単結晶X線回折ステーション	69
BL-4B2 多連装粉末X線回折装置	70
BL-4C 精密単結晶X線回折ステーション	72
BL-6C X線回折・散乱実験ステーション	73
BL-7C 汎用X線ステーション	74

BL-8A/8B	多目的極限条件下ワイセンベルグカメラ	75
BL-10A	鉱物・合成複雑単結晶構造解析	76
BL-14A	単結晶構造解析／検出器開発ステーション	78
BL-18B	Multipurpose Monochromatic Hard X-ray Station	79
BL-4A	蛍光X線分析／マイクロビーム分析	80
BL-9A	XAFS（高強度）実験ステーション	81
BL-9C	XAFS（その場）実験ステーション	82
BL-12C	XAFS（ハイスループット）実験ステーション	83
BL-15A1	XAFS（セミマイクロビーム）実験ステーション	84
BL-27B	放射性試料用X線実験ステーション	87
AR-NW2A	時間分解DXAFS／X線顕微鏡	88
AR-NW10A	XAFS（高エネルギー）実験ステーション	90
BL-1A	タンパク質結晶構造解析ステーション	91
BL-5A	タンパク質結晶構造解析ステーション	92
BL-17A	タンパク質結晶構造解析ステーション	93
AR-NE3A	タンパク質結晶構造解析ステーション	94
AR-NW12A	タンパク質結晶構造解析ステーション	95
BL-6A	X線小角散乱ステーション	96
BL-10C	X線小角散乱ステーション	97
BL-15A2	高輝度X線小角散乱実験ステーション	98
BL-18C	超高压粉末X線回折計	100
AR-NE1A	レーザー加熱超高压実験ステーション	101
AR-NE5C	高温高压実験ステーション／MAX80	102
AR-NE7A	X線イメージングおよび高温高压実験ステーション	103
AR-NW14A	ピコ秒時間分解X線回折・散乱・分光	105
BL-3C	X線光学素子評価／白色磁気回折ステーション	106
BL-14B	精密X線光学実験ステーション	107
BL-14C	X線イメージングおよび汎用X線実験ステーション	108
BL-20B	白色・単色X線トポグラフィ／X線回折実験ステーション	110

6. PFスタッフの研究成果 111

7. 登録論文の被引用数 120

【付録】 132

付録1. 低速陽電子実験施設	133
付録2. PFの活動に関する統計データ（ビームタイムの配分状況 評点別データ）	139
付録3. ビームラインの性能仕様一覧	145

1. 施設運営

1-1. 組織

フォトンファクトリー（PF）は、大学共同利用機関法人・高エネルギー加速器研究機構（KEK）・物質構造科学研究所（IMSS）放射光実験施設が、同研究所放射光科学第一研究系・第二研究系、加速器研究施設加速器第六研究系、その他の機構内の各組織とともに運営する放射光施設である（図 1-1）。各組織の概要は以下の通りである。詳細は第 2 章から第 4 章に記載されている。

放射光実験施設には運営、基盤技術、測定装置の 3 部門、放射光科学第一研究系には表面科学と固体物理学の 2 研究部門、放射光科学第二研究系には構造生物学と材料科学の

2 研究部門が置かれている。また、物質構造科学研究所には、横断的な組織として、構造生物学研究センター（SBRC）と量子ビーム連携研究センター（CIQuS）が置かれていたが、2023 年度からは新領域開拓室が新設された。

光源加速器の整備・高度化は、加速器研究施設の加速器第六研究系が担当している。また、将来光源につながる加速器科学研究や技術開発を推進している。2023 年度から系内のグループ体制を少し変更し、光源第 1 グループから第 7 グループまで、7 つのグループとした。

図 1-2 に、フォトンファクトリーの詳細な組織図を示す。

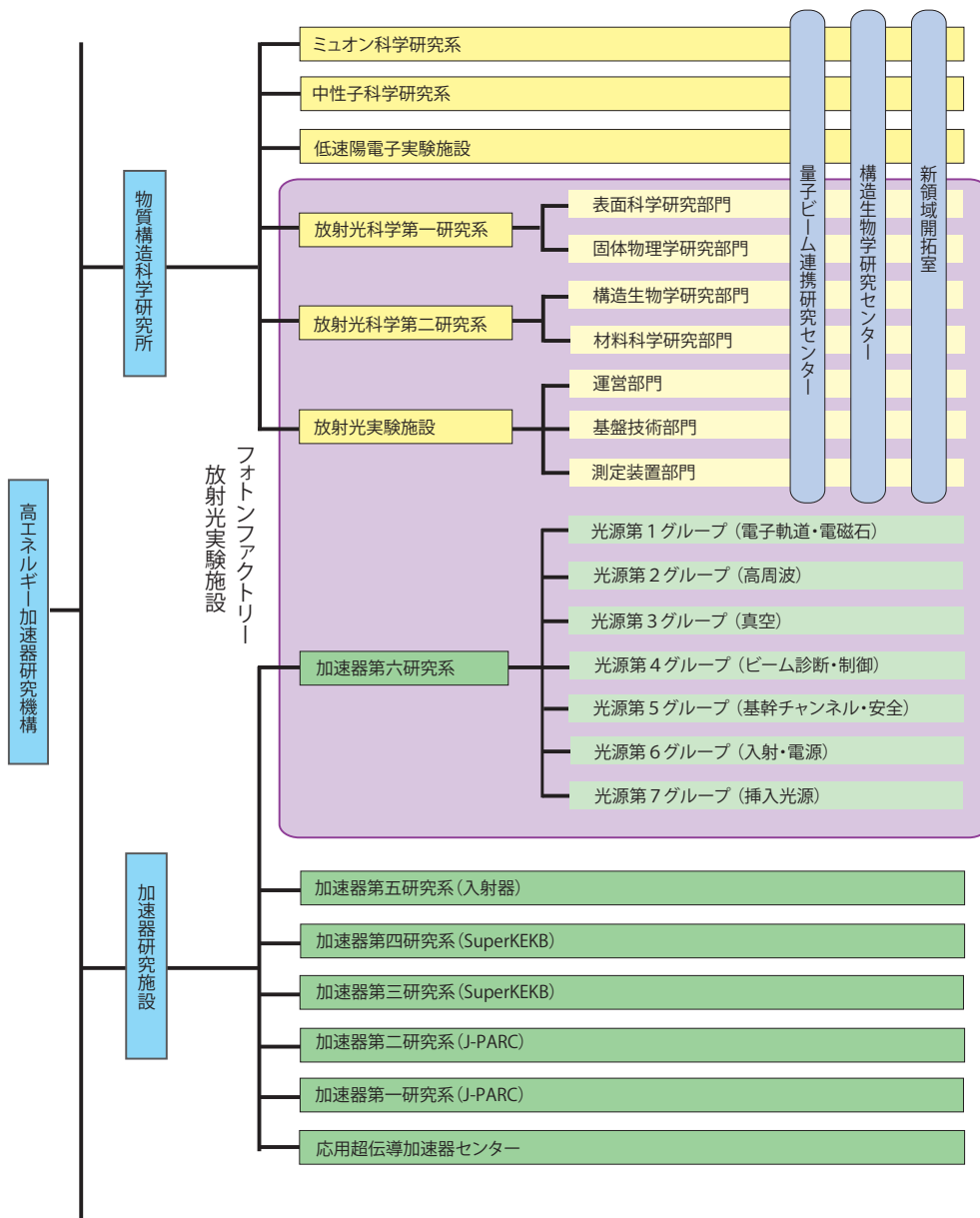


図 1-1 放射光実験施設 フォトンファクトリー の組織（2024 年度）



図 1-2 詳細組織図（2024 年度）

1-2. 予算

2021 年度まで「フォトンファクトリーによる物質と生命の探究」の予算は、大規模学術フロンティア促進事業のプロジェクト経費として、運営費交付金および先端研究推進費補助金で措置されており、2021 年度配分額は 1,835,916 千円であった。プロジェクト経費の配分額は 15 年前の約 59% まで減少している。2022 年度からは放射光実験の予算は基幹経費化されることとなり、2022 年度は 2021 年度と同額の 1,835,916 千円、2023 年度からは毎年 1% 減の 1,817,557 千円（2023 年度）、1,799,382 千円（2024 年度）とされ、2025 年度も同様に 1% 減の 1,781,387 千円

となっている。電気代や物価の高騰もあり、予算的に非常に厳しい状況が続いているが、機構長裁量による機構内の配分と自己収入（施設利用料見合）を加えることで、運転時間ができる限り確保するよう努力している。2024 年度も施設整備補助金（光源加速器の安定化・老朽化対策、開発研究多機能ビームラインの整備）を要求したが措置されなかった。開発研究多機能ビームラインの整備については、2024 年度は機構長裁量による機構内の配分が 120,000 千円あり、残りの不足分に関しても機構からの支援を受けて建設を進めることができた。

1-3. 運転

2024 年度のフォトンファクトリーの 2 つの放射光源加速器 (PF リングおよび PF-AR) の運転スケジュールを図 1-3 に示す。2024 年度の年間の全加速器運転時間は PF リングが 4,440 時間、PF-AR が 2,976 時間、ユーザ一運転の時間は PF リングが 3,848 時間、PF-AR が 2,424 時間であり、

予算が減少する中で 2021 年度と同程度以上とすることことができた。なお、運転時間には「産業利用促進運転日」を含んでいるが、詳しいことは 1-5. 産業利用の項で触れる。図 1-4 に PF リングおよび PF-AR の過去の利用運転時間統計を示す。

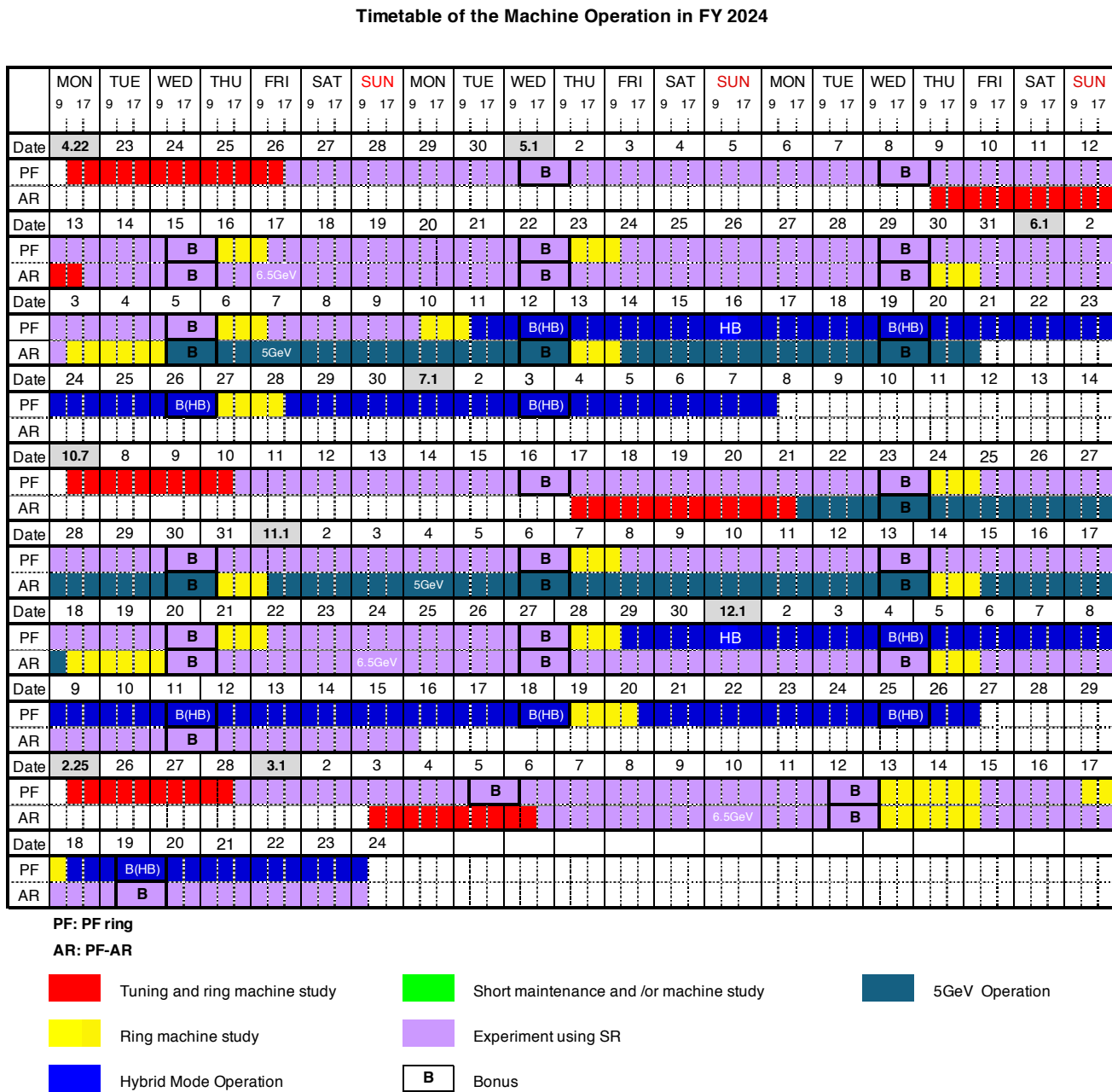


図 1-3 2024 年度の PF および PF-AR の運転スケジュール

2011年度のPFユーザー運転時間減少は東日本大震災による被災と復旧作業によるもの、2014年度の減少はプロジェクト経費の減額と電気料金の高騰によるもの、2016年度のPF-ARユーザー運転時間の減少は、PF-AR直接入射路工事によるものである。2020年度は、新型コロナウイ

ルス感染症の拡大に伴う第I期の運転中止のため運転時間が大幅に減少したが、2021年度以降は運転時間を大幅に回復させることができた。2023年度は、前年度から延期していた入射器の加速管更新作業時間確保のために夏期の停止期間が例年より長く、運転時間が減少した。

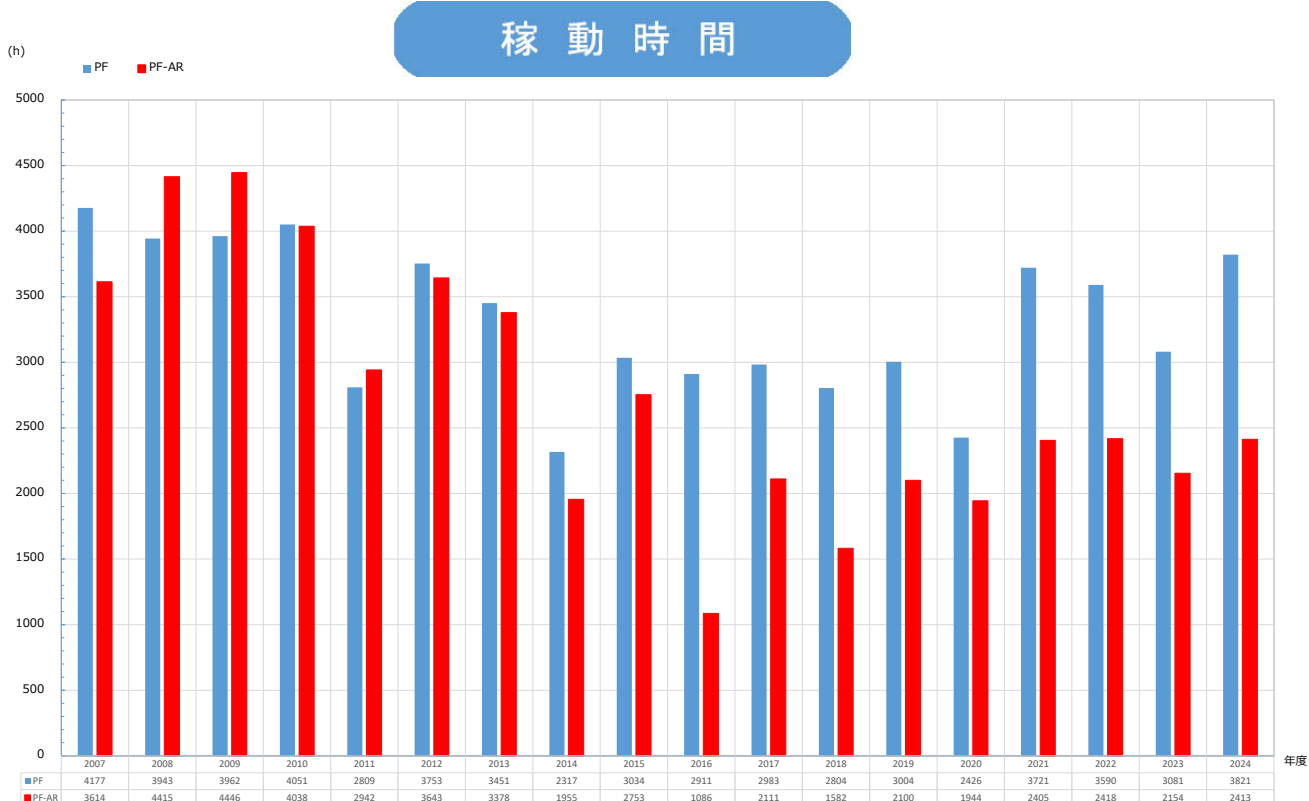


図1-4 ユーザー実験に供された運転時間統計

1-4. 利用

大学共同利用機関法人である KEK の放射光施設フォトンファクトリーの利用の中心は無償・成果公開の学術利用である「共同利用実験」であるが、その他にも様々な利用制度を用意している。

(1) 放射光共同利用実験

放射光共同利用実験は成果公開の学術利用であり、放射光共同利用実験審査委員会（PF-PAC）における課題審査を経て無償で利用できる制度である。実験課題は半年ごとに公募する G 型（一般：2 年間有効）、S2 型（特別：3 年間有効）、T 型（大学院生奨励）の他、随時受付の U 型（緊急重要）、P 型（初心者）、S1 型（装置整備を含む）に分類されている。2024 年度に実施された課題数は、G 型 671 件、S2 型 8 件、T 型 4 件、U 型 1 件、P 型 21 件であった。採択された課題の課題名は、PHOTON FACTORY NEWS 及び PF のウェブサイトで公開しているが、2024 年度中に有効であった S 型課題のリストを表 1-1 に示す。

(2) マルチプローブ共同利用実験

物質構造科学研究所では、放射光、中性子、ミュオン、低速陽電子の 4 種の量子ビームを複合的に利用するマルチプローブ実験を推進しており、物構研の複数の量子ビーム

を利用する実験課題をマルチプローブ共同利用実験課題として公募している。2021 年度からは「エキスパートタイプ」（有効期間 3 年）と「スタンダードタイプ」（有効期間 1 年）の募集が開始されている。2024 年度の放射光を利用する有効課題は、前年度までに採択された 2 件に加えて、新規スタンダードタイプ 2 件の合わせて 4 課題が有効で放射光実験が実施された。

(3) PF 課題

施設戦略の可視化、創出成果の最大化、共同利用実験課題以外へのビームタイム配分の明確化などを目的として、従来の「所内優先課題」や「施設留保課題」を整理した PF スタッフを対象とする「PF 課題」の運用が 2021 年度から開始されている。PF として推進すべき課題（技術開発や分野開拓など）として位置づけられた PF-S 課題と PF-G 課題（利用研究の推進）、PF-T 課題（教育・人材育成の推進）、PF-SBRC (PF-B) 課題（構造生物学研究センターの研究推進）、PF-CIQuS (PF-Q) 課題（量子ビーム連携研究センターの研究推進）が設定されている。2024 年度に実施された PF 課題は、PF-G 22 件、PF-T 7 件、PF-B 20 件、PF-Q 4 件であった。

表 1-1 2024 年度に有効であった S 型課題一覧

課題番号	実験責任者（所属）	課題名	ステーション
2021S2-002	組頭 広志 (東北大学 多元物質科学研究所)	オペラント ARPES による新原理モットトランジスタの開発	28A/B, 2A/B
2021S2-003	小澤 健一 (KEK 物構研)	顕微軟 X 線分光による機能性材料の電子状態可視化と物性・反応との相関研究	13A/B, 3B
2021S2-004	山崎 裕一 (物質・材料研究機構)	トポロジカル磁性体における位相欠陥と拡張多極子の動的構造可視化	11B, 13A/B, 16A, 2A/B, 3A, 4C, 8A
2022S2-001	木村 正雄 (KEK 物構研)	マルチスケール X 線顕微鏡法のデジタルツイン解析による高度化	AR-NW2A, 19A/B, 15A1, 9A, 9C, 12C, AR-NW10A
2023S2-001	高橋 嘉夫 (東京大学 大学院理学系研究科)	STXM を用いた小惑星リュウグウ研究の深化や生命進化研究の推進	19A/B
2024S2-001	佐藤 宇史 (東北大学 大学院理学研究科)	マイクロ ARPES による原子層物質における微細電子構造の解明	28A/B
2024S2-002	松村 武 (広島大学 大学院先進理工系科学研究科)	アシンメトリ量子物質における奇 parity 多極子の観測と非対角物性応答	12A, 13A/B, 16A, 19A/B, 3A, 4C, 8A
2024S2-003	組頭 広志 (東北大学 多元物質科学研究所)	放射光可視化に立脚した透明モットメモリの開発	28A/B, 2A/B

(4) その他のビーム利用

上記以外のビーム利用課題として、民間等共同研究課題（C型：PFスタッフと外部機関の研究者による共同研究）と有償利用である一般施設利用課題（Y型）、国又は国が所管する独立行政法人その他これに準ずる機関が推進するプロジェクトとして採択された研究課題の実験を行うための優先施設利用課題（V型）、初めての放射光利用を支援するための試行施設利用課題（L型）が設定されている。2024年度には、C型5件、Y型36件、L型8件の利用があった。V型の実施はなかった。また、インドビームライン（BL-18B）のインド国内研究者の利用は協定により行われており、2024年度は20件の課題が実施された。

(5) ビームタイム配分

ビームタイムの配分は、年間を4月～7月、10月～12月、1月～3月の3期に分け、期ごとにPF-PACの分科に対応したビームライン群で検討される。その際、共同利用実験以外の有償利用とPF課題の合計が全ビームタイムの25%を超えないように定められている。

2024年度に有効であった共同利用実験課題の評点分布と、ビームライン毎のビームタイムの配分状況の詳細については、「付録2 PFの活動に関する統計データ」にまとめた。

(6) 有効実験課題数と登録ユーザー数

図1-5に、2009年度から2024年度の有効実験課題数と登録ユーザー数の推移を示す。2024年度の全ユーザー数は2,580人であり、2022、2023年度と同程度だったが、2019年度以前よりは減少している。これは新型コロナウイルス感染症対策として、ユーザーがPFに来所しないリモート測定実験・全自動測定実験の割合が増加したことによる（来所しないユーザーは放射線業務従事者登録手続きや共同利用者宿泊施設の申し込み等が不要なため、ユーザー登録しない場合が多い）。登録ユーザーの地域分布を図1-6に示す。

(7) 利用実験による研究成果（学術論文登録状況）

KEK研究成果管理システムに登録された「PFを利用した2024年に学術誌等に掲載された論文」数は、2025年7月末現在の集計で、507報であり、PF創設以来の累計は約21,700件に達した。PFの研究成果として登録された論文数の年度推移を図1-7に示す。PFスタッフが著者に含まれる論文のリストを第6章に、登録論文のうち被引用数の多いもののリストを第7章にまとめてある。

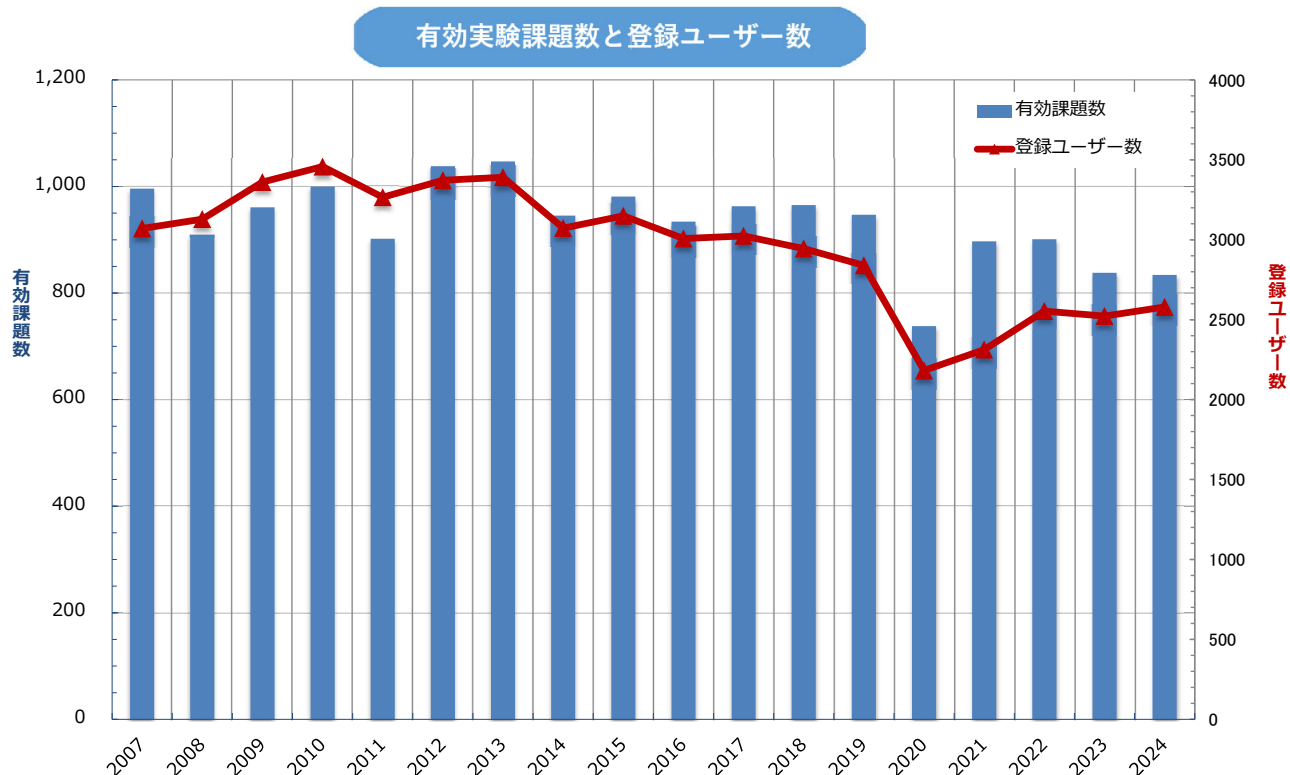


図1-5 年間の有効実験課題数と登録ユーザー数の推移

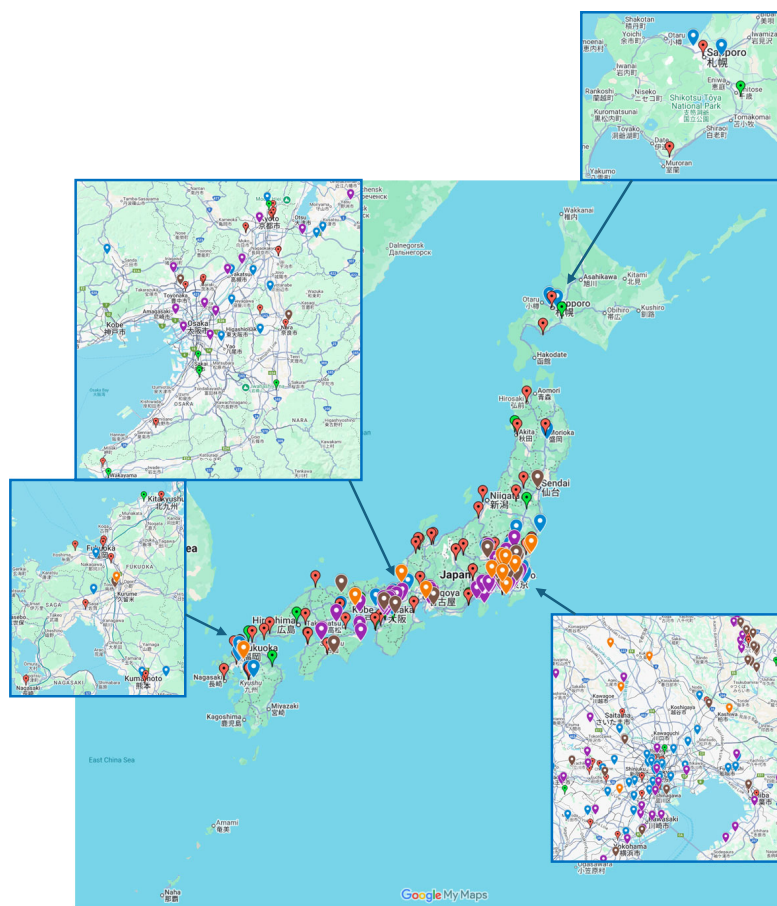


図 1-6 登録ユーザーの地域分布

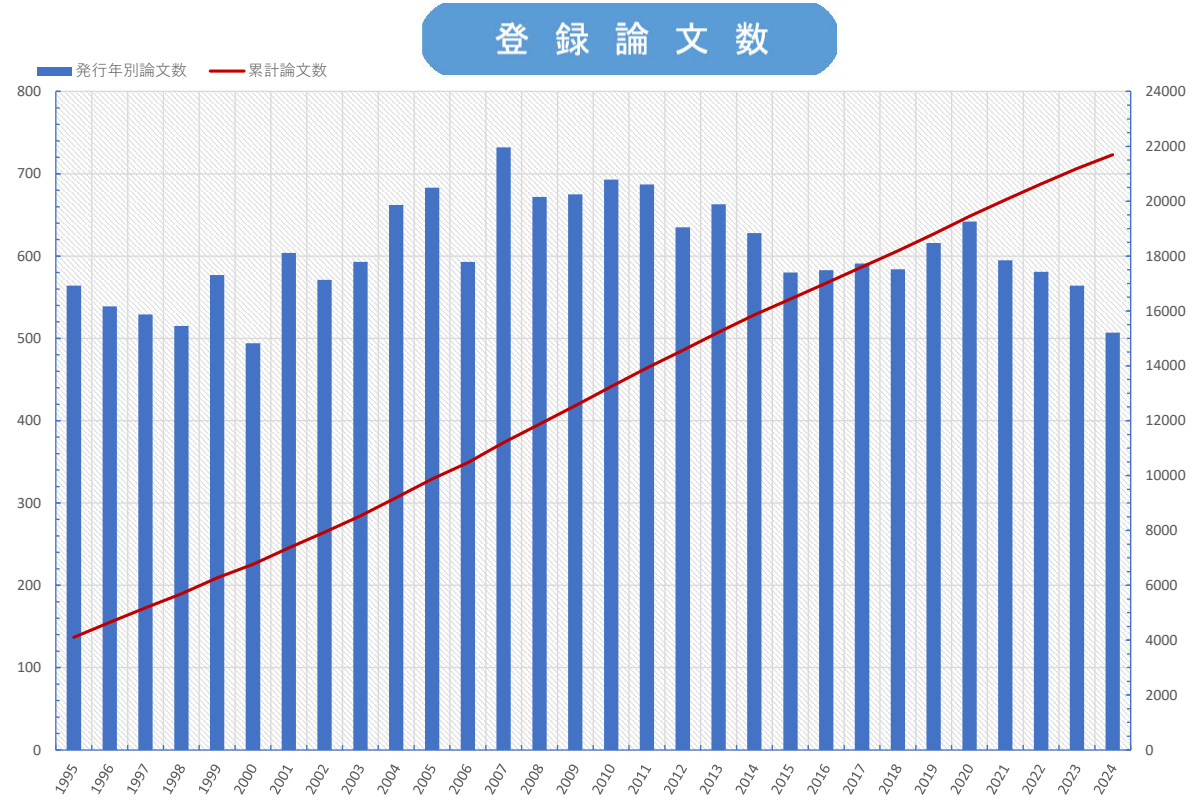


図 1-7 登録論文数の推移（単年度と累計）

(8) ユーザーグループ (UG) 運営ステーション

フォトンファクトリー (PF) では、PF スタッフにより運営される通常のステーション以外に、ユーザーグループ (UG) によって運営されるステーションおよび装置があり、それぞれユーザーグループ (UG) 運営ステーション、ユーザーグループ (UG) 運営装置と呼んでいる。

1) ユーザーグループ (UG) 運営ステーションおよび運営装置

UG 運営ステーション・運営装置は、放射光利用実験における UG の活動を尊重し、PF 全体の研究活動の活性化に資するとともに、ユーザーグループの積極的な施設運営への参加協力により、PF スタッフの人的資源の不足を補うことを目的としており、特定のステーション・実験装置を UG と PF との共同で運営している。手続きとしては、まず対象となる実験ステーションまたは装置の運用に関して UG から提出された計画書を基に、物構研と UG との間で覚書を取り交わし、ステーション等の運営を物構研から UG に委嘱する。当該 UG は、所内担当グループと協議の

上、代表者および若干名からなる運営ワーキンググループ（以下運営 WG）メンバーを選任し、ステーションの運営の実務を行う。運営 WG メンバーに対しては KEK の共同研究研究員を委嘱し、一方、PF 側は当該ステーション等の担当職員を指名して運営 WG との連絡調整を行うとともに、ビームライン調整等のための旅費のサポートを行っている。UG 運営ステーションの有効期間は最長 3 年間とし、更新に際しては当該期間のユーザーグループの活動内容に関する協議を行うこととしている。

2024 年度にユーザーグループにより運営されたステーション・装置を表 1-2 にまとめた。このうち、2024 年 3 月に有効期間満了を迎える UG 運営ステーション・装置(BL-18C, BL-4B2, BL-6C, BL-10A, BL-3B) については継続のための評価委員会が実施され、全て 2024 年 4 月から 3 年間、UG による運営が継続されることとなった。また、BL-20A は 2023 年度までは大学等運営ステーションとして運用されていたが、新たにユーザーグループ運営ステーションに関する覚書が締結され、2024 年度からはユーザーグループ運営ステーションとして運営されている。

表 1-2 ユーザーグループ (UG) 運営ステーション一覧

運営 WG 名	ステーション名	代表者	有効期間
表面科学	BL-3B	吉信 淳 (UG、東京大学) 櫻井 岳曉 (運営 WG、筑波大学)	2024/4 ~ 2027/3
粉末回折	BL-4B2	植草 秀裕 (東京科学大学)	2024/4 ~ 2027/3
物質物理	BL-6C	八方 直久 (広島市立大学)	2024/4 ~ 2027/3
鉱物・合成複雑単結晶	BL-10A	栗林 貴弘 (東北大学)	2024/4 ~ 2027/3
高圧物性	BL-18C	大村 彩子 (UG、新潟大学) 鍵 裕之 (運営 WG、東京大学)	2024/4 ~ 2027/3
極紫外分光	BL-20A	彦坂 泰正 (UG/ 運営 WG、富山大学)	2024/4 ~ 2027/3
放射線生物、原子力基盤研究	BL-27A, BL-27B	横谷 明徳 (UG、量研機構) 岡本 芳浩 (運営 WG、原研機構)	2022/4 ~ 2025/3
高圧物性	高溫高圧実験装置 MAX-III (AR-NE7A)	大村 彩子 (UG、新潟大学) 久保 友明 (運営 WG、九州大学)	2022/4 ~ 2025/3
X 線顕微分光分析	BL-4A	宇尾 基弘 (東京科学大学)	2023/4 ~ 2026/3

1-5. 産業利用

(1) 概況

2024 年度現在、PF の産業利用は、成果専有・非公開の一般施設利用（Y 型課題）と成果公開を基本とする民間等共同研究（C 型課題）の 2 つの有償利用制度を中心に運用されている。それらに加えて、2017 年度から本格的に立ち上がった試行施設利用制度（L 型課題）と若干の無償・成果公開の共同利用課題（G 型課題等）が実施されている（表 1-3）。試行施設利用制度は、2007 年度（平成 19 年度）から 9 年間続いた文部科学省補助事業による無償利用制度（トライアルユース、TU 制度）が 2015 年度末で終了したのち、産業界ユーザーからの要望に応えるとともに、新規ユーザー・手法開拓を目的に 2017 年度に立ち上げた制度である。

産業利用の実験時間数を図 1-8 に示す。ビームラインの性能向上などにより、利用時間は徐々に減少している。コロナ禍を機に、代行測定・リモート実験の整備が進み、来所実験が必要であったビームラインにおいても来所せずに放射光実験が可能になりつつある。

(2) 普及活動、利用支援体制

試行利用制度の 2024 年度の利用件数は、8 課題（すべて民間企業の利用）であった。これまで STXM（走査型 X 線透過顕微鏡：BL-19A/B）の利用が多数を占めていたが、最近はこれ以外の手法の利用も増えてきている。また、2016 年度下期に有償支援制度が制定され、2017 年度

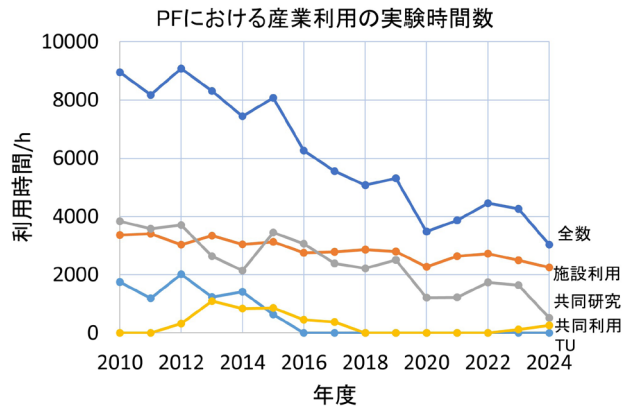


図 1-8 産業利用の実験時間数

のビームタイムから利用が進んでおり、従来は十分な対応が困難であった実験支援・解析支援やコンサルティングを確実に実施できるようになった。民間企業による産業利用の様々なニーズに、よりきめ細かく対応する制度体系がつくれられており（表 1-4）、タンパク質結晶構造解析、SAXS（X 線小角散乱）、HX-XAFS（硬 X 線吸収分光）を中心に多数の支援実績がある。その他に、一部のビームラインでは一般施設利用のオプションとして代行測定・解析制度を実施している（表 1-5）。今後、対応可能な手法が増える見込みである。

産業利用促進運転日（産促日）を実施した。産促日は、

表 1-3 フォトンファクトリーの利用制度

制度	利用料	有効期間	募集／年	成果の取扱	備考・利用料等
一般施設利用	有償 ^{※1}	—	隨時	成果専有 非公開可	通常ライン：28,600 円 / 時 高性能ライン：57,200 円 / 時
試行施設利用 ^{※2}	有償	—	随时	成果専有 非公開可	通常ライン：15,400 円 / 時 高性能ライン：30,800 円 / 時
民間等共同研究	有償	半年～複数年	随时	公開	
共同利用	無償	2 年（基本）	2 回	公開	応募資格に制限有り ^{※3}
優先施設利用	有償	年度内	随时	公開	応募資格に制限有り ^{※4} 通常ライン：15,400 円 / 時 高性能ライン：30,800 円 / 時

※ 1：一部の手法（ビームライン）ではオプションとして、利用支援、代行測定・解析なども用意されています。

※ 2：試行施設利用は初めてのご利用を対象としたものです。

※ 3：学術目的の実験課題であること。

※ 4：国又は国が所管する機関のプロジェクトで採択された研究課題であること（科研費を含む）。

※高性能ライン：アンジュレーター、マルチポールウィグラー等を光源とするライン。

（BL-1A、2A/B、3A、5A、13A/B、15A1/A2、16A、17A、19A/B、28A/B、AR-NE1A、AR-NE3A、AR-NW12A、AR-NW14A）

従来の機構の予算による運転とは別に施設利用等の利用料収入を用いた放射光加速器の運転である。産業利用の推進を主な目的に運転時間の延長を行なっており、2018年度から実施している。2021年度から、PFだけでなく、PF-ARでも産促日を実施している。実施時期はそれぞれの運転期間の最終期間に設定され、I期（4-7月期）はPF2日間（48時間）/PF-AR1日間（24時間）、II期（10-12月期）はPF3日間（72時間）/PF-AR1日間（24時間）、III期（2-3月期）はPF1日間（24時間）/PF-AR1日間（24時間）、産業利用が可能な全ビームラインで実施した。この期間は施設利用料収入で運転経費を賄い、有償利用に

よる実験を優先した。一部のビームラインでは、随時利用が可能になるように実施期間を分散させて運用した。2024年度は、運転経費の負担について、実験の実施時期にかかわらず原則として施設利用料収入の12%を運転経費に充当する運用がなされている。有償施設利用の希望がなかつたビームライン・ビームタイムでは共同利用実験課題（G型課題・S課題等）にビームタイムが配分され、PF全体として、大学共同利用を圧迫することなく企業等による有償施設利用の時間を確保すると共に、企業のPF利用による大学共同利用への還元につながった。

表1-4 フォトンファクトリーの実験・解析支援、コンサルティング制度

制度	利用料	対象利用制度	備考・利用料等
コンサルタント業務	有償	施設利用 ^{*1}	10,000円/時 (利用時間は、ビームタイムと独立に設定)
測定解析補助・指導業務	有償	施設利用	30,000円/時 (利用時間は、ビームタイムと独立に設定)

*1：一般施設利用・優先施設利用との併用を前提とする。

表1-5 フォトンファクトリーの代行測定・解析制度

制度	利用料	対象利用制度	備考・利用料等
代行測定・解析業務	有償	一般施設利用 ^{*1}	<ul style="list-style-type: none"> ・利用料金は作業の内容により異なる ・実施実験手法：タンパク質結晶構造解析、X線小角散乱、硬X線吸収分光（XAFS）、粉末X線回折

*1：優先施設利用は対象としない。

1-6. 教育・人材育成

(1) 大学共同利用における人材育成

PF の共同利用において、大学院生ユーザーの放射光の共同利用実験への参画は、国内外の大学における教育と研究の推進に資するのはもちろんのこと、企業、大学、研究機関において先端的な大型研究施設を活用する若手研究人材を育成するという観点からも、極めて重要である。2024 年度の大学院生ユーザーの登録数は 1,056 名、実習生として放射光実験に参加した大学の学部学生および高等専門学校の本科 4 年生以上に在籍する学生が 335 名で、これを合わせるとフォトンファクトリーを利用する年間のユーザー登録数（2,580 名）の過半数を占める。KEK 研究成果管理システムのデータベースに 2024 年度取得として報告された学位論文数は、博士 44、修士 233 の合計 277 件となっている。これまでの累計では、フォトンファクトリーでの利用実験により、総計 6,900 件の学位論文が発表・登録されており、フォトンファクトリーの際立った特徴となっている。

(2) 総合研究大学院大学

総合研究大学院大学（総研大）は、1988 年に国立大学（現在は国立大学法人）として創立された大学院大学で、大学共同利用機関法人及び国立研究開発法人宇宙航空研究開発機構が設置する研究機関（基盤機関）との密接な連係及び協力のもと、教育研究活動を行なっている。2023 年度からは全ての専攻が先端学術院・先端学術専攻のもとの 20 コースに移行された。そのうち PF では物質構造科学コースと加速器科学コースの学生が指導を受けている。物質構造科学コースでは、先端的加速器から得られる放射光、中性子、ミュオン、低速陽電子などの量子ビームを利用した最先端の科学研究を行っている。その分野は物理学、化学をはじめ、ナノテクノロジー、生命科学、医学応用、環境科学、地球物理学などの極めて広範囲かつ最先端の研究分野に亘る。また量子ビームの利用研究だけに留まらず、量子ビームの発生・利用技術の一層の高度化の研究を進めることにより、物質の新たなフロンティアの開拓に寄与することを目指している。2024 年度にフォトンファクトリー内の講座に所属する総研大大学院生は 4 名であった。

(3) 大学院生奨励課題と特別共同利用研究員

大学院生奨励課題（T 型課題）は、大学院生が課題責任者となって共同利用実験を行うことのできる放射光共同利用実験課題のカテゴリーとして、2014 年度にスタートした。T 型課題は書類及び面接審査を経て課題の採否が決定される。採択された場合には、大学院生が課題責任者として主体的に放射光研究を展開することができる。課題責任者の大学院生には、特別共同利用研究員として PF に在籍することを義務付けており、所属大学の指導教員と PF

表 1-6 総研大院生および特別共同利用研究員の受け入れ状況の年度推移

年度	総研大院生	特別共同利用研究員
2003	15	7
2004	14	5
2005	13	6
2006	9	10
2007	6	13
2008	6	10
2009	6	9
2010	5	10
2011	4	5
2012	3	6
2013	4	7
2014	3	7
2015	3	6
2016	6	7
2017	7	10
2018	9	11
2019	8	7
2020	10	4
2021	11	11
2022	9	9
2023	5	8
2024	4	7

内の受入教員の両方から研究指導を受けながら、PF の実験現場で研究を進めることができる。2024 年度には T 型課題は 2 件が採択され、前年度からの継続課題 2 件と合わせて 4 件が実施された。

特別共同利用研究員の制度は、KEK で他大学の大学院生を受け入れる仕組みであり、T 型課題の申請・採択は無くとも適用可能である。2024 年度にフォトンファクトリー内で受け入れた特別共同利用研究員は 7 名であった。フォトンファクトリーの総研大院生および特別共同利用研究員の受け入れ状況の年度推移を表 1-6 に示す。

これら PF に籍を置く総研大生及び特別共同利用研究員は 2021 年度からスタートした PF 課題の PF-T（教育・人材委育成の推進）に応募することが可能で、2024 年度は 2 人の大学院生が PF-T 課題で実験を行っている（他の大学院生は通常の共同利用実験等で研究を行っている）。

(4) 講習会

フォトンファクトリーでは、利用ユーザーの比較的多い計測分野を中心に、放射光計測に関連する講習会を定期的

に開催している。2024 年度に開催した講習会のリストを表 1-7 に示す。

対称性・群論トレーニングコースは、2014 年の世界結晶年 (IYCr2014) を契機として、物構研の主催（第 2 回より日本結晶学会と共同主催）で開催している講習会であり、2023 年度までに 11 回開催されている。2023 年に行われた第 11 回からは日本語コースに加え英語コースも開催されている。

タンパク質結晶構造解析およびクライオ電子顕微鏡の講習会は、PF-UA タンパク質結晶構造解析ユーザーグループ、創薬等先端技術支援基盤プラットフォーム (BINDS) と物質構造科学研究所の連携による講習会である。

2023 年度からはユーザー団体である PF ユーザーアソシ

エーション (PF-UA) が主催する PF-UA サマースクールが行われている。2024 年度は第 2 回である「放射光の特徴を活かした分析手法」が PF 協賛で行われた。

(5) 大学院生を対象とした人材育成

PF-T 課題で実施された実験を以下に挙げる。茨城大学は、2016 年に大学院理工学研究科に全国的にもユニークな「量子線科学専攻」を新設し、量子ビームをツールとして活用できる人材育成に取り組んでいる。その取り組みのひとつとして、2024 年 12 月に XAFS BL 実習を BL-9C で実施した。また、大阪医科大学の医学部生を対象としたタンパク質結晶構造解析データ収集の演習（10 月）が実施された。

表 1-7 講習会リスト

実施日	講習会	参加者 (現地参加者)	企業参加	内容
2024/5/1	位相 CT 講習会	27 (27)	可	講義、実習
2024/7/22-26	第 12 回対称性・群論トレーニングコース（英語コース）	11 (11)	可	講義、演習
2024/7/29-8/2	第 12 回対称性・群論トレーニングコース（日本語コース）	43 (43)	可	講義、演習
2024/10/4	第 2 回 PF-UA サマースクール「放射光の特長を活かした分析手法」	70 (0)	可	講義 (オンライン)
2024/11/2	第 9 回タンパク質結晶構造解析中級者向け講習会	92 (25)	可	講義 (ハイブリッド)
2024/11/21-22	第 9 回クライオ電顕解析初心者講習会～データ処理～	43 (0)	可 *	講義 (オンライン)
2024/12/16-18	2024 年度 XAFS 講習会	27 (27)	可	講義、実習
2025/2/5	2024 年度 KEK・タンパク質結晶構造解析初心者向け講習会	11 (11)	可	講義

*CryoEM コンソーシアム入会企業の参加が可能

1-7. 機関連携

(1) 大学等連携

フォトンファクトリー（PF）では、物質科学、生命科学、量子ビーム科学、加速器科学、などの研究領域の推進を図るとともに、大学における人材の育成、大学・研究機関との人材交流を発展させ、世界第一線で先導的な役割を果たすべく、国内の大学をはじめとする教育・研究機関との間

で教育・研究開発の連携・協力を積極的に推進している。これらの目的を達成するために、KEK と各大学との間で連携協力協定が締結され、PF が連携推進を実施する主体となり、他機関との連携による成果創出を進めている（表 1-8）。

表 1-8 大学との協定・覚書一覧

大学	協定・覚書等の名称
東京大学	放射光科学の研究推進について（学術研究交流の推進）
東京大学 物性研究所	高エネルギー加速器研究機構物質構造科学研究所と東京大学物性研究所との放射光実験施設利用に関する覚書
東京大学 物性研究所	大学共同利用機関法人高エネルギー加速器研究機構物質構造科学研究所と国立大学法人東京大学物性研究所との研究連携協力に関する協定
東京大学 理学部	高エネルギー加速器研究機構物質構造科学研究所と東京大学理学部附属スペクトル化学研究センターとの共同研究に関する覚書
佐賀大学 シンクロトロン光応用研究センター	大学共同利用機関法人高エネルギー加速器研究機構物質構造科学研究所と佐賀大学シンクロトロン光応用研究センターにおける学術研究交流に関する覚書
広島大学	国立大学法人広島大学と大学共同利用機関法人高エネルギー加速器研究機構との連携・協力に関する協定、連携・協力に関する協定の有効期限の延長に関する合意書
名古屋大学	国立大学法人名古屋大学と大学共同利用機関法人高エネルギー加速器研究機構との間における連携・協力の推進に関する基本協定
東京理科大学	東京理科大学と大学共同利用機関法人高エネルギー加速器研究機構との間における連携・協力の推進に関する基本協定書、連携・協力の推進に関する基本協定の変更に関する合意書
東北大学	国立大学法人東北大学と大学共同利用機関法人高エネルギー加速器研究機構との連携・協力に関する協定
筑波大学	筑波大学大学院数理物質系と大学共同利用機関法人高エネルギー加速器研究機構素粒子原子核研究所及び物質構造科学研究所との学術研究に係る連携協力に関する協定書
筑波大学 数理物質系	国立大学法人筑波大学大学院数理物質系と大学共同利用機関法人高エネルギー加速器研究機構素粒子原子核研究所及び物質構造科学研究所との学術研究に係る連携協力に関する協定書
北海道大学	国立大学法人北海道大学と大学共同利用機関法人高エネルギー加速器研究機構との間における連携協力の推進に係る協定書 / 変更契約書
京都大学	国立大学法人京都大学と大学共同利用機関法人高エネルギー加速器研究機構との間における連携・協力の推進に関する基本協定書
九州大学	国立大学法人九州大学と大学共同利用機関法人高エネルギー加速器研究機構との連携・協力に関する協定
お茶の水女子大学	大学共同利用機関法人高エネルギー加速器研究機構と国立大学法人お茶の水女子大学との連携・協力の推進に関する協定書
大阪大学	国立大学法人大阪大学と大学共同利用機関法人高エネルギー加速器研究機構との連携及び協力に関する協定
岩手大学	国立大学法人岩手大学と大学共同利用機関法人高エネルギー加速器研究機構との連携・協力に関する協定
茨城大学	大学共同利用機関法人高エネルギー加速器研究機構と国立大学法人茨城大学との連携協力の推進に関わる包括的連携協力協定
茨城大学フロンティア応用原子科学研究センター	大学共同利用機関法人高エネルギー加速器研究機構物質構造科学研究所と国立大学法人茨城大学フロンティア応用原子科学研究センターとの量子ビームによる生命・物質科学の研究推進に関わる連携協力協定
新潟大学	国立大学法人新潟大学と大学共同利用機関法人高エネルギー加速器研究機構との間における連携・協力の推進に関する基本協定書
長岡技術科学大学	国立大学法人長岡技術科学大学と大学共同利用機関法人高エネルギー加速器研究機構との連携・協力に関する協定

学術4施設連携（放射光学基盤ネットワーク）

日本放射光学会から、拡大放射光施設代表者会議や評議員会での議論を経て、日本学術会議のマスタープラン2020に「放射光学基盤ネットワーク」計画が提出された。PFと分子科学研究所UVSOR、広島大学HisORの学術3施設の連携と高度化を中心とした計画であり、大型研究計画として採択されている。この連携を基に、2023年度には文科省の「ロードマップ2023」にKEK機構長を提案者、物構研所長を計画代表者として計画名称「物質・生命科学の研究分野を深化・融合・創成する放射光マルチビーム実験施設」で応募したが、残念ながら採択されなかった。その後、東京大学物性研究所軌道放射物性研究施設ISSP-SORを加え、学術4施設連携とした。

2021年度から本格的にスタートした「フォトンファクトリー新放射光源施設計画」に向けたR&Dとして進めていた「開発研究多機能ビームライン」についての検討会を、上述の学術4施設の連携で2024年度内に6回開催した。2022年度に開催されたPF研究会「開発研究多機能ビームラインの建設と利用」に引き続き、2024/11/17、18には、PF研究会「放射光2ビーム利用と広波長域実験が切り拓く学術フロンティア」が開催され、放射光2ビーム利用サイエンスのさらなる検討に加え、新たに設置された広波長域利用ビームラインのサイエンス展開が議論された。今後も、引き続き研究会を開催するなど、学術4施設の連携を深めていく。

(2) 国際協力

フォトンファクトリー(PF)では、海外8カ国、12の大学および研究機関との間で協定を結び、放射光科学・加速器科学分野における研究協力、研究者の交流、研究所間の相互訪問と情報交換等を実施している。協定の詳細について、表1-9にまとめた。

このうち、インド政府科学技術局(DST)との協定では、PFリングのBL-18Bを「インドビームライン」として貸与し、主にインド国内の研究者からの実験課題を受け入れている(インド以外の共同利用実験の申請も受け付けている)。2023年9月まで期間が延長されたインドビームラインプロジェクト第2期が終了し、2024年度にはインド政府による新たなプロジェクト(第3期)が開始された。これに伴いインドDSTとの協定を2023年10月に遡って延長し、2024年10月からインドプロジェクトによるBL-18Bの利用を再開した。2024年度はインドプロジェクトにより採択された20件が実施され、長期滞在者2名を含む34名がインド国内の研究機関から来日して実験を実施した。インドビームラインのアクティビティは非常に高く、データベースに登録された2024年出版の論文は23報に上る。

イスラエル・シェラー研究所(PSI)との協定に基づき、PFの運転が休止となる夏季(8月～9月)を中心にタンパク質結晶構造解析ユーザーの実験をスイスライソース(SLS)のビームラインを利用して全自動測定もしくはリモート測定で実施している。2024年度は、SLSシャットダウンのため測定は実施されなかった。本格的な利用再開は2026年度からを予定している。

表1-9 海外研究機関との協定一覧

	機関	協定名称
中国	高能物理研究所(IHEP)	KEKとIHEPとの間における学術交流に関する協定
韓国	韓国基礎科学研究院(IBS)	KEKとIBSとの間における研究協力に関する協定
インド	インド政府科学技術局(DST)	科学的・技術的協力に関する覚書の締結
タイ	タイ放射光施設(SLRI)	KEKとSLRIとの間における学術交流に関する協定
	タイ物理学センター(ThEPC)	KEKとThEPCとの間における学術交流に関する覚書
台湾	台湾放射光研究センター(NSRRC)	KEKとNSRRCとの間における先端加速器技術の開発及び応用に関する覚書
	清華大学(NTHU)	KEKと清華大学との間における学術交流に関する覚書
米国	アルゴンヌ国立研究所(ANL)	KEK/IMSSとANLとの間における放射光科学分野の国際広報グループに関する覚書
	ブルックヘブン国立研究所(BNL)	国立シンクロトロン光源プロジェクトII(NSLS-II)に関する覚書
ドイツ	ドイツ電子シンクロトロン研究所(DESY)	KEKとDESYとの間における学術交流に関する協定
スイス	ポール・シェラー研究所(PSI)	KEK/IMSSとPSIとのMXビームラインのビームタイム相互利用に関する覚書
フランス	国立科学研究中心(CNRS)	KEKとCNRSとの間における高エネルギー、天体粒子、原子核物理並びに物質科学に関する分野の協力関係に関する協定

1-8. 研究会・セミナー

(1) PF 研究会

フォトンファクトリー (PF) では、放射光科学における幅広い研究分野の推進を目的として、PF 研究会の開催提案を全国の研究者から年 2 回公募し、放射光共同利用実験審査委員会 (PF-PAC) で採否を審議している。2024 年度には表 1-10 に示すように「放射光顕微分光が切り拓く材料研究のフロンティア」、「放射光 2 ビーム利用と広波長域実験が切り拓く学術フロンティア」、「放射光科学での DX」の 3 件を PF 研究会として開催した。

(2) PF シンポジウム・量子ビームサイエンスフェスタ

PF シンポジウムは PF を利用するユーザーが年 1 度集い、PF での研究成果、施設運営、共同利用、将来計画等について報告・議論する場である。2024 年度の PF シンポジウムで 42 回目を数えたが、第 30 回 (2012 年度) からは中性子やミュオンと合同の「サイエンスフェスタ」内のプログラムとして開催されている。

2024 年度量子ビームサイエンスフェスタは、2025 年 3 月 12 ~ 14 日につくば国際会議場（エポカルつくば）において開催された。今回も対面形式を原則としたが、一部ではオンラインでの傍聴も可能とした。PF シンポジウムのセッションでは例年通り施設の現状と将来計画についての報告と議論が行われた。報告には、例年の PF ユーザーアソシエーション (PF-UA) 総会に加えて、PF-UA が 2023 年度から始めた「PF-UA 学生論文賞」の授賞式と発表講演 (3 件) も行われた。

また、量子ビームサイエンスフェスタのサテライト研究

会として、「2024 年度液体・非晶質研究会」と CIQuS 研究会「量子ビームを用いた 3D イメージング」の 2 件の研究会も開催された。

2024 年度量子ビームサイエンスフェスタ

<https://www2.kek.jp/imss/qbsf/2024/>

(3) その他の研究会等

PF に関する研究会として、2024 年度には CIQuS 研究会 collaboration with 酪農学園大学「食品物性談話会」および CIQuS 研究会「つくばソフトマター研究会」が開催された。

(4) セミナー

フォトンファクトリー (PF) に関するセミナーが、様々な主催者の企画で行われている。2024 年度に PF 周辺で開催されたセミナーを表 1-11 にまとめた。

物構研コロキウムは、物質構造科学研究所の主催で 2013 年度から始められ、およそ二か月に一度開催されている。表には放射光・低速陽電子・クライオ電子顕微鏡に関係するもののみを挙げているが、この他に中性子やミュオンの利用に関するセミナーも行われている。加速器セミナーは、加速器研究施設の主催で行われているもので、ここには放射光・低速陽電子に関係するもののみを挙げている。以上の他にも構造生物学研究センターや PF 内で来訪者があった際に個別に開催されたものを記載した。

表 1-10 PF 研究会リスト

日 程	題 名	参加者 (現地参加者)
2024/10/3-4	放射光顕微分光が切り拓く材料研究のフロンティア ¹⁾	129 (30)
2024/11/17-18	放射光 2 ビーム利用と広波長域実験が切り拓く学術フロンティア ²⁾	122 (72)
2025/2/6	放射光科学での DX ³⁾	107 (36)

1) <https://www2.kek.jp/imss/pf/workshop/kenyukai/20241003/>

2) <https://www2.kek.jp/imss/pf/workshop/kenyukai/20241117/>

3) <https://www2.kek.jp/imss/pf/workshop/kenyukai/20250206/>

表 1-11 PF に関するセミナーのリスト

開催日	カテゴリー	講演者	題名
2024/5/8	物構研コロキウム	山内 薫	アト秒レーザー科学によって拓かれるサイエンス
2024/5/16	筑波大 -KEK 連携セミナー	千田 俊哉他	つくば精製フォーラム
2024/7/16	SBRC seminar	May Sharpe, Dennis Stegmann	Fragment Screening at the SLS: setup, recent developments, outlook
2024/10/7	物構研コロキウム	沓名 貴彦	文化財科学からみた文理融合研究における量子ビーム利用への期待—非鉄金属生産技術を事例に—
2024/10/23	SBRC International Cryo-EM Seminar	Tsukasa Nakamura	Protein structure modeling and assessment using deep learning (DeepMainmast and DAQ score)
2024/11/14	物構研コロキウム	前田 晋太朗	クライオ電子顕微鏡による生体分子イメージング—タンパク質粒子から細胞まで—
2024/11/20	SBRC International Cryo-EM Seminar	Jacob Mevorach	Using Federated Learning and AI to Treat Rare Disease and Cancers
2024/11/20	加速器セミナー	小原 倭平	NanoTerasu の蓄積リングコミッショニング
2025/1/22	SBRC International Cryo-EM Seminar	Eva Cunha	Structural Biology in Industry – Proteros overview
2025/1/28	物構研コロキウム	大竹 淑恵	理研小型中性子源システム RANS プロジェクト – 現場で役に立つ中性子線利用 –
2025/04/04	物構研コロキウム (2024 年度第 6 回コロキウム)	横谷 明徳	X 線誘発生体分子変化の追跡とマルチビーム利用への期待—基礎生物学から医療用薬剤開発に向けて—

1-9. 広報・アウトリーチ

フォトンファクトリー（PF）は、学術研究や産業振興、研究人材育成に幅広く貢献しており、その成果の広報・普及活動は施設としての重要な責務である。PFに関連する広報、アウトリーチは、一般向けおよび報道関係者向けに関しては主に物質構造科学研究所の広報室、研究者向けは主に運営部門が中心となって実施しているが、両者は連携を取って活動を進めている。ここにあげた活動の他、パンフレット・フライヤーの作成、ウェブサイトの整備・更新、SNS（Facebook, Twitter）による情報発信、グッズやポスター等のデザインなどの通常の広報業務を行っている。

（1）報道機関向け発表（プレス発表）

2024年度は、PFの研究成果（PFスタッフによる研究で、PFを利用しない研究も含まれる）に関連して、以下の14件のプレス発表を行った（日付はウェブ公開時）。プレスリリースの詳細（PF以外の物構研の成果も含む）は以下のウェブサイトにまとめられている。

<https://www2.kek.jp/imss/news/press.html>

2024年

- 4月 2日 多彩なスピン構造の間のトポロジカル数スイッチングに成功 - 超高密度な新しい情報担体としての活用に期待 -
- 4月 12日 ホタルの発光メカニズムを探れ！ - 炭素原子X線吸収計測でルシフェリン分子の構造変化を解明 -
- 4月 26日 カイラル結晶構造と反強磁気秩序の自発的出現～時間と空間の反転対称性が同時に破れた新奇構造を発見～
- 5月 17日 溶媒を混ぜると高分子が溶けなくなる現象を解明 - 高分子溶液の軟X線吸収分光計測 -
- 6月 6日 安定して存在するトポロジカルなキラル量子細線を発見 量子ビットや高効率太陽電池への応用に期待
- 7月 25日 光触媒の表面でいま何が？ ～クリーン水素生産に向けた新しい観察法～
- 9月 30日 不整脈誘発薬剤との結合状態を解明 - 副作用原因タンパク質 hERG チャネルの構造が安定な薬設計を導く -
- 10月 28日 超伝導の空間的な乱れを可視化する新たな顕微観察技術の開発 - 超伝導材料の高性能化に役立つ新手法として期待 -
- 11月 21日 クラウドコンピューティング環境の活用で加速するタンパク質立体構造に基づく新しい創薬デザイン！
- 11月 25日 バンコマイシン耐性腸球菌（VRE）感染症の治療に道 ナトリウムポンプ阻害剤の発見と

その阻害機構を解明

- 2025年
- 1月 20日 液晶中で生長する不齊リビング重合に世界で初めて成功
- 1月 30日 飼い殺し型寄生の鍵となる寄生蜂毒遺伝子の同定に成功
- 2月 3日 天然メタンハイドレートのマクロとミクロの構造可視化に成功 メタンハイドレートを高密度分解能・高空間分解能で三次元非破壊測定
- 3月 7日 木質由来の低分子性リグニンを分解できる細菌の炭素利用の一端を解明

（2）KEK一般公開

2024年度の一般公開は9月7日（土）に開催された。PFでは実験ホールおよびリングを公開し、展示や体験企画等を実施した。研究本館では、昨年に引き続き次期光源計画PF-HLSを紹介するブースを設置した。

毎年4月の科学技術週間の週末に行なっている春のキャンパス公開は、4月20日（土）に開催され、PFは見学者の公開箇所として見学対応を実施した。職員会館では、サイエンスカフェ「博士の履歴書」が開催され、PFからは大東琢治准教授が登壇し、自身の研究やこれまでやこれまでの「夢」について語った。

（3）KEK・物構研主催の科学イベント等への参加

6月23日（土）には、物構研主催のPOP intoサイエンストーク「ピロリ菌を調べてみた。」がつくば駅前の商業施設トナリエQ'tにおいて開催された。POP intoサイエンスは2022年からトナリエつくばスクエアクレオ3階に設置された特設展示で、現在は物構研と農研機構「ミニ食と農の科学館」との共同展示となっている。今回のトーク



図1-9 KEK一般公開。PF実験ホールで行われたポケット分光器の工作教室

イベントは展示のテーマであったピロリ菌がテーマで、構造生物学研究センターの千田俊哉センター長とサイエンスコミュニケーターの武田真梨子さんが、PFで行われたピロリ菌の研究についてトークを行った。7月5日（金）の夜には、KEK 素核研とつくばまちなかデザイン株式会社との共催により、おとなのサイエンスカフェ第7夜野外編「宇宙の謎に迫るすごい実験」が開催され、宇宙にまつわるクイズ「どっちがホント？」に大東琢治准教授がクイズの解説者として参加した。2025年2月11日（火・祝）には、東京都杉並区の科学館 IMAGINUS（イマジナス）において、特別ワークショップ「チョコレイト・サイエンス」を開催した。講師は宇佐美德子特別教授が担当し、チョコレートの結晶構造の違いが食感や味の違いにつながる実習と、放射光を用いた実験について紹介した。

（4）小・中学生、高校生向けアウトリーチ

KEK が主催する TYL スクール理系女子キャンプは、女子高校生に理系専門職の進路に興味を持つてもらうための滞在型スクールである。2024年度は4月3日（水）～4日（木）に KEK つくばキャンパスにて行われた。1日目は、霧箱による自然放射線の飛跡の観測と半減期の測定の実習、女子大学院生によるパネルディスカッション、2日目は女性研究者による講義と、PF リングと実験ホールを含む施設見学を実施した。

高校生・高専生を対象とした KEK ウィンター・サイエンスキャンプは12月24日（火）～27日（金）に行われ、「回折で小さなものを見てみよう」の実習を奥山大輔准教授らが、「電子ビームを制御してみよう」の実習を加速器第六研究系の篠原智史助教と塩澤真未准技師が担当した他、PF の施設見学も行われた。

（5）一般見学への対応

2024年度は、高校生を中心に約170団体の見学に対応した。海外からの見学も多くなっている。



図1-10 POP intoサイエンストーク「ピロリ菌を調べてみた。」のトークの様子

1-10. 外部資金

フォトンファクトリー (PF) では、文部科学省科学研
究費（科研費）を積極的に獲得して放射光施設を活用した
学術研究を推進している。また同時に、国家プロジェクト
に基づく大型外部資金等を獲得し、課題解決型の取り組み
を推進しつつ、実験ステーション等の整備・高度化を進め
ている。2024 年度のフォトンファクトリー関連（低速陽
電子実験施設、構造生物学研究センターを含む）の外部資
金獲得状況は、以下の通りである。

科研費では、特別推進研究「時間分解X線溶液散乱法に
よる光化学反応の構造可視化」（研究代表者：足立伸一）、

学術変革領域研究「データ記述科学を用いた材料解析とそ
のイノベーション展開」（研究代表者：木村正雄）、基盤研
究（A）「波長分散型軟X線吸収分光法の高度化による表
面化学反応のリアルタイムオペランド追跡」（研究代表者：
雨宮健太）をはじめとして、新規 9 件・継続 20 件の全 29
件の補助を受けている（表 1-12）。

受託研究としては、文部科学省、内閣府、日本医療研究
開発機構（AMED）や日本学術振興会（JSPS）などからの
委託 3 件（表 1-13）の他、シンシナティ大学からの委託 1
件（表 1-14）があった（受託代表機関からの再委託を含む）。

表 1-12 文部科学省科学研究費（科研費）

研究種目	件数		
	新規	継続	合計
特別推進研究	0	1	1
新学術領域研究	0	0	0
学術変革領域研究	0	1	1
基盤研究（S）	0	0	0
基盤研究（A）	0	1	1
基盤研究（B）	3	5	8
基盤研究（C）	3	6	9
若手研究	2	3	5
挑戦的研究（開拓）	0	1	1
挑戦的研究（萌芽）	0	1	1
研究活動スタート支援	0	1	1
特別研究員奨励費	1	0	1
計	9	20	29

表 1-13 国からの受託研究

事業名	研究題目	研究代表者	新規・継続
生命科学・創薬研究支援基盤事業 生命科学と創薬研究に向けた相関構造解析プラットフォームによる支援と高度化	KEK におけるタンパク質相関構造解析の包括的支援と高度化	千田 俊哉	新規
二国間交流事業	放射光を用いた溶液中の化学反応機構の解明	野澤 俊介	新規
学際領域展開ハブ形成プログラム	多プローブ×多対象×多階層のマルチ ³ 構造科学拠点形成	千田 俊哉	新規

表 1-14 その他の公的資金による受託研究

事業名	研究題目	研究代表者	新規・継続
NIH Research Project Grant Program (R01)	Therapeutic resistance and aggressive malignancy in glioblastomas: the contribution of GTP metabolism through regulation by IMPDH2	千田 俊哉	継続

1-11. 次期計画

次期計画 Photon Factory Hybrid Light Source (PF-HLS) を KEK として推進している。2022 年 6 月 24 日付で策定された KEK の新プロジェクトの優先順位を定める KEK-PIP2022において、国際諮問委員会 (KEK-SAC) の評価をもとに、R&D for New Light Source Facility が唯一 Category I (A Project to Be Implemented by KEK) に選定され、広波長域軟X線ビームライン (BL-12A) と開発研究多機能ビームライン (BL-11A、-11B) の建設が進められている。前者は 2023 年度末に建設が完了し、その後のビームライン調整を経て 2024 年度 11 月に共同利用実験が開始された。後者は 2025 年度秋の建設完了・利用開始に向け、順調に建設作業が進行した。これらのビームラインでは、PF-HLS の実現に向けて、それぞれ、広波長域利用と 2 ビーム利用の技術実証が進められる。2024 年度の第 6 回 KEK-SAC においても、BL-11 の進捗状況と PF-HLS 計画についての説明と議論が行われた。

計画推進のため、2018 年度から、KEK 将来光源検討会が年 4 回開催されている。2021 年 10 月からは、機構長の求めに応じて、KEK としてフォトンファクトリーの長期計画を推進するために、フォトンファクトリー計画推進委員会が設置され、年 2 回の開催となっている。2024 年度には、第 25 回から第 28 回の KEK 将来光源検討会が開催された。第 26 回と第 28 回の検討会は、それぞれ、第 6 回と第 7 回のフォトンファクトリー計画推進委員会として開催された。2024 年度後半からは、PF-HLS の議論を機構内外でさらに深め、物構研ならではの特徴を活かし、他の量子ビームも組み合わせた量子マルチビーム施設計画の検討を開始した。これまでの量子ビームは逐次利用であったが、この計画では同時利用へのアプローチを推進するもので、時空間的に不均質な物質科学の本質に迫ることができるものと期待されている。

次期計画実現に向けて他施設との連携も進めている。開発研究多機能ビームラインは、放射光学基盤ネットワーク (PF、UVSOR、HiSOR、および 2024 年度からは ISSP-SOR が参画) の中核事業としても位置付けられており、R&D ビームライン検討会を合同で開催している。2024 年度には、第 21 回から第 26 回までの 6 回の検討会が開催された。また、2024 年度より学術放射光施設の施設長会談を定期的に開催し、各施設の現状のみならず、次期計画も含めた懸案事項を共有して意見交換を始めている。また、2024/8/21 には日本放射光学会の拡大放射光施設代表者会議が開催され、各施設のミッションと将来計画について報告し、意見交換が行われた。これを受けて、第 38 回日本放射光学会年会・放射光科学合同シンポジウムで「特別企画講演日本の放射光施設のポートフォリオと将来展望」が実施され、パネルディカッションが行われた。

2024/11/17、18 には、PF 研究会「放射光 2 ビーム利用

と広波長域実験が切り拓く学術フロンティア」が開催された。これは、2022 年度に行われた PF 研究会「開発研究多機能ビームラインの建設と利用」に続くもので、放射光 2 ビーム利用サイエンスのさらなる検討に加え、新たに設置された広波長域利用ビームラインのサイエンス展開が議論された。さらに、この PF 研究会を受けて、2025/1/20 には PF-UA 主催の「BL-12、BL-11 の利用に関するブレインストーミング」が開催され、2025/4/4 には 2024 年度最後の物構研コロキウムとして、PF-UA 戦略・将来計画検討小委員会の委員長の一人である量研機構の横谷先生により、マルチビーム利用に関する講演が行われた。また、放射光共同利用実験審査委員会 (PF-PAC) の全体会議や PF-UA の幹事会・運営委員会の他、第 42 回 PF シンポジウム等で、次期計画についての報告と議論が行われた。

日本学術会議が募集してきた「学術の大型研究計画に関するマスター・プラン」「学術の中長期研究戦略」が終了となり、代わって文部科学省より「学術研究の大型プロジェクトの推進に関する基本構想 (ロードマップ 2023)」の募集が行われた。KEK-PIP 2022 を踏まえ、KEK 機構長を提案者として、マルチビームをキーワードとして含む量子ビーム科学のビジョンと新放射光源施設を中心とした施設計画「物質・生命科学の研究分野を深化・融合・創成する放射光マルチビーム実験施設」の申請が行われたが、残念ながら不採択となった。2023 年度に公開した概念設計をまとめたデザインレポート (PF-HLS CDR) は、2024 年度に 2 回更新を行い、引き続き年 2 回の更新を行っていく予定である。

次期計画の推進のため、フォトンファクトリー新放射光源施設計画のウェブサイトを公開した。ウェブサイト (<https://www2.kek.jp/imss/pf/pf-hls/>) から次期計画に関する各種の情報にアクセスすることが可能になっている。

次期計画に関する主な発表、その他

- ・ 第 6 回フォトンファクトリー計画推進委員会(2024/7/25)
- ・ PF 研究会「放射光 2 ビーム利用と広波長域実験が切り拓く学術フロンティア」(2024/11/17,18)
- ・ 第 7 回フォトンファクトリー計画推進委員会(2025/1/20)
- ・ PF-UA 主催「BL-12、BL-11 の利用に関するブレインストーミング」(2025/1/20)
- ・ PF-HLS CDR ver. 1.2 公開 (2025/1/20)
- ・ 第 6 回 KEK-SAC (2025/2/26) 「Future planning for Institute of Materials Structure Science」

2. 加速器第六研究系（光源）

2-1. 概要

加速器研究施設・加速器第六研究系は、放射光源加速器（PF リング、PF-AR）の運転・維持管理ならびに光源性能向上に関する研究開発をおこなっている。あわせて放射光の次期計画へ向けた光源加速器開発やビームダイナミクスの研究を行うとともに、応用超伝導加速器イノベーションセンター（iCASA）との協力でエネルギー回収型リニアック（Energy Recovery Linac, ERL）に関する開発研究および運転・維持を行っている。メンバーを表 1 に示すとともに、各グループの活動内容を以下に記載する。

光源第 1 グループは、主に PF リング、PF-AR および cERL における軌道解析・ビーム力学の研究、電磁石および電磁石電源システムの維持・管理および開発を担当している。PF リングのビーム輸送路については、Linac および KEKB-BT グループの協力を得て業務を行っている。また、将来光源計画ではラティス設計やビーム力学及び電磁石設計などを精力的に進めており、EUV-FEL 光源計画でも iCASA と共同で全体のラティス設計とバンチ圧縮を含むビーム輸送のシミュレーション研究を行っている。2024 年 4 月 1 日付けで長橋進也氏が技術副主幹に昇任した。2025 年 1 月 1 日付けで下崎義人氏が教授に昇任した。

光源第 2 グループは、主に高周波加速（RF）システムを担当するとともに、光源加速器におけるビーム力学の研究を行っている。また、新放射光源計画の RF システムの検討も行っている。PF リングの RF システムの業務は光源第 2 グループが単独で担当し、PF-AR の RF システムの業務は光源第 2 グループと KEKB RF グループが共同で行っている。2024 年度より、坂中教授の定年にともなって山本尚人准教授がグループリーダーを務める。

光源第 3 グループは PF リング、PF-AR および cERL の真空系を担当し、また PF リングの超伝導ウェイブラーの保守維持・運転を担っている。2024 年度は PF リング入射部を構成するセプタム真空ダクトの設計検討のほか、新光源実現に向け特に放射光照射下で有効な排気作用を持ち、さらにガス放出も低減するビームダクト内面コーティング技術の開発研究を推進している。2024 年 4 月 1 日付けで内山隆司氏が先任技師に昇任した。2024 年 10 月 1 日付けで田中窓香氏が准技師として加速器第五研究系から六系に異動となり、第 3 グループの一員として活躍している。

光源第 4 グループは、PF リング、PF-AR および cERL のビーム診断・ビーム制御システムに加え、それぞれの加速器制御システムを担当している。様々なビームパラメータの診断を可能にする多種多様なビームモニターや、蓄積ビームの軌道変動および不安定現象を抑制するための高速フィードバックシステムの運用・維持管理を行っている。また、現状より高度なビーム診断・ビーム制御を必要とする次期光源の実現に向けて、これらのシステムの高度化や研究開発も行っている。加速器制御については、各種シミ

加速器第六研究系		
帯名 崇		教授・研究主幹
光源第 1 グループ		
原田 健太郎		教授・グループリーダー
下崎 義人		教授
田中 オリガ		助教
東 直		助教
中村 典雄		研究員
長橋 進也		先任技師・技術副主幹
光源第 2 グループ		
山本 尚人		准教授・グループリーダー
内藤 大地		助教
坂中 章悟		特別教授
本村 新		技術員
高橋 純		シニアフェロー
光源第 3 グループ		
本田 融		教授・グループリーダー
谷本 育律		教授
佐々木 洋征		助教
金 秀光		助教
Bian Baoyuan		博士研究員
内山 隆司		先任技師
野上 隆史		専門技師
田中 窓香		准技師
光源第 4 グループ		
高井 良太		准教授・グループリーダー
下ヶ橋 秀典		専門技師
塩澤 真未		准技師
多田野 幹人		シニアフェロー
光源第 5 グループ		
宮内 洋司		教授・グループリーダー
芳賀 開一		非常勤研究員
濁川 和幸		先任技師・技術調整役
田原 俊央		専門技師
光源第 6 グループ		
満田 史織		教授・グループリーダー
高木 宏之		准教授
篠原 智史		助教
小林 幸則		特別教授
上田 明		専門技師
光源第 7 グループ		
土屋 公央		教授・グループリーダー
阿達 正浩		研究機関講師
齊藤 寛峻		特別助教
江口 格		准技師
塩屋 達郎		非常勤研究支援員

ュレーションの基盤となる PF 計算機システムを管理・運用するとともに、加速器コンポーネントの遠隔制御に不可欠な高速ネットワークや各種サーバの維持管理、制御ソフトウェアの開発を行っている。2024 年 4 月 1 日付けで塩澤真未氏が准技師に昇任した。

光源第 5 グループは、放射光による大パワーの熱負荷から全ての機器を保護し、安全に制御された放射光をビームラインに供給するため、基幹チャンネルシステムに関する研究開発と、安定運用を実現するための維持・改良を行なっている。さらに、光源加速器の放射線安全系に関する維持・改良および次期放射光源のための安全系システムの開

発を行っている。

光源第 6 グループは、主に電磁石電源と入射用パルス電源および入射システム全般を担当する。PF リングおよび PF-AR では電源の老朽化が進んでおり、適切なメンテナンス・更新計画を策定することが必須である。更新にあたっては昨今の電力事情に配慮した高効率化および次期光源にむけた拡張性・自由度の高い設計であることも望まれる。パルス電源の管理では既存システムのメンテナンスの他、従来のサイラトロンに変わる半導体化や次世代入射システムにむけたキッカー研究開発を行う。PF-AR リングにおける運転調整・高度化や測定器開発テストビームラインの管理・調整、ビーム輸送路の 5 GeV エネルギートップア

ップ運転対応などを含む運転管理を担う。満田グループリーダーを含め、2022 年度までは第 1 グループであったところを再編している。2024 年 10 月 1 日付で満田史織氏が教授に昇任した。

光源第 7 グループは、PF リングおよび PF-AR に設置された挿入光源の維持管理、新たな挿入光源の設計・開発、リングへの設置から運転モードの確立までを担っている。将来光源計画の蓄積リングパラメータに基づいて、長直線部、短直線部に設置するアンジュレータの性能評価を行っている。また、ERL ベースの EUV-FEL 光源計画の長尺アンジュレータの設計と FEL 性能の評価を行っている。

2-2. 活動内容

概要

冒頭に述べたように、加速器六系の重要なミッションの1つは放射光ユーザーに対して安定かつ高性能な放射光を供給することである。PF リング、PF-AR ともに稼働から約 45 年を経過しており、各種装置の老朽化が顕著になってきているが、随時対策を講じながら、故障率 1%台の安定な運転を維持してきた。2024 年度は入射リニアック及び蓄積リング側も大きな改造工事は無く、当初目標であるユーザー運転時間として PF3600 時間、PF-AR2400 時間を確保できた。さらに、PF リングでは、小型電源の更新と BPM 更新による軌道安定化システムの高度化を達成してユーザー運転に供している。PF-AR では、南実験棟において測定器開発テストビームラインがユーザー運転に入っている、既に多くの実験課題が実施されている。以下ではそれについて主要トピックスを記載するとともに、次期光源として検討をすすめている超伝導加速空洞と蓄積リングを組み合わせた PF ハイブリッド光源(PF-HLS) およびそれを発展させた量子マルチビーム施設計画について紹介する。

(1) PF リングの運転・維持・管理および開発

PF リングの運転統計

表 1 に直近 3 年間 2022 年度から 2024 年度までの PF リングの運転統計を示し、図 1 に過去 15 年間の運転統計を示す。ユーザー運転時間の目標として PF 3,600 時間、PF-AR 2,400 時間を掲げているところ 2024 年度は目標を達成できている。グラフでは 2023 年度に運転時間が減少していることが顕著であるが、これは前年度から延期していた線形加速器の加速管更新作業時間を確保するために夏期停止期間が例年より長くなつたことが理由であり、トラブル等によるものではない。

故障時間は前年度より少し多い約 27.5 時間となつたが、故障率は約 0.7%、平均故障間隔 (MTBF) は約 192.4 時間で、運転時間が長くなつたことに対応して少し悪化しているものの、十分に良好な値を維持できている。故障の内訳をみると、2024 年度は電磁石関係が約 34.3%、RF 関係

表 1 直近 3 年間の PF リングの運転統計

Fiscal Year	2022	2023	2024
Total Operation Time [h]	4128	3648	4440
Scheduled user time [h]	3616	3096	3848
Number of failures	25	18	20
Total down time [h]	25.8	15.2	27.5
Failure rate	0.7	0.5	0.7
MTBF [h]	144.6	172.0	192.4
Mean down time [h]	1.0	0.8	1.4

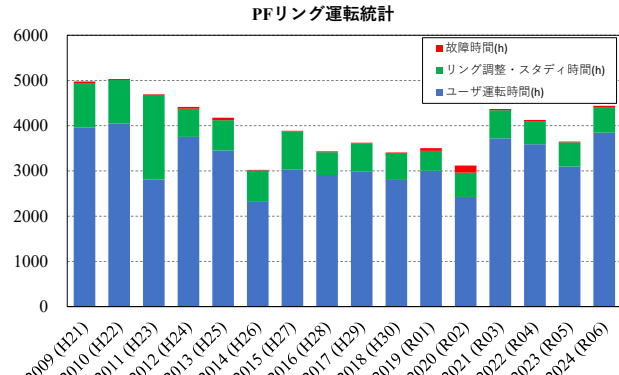


図 1 直近 16 年間の PF リング運転時間

が 27.6% となりこの 2 つが大部分を占めている。近年では RF システムのトラブル割合は少なかったのに対して、2024 年度はクライストロンの不調が頻発したことにより通常の 4 台運転から 3 台運転に減らしてのユーザー運転時間が多くなつた。この状況に対応して、機構より RF クライストロン 1 台を調達する予算措置を受けて現在製作を行つていて。PF でのクライストロン新規製作は約 12 年ぶりとなった。今後も各グループとも老朽化対策を推進していく。このとき、単なる故障品の交換ではなく、性能・機能向上をともなつた更新を心がけていく。

PF リング中型電源更新

PF リングのビーム軌道の安定性向上のため、四極電磁石および六極電磁石に使用する中型電源の一部を更新した。従来の電源は出力電流の安定度が 100 ppm 未満であったが、新電源では 10 ppm 未満を目指し、実際に 3 ~ 4 ppm の安定度を達成した。これにより、高精度な電流制御を備えた電磁石用電源の開発技術を確立した。新電源は、電源ユニットモジュールの組み合わせによって構成されている。電源の定格出力は、使用する電源モジュールの数によって変更可能である。ベースユニットモジュールの定格は 125 A / 140–160 V または 500 A / 45–50 V であり、これらを用いることで、A 型電源は 650 A / 140 V、B 型電源は 750 A / 45 V の定格出力を実現できる。あわせて省エネ化と省スペースのための小型化も達成している。図 2 にインストール前後の写真を示す。

図 3 に、A 型電源の 10 時間にわたる長期安定度を示す。電源ユニットモジュールの組み合わせにより、必要に応じた多様なタイプの電源を容易に設計・製作できる柔軟性と拡張性が得られる。また、故障したモジュールを正常なものに交換することで、短時間での修理が可能な設計となつておらず、保守性の向上も果たしている。

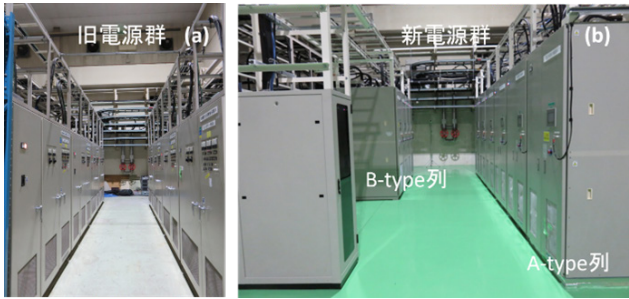


図2 四極および六極電磁石に使われる中型電源。更新前の旧電源(a)ならびに更新後の新電源(b)の写真。

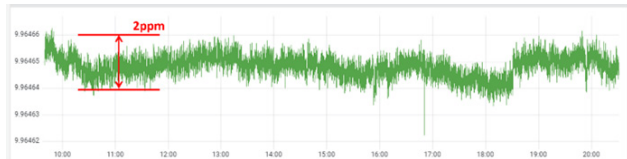


図3 PF リングの電磁石に接続した状態で測定した A 型電源の安定度。縦軸は電流モニター値、横軸は時間で約 10 時間の変化を示している。

インターロック更新

2024年夏期の停止期間中にインターロックシステムの更新を行った。ハードウェア類は既に導入していたが、春期は Linac が連続運転をしていたためこの機会の実施となったものである。古い PLC を更新し、従来は直接配線していた各種の機器を産業用バス経由とすることで省配線化も達成できているほか、各種の表示器も更新している。今後は、ビームライン側とつないでいる経路も PLC ベースの機器に置き換えていく計画である。

LLRF 更新とマシンスタディ

2023 年度に低電力 RF 系を旧来のアナログシステムからデジタル処理系に全面更新し、その安定運用に向けたビーム調整などを実施してきた。その後も特に深刻なトラブルは無く安定して運用できている。あわせて、旧システムでは実現が困難であった調整も可能となり（4台の RF に個別に FM 変調をかけるなど）運転に役立っているほか、過渡的変動補償の原理実証などあらたなマシンスタディを実施している。これは 1.5 GHz 高調波空洞の導入もあわせて次期光源開発にも直結するものである。

BPM と軌道フィードバックシステム更新

2024 年度第 3 期ユーザー運転より、新しいビーム位置測定システムならびに高速軌道フィードバックシステムが全面的に導入された。新システムは MicroTCA.4 規格のデジタル信号処理回路をベースに構築されている。蓄積ビームの COD は BPM と同数の回路により 10 kHz のレートで測定され、逆応答行列を用いた演算結果を高速補正電磁石の電流値へフィードバックすることにより所定の基準軌道に補正される（図4）。これまで 30 年近く運用されてきた

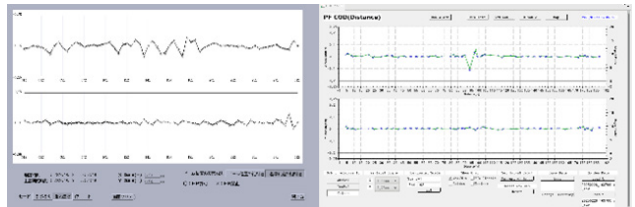


図4 旧 BPM システムでのビーム位置表示例（左）と、新システムでの表示例（右）。いずれも基準軌道からの差分を表示している。

VME ベースの旧システムからの移行は、第 3 期運転の立ち上げ期間中に段階的に行われた。基準軌道の引き継ぎもスムーズに完了し、最小ギャップ 4 mm の真空封止アンジュレータも特別な軌道調整なしで利用することができた。

その他の研究開発

真空関連の R&D としては NEG コーティング関連の開発や BeCu の光脱離測定などの他、ビームライン BL21 を活用して FCC-hh でのビームスクリーンのコーティング材料候補の光刺激脱離 (PSD) 測定などを実施している。運転調整の面では、これまでの自動軌道調整に加えてビームロス低減を目指したオプティクス調整、入射調整などを実施している。

ほかにも高速パルスキッカーのための SiC-MOSFET パルス電源の開発と高繰り返し試験など、多くの研究開発を実施している。これらは既存施設への導入はもちろんのこと、次期光源に向けても必須の研究開発要素である。詳細はここでは記載しないが、このほかにも既存施設の高度化と老朽化対策を兼ねて様々な R&D を行っている。セプタム更新計画やビームロスモニター、放射線モニター開発、機械工学センターとの協同でロボットによる遠隔監視システムなどである。

(2) PF - AR の運転・維持・管理および開発

表2にPF-ARの直近3年間の運転統計数値を、図5に過去15年間の運転統計をグラフにしたものを見ます。2024年度のユーザー運転の計画時間は2424時間確保し、実際の故障時間は10.8時間、故障率も0.4%と、極めて良好な値を示しています。ただし、これらユーザー運転統計には出でていないものの、ビーム輸送ラインでの電磁石電源トラブルや、バンチ純化システムのトラブルなどが起きており、今後も継続して対処することが必要と考えています。故障の内訳は約62.5%が電磁石関係、26.9%がRF関係であった。詳細は次章で記述します。

2025年1月16日（木）に直流電流トランス (DC Current Transformer, DCCT) の更新作業を実施しました。これは AR テストビームライン整備関係予算から措置したものであり、ターゲットワイヤー挿入時のビーム寿命計測により安定化することを目指しています。これまで周辺磁場の影響などでビーム電流値計測が不安定になる事象も起きて

表2 直近3年間のPF-AR運転統計

Fiscal Year	2022	2023	2024
Total Operation Time [h]	3000	2760	2976
Scheduled user time [h]	2440	2184	2424
Number of failures	17	16	14
Total down time [h]	21.7	30.3	10.8
Failure rate	0.9	1.4	0.4
MTBF [h]	143.5	136.5	173.1
Mean down time [h]	1.3	1.9	0.8

PF-AR運転統計

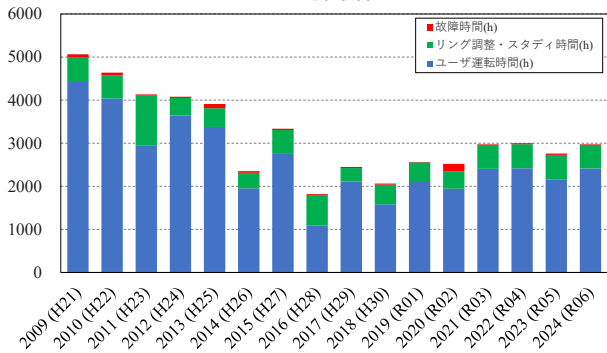


図5 16年間のPF-AR運転状況グラフ

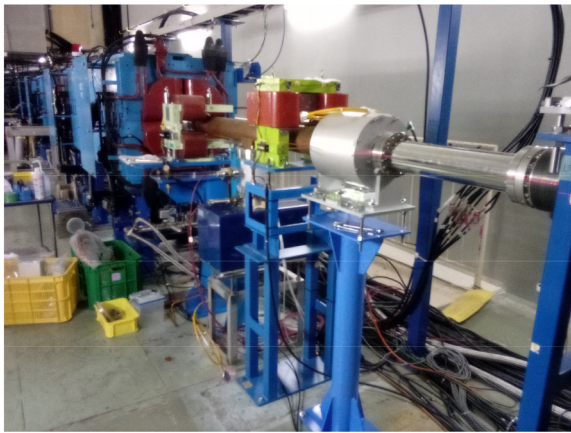


図6 新DCCTインストール後の南直線部。写真中央付近にある円筒形の装置が外部磁気シールドを装着したDCCTである。

おり、ビームを停止して消磁作業を行うなど AR の運転に影響を与えていた状況であった。図 6 にインストール後の写真を示す。

PF-ARチタンサブリメーションポンプの真空トラブル

第2期運転開始時の2024年10月にはチタンサブリメーションポンプ（以下TSP）で真空リークが発生し、ユーザー運転を早期におこなうため真空封止材の塗布で対処して運転を継続した。リークした場所以外も含め、端子カバーを外して全数調査をおこなったところ、コネクタに緑青が出て劣化している場所が8か所、信号ケーブルが劣化して



図7 TSPポンプのコネクタに発生している緑青およびケーブルの一部が損傷している様子。左は10月にリークした場所、右は全数調査で判明した場所の例である。いずれも放射線が原因と考えている。

いる場所が23か所あった（図7）。

既存光源でのR&D

PF-ARでも加速器のマシンスタディを多く実施している。ユーザー運転の安定化および高度化に向けてエミッタス低減オプティクスの導入調整や、ARの特徴である単バンチ大電流でのビームパラメータの測定、バンチ純度調整などのほか、テストビームラインでの電子収量増加を目的とした2バンチ運転の試験などである。これらの研究開発は、既存リングの性能向上はもちろん、次期光源開発につながるものとして推進している。これは、現在稼働している加速器のビーム調整の経験・知見は次期光源開発に重要であり、いわば「車の両輪」として進めるべきという考えに基づいている。

(3) cERLの運転・維持および開発

2024年度も引き続き応用超伝導加速器イノベーションセンター(iCASA)との協力のもと、cERL運転ならびに研究開発を遂行している。主な目標は以下の3点である：

- 1) 低バンチ電荷(0.77 pC)のアンジュレータ設置下での大電流(～1 mA) CW運転実施
- 2) 機械学習による、ビーム損失低減 & 大電流運転両立
- 3) 高バンチ電荷(60 pC)を用いた、エネルギー回収運転でのFEL光の発生

機械学習による調整やその他の詳細については、2024年度に開催された国際学会(ERL24, <https://conference-indico.kek.jp/event/225>)で発表している。このほか、電子銃直下流の低エネルギー部分において、ソレノイドによりビームプロファイルが大きく変化する現象についてシミュレーションと実測との比較を行っており原因究明と改善策の検討を行っている（図8）。

iCASAでは自由電子レーザーを活用したEUV-FEL光源の研究開発を進めてきた。これは特に半導体露光装置を念頭においていたもので、既存のレーザープラズマEUV光源をはるかに凌駕する10 kW以上の出力を目指すものである。加速器第六研究系ではEUV-FEL光源の概念設計か

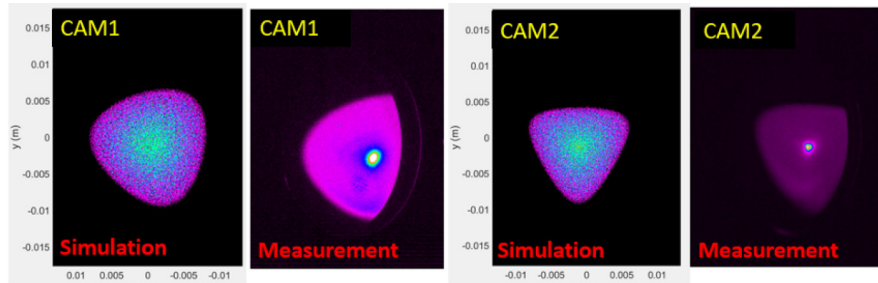


図 8 cERL 電子銃下流部での異常なビームプロファイル例

ら、入射部のビームダイナミクス計算などを iCASA と協力して進めている。2024 年度には、内閣府主導のもと創設された「経済安全保障重要技術育成プログラム（通称“K Program”）で、科学技術振興機構（JST）が公募した「次世代半導体微細加工プロセス技術」の実施先の一部として採択された。実施期間は 2025 年 4 月から 2030 年 3 月までの予定である。加速器第六系は今後も EUV-FEL 光源の開発に積極的に貢献していく。

（4）将来光源計画へ向けた R&D

PF リング、PF-AR とともに稼働から約 40 年経過しており、新しいコンセプトに基づく新たな放射光源を開発し建設することは喫緊の課題である。そこで我々は汎用性と先端性の両方を併せ持つ新たなコンセプトとして、超伝導線形加速器からの高品質ビーム (Single-pass, SP Beam) と、蓄積リングからのビーム (SR Beam) の両方を活用できる施設として「ハイブリッド光源 (PF-HLS)」を提案してきた。これまで投稿論文等で鍵となるコンセプトを紹介するとともに、Conceptual Design Report (CDR) を公開してその後も更新を継続している [2]。

PF-HLS を構成する蓄積リング部分については、世界の放射光源リングの潮流ともいえる極低エミッタンスヘアローチするのではなく、汎用性と多機能性にすぐれた設計としている。特徴の 1 つであるリング設計段階から「2.5 GeV と 5.0 GeV エネルギー可変」というコンセプトを目指した設計に関しては施設の周長やエネルギーの妥当性からエネルギー可変で実現できるサイエンスなども含めて検討している。

並行して、超伝導線形加速器をベースとした量子マルチビーム施設への拡張も議論している。KEK 物構研では放射光はもちろん、陽電子・中性子・ミュオンなど異なる量子ビームを活用したマルチプローブ実験をおこなうことでのサイエンスを推進してきたが、現在はサンプルをそれぞれ別の施設で計測する、いわゆる「順次計測」が一般的である。放射光実験の場合でも軟 X 線と硬 X 線での実験をエネルギーの異なる別施設で実施することはよく行われている。次期計画においては、同じサンプルに異なったビームを「同時に」照射することで非平衡状態・ダイナミクスを解明することをはじめとした、新たな分野を切り開くことを目指

している。

超伝導線形加速器・蓄積リングともに開発要素は多く、多岐にわたっている。昨今のエネルギー情勢を反映した省エネ設計も必須であり検討を進めている。蓄積リングのインピーダンスは特に注意が必要な項目の 1 つであり、抵抗性インピーダンスやビーム不安定現象に関する研究を精力的に進めている。また、表面の光刺激脱離の実験や、狭小真空ダクトで必須となる NEG コーティング開発も引き続き進めている。

現在の PF リングではピーク磁場 5 T の垂直偏光超伝導 3 極ウェイグラーが稼働している。次期光源ではエミッタンス増大を引き起こさない程度に軌道振幅を抑制しつつ、垂直偏光かつ 2.5 GeV 運転時に 10 keV 以上の高エネルギー帯域の放射光を生成するには 40~50 mm 程度の比較的大きな水平方向ギャップで 2~3 T 以上の高磁場を出す必要がある。そこで Nb₃Sn 線材を使用した円形コイルによる超伝導ウェイグラーを設計するとともに、含浸材に関する研究開発やケンチ保護システムも含め低温工学センターとの協力のもと研究開発を遂行している。

2-3. 今後の展望

加速器第六研究系は加速器専門家集団として、放射光ユーザーに安定してビームを供給することが最も重要なミッションの1つである一方で、老朽化が深刻であるため、限られたリソース（ヒト・モノ・カネ）を有効に活用し、かつ各グループの専門性を活かして対応していく。

同時に、次期光源を早期に実現することが極めて重要である。第六研究系だけではなく加速器第五研究系やiCASAとの協力も積極的に推進し、実現に向けた詳細設計を進めていく。

近年では加速器の性能向上はもちろんのこと、研究開発、ひいては社会活動の持続性も重要な指標となる。GXやSDGsの観点も積極的に取り入れていく。

現在、日本全国で加速器を運営している組織はいずれも老朽化や人手不足など多くの問題に直面している。それぞれの施設で各施設にてのR&Dを行うことはもちろん継続しているが、現場で経験する様々な知見は他施設でも有

用である場合は多い。これまで他施設との情報交換を行うことは、各施設で掲げている次期計画を推進する上で大きな力となりえる。このような考え方のもとで、PF、UVSOR、HiSORそれに名大SRセンターなども加わる形で、定期的な情報交換会を行うこととした。第1回目は2023年6月7日にオンラインにて開催した。その後もおおよそ月1回のペースで2024年度も継続している。発表内容はそれぞれの施設の現状や問題になっていること、開発中のアイテムに関する相談など多岐にわたり、大変に有意義な情報交換の場となっている。今後も継続していく予定である。

- [1] K. Harada *et al.*, “Conceptual design of the Hybrid Ring with superconducting linac”, J. Synchrotron Rad. (2022). **29**, 118-124, <https://doi.org/10.1107/S1600577521012753>
- [2] <https://www2.kek.jp/imss/pf/pf-hls/>

3. 放射光実験施設

3-1. 運営部門

北島 義典
物質構造科学研究所 放射光実験施設

1. 概要

運営部門は、物質構造科学研究所の組織改編により放射光実験施設の三部門の一つとして、放射光の利用制度（学術利用、産業利用、産学連携など）の整備と運用、放射光実験に係る安全管理、国内外の放射光・量子ビーム施設との連携を主導することを目的として 2019 年度から設置され、PF の使命の遂行に適した施設運営のための活動を行なっている。

2. 活動内容

利用制度の整備と運用：放射光共同利用実験審査委員会（PF-PAC）による実験課題審査の支援、共同利用関係の各種統計情報の整理、ユーザーからの要望への対応（ビームタイムごとにユーザーが残す「ビームタイム利用記録」に記載された要望等に関しては原則として全て回答することとしている）に加え、共同利用をはじめとする利用に関する制度の改正や諸手続、関連システムの改修の検討を KEK 内の関連部署と連携して行っている。2024 年度の特記事項として、これまでの PF-PAC における議論を基にして課題申請書の改訂案及び 2025 年度から運用が開始される「開発研究多機能ビームライン」を利用する実験課題（RD 課題）の制度を具体的に詳細検討した。

安全：安全管理体制としては、KEK 全体の中で「防災」「放射線」「電気」「化学」「高圧ガス」などの項目ごとに責任者が定められているため、安全チームでは「安全講習（内部スタッフ向けと外部ユーザー向け）」「巡回点検」など、特に安全意識を向上させるための活動を行なっている。近年は KEK 全体で開催される「安全・衛生週間」のイベント（講演等）が充実してきているので、PF スタッフには積極的に参加してもらえるように工夫してきたが、2024

年度にはコロナ禍も落ち着いたということもあり、秋の「安全講習（PF 内部スタッフ向け）」を 5 年ぶりに対面で開催した。

広報：研究成果や技術開発などの広報・普及活動、ユーザーや関連研究者向けの情報発信などを戦略的に行ってい る。PF の広報・普及活動は物構研広報室と連携して実施しており、物構研広報室では主として一般向け・メディア向けの広報活動を、運営部門ではユーザーおよび研究者・技術者、大学生・大学院生向けの活動を担当している。2024 年度の特記事項として、一般見学者案内用 PC の更新や「KEK 放射光共同利用実験研究成果データベース」システム更新の検討がある。

施設間連携：国内外の放射光施設・量子ビーム施設との連携を推進している。2024 年度の特記事項としては、前年度までの分子科学研究所 UVSOR および広島大学 HiSOR との学術三施設の連携による「開発研究多機能ビームライン検討会」に新たに東京大学物性研究所軌道放射物性研究施設 ISSP-SOR にも参加してもらい、2024 年 11 月には 4 機関と PF-UA の共催で研究会「放射光 2 ビーム利用と広波長域実験が切り拓く学術フロンティア」を開催した。

その他：PF 年報の編集も運営部門の重要な業務となっている。さらには外部からの問い合わせ対応や資料の作成など、組織運営に関わる様々な業務を関係部署や研究支援員等の方々と協力して実施している。前年度に公募した「安全」を担当する人材として大下宏美特別助教が 2024 年 4 月に着任した。2024 年度末で部門長は退任し、2025 年度は宇佐美德子特別教授が部門長に就任する。

氏名	職位	主な担当	専門分野
北島 義典	特別教授・部門長	総括、安全、放射光利用制度	軟 X 線 XAFS
五十嵐 教之	教授・放射光実験施設長	放射光利用制度、施設間連携	放射光構造生物学
宇佐美 徳子	特別教授	広報	放射線生物学
君島 堅一	特別准教授	放射光利用制度	XAFS、材料科学、電気化学
佐藤 友子	特別准教授	調査研究	高圧力科学、地球惑星科学
大下 宏美	特別助教	安全	XAFS、生物無機化学、錯体化学、食品化学

3-2. 基盤技術部門

五十嵐 教之、小澤 健一
物質構造科学研究所 放射光実験施設

1. 概要

基盤技術部門は、放射光を実験装置に導くビームライン共通部の整備と高度化を目的として設置され、実験施設の他部門や放射光科学研究系、加速器研究施設、研究所内外の関係機関と強く連携しながら、最先端の放射光技術の開発研究（R&D）プロジェクトを支援、推進している。開発項目や支援項目はハードウェアからソフトウェアまで広範かつ多岐にわたるため、光学系、X線光学、基盤設備、インターロック、真空系、制御系、検出系、時間分解の各専門チームで詳細検討を行い、チーム間で適切に情報共有

することで、部門全体で協調してR&Dにあたっている。業務委託（日本アクシス、三菱電機システムサービス）の業務も本部門で管理しており、業務委託メンバーとも協力して業務を遂行している。

部門メンバーに関する2024年度の動きは以下のとおりである。4月1日付で平野馨一准教授が教授に、内田佳伯専門技師が先任技師に、松岡亜衣准技師が技師に、片岡竜馬技術員が准技師に昇任した。また、金子直勝技師が中性子科学研究系から放射光実験施設に配置換えとなり基盤設備チームに加わった。10月1日には、部門長が五十嵐か

氏名	職位	担当手法グループ	専門分野
小澤 健一	教授、部門長	総括	表面科学、表面界面電子物性
間瀬 一彦	教授	真空系（チームリーダー）	放射光科学、表面科学、真空科学
平野 馨一	教授	X線光学（チームリーダー）	X線光学、イメージング
足立 純一	講師	時間分解（チームリーダー）	軟X線分光、原子分子科学
杉山 弘	助教	X線光学	回折結晶学、X線光学
若林 大佑	助教	光学系（チームリーダー）	放射光科学、高圧地球科学
西村 龍太郎	特別助教	制御系	放射線計測学、放射線検出器、データ取得システム
小菅 隆	主任技師	インターロック（チームリーダー）	放射光測定技術
豊島 章雄	先任技師・技術副主幹	基盤設備（チームリーダー）	放射光測定技術
内田 佳伯	先任技師・技術副主幹	光学系	放射光測定技術
森 丈晴	先任技師	光学系	放射光測定技術
菊地 貴司	専門技師	真空系	放射光測定技術
斎藤 裕樹	技師	基盤設備	放射光測定技術
仁谷 浩明	技師	制御系（チームリーダー）	放射光科学、材料工学、制御工学
田中 宏和	技師	光学系	放射光測定技術
松岡 亜衣	技師	基盤設備	放射光測定技術
金子 直勝	技師	基盤整備	放射光測定技術
石井 晴乃	准技師	インターロック	放射光測定技術
片岡 竜馬	准技師	光学系	放射光測定技術
成田 千春	技術員	制御系	放射光測定技術
永谷 康子	特別技術専門職	制御系	放射光測定技術
熊木 文俊	博士研究員	時間分解	X線吸収分光、原子分子科学
小山 篤	シニアフェロー	基盤設備	放射光測定技術

ら小澤（准教授から教授に昇任とともに測定装置部門から基盤技術部門へ異動）に交代、森丈晴専門技師が専任技師に昇任した。最後に、2025年3月31日付で小菅隆主任技師、金子直勝技師が定年退職となつたが、二人ともシニアフェローとして2025年度も部門運営に携わることになっていく。2024年10月時点の部門メンバーは以下のとおりである。

2. 活動内容

既存設備やビームライン、装置の技術的支援や維持管理はもちろんのこと、放射光実験施設の短中期計画として位置付けられているPFリングとPF-ARの高度化や、その先にある次期光源実現に向けて、基盤技術開発、測定手法開発の中核的な役割を果たしている。実験施設の計画に即した開発を統括的に進めるため、実験施設として時限的なR&Dプロジェクトを策定し、そこに各専門チームが参加して技術的支援をしている。このR&Dプロジェクトは、専門チームが主体となるものもあるが、放射光科学研究系や加速器研究施設等、施設外からの横断的なものも含まれている。各専門チームは定期的にチームミーティングを開催して詳細検討を行い、月一回の部門会議で情報共有・協議することで整合性を取りながらR&Dプロジェクトを進めている。2024年度は以下のようなプロジェクトを進めた。

光学系チームを中心に、真空系チーム、制御系チーム、インターロックチーム、基盤設備チームが連携を取りながら進めてきた広波長域軟X線ビームラインBL-12Aおよび開発研究多機能ビームラインBL-11の建設作業が、今年度も引き続き進められた。BL-12Aは2024年10月までに建設が終了し、第2期にはビームを使ったコミッショニングを実施し、11月よりユーザーの共同利用を開始した。第2期の状況を踏まえ、第3期にも調整を行い、より安定したビームをユーザーに提供することができた。BL-11の建設では、第1期がスタートするまでに光導入が完了し、テストチャンバーを用いた非蒸発型ゲッターポンプR&Dおよび炭素汚染対策R&D、光電子遮蔽R&Dを第1期と第2期前半で実施した。2025年1月には、BL-11A（硬X線ブランチ）の光学系ハッチが完成し、BL-11B（軟X線ブランチ）の入射スリットまでの建設が実施された。BL-11には5か所の実験サイトを設けることを計画しているが、第3期までに3つの実験サイト（メインハッチ内、入射スリット位置、光学系ハッチ内）が完成し、光導入が行われた。BL-11建設に関連して、2024年度には5回の建設打合せ、1回の公聴会、6回のR&Dビームライン検討会が開催された。これらを通じて、基盤技術部門ばかりではなく実験施設全体および第一・第二研究系、さらには加速器6系、UVSOR（分子研）、HiSOR（広島大）、ISSP-SOR（東大物性研）の関係者から広く意見を集約して、ビームライン建設だけでなくビームラインが完成した際に実施できる実験の具体的な検討を進めた。BL-11は2025年度第2期からのユーザー利用を目指している。

新BL建設以外のR&Dプロジェクトの一つとして、基盤設備チームと制御系チームが協力して進めた環境ロガーシステムの更新・高度化が挙げられる。PF実験ホール内外のセンサー増強により各種環境データを常時モニターして、PF運転の安全性向上に寄与した。将来的には、ビームラインや実験装置への環境の影響、さらには測定データへの影響を検証し、高精密測定につなげてゆく。環境モニターに関連し、PF-ARのNE3、NW12の放射線モニターで使用してきたペンレコーダーの廃止を今年度行った。2025年度からはPFとPF-ARの放射線レベルは、全測定場所でデジタルロガーシステムを使ってモニターすることになる。

この他のR&Dに関する主な活動を挙げると次のようになる。X線光学チームは、X線干渉計前置光学系(BL-14C)の改良やX線マルチコントラスト2次元・3次元イメージング実験を進めた。検出系チームは、silicon-on-insulator pixel(SOIPIX)検出器をズーミング光学系と統合制御して運用するシステム開発を進めた。時間分解チームは、中空光ファイバを使った光導入をめざして、真空紫外光から軟X線の各エネルギーでの中空光ファイバの伝達率評価を実施した。

こういったプロジェクトに加え、実験施設の維持と円滑な運用に向けた多岐にわたる取り組みも、各チームが進めている。その一つに節電対策がある。2022年度に高騰した電気代は2023年度になると一時的に下落したが、2024年度には再び上昇した。そのため、節電対策は実験施設が取り組むべき重要課題の一つであり続けている。2024年度も基盤設備チームと真空系チームを中心に、シャットダウン期間中の空調・循環水運転を必要最低限に抑えること、排気ポンプの停止、夜間(17:00以降)の実験ホールの照明消灯などを実施している。価格の高騰は液体ヘリウムも同様であり、PFとPF-ARで使用される液体ヘリウム量の抑制も重要課題である。抑制施策の初手として制御系チームにより寒剤管理システムが作成され、2024年度第3期から運用を開始した。これにより、課題番号とビームラインごとに使用予定量を集計し、過剰供給が出ないように供給量を管理できるようになった。このような効率化による経費削減は運転時間の確保のためにも重要であるため、今後も様々な対策を立ててゆこうと考えている。

3-3. 測定装置部門

五十嵐 教之、中尾 裕則
物質構造科学研究所 放射光実験施設

1. 概要

測定装置部門は、物構研放射光系の組織改編によって2019年度より新たに放射光実験施設に定められた部門で、放射光の特徴を最大限に利用する実験装置を含むビームライン・エンドステーション部の整備と高度化を目的として設置されている。この部門は、放射光科学第一・第二研究系所属を含む各ステーション担当者間の連携の中核を担い、エンドステーションの標準化と自動化、将来を見据えた先端化を推進するミッションを負っている。さらに、国内外の放射光施設の持続性はもとより、さらなる発展に貢献すべく、ビームラインで展開されるサイエンスを手法ベースで推進するとともに、次世代光源に向けた活動を推進している。さらに、特定の手法に限定せず放射光施設に共通のビームライン技術を幅広く習得した将来の放射光科学を担う人材育成にも注力している。

2. 活動内容

フォトンファクトリーのビームラインは、10の手法グループに分類され、これらの手法ごとに測定手法グループが組織されている。測定装置部門は、この測定手法グループごとに担当メンバーを配置する体制としている。

2024年10月には、本部門長を併任していた五十嵐教之氏に代わり中尾裕則が部門長に着任、松垣直宏氏が准教授から教授に昇任するとともに、小澤健一氏が本部門から基盤技術部門長へと異動となり、大きく体制が変わった。この結果、10の手法グループのうち3つのグループ（光電子分光、超高速時間分解、X線光学・イメージング）については部門内には担当メンバーがいない状況となっている。

3. 今後の展望

部門では、放射光科学第一・第二研究系の所属を含む各ステーション担当者と連携しながら、実験装置を含む主にビームライン・エンドステーション部の維持・運用を行っている。また、放射光の特長を活かした新たな利用研究の創成を目指し、そのための高度化および利用技術の開発を推進している。さらに、次期光源計画を見据えてマルチーム利用実験や複数の量子ビームを使った利用研究の提案、実証実験が進めており、測定手法・分野の垣根を越えた測定・利用研究を推進している。

次期光源計画 Photon Factory Hybrid Light Source (PF-HLS) の実現に向けた開発研究が、KEK 研究実施計画 2022において採択され、これに基づき「開発研究多機能ビームライン (BL-11)」の建設が進んでいる。このビームラインでは、PF-HLS で展開される放射光 2 ビーム利用（硬 X 線 :HX と軟 X 線 :SX の同時利用）の技術や、新たなサイエンスの方向性を実証することを目指している。また BL-11 の建設に伴い移設されたビームライン (BL-12A) は、軟 X 線からテンダー X 線領域まで広いエネルギー領域が利用できる「広波長域ビームライン」として生まれ変わった。これら 2 つのビームラインでのサイエンスの成果の創出を目的として、PF 研究会「放射光 2 ビーム利用と広波長域実験が切り拓く学術フロンティア」(2024 年 11 月 17 ~ 18 日) を開催した。本研究会の提案者である PF-UA、学術 4 施設 (PF、UVSOR、HiSOR、ISSP-SOR)、そしてユーザーの方々からの様々なサイエンスの提案があり、これらの新しいビームラインや PF-HLS で拓かれるサイエンスの活発な議論が行われた。この PF 研究会で提案されたサイエ

氏名	職位	担当手法グループ	専門分野
中尾 裕則	教授、部門長	回折・散乱	共鳴 X 線散乱を利用した構造物性研究
松垣 直宏	教授	タンパク質結晶解析	タンパク質結晶構造解析
大東 琢治	准教授	軟 X 線吸収分光	X 線光学
奥山 大輔	准教授	回折・散乱	X 線回折、磁性、結晶 / 磁気構造解析
高木 秀彰	助教	小角散乱	小角 X 線散乱、高分子化学
山下 翔平	助教	軟 X 線顕微鏡	X 線吸収分光、無機化学
柴崎 裕樹	助教	高圧	高圧力科学
丹羽 尉博	助教	X 線吸収分光	時間分解 XAFS、イメージング XAFS、材料科学

※ 2024 年度末時点

ンスの方向性をもとに PF、物構研内の議論を経て、次期光源で切り拓かれるサイエンス「Leading Field」として、まとめたところである。

4. 今後の展望

新たなビームライン BL-11, BL-12A を用いた測定手法開発、サイエンスの展開を推進する。また、上述の PF 研究会では BL-11 で利用可能となる HX+SX の 2 ビーム利用に加え、HX+HX、SX+SX の 2 ビーム利用への展開も期待されていた。一方、汎用利用装置の遠隔化・完全自動化や、AI 活用による測定パフォーマンスの最大化などの展開も期待されている。PF・PF-AR 全体の利用状況も鑑みつつ、今後のビームラインのスクラップ＆ビルドを含む展開に関して議論し、進めていく予定である。

4. 放射光科学研究所

4-1. 表面科学研究部門

雨宮 健太

物質構造科学研究所 放射光科学第一研究系

1. 概要

表面科学研究部門は、表面および界面に特有の機能に着目し、放射光をはじめとする様々なプローブを用いた実験手法を駆使して、それらの機能の発現機構を解明するとともに、新たな機能性物質を創成することを目指している。単に既存の手法を利用するだけではなく、放射光実験施設や加速器研究施設・加速器第六研究系と協力して、新たな表面観察手法の開拓も行う。2024年度のスタッフは下記の表の通りである。

2. 活動内容

【働く表面・界面をその場で観る】

原子レベルで制御された磁性薄膜は、垂直磁気異方性や巨大磁気抵抗効果など、バルク磁性体には無い特長を示すことから、いわゆるスピントロニクス材料として利用されている。また、化学反応を促進させるために欠かせない触媒は、その表面において化学種の吸着、拡散、反応、脱離といったプロセスを協奏的に進行させることで、高い選択性と反応速度を実現している。こうした機能性物質において、その性能の鍵を握るのは、動作中の表面・界面の状態である。本グループでは、深さ分解 XAS/XMCD 法、波長分散型 XAS 法など、新たな発想に基づく実験手法を開発し、表面・界面が働いている状態をその場で観る（オペランド観察する）ことによって、磁性薄膜や触媒の機能発現機構を解明するとともに、より高い機能を示す物質を創成することを目指している。また、物質の原子を 1 層ずつ制御する技術を用いて、自然界には存在しない界面状態を人工的に作製したり、表面状態を制御したりすることによって、その表面・界面にこれまでにない新たな電子状態を創り出し、角度分解光電子分光 (ARPES) や XAS、XMCD 等の放射光分光に加えて、中性子・ミュオン・低速陽電子など様々なプローブを駆使して観察することで、更なる高

い機能を持った表面・界面状態を実現することを目指している。

2024 年度は、最近開発した蛍光収量法による波長分散型 XAS 法を、溶液を用いた電気化学反応に本格的に適用し、電位を掃引しながら電極の表面付近における酸素 K 吸收端 XAS をリアルタイム・オペランド測定した。例えば、酸素発生用の光触媒である TiO₂ について、UV 光照射の有無による表面化学種の違いを明らかにしたり [1]、同じく酸素発生用の電極触媒である Ru 酸化物について、電位掃引の繰り返しによって Ru の状態とともに表面付近に発生する化学種が変化する様子を観察したり [2] といった研究を行った。さらに、以前から酸素 K 吸收端で波長分散 XAS によるオペランド観察を行っている CoO_x について、全く同じ試料構成で Co K 吸收端 XAS の測定を行い、Co の化学状態の変化を観察した [3]。今後、BL-11 における軟 X 線 XAS と硬 X 線 XAS の同時測定によって、電極反応における触媒の状態と生成化学種の同時観察を実現し、反応の全貌の解明へと発展させていきたい。

3. 今後の展望

引き続き、主に軟 X 線を利用した先端的な表面・界面研究を進めるとともに、表面・界面における特異な状態をより多面的に観察するために、軟 X 線に加えて硬 X 線、中性子、低速陽電子などを相補的に用いたマルチプローブ利用研究を推進する。このために、放射光、中性子、低速陽電子を用いた測定装置間でホルダー形状を統一し、試料を真空に保持した状態で搬送して各装置で測定できるシステムの開発をさらに進める。また、蛍光収量法による波長分散型 XAS 法をさらに発展させ、準大気圧下での触媒反応や、固液界面における光触媒反応の観察を行うとともに、深さ分解 XAS 法も含めて研究対象を拡大し、電池材料などの薄膜デバイスのオペランド計測を行っていく予定である。

氏名	職位	主な研究内容
雨宮 健太	教授、部門長	新しい表面・界面観察手法の開発、磁性薄膜の化学・磁気状態の深さ分解分析、表面化学反応の実時間観察
阪田 薫穂	特任准教授（2024.6.30まで） 准教授（2024.7.1より）	軟 X 線 XAS 等による表面・界面物性の解析、電気化学反応中の固液界面のオペランド観察、光触媒の表面物性の解析
AFMED, Rezwani	特別助教（2025.1.1より）	低速陽電子回折 (LEPD) の開発、低速電子回折 (LEED) と LEPD の定量解析による表面原子配列の決定、マルチプローブ実験による表面分析

引用文献

- [1] K. Sakata and K. Amemiya, *Electrochim. Commun.* **165**, 107771 (2024).
- [2] K. Sakata, K. M. Macounová, K. Amemiya, and P. Krtík, *Electrochim. Acta* **507**, 145066 (2024).
- [3] K. Sakata and K. Amemiya, *J. Phys.: Conf. Ser.* **3010**, 012167 (2025).

4-2. 固体物理学研究部門

熊井 玲児

物質構造科学研究所 放射光科学第一研究系

1. 概要

固体物理学研究部門は、物質中のミクロからメソスコピークな領域の構造や電子状態から、マクロな物性を理解するために、実験的あるいは理論的な研究を行っている。また、これらの知見をもとに、新奇な物性の開拓や新たな材料の開発を推進している。部門内では3名のPIがそれぞれ研究グループを形成して活動し、研究対象は学術的に興味ある物理現象から、応用面で重要な材料の物性まで広範囲にわたる。実験手法としては精密X線結晶構造解析、共鳴X線散乱、X線磁気散乱などをはじめとした放射光X線の利用に加え、中性子やミュオン、さらにはクライオ電子顕微鏡によるmicroEDなど、物構研の特徴でもあるマルチプローブによる研究を展開している。また、放射光実験施設とも協力して、これらの手法の高度化や、次世代の放射光源も視野にいれた利用法・解析手法の開発も行っている。

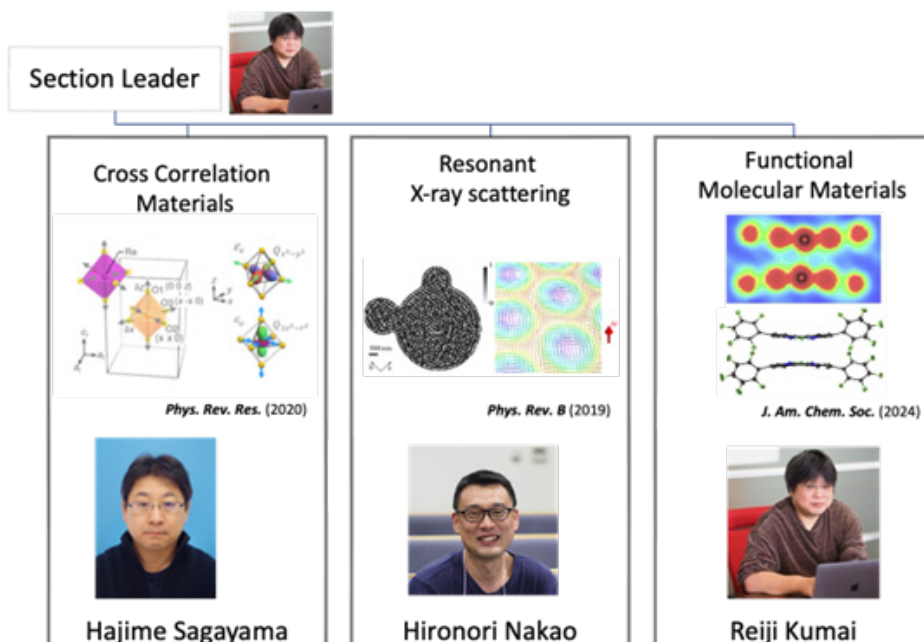
2. 活動内容

多数の原子や分子、イオンが集合した「凝縮系」では、それらの集合様式によって示す物性に大きな違いをもつ。物質の性質を理解するためには、これらの物質中で集合化した電子の状態を解明することが必須である。このような観点のもと、部門内の各グループでは、PIを中心に国内

外の研究者と共同研究を行いつつ、以下のように多様なサイエンスを展開している。

佐賀山グループは、強相関電子系物質の研究を中心に行っている。スピン、電荷、格子、軌道占有率、軌道角運動量などの複数の自由度に起因するエキゾチックな物理現象がみられる強相関電子系物質における交差相関現象の起源解明のために、放射光、中性子、ミュオンの相補的利用を推進している。中尾グループは、共鳴X線散乱を用いて、凝縮系の様々な興味深い現象の解明を目指している。共鳴X線散乱は、物質の電子状態の空間秩序や相関を観測するための強力なツールであり、様々な系へ応用されている。最近では、第2.5世代光源といわれるフォトンファクトリーでもコヒーレント軟X線が利用可能であることを実証し、共鳴X線散乱とコヒーレンスを組み合わせたイメージング手法の開発を推進している。熊井グループは、分子系のマクロな物性をミクロな結晶構造から明らかにすることを目的とし、様々な分子性結晶や薄膜の構造から、その機能発現機構の解明を進めている。また、電場や圧力など外場下での物性制御と構造変調の観測にも力を入れるとともに、最近ではクライオ電子顕微鏡を用いた微小結晶の電子線回折による構造決定(microED)も進めている。なお、2024年10月に中尾は放射光実験施設に転出し、教授・測定装置部門長に着任した。

Solid State Physics Section



これらの実験的、理論的研究を推進するにあたり、メンバー3名はフォトンファクトリー内のX線回折・散乱ビームライン（BL-3A、4C、8A、8B、14A、ユーザーグループ運営ビームライン BL-4B2、6C、10A および所外ステーション BL-18B）において、担当者としてビームラインおよび実験装置の維持、管理、高度化にもあたっている。また中尾は、軟X線領域での共鳴X線散乱研究を進めるための真空中X線回折計の維持・管理・高度化にあたっており、BL-11B、13A、16A、19Bにおける共同利用実験に供している。

各ビームラインでは、装置の老朽化が進んでおり、ユーザー実験を円滑に進めるための維持・管理を中心に行っているが、スタッフおよびユーザー実験のニーズに合わせた

高度化も検討している。アウトプットを最大化するための方策を検討しているが、予算的な制約もあるため、外部資金への積極的な応募を推奨している。

3. 今後の展望

各グループで推進するサイエンスおよびそのための手法が多岐にわたるが、各グループが外部の研究者と協力して研究を進める一方で、部門内で協力する体制も引き続き整えていきたい。また、PF内のビームラインにおいて、新たな手法開拓や装置・解析手法の高度化、自動化、リモート化なども積極的に行うとともに、次期光源を視野にいれ、展開可能な新たなサイエンス、実験手法の検討を併せて行っていきたい。

氏名	職位	主な研究内容
熊井 玲児	教授、部門長	精密構造解析および外場下構造解析による物性発現機構の解明
佐賀山 基	准教授	放射光、中性子、ミュオンの協奏的利用による交差相関物性の微視的解明
中尾 裕則	准教授（～9月）	共鳴X線散乱を用いた構造物性研究

4-3. 構造生物学研究部門

千田 俊哉

物質構造科学研究所 放射光科学第二研究系

1. 概要

構造生物学研究部門は、放射光及びクライオ電子顕微鏡を利用して生体高分子の立体構造を原子分解能で解明し、その構造情報を利用して生命活動が維持されるメカニズムを分子や原子のレベルで理解することを目的としている。この目的を達成するために必要な生化学、分子生物学、生理学的な研究も共同研究を含む形で行う。構造解析の手法開発も、放射光実験施設との協力の下、推進している。

2. 活動内容

タンパク質結晶構造解析分野においては、タンパク質の発現、精製、結晶化から、回折データ測定、構造決定まで一貫した研究が可能なように幅広い取り組みを行ってきた。2024年度は、事前配分していた全自動測定ビームタイムをすべてラピッドアクセスビームタイムへと移行した。実験5営業日前までの申請が可能であり、より柔軟で迅速なビームタイム利用を実現するとともに、測定失敗率の低減、自動解析パイプライン拡充など自動測定環境の改良を行った。一方、近年測定需要が増している有機・無機の低中分子結晶構造解析に対応すべく、AR-NW12Aにおいて高エネルギーX線を利用した超高分解能構造解析に向けたビームラインの改造を行っている。6.5-35 keVの硬X線利用のため、新集光ミラーの製造やCdTeセンサーを搭載した新検出器の導入（図1）を進めた。タンパク質結晶加工機の高度化として、協働ロボットによる自動試料輸送の開発を行った。

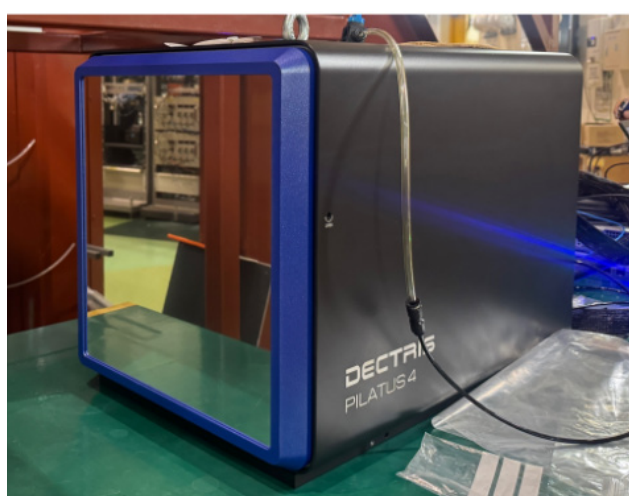


図1 高エネルギーX線用に導入されたCdTeセンサー仕様のピセルアレイ検出器

クライオ電子顕微鏡（クライオ電顕）分野では、300 kV クライオ電顕である Titan Krios は、年間 209 日の稼働によりアカデミア 19 グループ、企業 9 社の利用があった。利用の内訳としては、39.5% がアカデミア利用、35.7% が企業利用、24.8% が内部利用であった。200 kV クライオ電顕の Talos Arctica に関してはアカデミア 16 グループ、企業 3 社のマシンタイム利用があり、年間 151 日の稼働を達成した。利用の内訳としては、59.6% がアカデミア利用、8.6% が企業利用、31.3% が内部利用であった。また、クライオ電顕データの自動処理に向けた開発（GoToCloud など）が進み、外部公開に向けて試験的運用が進んでいる。また、半年に一回のペースで Activity Report の発行を行なっている (<https://www2.kek.jp/imss/sbrc/beamline/cryoem/activityreport/activity-report.html>)。

構造生物学的な研究としては、(1) GTP エネルギー代謝と疾病、(2) 糖鎖と疾病、(3) 感染症、(4) 転写とエピジェネティクス、(5) 酸化還元酵素などのテーマを主として扱うとともに、日本医療研究開発機構（AMED）の創薬等先端技術支援基盤プラットフォーム（BINDS）事業に参画し、多数の共同研究を行なってきた。2024年度の代表的な成果としては、hERG チャネルの薬剤結合に関する構造解析 [1]、バンコマイシン耐性腸球菌の阻害機構に関する研究 [2]、寄生バチの生存戦略に関する分子機構の研究 [3]、バイオマスとしての利用が注目されるリグニン分解系の構造生物学的研究 [4]、クラウドコンピューティング環境を活用したクライオ電顕データ解析環境構築 [5] などに関する論文が発表されている。

3. 今後の展望

現在は、一つのタンパク質を多面的に研究する必要性が高まっており、相関構造解析の手法が欠かすことができない。例えば、結晶構造だけでなく溶液中の構造情報を得るために小角散乱やクライオ電顕を併用した解析を行なって、その結果をタンパク質の構造と機能の関係の研究にまで発展させる必要がある。自動化に関しても、精製タンパク質の溶液散乱、結晶化、回折データ測定のためのデータベースの統合や AI 利用による利便性の向上に加え、相関構造解析サポートするという観点も重要である。

構造生物学の研究においては、引き続き主要分野での研究を行っていくとともに、測定と解析の自動化を最大限に利用した研究を進めることで、全自動解析技術のアピールと普及も行う。また、構造データと生物学的な機能を細胞内の過程を考慮した上で関係付けるために、遺伝子発現、代謝産物、脂質等を網羅的に解析する OMICS データと、

構造学的データと組み合わせながら研究を進め、生体内ネットワークの構造解明の方向へ研究展開を行うとともに、バイオインフォマティクス分野などとの共同作業を積極的に進めたい。

引用文献

- [1] Y. Miyashita, T. Moriya, T. Kato, M. Kawasaki, S. Yasuda, N. Adachi, N. Suzuki, S. Ogasawara, T. Saito, T. Senda, T. Murata, *Structure* **32** 1926 (2024).
- [2] K. Suzuki, Y. Goto, A. Otomo, K. Shimizu, S. Abe, K. Moriyama, S. Yasuda, Y. Hashimoto, J. Kurushima, S. Mikuriya, F. Imai, N. Adachi, M. Kawasaki, Y. Sato, S. Ogasawara, S. Iwata, T. Senda, M. Ikeguchi, H. Tomita, R. Iino, T. Moriya, T. Murata, *Nature Structural & Molecular Biology* **32** 450 (2024).
- [3] T. Kamiyama, Y. Shimada-Niwa, H. Mori, N. Tani, H. Takemata-Kawabata, M. Fujii, A. Takasu, M. Katayama, T. Kuwabara, K. Seike, N. Matsuda-Imai, T. Senda, S. Katsuma, A. Nakamura, R. Niwa, *Science Advances* **11** eadq8771 (2025).
- [4] H. Yu, N. Kamimura, R. Kato, M. Genoveso, M. Senda, E. Masai, T. Senda, *Communications Biology* **8** 323 (2025).
- [5] T. Moriya, Y. Yamada, M. Yamamoto, T. Senda, *Communications Biology* **7** 1320 (2024).

氏名	職位	専門分野
千田 俊哉	教授, 部門長	GTP 代謝とレジリエンス、酸化還元酵素の構造生物学
加藤 龍一	准教授	糖代謝に関わる生体分子機構の構造生物学、タンパク質の結晶化の高度化
川崎 政人	准教授	クライオ電子顕微鏡単粒子解析
田辺 幹雄 (2024年10月から准教授)	特任准教授	細菌感染症における宿主 / 病原体の相互作用と薬剤耐性機構の解明
守屋 俊夫	特任准教授	クライオ電子顕微鏡単粒子解析のデータ解析、関連ソフトウェア開発、計算環境整備
引田 理英	助教	タンパク質結晶構造解析ビームラインにおける顕微分光装置の開発、放射光ビームラインの高度化
千田 美紀	特任助教	タンパク質の結晶化技術の開発、酸化還元酵素の構造生物学
露口 正人	研究員	糖アルコールリン酸修飾のバイオロジー
池田 聰人	研究員	クライオ電子顕微鏡単粒子解析
GENOVESO, Michelle Jane Clemeno	研究員	GTP 代謝に関わる酵素の立体構造解析
中村 司	研究員	クライオ電子顕微鏡を用いた生体高分子の構造解析と構造バイオインフォマティクス
MILLER, Simon	研究員	GTP 代謝、脂質キナーゼ、および概日時計の分子生物学および構造生物学
藤井 裕己	研究員	クライオ電子顕微鏡単粒子解析、GTP センサー蛋白質による下流因子の制御機構の解析

4-4. 材料科学研究部門

木村 正雄

物質構造科学研究所 放射光科学第二研究系

1. 概要

我々は、人々の生活を豊かにする、材料の創製やプロセス開発、物質の機能発現の理解、に資するサイエンスを目指し、物構研のメンバーはもちろん、国内外の产学研のユーザーと連携して研究を進めている。そのために必要となる観察技術を、関連する部門と協力して研究・開発し、それを活用した研究および共同利用を展開している。具体的には、X線吸収分光（XAFS）、顕微分光法を軸に、

(a) 材料の不均一（heterogeneity）、(b) 反応の時分割計測（dynamics）、(c) 表面 / 界面現象（surface/interface）、の3つの視点から、高度の観察技術を用いた研究を進めている（図1）[1]。

【ビームラインの高度化視点】

ビームラインの高度化を進めるに際して、特に以下の四点を重点項目としている。

- (1) 材料の不均一性を明らかにすること（heterogeneity）
- (2) 材料の時間変化を明らかにすること（dynamics）
- (3) 表面 / 界面の現象を明らかにすること（surface/interface）
- (4) 計測基盤技術の高度化（自動化、標準化を含む）

2. 活動内容

【ビームライン整備】

当グループが放射光実験施設と共同で管理するビームラ

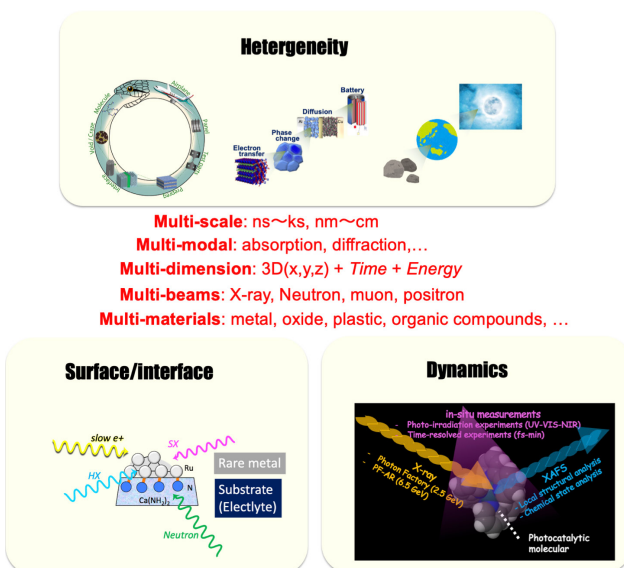


図1 材料科学研究部門の研究ターゲット

イン[2]は、产学研の様々な研究者が無機 / 有機の多様な材料を持ち込んで実験が行われている。そのため実験環境に対するニーズも年々多様化しており、それに応えるべく様々なビームラインの環境整備を実施している。XAFS実験の効率化のため、in situ ガス自動化システム（@BL-9C、AR-NW10A）、ハイスループット XAFS 実験ステーションの自動測定（@BL-12C）が順調に稼働している。BL-15A1 ではアンジュレータからの高輝度セミマイクロビーム（20 μm 径）を用いてX線吸収分光（XAS）、X線蛍光分析（XRF）、X線回折（XRD）の同視野観察が可能である。

ここ数年特にX線顕微鏡の整備に力をいれてきた。上述した BL-15A1 での「XAS/XRF/XRD mapping」、BL-19A/B での「走査型透過X線顕微鏡（STXM）」、AR-NW2A での「X線吸収分光顕微鏡（XAFS-CT）」を整備してきた。新たに「広視野でのX線吸収分光マッピング（XAS mapping (LFOV)）」の導入に取り組んでおり 2021 年 10 月から共用設備として公開し、地球科学や電池の分野で利用されている（図2）。さらに、in house X線を用いた X-CT も合わせて、広いエネルギー域（硬軟X線）、マルチスケール（[視野；空間分解能] = [μm; 数 10nm] ~ [10mm; 数 μm]）、マルチモーダル（吸収分光、蛍光、回折）での顕微法が、ひとつのグループで利用できるユニークな体制となっている。こうした特徴を活かして、产学研の様々なニーズに対応して、構造材料[3]、電池、有機材料、金属材料、地球惑星関連物質[4]、環境科学、等の分野で研究を展開している。

ハイスループット化とユーザーの対応のためにビームラインの遠隔化を進めた。特に、BL-12C では、試料自動交換ロボットにより、透過法での標準的な測定の完全自動化を実現している。

AR-NW14A では、時間分解 XRD で計測される材料の相転移過程や破壊のトリガーサイトや、惑星形成に重要な

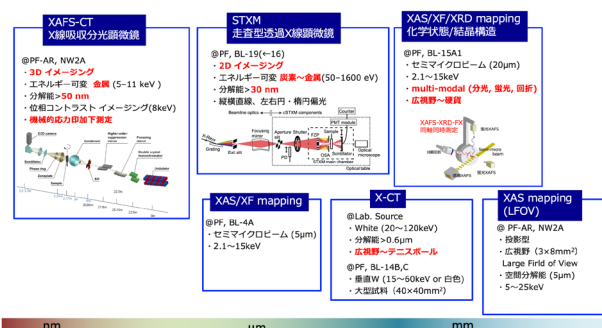


図2 材料科学研究部門が管理・関係している主なX線顕微鏡

現象である隕石衝突を模擬した岩石の衝撃圧縮状態について圧力履歴を追跡して精密解析する等[5-7]様々な反応の時分割計測が行われている。また、AR-NW2Aではレーザーによる急速加熱に伴う相転移の観察技術[8]、さらにNW2AとNW14Aの相補利用により、XAFS & XRDのマルチモーダル測定が可能となっている[9]。

BL-27Bは、2019年度より放射線生物UGと原子力基盤研究UGの共同でのUG運営ステーションとなった。非密封RI(核燃料物質を含む)のXAFSが測定できる実験ステーションとして、福島第一原子力発電所事故後の環境修復や廃炉に関する課題が実施されている。また、XAFS測定のための制御システムを、他のXAFSビームラインと共に更新し、ユーザーの利便性を高めた。

【部門内活動】

必要に応じてグループミーティングを開催し、情報交換、活動報告、研究報告、今後の方針等の議論を行った。

【学会等対外活動】

国際XAFS学会(IXAS)Executive Committee、国際結晶学連合(IUCr)Commission on XAFS等、放射光やXAFS分野の発展のための活動を実施した。また、茨城大学の学生実習等、XAFSを広く知らせる活動を行った。さらに、TIAかけはし課題への参加やそのWorkshop等に参加・発表する等して、X線吸収分光を新たな分野へ展開する活動を進めた。

一方、X線吸収分光を軸に、国内の放射光施設連携にも積極的に取り組んでおり、光ビームプラットフォーム事業[10]を契機に始めた活動であるHX-XAFSのラウンドロビン実験、他の放射光施設での実験、等、を継続して進めた。国際的な活動も精力的に進めており、国際会議の発表や国内外の施設のXAFS関係者との連携をすすめている。こうした活動が契機となりInternational XAFS Round Robinの話が進んでいる。PFでXAFS分光実験を進めるのに必要な各種情報をはじめとして当該分野の研究コミュニティに対する情報発信として、ホームページ[1,11]を整備し様々な情報を提供している。

情報科学を利用した材料研究のための基盤整備のひとつとして、PFで測定されたXAFSスペクトルを集めた「PF XAFSデータベース」の整備を進めてきた[12]。これらのデータは、他の施設で測定したXAFSスペクトルデータや、他の様々な材料科学データと合わせて活用することにより、その価値が一層高まると考える。そこで、国内の放射光施設関係者と連係して、各施設が独自で進めてきたデータベースを、NIMSのMDRにdepositして、広く活用してもらう計画を進めた。「PF XAFSデータベース」のデータも2022年3月にNIMSのMDR[13]に公開している。

【推進している研究】

産学公の様々な研究者がユーザーにとって魅力的なビームラインおよび実験環境の整備を行うためには、自らが魅

力ある研究を行うことが必要と考え、国家プロジェクトや企業との共同研究をグループとして積極的に推進している。過去には新学術「革新的光物質変換」[14]、新学術「高速分子動画」[15]、新学術「ソフトクリスタル」[16]、未来社会創造事業「モノの寿命」[17]、CREST「革新反応」[18]、CREST「自在配列システム」[19]、現在は学術変革A「イオン渦滞学」等の国家プロジェクトで研究推進の中心母体とし参画し、関連するビームラインの整備を進めている。

Heterogeneityの分野としては、マルチスケール、マルチモーダルでの顕微法が、ひとつのグループで利用できるという特徴を活かして、産学公の様々なニーズに対応した研究を展開している。具体的には、構造材料のき裂観察、電池のoperando観察、有機材料の微細組織観察、金属材料の微細組織観察、地球惑星関連物質や環境科学での化学状態観察、等の研究を展開している。特に、X線顕微鏡で得られた多次元のビッグデータから情報を引き出すために、微細組織や化学状態の不均一性の「かたち」と「うごき」を応用数学を用いて解析するアプローチの研究を進めており、学術変革領域研究「データ記述科学」[20]を立ち上げ、材料科学班として活動を進めている。その中で、立命館大、阪大、東北大等と共同で、様々なX線顕微鏡のビッグデータからパーシステントホモロジーを用いて本質的な情報抽出することに取り組んでいる[21]。

Dynamicsの分野としては、AR-NW14Aでは、様々な化学反応のマルチスケール観察[22]、強相関電子系の超高速光誘起相転移[23]、等様々な反応の時分割計測を進めている。AR-NW2AでCWレーザーを放射光と組み合わせ、数10nsの時間スケールでの急昇降温に伴う構造変化を観察する計測法が高度化されている。これにより鉄鋼や金属の相変態を利用した材料設計の指針となる研究を進めている[8]。BL-15A1でもマイクロビームとflow cell、レーザーを組み合わせたμsスケールの反応観察に成功している[24]。また、オンライン計測装置として整備されているフェムト秒時間分解光電子顕微鏡において、近年ではトポロジカル絶縁体の特異な表面状態のダイナミクス研究[25]、等で成果を上げている。

Surface/interfaceの分野では、in situ XAFSにより、触媒と担体の相互作用、新たな触媒の機能発現メカニズムの解明に取り組んでいる。さらに、表面/界面の反応をXAFS分光を用いて捉える新しい測定手法であるTotal Reflection X-ray Spectroscopy(TREXS)の開発を進め、金属表面の酸化等の動的反応観察に展開している。2023年度からは科研費の支援も得て、固液界面TREXSの研究開発を進めている。また、マルチビームを使った触媒の表面反応の研究、食品科学分野への展開、等も進めている。

学術研究を進める一方、産学公連携の拠点となるべく企業の放射光利用推進のための活動にも力をいれている。2024年度は、4社の民間企業と共同研究、10機関の施設利用があった。特に、共同研究では、新たなニーズに答えるための計測技術の高度化を進めることにより、企業のイノベーションにつながるフィードバックだけでなく、学術

的な成果（学会発表や論文）の創出にもつながっている。例えば日本製鉄（株）との共同研究の成果として、X線顕微鏡を用いた鉄鉱石の水素還元メカニズムの解明に成功し、得られた知見はカーボンニュートラル鉄鋼製造プロセスの実現に向けた展開が期待できる[26]。

これらのプロジェクトや産業利用で得られた外部資金はそれぞれの研究活動に使われるが、その結果進められた環境整備（新たな計測設備の設置、検出器更新や光学系の整備）は、共通基盤的なビームラインの整備につながり、大学共同利用機関としての研究環境の充実に大きく貢献している。PFに対する運営費交付金が大幅に削減されたために大幅に不足しているビームラインの整備に必要な経費を補うとともに、産業利用促進日制度を通じて、不足する運転時間を延ばすための経費を少しでも確保する一助となっている。

3. 今後の展望

今後も、特に以下の点を念頭において、ビームラインや関連設備の環境整備を進めていく。

- (1) 材料の不均一性を明らかにすること (heterogeneity)
- (2) 材料の時間変化を明らかにすること (dynamics)
- (3) 表面 / 界面の現象を明らかにすること (surface/interface)
- (4) 計測基盤技術の高度化
- (5) 数理および情報科学を活用した（ビッグ）データの高度解析

そして、材料関連の研究の拠点のひとつとして機能することを目指していきたい。

引用文献

- [1] <https://www2.kek.jp/imss/pf/section/material/>, <http://sip-sm4i.kek.jp/>
- [2] <https://pfxafs.kek.jp/beamlies/>
- [3] M. Kimura *et al.*, Comp. Sci. Tech. **230**, 109332 (2022).
- [4] T. Nakamura *et al.*, Science **379**, 6634 (2022). 10.1126/science.abn8671.
- [5] K. Ichiyanagi *et al.*, Sci. Rep. **9**, 7604 (2019). 10.1038/s41598-019-43876-2.
- [6] S. Takagi, *et al.*, J. Synchrotron. Rad. **27**, 371(2020). 10.1107/S1600577519016084
- [7] S. Takagi, *et al.*, Geophys. Res. Lett. **47**, e2020GL089592 (2020). 10.1029/2020GL089592
- [8] Y. Niwa *et al.*, ISIJ Int. **62**, 155 (2020). 10.2320/matertrans.mt-m2020301.
- [9] Y. Niwa *et al.*, Mat. Trans. **62**, 155 (2021). 10.2320/matertrans.mt-m2020301. (2021年日本金属学会論文賞)
- [10] <https://photonbeam.jp/>
- [11] <https://pfxafs.kek.jp/>
- [12] <https://pfxafs.kek.jp/xafsdata/>
- [13] <https://mdr.nims.go.jp/collections/qz20st57x>
- [14] <http://photoenergy-conv.net>
- [15] <https://www.molmovies.med.kyoto-u.ac.jp>
- [16] <https://www.softcrystals.iis.u-tokyo.ac.jp/>
- [17] <https://www.jst.go.jp/mirai/jp/program/sustainable/theme04.htm>
- [18] https://www.jst.go.jp/kisoken/crest/project/1111099/1111099_2020.html
- [19] https://www.jst.go.jp/kisoken/crest/project/1111107/1111107_2021.html
- [20] <https://data-descriptive-science.org/>
- [21] I. Obayashi and M. Kimura, JSIAM Lett. **14**, 151 (2022).
- [22] Y. Shimoda *et al.*, Inorg. Chem. **60** 7773 (2021).
- [23] H. Ichikawa *et al.*, Nat. Mater. **10** 101 (2011).
- [24] W. Cheng, *et al.*, Chem. Lett. **53** (2024) upae012.
- [25] K. Fukumoto *et al.*, Sci. Rep. **14**, 10537 (2024).
- [26] T. Takayama *et al.*, Acta Mater. **301**, 121470 (2025).

氏名	職位	担当手法	専門分野
木村 正雄	教授、部門長	総括、XAFS、X線顕微鏡、位相的解析	材料科学、電気化学、力学工学（特に金属、無機、CFRP）、応用数学（ホモロジー）
山本 樹	特任教授	極短周期アンジュレータの開発	放射光科学、X線量子光学
阿部 仁	准教授	表面・界面、触媒 / エネルギー材料	XAFS、表面科学、物理化学
野澤 俊介	准教授	X線時間分解計測技術の高度化	時間分解測定、人工光合成
福本 恵紀	特任准教授	オフライン計測の推進	時間分解 PEEM、有機・無機半導体、超短パルスレーザー
城戸 大貴	特別助教	XAFS、X線顕微鏡、ビッグデータ解析	X線吸収分光、ホモロジー解析
春木 理恵	研究員	時間分解 XAFS の高度化	光化学反応、核共鳴散乱
KIM, Youngmin	研究員	時間分解 SAXS・WAXS の高度化	光化学反応、光反応タンパク質
UY, Mayrene	研究員	X線顕微鏡、トポロジカルデータ解析	材料科学、放射光科学

5. ビームライン

フォトンファクトリー (PF) には、2.5 GeV の PF リングと 6.5 GeV/5.0 GeV の PF-AR の 2 つの放射光源加速器があり、真空紫外線から硬 X 線まで幅広いエネルギー領域の放射光を利用することが可能である。図に示すように、2024 年度末現在では PF リングに 39 (建設中の BL-11A, -11B を含む)、PF-AR に 9 の実験ステーションがあり、それぞれの実験に最適化された装置や制御系が整備されている。これらのビームラインは 10 の測定手法グループと、それらを束ねた 6 のビームライン群に分類されており、放射光共同利用実験審査委員会では、2021 年度に申請された実験課題より、ビームライン群に対応した審査分科で審査されることになった。

実験ステーションのうち、2022 年度末で閉鎖された BL-11A, BL-11B, BL-11D の機能を統合した BL-12A 「広波長域軟 X 線ビームライン」の建設が完了し、2024 年 11 月よりユーザー利用が再開されている。BL-11 には「開発研究多機能ビームライン」が建設中であり、2025 年後期に利用開始予定である。また、PF-AR の SE2A に素粒子原子核研究所が建設した「測定器開発テストビームライン」(AR-TBL) の利用実験も行われている。AR-TBL は放射光ではなく、PF-AR 内に挿入するターゲットから発生する電子ビームを導いて測定器の開発に利用するビームラインである。共同利用実験課題は素粒子原子核研究所に設置される課題審査委員会で審査されるが、放射光共同利用実験課題審査委員会経由でも物質科学の課題を受け付けることが可能である。

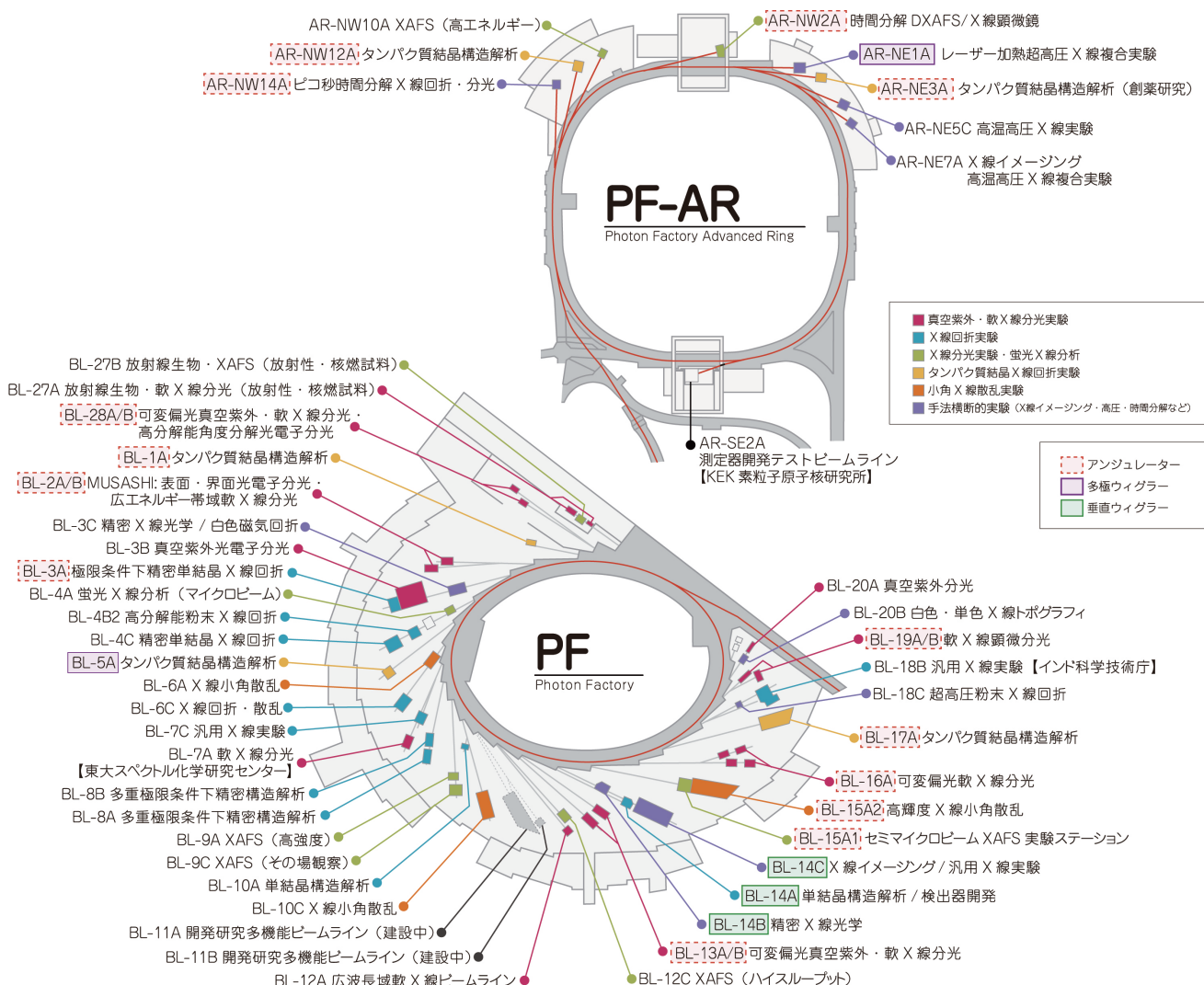


図 PF/PF-AR のビームラインマップ

第1分科

主なサイエンス分野・キーワード：表面科学, 原子分子科学, 構造物性学, 放射線生物学, 材料科学, 地球惑星科学, 環境科学, 電子物性学, 磁性材料学, 触媒化学, 分析化学, 軟X線光学, 医学利用, 検出器開発, 光学素子評価

主な手法：光電子分光, 軟X線吸収分光, 軟X線顕微鏡, 共鳴軟X線散乱, 軟X線反射率, 陽電子回折, ポジトロニウム飛行時間

BL	光源	ステーション名
光電子分光		
BL-2A/B	U	MUSASHI: 表面・界面光電子分光, 広エネルギー帯域軟X線分光
BL-28A/B	U	可変偏光 VUV・SX 不等間隔平面回折格子分光器 高分解能角度分解光電子分光実験ステーション
BL-3B	BM	真空紫外光電子分光ステーション
BL-13A/B	U	表面化学研究用真空紫外軟X線分光ステーション
軟X線吸収分光		
BL-16A	U	可変偏光軟X線分光ステーション
BL-7A (東大・スペクトル)	BM	軟X線分光 (XAES, XPS) ステーション
BL-12A	BM	広波長域軟X線ビームライン
BL-20A	BM	3m 直入射型分光器
BL-27A	BM	放射性試料用軟X線実験ステーション
軟X線顕微鏡		
BL-19A/B	U	軟X線顕微・分光実験ステーション

第2分科

主なサイエンス分野・キーワード：固体物理学, 構造物性学, 物質物理学, 電子物性学, 表面科学, 磁性材料学, 物質化学, 材料科学, 地球惑星科学, 検出器開発

主な手法：粉末X線回折, 単結晶X線回折・散乱, 共鳴X線散乱

BL	光源	ステーション名
回折・散乱		
BL-3A	SGU	極限条件下精密単結晶X線回折ステーション
BL-4B2	BM	多連装粉末X線回折装置
BL-4C	BM	精密単結晶X線回折ステーション
BL-6C	BM	X線回折・散乱ステーション
BL-7C	BM	汎用X線ステーション
BL-8A	BM	多目的極限条件下ワイセンベルグカメラ
BL-8B	BM	多目的極限条件下ワイセンベルグカメラ
BL-10A	BM	単結晶構造解析ステーション
BL-14A	VW	単結晶構造解析／検出器開発ステーション
BL-18B (インド DST)	BM	Multipurpose Monochromatic Hard X-ray Station

第3分科

主なサイエンス分野・キーワード：物質化学, 材料科学, 触媒化学, 地球惑星科学, 環境科学, 磁性材料学, 放射線生物学, 構造物性学, 食品科学, エネルギー科学, 原子力基盤研究

主な手法：硬X線吸収分光, 硬X線顕微鏡, X線反射率

BL	光源	ステーション名
X線吸収分光		
BL-4A	BM	蛍光X線分析 / マイクロビーム分析
BL-9A	BM	XAFS（高強度）ステーション
BL-9C	BM	XAFS（その場観察）ステーション
BL-12C	BM	XAFS（ハイスループット）ステーション
BL-15A1	SGU	XAFS（セミマイクロビーム）実験ステーション
BL-27B	BM	放射性試料用X線実験ステーション
AR-NW2A	U	時間分解DXAFS／X線顕微鏡
AR-NW10A	BM	XAFS（高エネルギー）ステーション

第4分科

主なサイエンス分野・キーワード：構造生物学, 生物物理学, 生化学, 創薬科学, 分子生物学, 農芸化学, 無機/有機化学, ナノ構造科学, 放射線物理化学

主な手法：タンパク質結晶X線回折

BL	光源	ステーション名
タンパク質結晶解析		
BL-1A	SGU	タンパク質結晶構造解析ステーション
BL-5A	MPW	タンパク質結晶構造解析ステーション
BL-17A	SGU	タンパク質結晶構造解析ステーション
AR-NE3A	U	タンパク質結晶構造解析ステーション
AR-NW12A	U	タンパク質結晶構造解析ステーション

第5分科

主なサイエンス分野・キーワード：高分子科学, 繊維科学, 脂質科学, 液晶科学, 材料科学, 食品科学, 無機/有機化学, ナノ構造科学, 構造生物学, 生物物理学, 生化学, 分子生物学

主な手法：小角X線散乱

BL	光源	ステーション名
小角散乱		
BL-6A	BM	X線小角散乱ステーション
BL-10C	BM	X線小角散乱ステーション
BL-15A2	SGU	高輝度X線小角散乱実験ステーション

第6分科

主なサイエンス分野・キーワード：高压科学，構造物性学，地球惑星科学，電子物性学，物質化学，材料科学，X線光学，医学利用

主な手法：高压環境下計測，核共鳴散乱，X線トポグラフィー，X線吸収・位相イメージング，CT，時間分解計測

BL	光源	ステーション名
高压		
BL-18C	BM	超高压粉末X線回折計
AR-NE1A	EMPW	レーザー加熱超高压実験ステーション
AR-NE5C	BM	高温高压実験ステーション /MAX80
AR-NE7A	BM	X線イメージングおよび高温高压実験ステーション /MAX-III
超高速時間分解		
AR-NW14A	U	ピコ秒時間分解X線回折・散乱・分光
X線光学・イメージング		
BL-3C	BM	X線光学素子評価／白色磁気回折ステーション
BL-14B	VW	精密X線光学ステーション
BL-14C	VW	X線イメージングおよび汎用X線実験ステーション
BL-20B	BM	白色・単色X線トポグラフィ / X線回折実験ステーション
AR-NE7A	BM	X線イメージングおよび高温高压実験ステーション

光源の種別

BM：偏向電磁石 通常の放射光

U：アンジュレーター 真空紫外線・軟X線領域の高輝度光が利用できる

SGU：短周期アンジュレーター X線領域の高輝度光が利用できる

(E)MPW：(楕円)多極ウェイグラー X線領域の高輝度光が利用できる

VW：垂直ウェイグラー 縦偏光で高エネルギー（短波長）X線が利用できる

BL-2A/B MUSASHI：表面・界面光電子分光、広エネルギー帯域軟X線分光

大東 琢治、小澤 健一

¹ 物質構造科学研究所 放射光実験施設

1. 概要

BL-2 MUSASHI (Multiple Undulator beamline for Spectroscopic Analysis of Surface and HeteroInterface) は、真空紫外光用と軟X線用の2台のアンジュレータをタンデム配置して排他的に利用することにより、同一のポートで35~2,000 eV の広範囲に渡って高エネルギー分解能かつ高フラックスな放射光ビームを供給できるビームラインである。

BL-2A ブランチにはエンドステーションとして *in situ* 角度分解光電子分光 (ARPES) 装置が常設されており、レーザー分子線エピタキシー法等で作製した酸化物薄膜表面やヘテロ界面に対して、偏光可変真空紫外光を用いた ARPES や、軟X線を用いた内殻光電子分光 (XPS)、共鳴光電子分光等の様々な表面・界面光電子分光測定を同一試料で行うことが可能である。

BL-2B ブランチでは、通常の斜入射回折格子分光器の他に2結晶分光器を用いることで、更に広いエネルギー範囲の放射光を同一のポートで利用できる。上流側には ARPES 装置が設置されており (BL-2BH)、下流側の集光点はフリーポート (BL-2BF) として、持ち込み装置による共同利用実験が可能である。

2. 整備開発および運用状況

2016 年までに、斜入射回折格子分光器と真空紫外光・軟X線用アンジュレータの調整が終了し、A/B ブランチともに 35 ~ 2,000 eV の範囲において設計通りの放射光ビームを利用することが可能となっている。現在 A/B ブランチとともに、斜入射回折格子分光器からの真空紫外光・軟X線を利用した実験への供用を行っている。

BL-2A ブランチの ARPES 装置は順調に稼働中である。

BL-2B ブランチでは、下流側の BL-2BF において持ち込み装置による共同利用実験を行っているマルチバンチモードでは、デバイスの動作状態での電子状態評価を可能とするオペラント軟X線吸収分光 (XAS) の開発とそれを利用した共同利用実験が主に行われている。ハイブリッドモードでは PF で開発されたパルスセレクターを用いた共同利用実験も行われている。一方、上流側の BL-2BH ポートにおいては ARPES 装置のアナライザを SES2002 から

R4000 (シエンタ オミクロソル) へと交換し、立ち上げを行なってきた。2024 年度は iGONIO マニピュレータを改造し、電圧印可下でのオペラント光電子分光測定を可能とするシステムの整備を進めた。

3. ビームタイム利用状況

BL-2 MUSASHI の共同利用実験としては、特に本ビームラインの他にはない特長である、真空紫外光・軟X線の相互利用や広エネルギー範囲を生かした利用課題を推奨して、ビームタイム配分を行っている。具体的には、以下のような利用目的が挙げられる。

- (1) XPS と真空紫外 ARPES の相互利用による化学結合状態とバンド構造の理解
 - (2) 軟X線 ARPES と真空紫外 ARPES の相互利用によるバルク電子状態と表面電子状態の理解
 - (3) Li から Al までの K 端, 3d 遷移金属 L 端等の XAS 測定による機能性複合材料の全元素選択的電子状態解析
- ユーザー利用としては、BL-2A ブランチの ARPES 装置では、BL-2B と差別化した高エネルギーの軟X線を使用した ARPES 実験がよく実施されている。特に、元素選択的なバンド構造解明のための軟X線共鳴 ARPES 実験の利用が多い。2024 年度の BL-2 における代表的な成果として、下記 3 報を挙げる。

K. Yoshimatsu, H. Nakao, and H. Kumigashira, Phys. Rev. Mater. **8**, 035002 (2024).

R. Hayasaka 他 10 名, APL Mater. **12**, 072222 (2024).

K. Koreishi, T. Soma, H. Kumigashira, and A. Ohtomo, Appl. Phys. Lett. **125**, 152101 (2024).

4. 今後の展望

長く利用を停止していた BL-2B ブランチの 2 結晶分光器の再整備を 2024 年度から本格的に始めた。本分光器は、Si(111)、Ge(111)、InSb(111) の 3 つの結晶で 2000 から 4000 eV までの光をカバーするものである。2025 年度には、最も光強度の大きい Si 結晶での分光光を用いて、XPS 測定と XAS 測定ができるように整備をする予定である。

BL-28A/B：可変偏光 VUV・SX 不等間隔平面回折格子分光器 高分解能角度分解光電子分光実験ステーション

小澤 健一
物質構造科学研究所 放射光実験施設

1. 概要

BL-28A/B は可変偏光アンジュレータと不等間隔平面回折格子を用いた可変偏角 Monk-Gillieson 型分光器を備えたビームラインであり、30-300 eV の真空紫外光、軟X線で、左右円偏光、垂直・水平直線偏光を用いた研究が行われている。ビームラインは 2 つのプランチからなり、分岐ミラーの切り替えにより排他的な利用を行っている。BL-28A は高分解能角度分解光電子分光 (ARPES) ビームラインである。2016 年度から 2020 年度にかけて光電子分光アナライザと後置集光鏡の更新を順次進め、マイクロメートルサイズにまで集光したビームを利用した ARPES 測定が可能なシステムとして運用が開始されている。BL-28B ブランチはユーザー装置の持ち込みが可能なフリーポートとしての運用を行っている。

2. 整備開発および運用状況

BL-28A では国際的競争の激しい新物質の電子構造研究において主導権を握ることができるように、高分解能・高精度の ARPES 実験が可能なビームラインとして整備している。経年に伴うビームラインの老朽化があるものの、ARPES 測定の共同利用実験では順調に成果を上げてきた。そのような中で、2016 年度からは偏向電子レンズが備わった新しい ARPES 装置 (Scienta Omicron, DA30) の整備を進め、2019 年度から運用を開始した。さらに 2020 年度には、CREST 「ナノスピニ ARPES によるハイブリッドト

ポロジカル材料創製」の競争的資金を得て、トロイダル集光鏡から Kirkpatrick-Baez (K-B) ミラーに光学系を更新した (図 1)。これにより、これまでのトロイダルミラーの使用で $300 \mu\text{m}$ (H: 水平方向) $\times 200 \mu\text{m}$ (V: 垂直方向) であったスポットサイズを $10 \mu\text{m}$ (H) $\times 12 \mu\text{m}$ (V) にまで集光できるようになり、マイクロビームを使った ARPES 実験 (μ -ARPES 実験) が可能になった [1]。

BL-28B はフリーポートであり、ユーザー装置の持込み利用を想定している。分岐ミラーによる反射でプランチ B に光を導入し、トロイダル鏡を使った集光によりビームサイズ $100 \mu\text{m}$ (H) $\times 40 \mu\text{m}$ (V) の光を供給している。

COVID-19 により大きく進んだリモート化に関しては、BL-28A/B では NoMachine を介した測定環境が整い、2023 年度より運用している。ただし、試料トランシスターなどは現場で行う必要があるため、完全なリモート化はできないのが現状である。

3. ビームタイム利用状況

BL-28A/B の共同利用実験では、本ビームラインの特長である低エネルギー (特に 30-100 eV) で高分解能の偏光可変真空紫外・軟X線放射光を活かした利用課題に重点を置いてビームタイム配分を行っている。本ビームライン、特に BL-28A はフォトンファクトリのビームラインの中でも特に需要が高く、2024 年度は配分可能なビームタイムに対して 1.4 倍 (第 1 期), 1.4 倍 (第 2 期), 3.0 倍 (第 3 期)

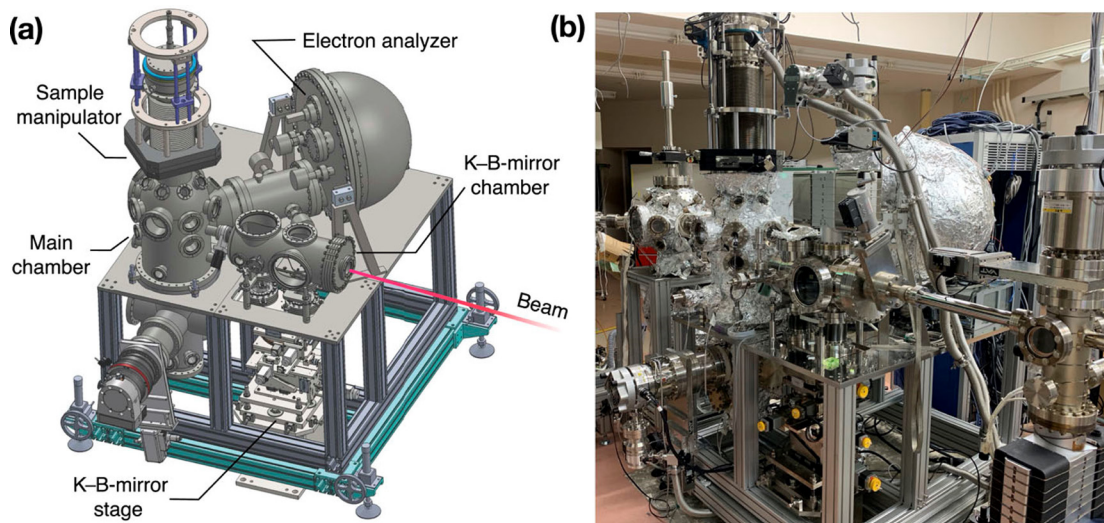


図 1 BL-28A の μ -ARPES 測定システム [1]

のビームタイム希望があった。そのため、希望者全員に十分なビームタイムを配分できない状況であったが、短いビームタイムで効率的に質の良いデータを得る実験が実施されている。

2024年度に発表されたBL-28A/Bを利用した研究成果としては、180度ツイスト2層ReSe₂の電子構造研究[2]、強磁性体(Cr_{0.35}Sb_{0.65})₂Te₃の交換相互作用によるスピン分裂の研究[3]、トポロジカルらせん鎖に由来するエッジ状態の観察[4]、半金属ボロファン層のフェルミ端の研究[5]、カゴメ超伝導体Cs(V_{1-x}Cr_x)₃Sb₅の電荷密度波転移の研究[6]、ホウ化クロム単一微結晶の化学状態評価研究[7]などが挙げられる。

4. 今後の展望

今後もBL-28Aのμ-ARPESシステムを用いて、第3世代放射光源での実験に匹敵するユーザー利用実験を進めて

いく。特に、大きな結晶試料が得られない新規物質群の電子構造解析に、マイクロビームを利用することでいち早く取り組むことが可能なため、プライオリティ競争にも積極的に参加できるだろう。フリーポートであるBL-28B ブランチの利用が徐々に増えており、ユーザーからのリクエストに応えた測定環境整備も逐次進める予定である。

引用文献

- [1] M. Kitamura *et al.*, Rev. Sci. Instrum. **93**, 033906 (2022).
- [2] S. Akatsuka *et al.*, Phys. Rev. Research **6**, L022048 (2024).
- [3] C. W. Chuang *et al.*, Phys. Rev. B **109**, 195134 (2024).
- [4] K. Nakayama *et al.*, Nature **631**, 54 (2024).
- [5] X. Zhang *et al.*, J. Phys. Chem. Lett. **15**, 9349 (2024).
- [6] S. Suzuki *et al.*, Phys. Rev. B **110**, 165104 (2024).
- [7] Y. Guan *et al.*, Solid State Sci. **161**, 107838 (2025).

BL-3B：真空紫外光電子分光ステーション

櫻井 岳暁¹、前島 尚行²、奥平 幸司³、小澤 健一⁴、吉信 淳⁵

¹ 筑波大学 数理物質系、² 分子科学研究所、³ 千葉大学 大学院工学研究科、

⁴ 物質構造科学研究所 放射光実験施設、⁵ 東京大学 物性研究所

1. 概要

BL-3B は、2015 年度から PF と表面科学ユーザーグループ (UG) との間で結ばれた協定に基づき、UG 運営ステーションとして運営されている。

ベンディングマグネットからの光を利用する BL-3B は、定偏角分光器を主体とする光学系を備え（図 1）[1]、10-300 eV の真空紫外 (VUV) から軟X線 (SX) 領域をカバーするビームラインである（図 2）。エンドステーションには、マイクロチャンネルプレートにより光電子検出感度を高めた VSW 社製 HA54 エネルギー分析器を備えた角度分解光電子分光 (ARPES) 装置—ARPES II—が常設され、固体表面・界面の電子構造解析を目的とした研究が行われている。BL-3B は現在の PF では貴重な 100 eV 以下の VUV 光を利用できるビームラインであり、価電子帯、お

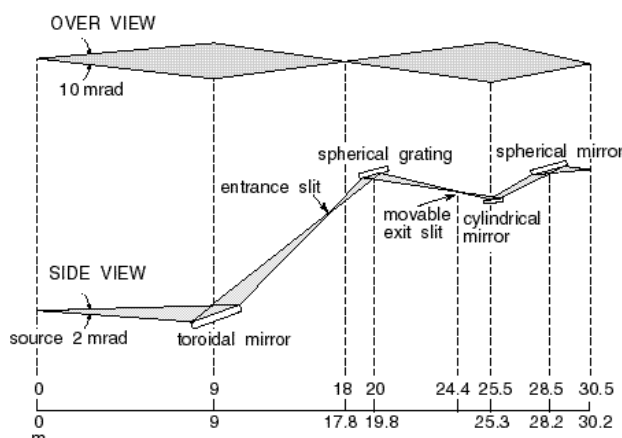


図 1 BL-3B の光学系の概略 [1]

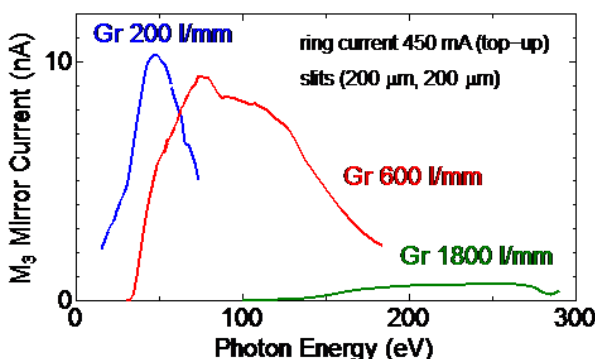


図 2 光強度のエネルギー依存性。3 枚のグレーティングで 10-300 eV をカバーする。

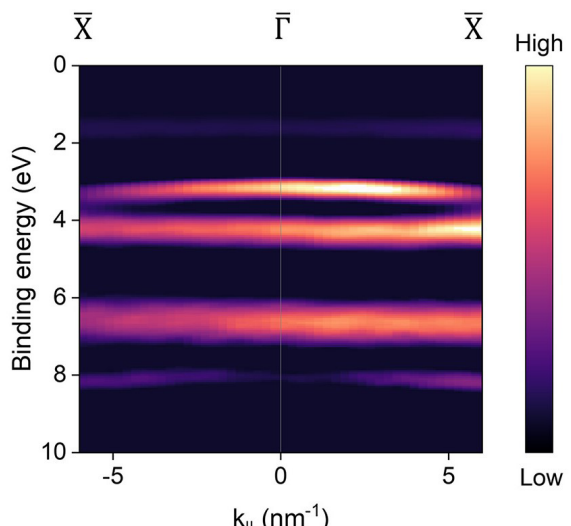
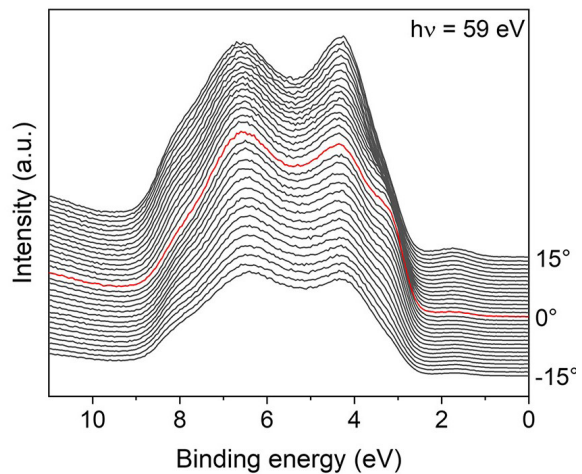


図 3 水分解光触媒 $\text{Bi}_4\text{V}_2\text{O}_{11}$ 単結晶薄膜の価電子帯 ARPES スペクトル（上）と二階微分強度をプロットして作成したバンド分散図 [2]。

より深い内殻準位に対して表面敏感な ARPES 測定を高エネルギー分解能で行うことができる（図 3）。ARPES II にはオージェ電子分光器と低速電子回折 (LEED) 光学系が設置されており、固体表面研究に欠かせない表面元素分析や表面結晶方位といった情報も得られるようになっている。

測定試料はロードロックから搬入でき、ロードロックへの試料設置から最短 1 時間で ARPES 測定ができる。測定時に試料は Vacuum Generators 社製の 5 軸 Omniax マニピュレータに設置するが、このマニピュレータには、試料加

熱機構（電子衝撃加熱と通電加熱）と液体窒素冷却機構が備わっており、-100°C から 1200°Cまでの温度制御ができる。ARPES IIには、12時間ベーキングで10⁻⁸Paの超高真空を作れる試料準備槽が接続されており、蒸着鏡の設置等によりユーザーごとに試料作製環境を整えることが可能である。

以上のようなビームラインとエンドステーションの特性を活かし、光触媒材料の電子状態研究（図3）[2, 3]、酸化物表面での2次元電子ガス生成に関する研究[4]、新しい非蒸発ゲッター材料の研究[5]、金属リン化物触媒表面の原子組成と電子構造の相関研究[6]、有機半導体の電子物性研究[7]などが実施され、成果を挙げている。

BL-3Bのユーザーは、48–2000 eVのVUV-SX領域のアンジュレータ光を用いた高分解能光電子分光測定が可能なBL-13BのSES200装置のユーザーである場合が多い。BL-3BのビームタイムはBL-13Bに比べて比較的長く配分されるため、このようなユーザーは、試料調製の最適条件を決めるような時間のかかる実験や、放射光実験の経験が浅い学生の教育を兼ねた実験をBL-3Bで行った上でBL-13Bでの測定に臨むといった使い方をしている。

2. 整備開発および運用状況

ビームラインおよびARPES II装置の保守・整備・運用は、所内光電子分光グループ担当者と協議の上、表面科学UGの代表者および若干名からなる運営ワーキンググループ（以下運営WG）が行っている。運営WGの主な実務は以下の通りである。

- ・施設担当者と協力して分光器、実験装置の維持管理を行う。
- ・ビームタイム配分原案を作成し、施設の確認、修正、承認を得る。
- ・新規ユーザーの教育を行う。

2010年度以降、継続的に行ってきましたビームライン/ARPES II装置の整備開発は以下の通りである。

- (1) 排気系改良によるビームライン最下流チャンバーの超高真空化
- (2) トランスマッパーによる試料搬送機構の設置（2010年1月）
- (3) 試料準備槽の設置（2011年11月）
- (4) 分光器プログラムの更新(STARS利用)（2014年11月）
- (5) Omniaxマニピュレータへの通電加熱システムの設置（2015年8月）
- (6) 試料ロードロックの設置（2016年8月）
- (7) 電子エネルギー分析器(CMA)と試料マニピュレータの衝突防止装置の設置（2017年8月）
- (8) LEED光学装置(OCI Microengineering社製)の更新（2022年4月）

これらの整備開発作業と、装置故障への対処は全て表面科学UGにより行ってきた。

3. ビームタイム利用状況

2024年度は、延べ数でG型課題4件、S型課題2件（S2課題1件で延べ2グループ）の利用があった。この数年はビームタイム利用の件数が漸減し未配分ビームタイムが増えているが、その代わりビームタイムを希望したグループには十分に長いビームタイムを配分できている。そのため、試行錯誤が必要なチャレンジングな測定を実施したり、学生への教育に十分な時間をかけるなど、短時間で測定データを取得するような実験とは一線を画した実験が進められている。

2022年度から加速器科学インターンシップに参加し、本ビームラインでの光電子分光測定の実習を行っている。2023年度の希望者はゼロであったが、2024年度は2件、3名の受講者がおり、高配向性熱分解グラファイト(HOPG)の角度分解光電子分光測定による価電子バンド構造の測定を行った。

4. 今後の展望

BL-3BとARPES II装置は、ともに運用開始からかなりの時間が経過した非常に古い装置であり、老朽化に伴う様々な不具合が頻発してきた。そのため、現状の性能を維持することが最優先となっている。一方で、ユーザーの要望に応えて試料調製のような利用環境の整備を随時進めている。今後も、この方針に沿って運用する予定である。また、2025年度も加速器科学インターンシップに参加する予定である。

引用文献

- [1] A. Yagishita, T. Hayaishi, T. Kikuchi, and E. Shigemasa, Nucl. Instrm. Methods Phys. Res. A **306**, 578 (1991).
- [2] J. Liu, K. Ozawa, N. Uezono, A. A. Pawar, S. Suzuki, A. Traoré, M. M. Islam, K. Mase, and T. Sakurai, J. Phys. Chem. C **127**, 11195 (2023).
- [3] L. G. Oktariza, Y. Sato, S. Gofurov, K. Ozawa, M. M. Islam, S. Ikeda, and T. Sakurai, Jpn. J. Appl. Phys. **63**, 02SP41 (2024).
- [4] K. Ozawa and K. Mase, e-J. Surf. Sci. Nanotechnol. **18**, 41 (2020).
- [5] T. Miyazawa, M. Kurihara, S. Ohno, T. Kikuchi, and K. Mase, AIP Conf. Proc. **2054**, 060045 (2019).
- [6] Y. Sugizaki, Y. Shimato, T. Yoshida, R. Sugimoto, N. Maejima, and K. Edamoto, Jpn. J. Appl. Phys. **58**, SIIIC02 (2019).
- [7] A. L. Foggia, H. Suga, Y. Takeichi, K. Ono, Y. Takahashi, K. Kutsukake, T. Ueba, S. Kera, and T. Sakurai, Jan. J. Appl. Phys. **58**, SBBG06 (2019).

BL-13A/B：表面化学研究用真空紫外軟X線分光ステーション

間瀬 一彦、小澤 健一、豊島 章雄、菊地 貴司、田中 宏和
物質構造科学研究所 放射光実験施設

1. 概要

可変偏光真空紫外・軟X線分光ステーション BL-13A/B の目的是角度分解紫外光電子分光、内殻光電子分光、軟X線吸収分光などを用いて表面化学および有機薄膜、物質科学研究等を推進することである。本ステーションはAPPLE-II型可変偏光アンジュレータと不等刻線間隔平面回折格子を用いた斜入射分光器 [1-3] を備えており、48~2,000 eV の水平直線偏光、102~2,000 eV の垂直直線偏光、74~700 eV の左右円偏光、59~2,000 eV の左右楕円偏光を利用できる。本ステーションの配置図を図1に示す。振り分け鏡を抜いた状態で13Aが使用でき、振り分け鏡を入れると13Bが使用できる。振り分け鏡はAu、Ni、Crの金属コート面で構成されており、Niコート面、Crコート面を利用すると効率よく高次光を除去できる [4]。13Aの第一焦点位置には2018年度第1期までユーザー持込みのコンパクト走査型透過X線顕微鏡(cSTXM) [5,6] が設置されていたが、2018年夏にBL-19Aに移動した。cSTXM移動後の13A第一焦点位置は軟X線発光分光、軟X線散乱、大気圧軟X線吸収分光、軟X線小角散乱、軟X線時間分解測定などのユーザー持ち込み装置用のスペースとして利用している。一方、13Bの第一焦点位置には光電子分光装置(SES200、Gamma/Scientia、図2)が常設され、高分解能角度分解光電子分光、高分解能内殻光電子分光、高分解能軟X線吸収分光が行われている [7]。13Bの第二焦点位置にはユーザー持込みの準大気圧X線光電子分光装置(AP-XPS)が設置されていて、金属触媒表面上での化学反応の研究などが行われている [8]。さらに、第一焦点と第二焦点の中間位置には低温領域でも試料温度を精密に制御できるユーザー持込みの光電子分光装置(Phoibos100、SPECS)が設置されており、表面上に吸着した分子の化学状態等の研究が行われている [9]。

2. 整備開発および運用状況

2014年2月にBL-13用挿入光源としてAPPLE-II型可変偏光アンジュレータが導入されたことに伴い、放射線遮蔽

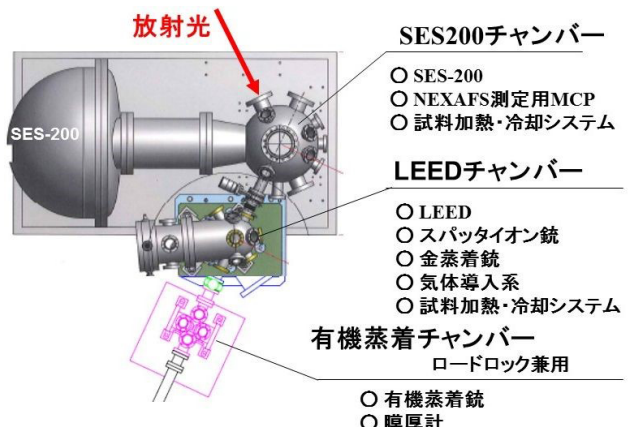


図2 光電子分光装置(SES200, Gamma/Scientia)の構成

を増強とともに、出射スリットを最適位置に移動して、ビームラインの再調整を行った。その結果、水平直線偏光、光エネルギー 401 eV、光強度 2.3×10^{11} 光子/秒において最高分解能 $E/\Delta E = 10,000$ を達成するとともに、50 eV 以上の光強度を1桁程度改善した(図3)。また、13Aの第一焦点位置でのスポットサイズは(水平) 220 $\mu\text{m} \times$ (垂直) 49 μm であった。酸素を導入しながら非分光光を照射して振分け鏡のCrコート面の炭素汚染を除去することにより、炭素K吸収端領域において13Bに高次光の少ない高強度の光を供給できるようにした[4]。また、年数回ユーザーに協力してもらって SES200 光電子分光装置の保守を行ない安定して使用できる状況を維持している。2020年度夏には高精度 xyzθステージを導入した[10]。また、BL-13Bの後置鏡チャンバーに2 m:0.8 mのトロイダルミラーを設置し、このミラーの焦点位置に SES200 光電子分光装置を移動して、低温冷却機構と面内回転機構、傾き調整機構を備えたゴニオメーターを導入した。2021年度にはBL-13Bの第一焦点位置での放射光スポットサイズを約 80 μm (水平) \times 15 μm (垂直) まで縮小するとともに、高精度 xyzθステージと、面内回転機構、傾き調整機構を備えたゴニオ

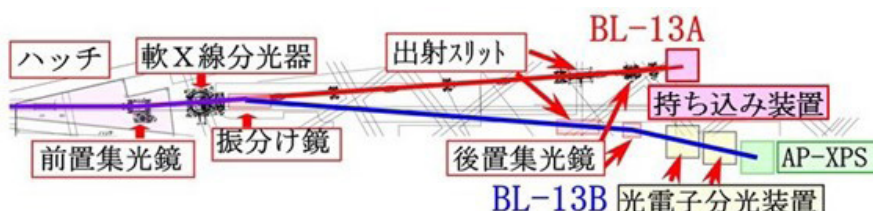


図1 BL-13A/Bの配置図

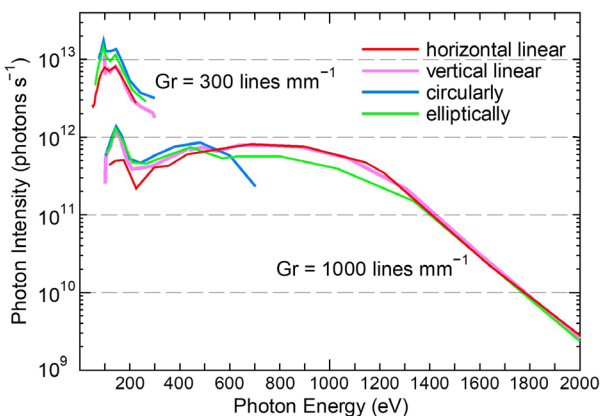


図3 BL-13Aにおける光強度の光エネルギー依存性。赤は水平直線偏光、ピンクは垂直直線偏光、青は円偏光、緑は楕円偏光。Grは回折格子を表す。

メーターを活用してマイクロ光電子分光、マイクロ軟X線吸収分光、マイクロ角度分解光電子分光測定を開始し、現在も順調に運用されている [11, 12]。

3. ビームタイム利用状況

2024年度の装置別、期別ビームタイム配分結果を表1に示す。有償利用、評点の高い課題を優先するとともに、13Aと13Bを交互に使用することで、試料作製、装置調整時間を確保し効率よく実験できるように配分した。また、産業利用としては、一般施設利用ビームタイムとして第1期0時間、第2期3時間、第3期0時間の合計3時間を配分した。

4. 今後の展望

2014年に可変偏光アンジュレータを導入した結果、世界的な競争力が増してユーザーと課題、有償利用が増え、質の高い研究と人材育成ができるようになった。2021年度にはマイクロ光電子分光、マイクロ軟X線吸収分光、マイクロ角度分解光電子分光測定を開始し、また試料を液体ヘリウムで20 Kまで冷却して測定できるようになり、これまで以上に競争力の高い研究を行える環境を整えた。今

後は既存の装置を改良しつつ新規ユーザーを開拓とともに、持ち込み装置を用いた興味深い研究に取り組むユーザーを呼び込む。また、学会等で本ビームラインの研究成果を報告し、民間研究者の利用を呼びかけるなどして産業利用を促進する。

引用文献

- [1] K. Amemiya and T. Ohta, J. Synchrotron Rad. **11**, 171 (2004).
- [2] K. Mase, A. Toyoshima, T. Kikuchi, H. Tanaka, K. Amemiya and K. Ito, AIP conference proceedings **1234**, 703 (2010).
- [3] A. Toyoshima, H. Tanaka, T. Kikuchi, K. Amemiya and K. Mase, J. Vac. Soc. Jpn. **54**, 580 (2011).
- [4] A. Toyoshima, T. Kikuchi, H. Tanaka, K. Mase and K. Amemiya, J. Synchrotron Rad. **22**, 1359 (2015).
- [5] Y. Takeichi, N. Inami, H. Suga, K. Ono and Y. Takahashi, Chem. Lett. **43**, 373 (2014).
- [6] Y. Takeichi, N. Inami, H. Suga, C. Miyamoto, T. Ueno, K. Mase, Y. Takahashi and K. Ono, Rev. Sci. Instrum. **87**, 013704 (2016).
- [7] A. Toyoshima, T. Kikuchi, H. Tanaka, K. Mase, K. Amemiya and K. Ozawa, J. Phys.: Conf. Ser. **425**, 152019 (2013).
- [8] R. Toyoshima, M. Yoshida, Y. Monya, Y. Kousa, K. Suzuki, H. Abe, B. Mun, K. Mase, K. Amemiya and H. Kondoh, J. Phys. Chem. C **116**, 18691 (2012).
- [9] S. Shimizu, H. Noritake, T. Koitaya, K. Mukai, S. Yoshimoto and J. Yoshinobu, Surf. Sci. **608**, 220 (2013).
- [10] Y. Aiura, K. Ozawa, K. Mase, M. Minohara and S. Suzuki, J. Synchrotron Rad. **27**, 923 (2020).
- [11] K. Ozawa, Y. Aiura, D. Wakabayashi, H. Tanaka, T. Kikuchi, A. Toyoshima and K. Mase, J. Synchrotron Rad. **29**, 400 (2022).
- [12] Y. Aiura, K. Ozawa and M. Minohara, Measurement **217**, 112866 (2023).

表1 2024年度の装置別、期別ビームタイム配分結果。産業利用促進用留保ビームタイムの再配分も含む。単位は日。

	調整	SES200	Phoibos 100	AP-XPS	軟X線発光	軟X線散乱	大気圧軟X線吸収	軟X線小角散乱	軟X線時間分解計測、溶液軟X線吸収	光学素子評価	合計
第1期	0.5	33.84	0	3.5	11.5	0	5	2.5	10.5	0	67.33
第2期	0.88	31.96	0	11	14.5	0	6	1.5	6.5	0	72.33
第3期	0	6.17	0	7	3.5	0	4	0	0	0	20.67
合計	1.38	72	0	21.5	29.5	0	15	4	17	0	160.33
割合	0.9%	44.9%	0%	13.4%	18.4%	0%	9.4%	2.5%	10.6%	0%	100%

BL-16A：可変偏光軟X線分光ステーション

雨宮 健太

物質構造科学研究所 放射光科学第一研究系

1. 概要

APPLE-II型アンジュレータを光源とし、円偏光、垂直・水平直線偏光など、軟X線領域の各種偏光が利用できるビームラインである。2台のタンデム配置アンジュレータとキッカーモード石を組み合わせることで10 Hzの偏光スイッチングが可能である[1]。不等刻線間隔平面回折格子を用いた斜入射分光器により、250-1500 eV程度の単色軟X線を利用することができる[2]。また、高いフラックスや偏光スイッチングを活かした先端的な測定手法の開発にも力を入れている[3-7]。ビームラインとして管理・運用している装置（1.2T-XMCD、5T-XMCD、深さ分解XAS/XMCD、および波長分散型XAS）は、いずれもX線吸収分光法（XAS）に関するものであり、C、N、Oなどの軽元素のXASに加えて、Fe、Co、Niなどの3d遷移金属のL吸収端および希土類金属のM吸収端における磁気円二色性（MCD）や磁気線二色性（MLD）の測定を行うことができる。これらのうち1.2T-XMCDと5T-XMCDは常設装置で、その他に持ち込み装置等のためのフリーポートが準備されている（図1）。

2. 整備開発および運用状況

ビームライン担当者として整備・運用している装置の状況は以下の通りである。

• 1.2T-XMCDおよび5T-XMCD装置

引き続き、多くのユーザーによる利用実験に供されている。5T-XMCD装置については、連続的に磁場掃引をしながらヒステリシス曲線の測定を行うモードも整備されている。入射角を含めた試料（もしくはビーム）位置および磁場の値は外部から制御できるようになっており、これらの値を次々に変えながら自動的に測定を行うことも可能である。

• 蛍光収量深さ分解XAS（XMCD）装置

軟X線CCDカメラを用いた蛍光収量法による深さ分解XAS（XMCD）測定[4,5]が可能である。また、1.2T-XMCD装置に軟X線CCDカメラを取り付け、0-1.2 Tの任意の磁場中での深さ分解XMCD測定を行うことができる。

• 波長分散型XAS装置

上下方向に波長分散した（位置によって波長の異なる）軟X線を試料に照射し、それぞれの位置における軟X線吸収強度に比例して放出される蛍光X線を位置分解して検出すことにより、10-20 eV程度の範囲の軟X線吸収スペクトルを一度に測定できる[6]。これを用いて、3-10秒程度の時間分解能で、最大10,000 Pa程度のガス中での表面化学反応[8]や固液界面における電気化学反応[9]のリアルタイム観察を行っている。

3. ビームタイム利用状況

2024年度のビームタイム配分率は、69%（第1期）、64%（第2期）、38%（第3期）であった。なお、いずれの期も産業利用促進運転を含むため、留保ビームタイムをユーザー利用に開放した後の実質的な配分率は、もう少し高くなる。S2型課題を始め、評点の高い課題が複数あるため、それらの研究のアクティビティを確保しつつ、過度のビームタイム集中を防ぐ意味から、比較的評点の高い課題に対して必要十分なビームタイムを確保した上で、比較的評点の低い課題に対しては、希望の1/2から1/3程度のビームタイムを、運転時間の許す範囲で評点順に配分した。また、2つのブランチに複数の装置が設置されている利点を活かし、一方で測定をしている間に他方で準備作業ができるように配分を工夫した。

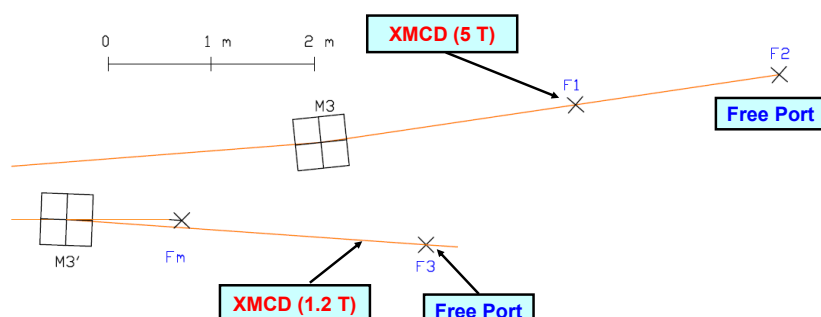


図1 BL-16Aにおける実験装置の配置

4. 今後の展望

BL-2A/B や BL-13A/B、BL-19A/B など、偏光可変の軟X線ビームラインが相次いで稼働したが、偏光スイッチングが行えるのは BL-16A のみである。偏光スイッチングは、時間とともに変化する試料や、バックグラウンドが安定しない測定に対して特に有効なので、波長分散 XAS 法と垂直・水平偏光のスイッチングを組み合わせた表面化学反応中の配向変化のその場観察 [3,7] など、BL-16A ならではの手法の開発を進める予定である。一方、様々な XMCD 測定が行える実験装置が整備されている強みを活かし、多くのユーザーが簡便に磁性試料の測定を行い、多くの成果を挙げられる環境を維持していく。また、偏光スイッチングが不要な実験については、他の軟X線ビームラインとの間で柔軟にビームタイムの調整を行い、特定のビームラインに負担が集中しないように工夫したい。

引用文献

- [1] K. Amemiya, M. Sakamaki, T. Koide, K. Ito, K. Tsuchiya, K. Harada, T. Aoto, T. Shioya, T. Obina, S. Yamamoto and Y. Kobayashi, J. Phys.: Conf. Ser. **425**, 152015 (2013).
- [2] K. Amemiya, A. Toyoshima, T. Kikuchi, T. Kosuge, K. Nigorikawa, R. Sumii and K. Ito, AIP Conf. Proc. **1234**, 295 (2010).
- [3] K. Amemiya, M. Sakamaki, S. Nakamoto, M. Yoshida, K. Suzuki, H. Kondoh, T. Koide, K. Ito, K. Tsuchiya, K. Harada, H. Sasaki, T. Aoto, T. Shioya, T. Obina, S. Yamamoto and Y. Kobayashi, Appl. Phys. Lett. **101**, 161601 (2012).
- [4] M. Sakamaki and K. Amemiya, Rev. Sci. Instrum. **88**, 083901(2017).
- [5] M. Sakamaki and K. Amemiya, Phys. Chem. Chem. Phys. **20**, 20004 (2018).
- [6] K. Amemiya, K. Sakata and M. Suzuki-Sakamaki, Rev. Sci. Instrum. **91**, 093104 (2020).
- [7] K. Amemiya and K. Sakata, Rev. Sci. Instrum. **94**, 123906 (2023).
- [8] K. Sakata and K. Amemiya, J. Phys. Chem. Lett. **13**, 9573 (2022).
- [9] K. Sakata and K. Amemiya, Electrochim. Commun. **157**, 107627 (2023).

BL-7A：軟X線分光（XAFS, XPS）ステーション

雨宮 健太

物質構造科学研究所 放射光科学第一研究系

1. 概要

本ビームラインは東京大学大学院理学系研究科附属スペクトル化学研究センター所属であるが、運営はPFの一般的なビームラインと同様に行っており、雨宮が担当している。偏向電磁石を光源とし、不等刻線間隔平面回折格子を用いた斜入射分光器により、50-1300 eV の単色軟X線を利用することができる [1]。炭素、窒素、酸素など軽元素のK吸収端、鉄、コバルト、ニッケルなど3d遷移金属のL吸収端におけるX線吸収分光法（XAS）、X線磁気円二色性（XMCD）、および各種元素の内殻光電子分光（XPS）を行うことを主な目的としており、特に炭素K吸収端においても光強度が極端には減少しないことが特長である。偏光としては水平直線偏光の他に、電子軌道面から0.4 mrad程度上または下の光を取り込むことで橢円偏光を利用することができる。

2. 整備開発および運用状況

基本的にはすでに完成したビームラインであるため、光学系については現状を維持するための整備のみを行っている。焦点位置は一つだけであるが、その0.7 m程度上流に常伝導電磁石を用いたXMCD測定装置（東京大学所有）を常設し、下流の装置を必要に応じて入れ替えて実験を行っている。ビームラインとして管理・運用している実験装置は、上流のXMCD測定装置と、下流の小型深さ分解XAS装置である。その他のユーザー持込み装置等は、下流のポートで受け入れている。試料マニピュレータは一部モーター駆動となっており、XMCD測定装置では上下方向、小型深さ分解XAS装置の上下と左右両方の位置を、ビームラインの測定用PCから制御できるようになっている。また、試料位置を次々に変えながらの自動測定も行える。なお、小型深さ分解XAS装置では、電子収量、蛍光収量、深さ分解の3モード同時XAS測定が可能である。2024年度冬のシャットダウン中に高次光除去ミラー（Mc）の再蒸着を行い、表面の汚染によって低下していた炭素K吸収端の光強度をある程度回復させた。

3. ビームタイム利用状況

2024年度のビームタイム配分率は、100%（第1期）、100%（第2期）、79%（第3期）であった。なお、いずれの期も産業利用促進運転を含むため、留保ビームタイムをユーザー利用に開放した後の実質的な配分率は、もう少し高くなる。配分率が100%に満たない第3期については、評点が高い課題を優先しながら、原則として利用を希望するユーザー全員にビームタイムを配分した。また、上流に

XMCD測定装置が常設されていて、そのまま下流にビームを抜くことができるため、上流で測定をしている間に下流で準備作業ができるように、配分を工夫した。

4. 今後の展望

ビームライン自体は特に改造等は予定していない。2024年度には、カバーするエネルギー領域が重なっているBL-12Aが共同利用を開始したため、今後はBL-7Aを含めた複数の偏向電磁石ビームラインでユーザーを受け入れることができる。BL-12Aは二結晶分光領域も含めた広いエネルギー範囲をカバーするビームラインなので、その特色を活かした実験を優先し、1300 eV以下ののみを必要とする実験はBL-7Aで行うなどの使い分けも有効であろう。また、BL-7Aと同程度のエネルギー領域をカバーするアンジュレータビームラインとして、BL-2A/B、BL-13A/B、BL-16A、BL-19A/Bがあるので、それらとうまく使い分けていくことも有効であると考えている。特に最近、BL-7Aで予備的（開発的）な実験を行い、目途が立ったところでBL-2A/BやBL-16Aで本実験をして結果を出すというケースが増えてきており、引き続きこのような使い方を推進していきたい。ただし、光電子分光については、通常の測定であればアンジュレータビームラインの方が圧倒的に質の良いデータが短時間で得られるので、ユーザー持ち込み装置などを用いた特殊な実験のみを行うようにしていきたい。一方、吸収分光については、特に炭素、窒素、酸素のような比較的低いエネルギーに吸収端をもつ元素の場合、高いエネルギー分解能やフラックスを必要としない試料ならば、アンジュレータビームラインと遜色ないデータが得られるので、むやみにアンジュレータビームラインを利用せずに、BL-7Aでできる実験はBL-7Aで行うようにビームタイムをアレンジしていく予定である。

引用文献

- [1] K. Amemiya, H. Kondoh, T. Yokoyama and T. Ohta, J. Electron Spectrosc. Relat. Phenom. **124**, 151 (2002).

BL-12A：広波長域軟X線ビームライン

大東 琢治
物質構造科学研究所 放射光実験施設

1. 概要

BL-12A は偏光電磁石を光源として、MOS ミラーの脱挿入によって分岐する 2 つのパス（S パス、T パス）にそれぞれ備えられている異なる分光器で分光を行い、M4S ミラーの脱挿入によって最終的に焦点位置を一致させることで、同一の試料位置で広い波長帯域を利用可能とするビームラインである（図 1）。低エネルギー用の S パスには不等間隔回折格子分光器が設置され、80 ~ 2,000 eV が利用可能である。一方、高エネルギー用の T パスには 2 結晶分光器が設置されており、InSb(111) 結晶を用いることで 1,750 ~ 2,000 eV、Si(111) 結晶で 2,000 ~ 5,000 eV が利用可能である。よって、パスを切り替えることによって 80 ~ 5,000 eV が利用可能となるビームラインである。基本的には、フリーポートにユーザー持ち込みの装置を接続しての利用となるが、パス共通部の途中に常設の X 線反射率計が設置されている。

2. 整備開発および運用状況

2024 年 11 月にビームラインのコミッショニングを終えて、共同利用を開始した。現在、T パスの 2 結晶分光器は Si(111) 結晶のみが利用可能であり、2,000 eV までは S パスの利用を推奨している。ビームサイズ H × V は S パスで $0.7 \times 0.75 \text{ mm}^2$ （フリーポート位置） $0.518 \times 0.077 \text{ mm}^2$ （X 線反射率計位置）、T パス（Si(111) 結晶）で $0.9 \times 1.9 \text{ mm}^2$ である。パス変更時のビーム位置のずれは、~100 μm 程度である。

度である。

BL-12A の光軸の高さは PF の他の一般的なビームラインと異なり、床面から 1,600 mm である。一般的な設計の装置をこの光軸に合わせるため、焦点位置付近に 1400 × 2200 × 400 (H) mm の架台を設置している。

軟 X 線吸収分光用の汎用チャンバーが随時利用可能であり、全電子収量法と蛍光 X 線収量法で測定ができる。

3. ビームタイム利用状況

現在、33% のユーザーが測定装置を持ち込み、44% が汎用軟 X 線吸収分光用チャンバーを、22% が X 線反射率計を利用している。パスの利用については、約 24% のユーザーが S パスと T パス両方の利用を希望している。ユーザー自身の手によるパス変更を可能にするよう計画しており（追記：2025 年第 2 期運転より実施）、今後、BL-12A の特徴である広い波長域を利用するユーザーは増加するものと見込まれる。

4. 今後の展望

特に X 線反射率計のユーザーより、100 eV を利用した際の高次光の多さが指摘されている。今後、S パスにおいて広いエネルギー帯域での高次光の評価を行い、高次光カット用の Mw ミラーのコミッショニングを含めた高次光対策を行って行く予定である。また S パスをより低エネルギー（50 eV ~）で利用するため、新しい回折格子の導入を検討している。

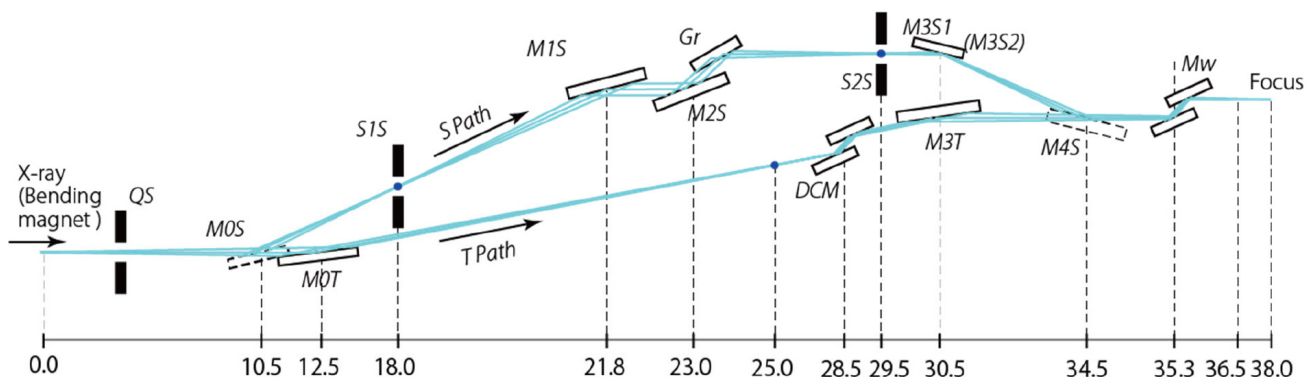


図 1 BL-12A 光学系概略図

BL-20A : 3 m 直入射型分光器

北島 昌史¹、足立 純一²、菊地 貴司²

¹ 東京工業大学 理学院、² 物質構造科学研究所 放射光実験施設

1. 概要

BL-20A は、偏向電磁石部からの放射光を直入射分光器で分光し、エネルギー 6 eV から 40 eV の比較的強い光を供給できるフリーポートのビームラインであり、30 eV 以下の放射光がフリーポート利用できる、PF で唯一のビームラインである。フリーポート端には、全ての持ち込み装置で使用可能な差動排気システムが設置されており、様々な気体試料を安心して（ビームライン上流部へ与える影響を心配することなく）、使用できるようになっている。本ビームラインで有効な光エネルギー領域は分光学的な研究分野では非常に重要であり、現在も様々な唯一無二の研究の光源として活用されている。

なお、本ビームラインは 2024 年度より UG 運営ビームラインとして原子分子科学 UG が運営に参画している。これまでには、2009 年 4 月に物質構造科学研究所放射光科学研究施設（当時）と東京工業大学理工学研究科（理系）化学専攻（当時）との間で交わした放射光科学の教育・研究推進についての合意書及び付随する覚書に基づき、教育用ビームラインとして 3 年ごとの評価を受けながら 2023 年度まで継続してきた。この間、大学等運営ステーションとして、東京工業大学理学院化学系北島研究室がその運営に参画してきた。

2. 整備開発および運用状況

BL-20A は、フリーポートビームラインであり、常置の実験装置は準備されていない。このため、各ユーザーが独自の実験装置を持ち込んで使用している。これまでに、原子分子科学 UG のみならず多くのユーザーがユニークな実験装置を本ステーションに持ち込み共同利用実験に活用してきた。これらの共同利用実験においては、BL-20A を舞台に装置開発が進められた例も多く、フリーポートである本ステーションの活用の大きな特色となっている。分光器の保守は所内スタッフが対応し、原子分子科学 UG が協力して運営を行なっている。また、真空立ち上げ作業は、業務委託スタッフの支援により行われている。

2024 年度は、ビームライン下流のポート部に光イオン検出器を設置し、ユーザーが装置を持ち込むことなく光イオン収量スペクトルを測定できるようにした。また、前年度より BL-20A を利用して、従来よりも広い波長範囲で利用できる新型の原子蛍光偏光計の開発が行われており、この開発に基づいて BL-20A の詳細な偏光特性が公表された [1]。

なお、近年、高精度実験を希望するユーザーの増加に伴い、ユーザー装置を載せるステージの剛性不足やビームラ

インの微小振動が指摘されており、ステージからの放射光の高さが他のビームラインより高い問題と合わせて対策について検討している。

また、2019 年度より代替機で運用している、BL-20A 分光器の制御・DAQ 系の回路クレートの更新は、引き続き検討事項のままとなっている。BL-20A の分光器の外部制御およびユーザー持ち込み装置との協調制御についても継続的に検討を行なっている。

3. ビームタイム利用状況

ビームラインとしては大きなトラブルも無く、各ユーザーの共同利用実験が順調に進められた。これまでからの課題の多くがビームライン使用を継続・拡大しており、活発に研究が行われている。ビームタイムの配分は原子分子科学 UG および東京科学大学の北島研究室が担当した。ビームタイムは、ユーザーからの希望と課題の評点を基に決めた。自前の装置を持ち込むユーザーが比較的多いので、装置の入れ替えの頻度ができるだけ少くなるように配慮した。また、ユーザーの切り替え日をマシンスタディーの前日に設定するなどの工夫をした。これにより、マシンスタディーの時間を真空引きなどの準備に当てることができ、ビームタイムの有効利用に資することができた。

4. 今後の展望

BL-20A は、PF で比較的高分解能の VUV 光を安定して供給できる、ほぼ唯一のステーションである。これまで、教育用ビームラインとして位置づけられた大学等運営ステーションであったが、本年度より、より多くの研究が期待される原子分子科学ユーザーグループによる運営に切り替えた。VUV 領域の光源が必要である原子分子光ダイナミクスの研究を中心に、より幅広い分野の実験課題を受け入れるとともに、ユーザーグループによる運営とすることで、これまで以上にユーザーのニーズに対応するべく、分光器制御システムの改良やユーザー共通の測定システムの改良などを行なっていく。また、10 eV 以下の低エネルギー側の利用の要望があるため、このエネルギー領域でも定常的に利用できるようにするための種々の検討を進める。

引用文献

- [1] T. Kaneyasu *et al.*, J. Electron Spec, Relat. Phenom. **276**, 147488 (2024).

BL-27A：放射性試料用軟X線実験ステーション

宇佐美 徳子¹、横谷 明徳^{2,3}、岡本 芳浩⁴、本田 充紀⁴、馬場 祐治⁴

¹ 物質構造科学研究所 放射光実験施設、² 量子科学技術研究開発機構 (QST)、

³ 茨城大学、⁴ 日本原子力研究開発機構 (JAEA)

1. 概要

BL-27A は、偏向電磁石を光源とする軟X線ビームラインであり、プランチのX線ビームライン BL-27B とともに非密封 RI 管理区域（放射光アイソトープ実験施設）内に設置され、放射性同位元素（RI）および核燃料物質を試料として用いることができる。分光結晶として InSb(111) を備えた二結晶分光器により、1.8 ~ 5 keV 程度の軟X線が利用できる設計であるが、分光器の不具合とその応急処置のため（詳細は 2021 年度年報参照）、現在は原則として 1.8 ~ 3.5 keV の範囲での利用に制限している。非密封 RI 管理区域と通常の放射線管理区域（実験ホール）との境界として、ビームライン内にメッシュで裏打ちされたカプトン（ポリイミド膜）があるため、1.8 keV より低いエネルギーの軟X線は実用的な強度では得られない。

日本原子力研究開発機構 JAEA（当時は日本原子力研究所）と高エネルギー加速器研究機構 KEK（当時は高エネルギー物理学研究所）の共同で建設され、1992 年度から運用が開始された。ビームラインコンポーネントの多くは JAEA 所有であったが、KEK に譲渡され、2019 年度からは、放射線生物ユーザーグループおよび原子力基盤研究ユーザーグループによって運営されるユーザーグループ運営ステーションとなった。2024 年度は 2 期目の最終年度にあたるが、次年度以降も更新の予定で準備を進めている。

上流側には生物用単色軟X線照射装置、下流側には光電子分光装置と、2 つの装置（実験ポート）がタンデムに設置されていて、切り替えて使用している。上流の生物用単色軟X線照射装置は、軟X線ビームを空気中に取り出して使うことができる差動排気系、カプトン窓、放射線シールド（ハッチに準ずる）を持ち、真空中に入れることのできない生物試料や溶液試料に単色軟X線を照射することができる。ビームサイズより広い面積の試料にも均一に照射できるように試料スキャン機構を有している。また、このポートを利用して、軟X線蛍光 XAFS 実験も行われている [1]。試料チャンバー（JAEA 所有）は真空または He ガス置換により大気圧での測定も可能である。下流側では、光電子分光（XPS）実験の他、全電子収量法による XAFS 実験が可能である。

2. 整備開発および運用状況

ビームラインとして新たな整備開発はしていない。運用開始から 30 年近くが経過していることから、老朽化による不具合が多発しており、その都度対処している。

3. ビームタイム利用状況

ビームタイムは、上流側と下流側の切り替えをなるべく少なくなるように調整しているため、実験が可能な時期が制限されるという状況はあるが、ユーザーの希望どおり配分できている。

4. 今後の展望

廃棄物処理、汚染土壌の減容化・再利用、原子炉材料など、原子力関係の課題が 2/3 以上を占める。大気圧下での軟X線分光・照射実験、放射性試料（環境試料も含めて）など、このビームラインの特徴を活かした研究を中心に共同利用を推進する。現在、ウランの M 吸収端 ($> 3.5 \text{ keV}$) での大気圧下での XAFS 測定の準備を進めている。

放射線生物分野では、従来のリンやイオウなど細胞内元素の K 吸収端を狙った照射実験に加え、放射線増感効果を示すハロゲン化 DNA 関連分子の電子状態に関する研究 [2] や、がん治療を見据えたケージド化合物の候補物質など生体関連分子の光電子分光、X 線吸収分光による電子状態分析 [3] が活発に行われている。これらの研究の一部は電子物性理論の専門家との共同研究に発展しており、新たな展開が期待される。また、最近の放射線生物・放射線医学のトピックスのひとつである「FLASH 効果（超高線量率照射によりがん組織に対する抗腫瘍効果を残したまま正常組織の放射線影響を軽減する効果）」に関するメカニズム研究を進めており、ヒト培養細胞、オルガノイド（三次元培養臓器）への照射に展開する予定である。その他、生体に関連が深い分子の放射線化学に関する研究も進められており [4]、引き続き推進したいと考えている。

引用文献

- [1] M. Honda *et al.*, Rev. Sci. Instrum. **86**, 035103 (2015).
- [2] Y. Izumi *et al.*, Phys. Chem. Chem. Phys. **26**, 4422 (2024).
- [3] Y. Izumi *et al.*, Nucl. Instrum. Methods Phys. Res. Sect. B **547**, 165211 (2024).
- [4] S. Nakagawa *et al.*, Radiat. Phys. Chem. **214**, 111304 (2024).

BL-19A/B：軟 X 線顕微・分光実験ステーション

山下 翔平
物質構造科学研究所 放射光実験施設

1. 概要

軟 X 線領域の走査型透過 X 線顕微鏡 (Scanning Transmission X-ray Microscopy: STXM) は、炭素の官能基や鉄の価数などを識別した二次元ナノ構造を可視化することができる強力な測定手法である [1]。軟 X 線をフレネルゾーンプレートと呼ばれる集光レンズで数十ナノメートルに集光し、試料に照射する。試料を透過した X 線の強度を計測しながら試料位置を走査することで二次元のイメージングの手法に X 線吸収分光の原理を組み合わせた X 線顕微分光を可能とする。

BL-19 は、19A ブランチに STXM を常設し、19B ブランチには持ち込み装置に対応したバルク分光実験ステーションを整備している。19B ブランチにはバルク軟 X 線 XAS 実験装置を接続することで、STXM の解析に使用する多数の標準試料スペクトルをクリックスキャンモードによって迅速に測定することを可能としている。このような単一ビームラインで顕微・バルク両方の分析機能を有する組み合わせは世界でも例がなく、STXM 実験結果から有益な情報を効率よく引き出すための実験環境を構築している。

BL-19 の STXM が対象とする測定系には、自然界から採掘した石炭・鉄鉱石などの有機資源ベースの材料や人工的に合成された樹脂材料、電池材料、触媒材料など多種多様に及ぶ。2021 年度から現在にかけて、隕石や宇宙からのリターンサンプルなどの未知の物質への研究利用も盛んに行われ、STXM によって物質の持つ化学状態とその空間的な分布に関する情報を基に、宇宙や地球に密接に関わる物質がこれまでに辿ってきた温度、圧力などの環境条件を推定し、物質の成り立ち（履歴）をはじめ生命の起源に関する研究にも展開されている。時間経過によって物質が風

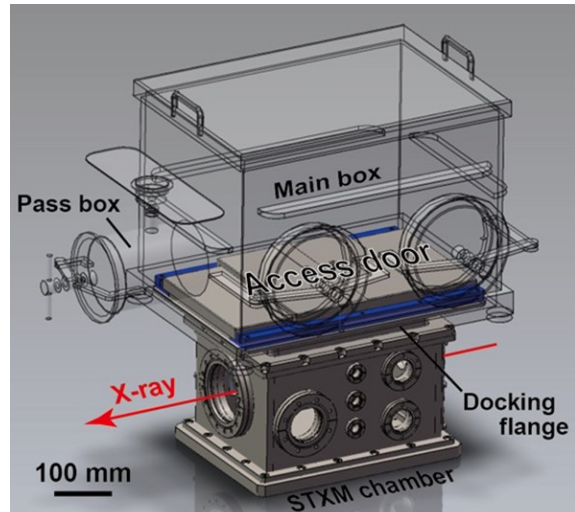
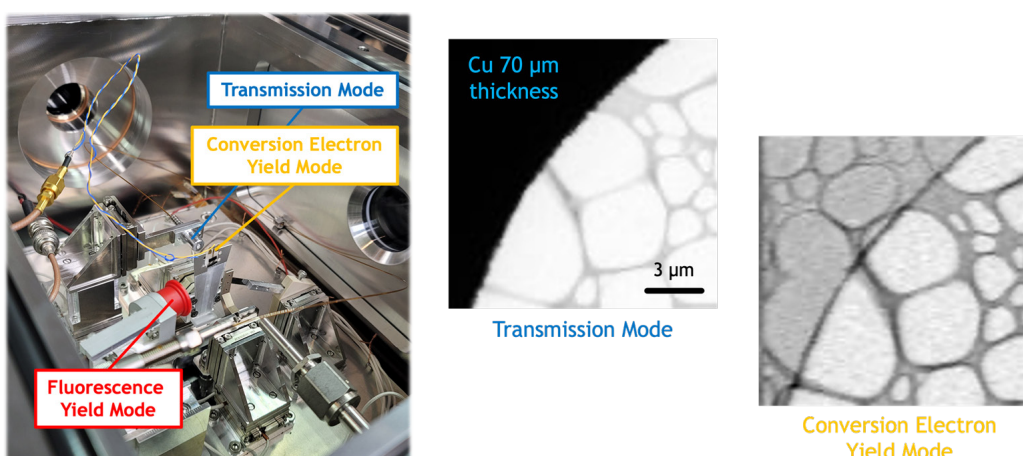


図 1 大気非暴露システム

化や空気酸化の影響を受けた場合には、物質本来の化学状態を保持していない可能性が残るため、BL-19 では大気非暴露での試料投入・分析を可能にするシステム（図 1 参照）を整備しており、酸素濃度や露点を常時計測することで、酸素や水による酸化の可能性を排除した状態での測定を可能としている [2]。

2. 整備開発および運用状況

BL-19A/B は 2019 年度より共同利用実験課題の募集を開始し、2019 年 5 月末よりビームライン調整と並行して共同利用実験を開始し現在に至る。その間、フレネルゾーンプレートの改良更新や前述した大気非暴露環境システムおよび試料導入機構の開発のほか、感染症対策を機にリモート



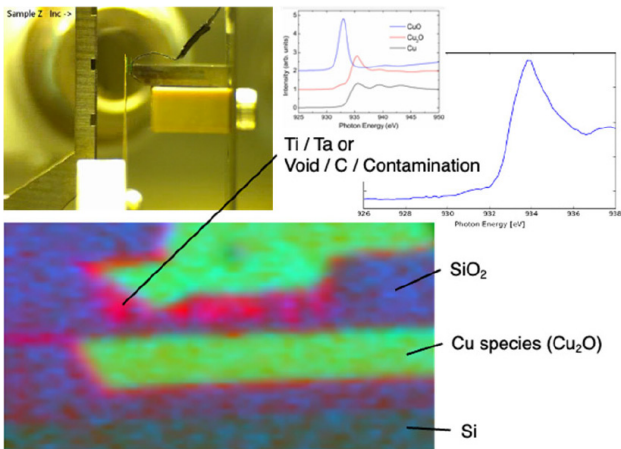


図3 加工を要さず設置した試料（半導体デバイス）の側面写真及び取得画像

制御のためのハード及びソフトの改良、操作性と安全性に配慮した制御ソフトウェアの更新など、より高いユーザビリティを目指すとともに効率的で新たな成果創出のための開発・改良を進めている。

2023年度から現在にかけては、従来の透過法によるSTXMに代わる新たな顕微分光測定手法として蛍光収量法と転換電子収量法を採用し、その運用を開始している（図2参照）。従来の透過法では、測定エネルギーに応じて適した試料厚みを用意する必要があり、それには集束イオンビームやミクロトームなどの加工法を用いて数十～数百nm厚の薄片化の作業を要していた。加工時の労力は勿論のこと、ビームによる試料への損傷や加工自体が難しいケースなど、一部の試料においてはSTXMでの測定が困難なケースが存在していた。新たな2つの計測手法を組み合わせて同時に測定することが可能になったことにより、分析感度やそれぞれの手法ごとの測定時間は異なるが、軟X線領域における無加工（微加工含む）状態の試料の微量元素や極表面の顕微分光分析が可能となり、電池材料や触媒材料、半導体材料（図3参照）やリターンサンプル分析など、多種多様な分析に応用されている。

3. ビームタイム利用状況

2024年度のビームタイムの配分内訳は、S2課題での利用が全体の約30%、その他の共同利用実験が50%、施設利用や共同研究など、非PAC課題の実験が約20%となっている。2019年度の共同利用実験開始から現在にかけて、共同利用課題及び産業利用の需要が増加傾向にあり、2024年度は総配分希望に対して75%程度の配分率となった（2023年度は65%、2022年度は70%、2021年度は80%と推移している）。複数のS2課題のほか、BL-19Bのフリーポートを使った持ち込み装置による利用研究も盛んに行われていることが競争倍率の高さの背景にあると考えられる。

4. 今後の展望

これまでにSTXMを利用した研究成果などが各所から発信され、その有用性が国内外問わず認知されてきており、最近では国外からの利用に関する問い合わせおよび海外ユーザーの参入も徐々に増加傾向にある。また、バルク分光実験ステーションである19Bブランチの需要も前述通り比較的高い傾向にあるために、運転時期によっては全ユーザーに希望通りのビームタイムを配分できない状況もしばしば生じている。新学術領域「水惑星学」及び関連するS1課題が2022年度で終了を迎えたが、産業利用によるイノベーション創出を目的とした建設経緯から、BL-19では向こう数年にわたって引き続き産業利用を推進する方針をとる。限られたビームタイムで最大限の成果を創出することを目指し、試料準備や実験の予備検討、実験中の測定条件の最適化が重要であり、利用ユーザーへの継続的なサポートは勿論のこと、ユーザーのニーズや実験目的に合わせてSTXMに限らずXAS共に試料周りの高度化を進める。

引用文献

- [1] Y. Takeichi *et al.*, Rev. Sci. Instrum. **87**, 013704 (2016).
- [2] S. Yamashita *et al.*, AIP Conf. Proc. **2990**, 040009 (2023).

BL-3A：極限条件下精密単結晶 X 線回折ステーション

中尾 裕則

物質構造科学研究所 放射光科学第一研究系

1. 概要

本ビームラインでは 4 軸回折計 (HUBER) を用いて、物性変化に伴う僅かな結晶・電子構造の変化を捉え、その物性の起源を解明する「構造物性研究」をメインに進められている。このような物性変化に伴う構造変化を反映した微弱な信号を捉るために、回折計・検出器等は整備されてきている。また、様々な外場下で多彩な物性を示す系がターゲットであり、以下のような温度・磁場といった外場下での実験用付帯設備が整備されている。特に BL-3A は、図 1 にある超伝導磁石搭載型 He フロー型クライオスタッフが常設状態で回折実験が出来る国内唯一のビームラインであり、多くの磁場下構造物性研究が展開されている。

温度 : He 循環型冷凍機 (4-320 K)、電気炉 (300-1000 K)

磁場環境 : 超伝導磁石搭載型 He フロー型クライオスタッフ
(磁場 $\leq 7.5\text{T}$, 2-300 K)

専用の 2 軸回折計上に設置して利用。

また物性変化に対応した電荷・軌道・スピンの秩序状態を X 線の偏光を利用した「共鳴 X 線散乱手法」により調べる研究が数多く行われている。そのため、ダイヤモンド移相子を利用した入射 X 線の偏光制御や、回折光の偏光解析が行えるよう整備されている。また対象とする系は多種多様であり、ビームラインとして用意している装置に加え、ユーザーが自由な装置を組み付けることで、他にはない実験条件での実験が実施できるのも特徴である。このように多彩な実験環境 (Do it yourself な環境) を維持するのは、ビームライン担当だけでは難しく、ユーザーと協力することで初めて可能となっている。

さらに BL-3A は挿入光源ビームラインであり、構造物性ビームラインの中でも輝度が高く、構造物性研究だけで

なく地球惑星科学、表面・界面化学などの利用研究も行われている。

2. 整備開発および運用状況

4 軸回折計の実験は、上述にあるような測定対象に応じた多彩な実験環境に対応することで常に新しい研究が行われているが、測定に関するハード的な部分は長年同じである。一方、ユーザーと装置をつなぐソフト的な部分は、常に改良を進めてきた。回折計・ビームラインの制御には SPEC を利用し、ユーザー独自の機器の制御にも対応している。測定 PC は仮想化し、Nomachine での遠隔操作、Nextcloud によるデータの共有が行われている。

BL-3A は、挿入光源ビームラインとして 2007 年より運用が開始されたビームラインである。しかしながら、ビームラインのコンポーネントは、前身の BL-16A から移設された機器が多く、老朽化に伴う故障が相次いでいる。2024 年度は、分光器下流側の 4 象限スリットの、モーター・モータードライバ、シリコンドリフト型 X 線検出器を更新した。

3. ビームタイム利用状況

挿入光源ビームラインである BL-3A は、構造物性グループのビームラインの中で輝度も高く、大強度の X 線が利用できる。一方、同じく 4 軸回折計を用いた構造物性研究が実施可能な BL-4C は、ベンディングマグネットのビームラインである。そこで、BL-3A と BL-4C のビームタイム配分は、希望、研究内容を精査の上、BL-3A でないとできない研究 (大強度、超伝導磁石の利用など) を優先して BL-3A でビームタイム配分し、予備的実験や、時間をかけなければ実施可能なものは、BL-4C でビームタイム配分するように調整の上、課題評点を加味し決定している。またビームタイム希望調査では、希望配分日数と、実験を実施する上で最低限の日数を伺い、可能な限り広いユーザー層に使ってもらえるようにしている。しかしながら、最近のビームタイムの減少の影響もあり、評点の低い課題に配分できないことも生じている。ただし最低限、年 1 回の実験は可能な状況を維持している。

4. 今後の展望

現在アクティビティの高い、磁性体を中心とした構造物性研究をメインに、微弱信号を効果的に検出できるように、今後も整備する。また、上述のように老朽化に伴う故障に備えた対応を、可能な限り行っていく予定である。特に、長年利用している 4 軸回折計は、1998 年より利用され、全般的なオーバーホールが必要な時期となっている。

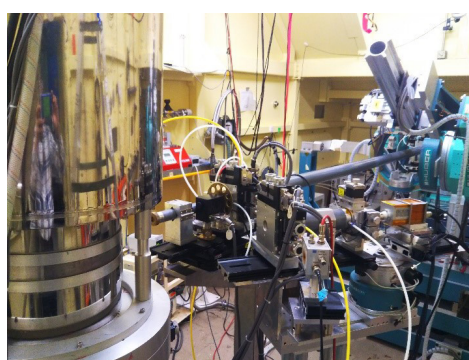


図 1 2 軸回折計上の超伝導磁石搭載型 He フロー型クライオスタッフ (左手) と 4 軸回折計 (右手奥)

BL-4B2：多連装粉末X線回折装置

井田 隆¹, 石橋 広記², 植草 秀裕³, 上原 政智⁴, 籠宮 功⁵, 西村 真一⁶, 藤井 孝太郎⁷,
堀部 陽一⁸, 三宅 亮⁹, 八島 正知³

¹名古屋工業大学先進セラミックス研究センター、²大阪公立大学理学研究科、³東京科学大学理学院、

⁴横浜国立大学工学府、⁵名古屋工業大学工学研究科、⁶東京大学工学系研究科、⁷法政大学生命科学部、

⁸九州工業大学工学研究院、⁹京都大学理学研究科

1. 概要

BL-4B2は「粉末回折ユーザーグループ」運営ステーションである。放射光の高輝度・高平行性を活かし、正確で高精度・高分解能な粉末結晶放射光回折データを実用的な時間内で測定することができる。このような高品質回折強度データは、結晶学や鉱物学、物性科学、構造化学などの基礎分野から、応用物理、応用化学、無機材料工学、薬学など広い応用分野で必須のものである。特に材料分野ではエネルギー・二次電池・燃料電池・エネルギー変換合金やセラミックスの構造と材料特性の研究が行われおり、高精度データを利用した熱振動による原子位置のゆらぎ、電子密度分布に基づく化学結合の評価まで可能となっている。また、高分解能データを利用して、粉末結晶の回折データから結晶構造を決める粉末未知結晶構造解析を行うことができる。例えば、温度変化等の外部環境変化による相転移で単結晶状態が崩壊し粉末結晶となる系や、材料・物質合成上の理由で粉末結晶しか得られない系でも、結晶構造を明らかにすることができます。この手法は、固体物理分野の基礎研究から、実用材料の評価、医薬品原薬結晶の構造解析にも活かされている。

このような高精度・高分解能データを測定するために、検出器多連装型軌道放射光粉末回折計 MDS (Multiple Detector System) [1] を設置している。この装置は、1994年に虎谷秀穂氏らが、放射光粉末回折実験のために、世界で初めて独自に開発したものであり、2θ軸上に 25° 間隔で配置された単結晶 Ge(111) アナライザー付シンチレーションカウンター検出器系を 6 系統備えた平行法型粉末回折計である。なお、この MDS のアイデアは海外の放射光施設でも採用された。ユーザーグループでは、回折計の性能評価や光学系の調整、実際的な使用経験を重ね、さらにデータ解析のための実用的なソフトウェアを開発している [2,3]。

回折計は θ 軸、2θ 軸を持ち、平板回転型試料台を使った反射型測定を行うことができる。サンプル量に応じて面積や深さの異なった円盤型試料ホルダーを用い、測定時にはホルダーを面内回転させ回折に寄与する粒子数を増やし、選択配向効果を減少させることができる。またキャピラリー回転試料台を θ 軸に設置した透過型測定も可能である。サンプル量に制限がある場合、選択配向効果を回避する場合に有効である。環境制御測定については、ユーザーにより 1500°C 以上の温度での測定を可能にする高温炉

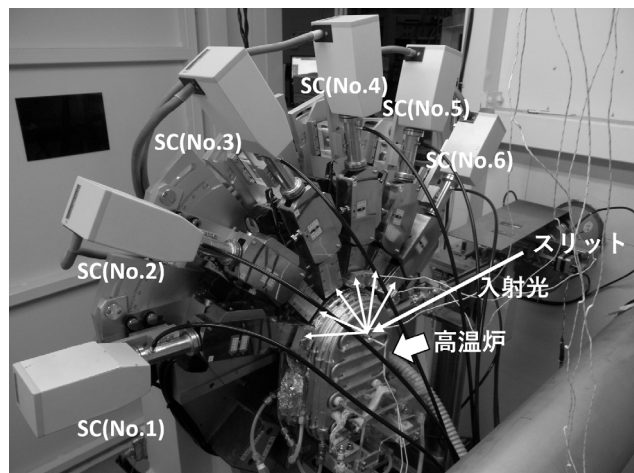


図1 検出器多連装型軌道放射光粉末回折計 MDS (Multiple Detector System) 高温炉を使った平板試料台反射型測定設定

アタッチメントが開発されおり、セラミックス材料の測定で利用されている。キャピラリーサンプルについては、吹付け型低温装置による窒素温度までの低温測定が可能である。

前述の多連装シンチレーションカウンターは 2θ 軸上にあり（図 1），最小 0.004° ステップのステップスキャンが可能である。多連装であるため全測定領域が 2θ で 125° であっても、検出器 1 台当たりの測定角度範囲を 25° 程度にすることができる。1 ステップ当たりの露光時間を 1 秒とした場合、3 時間程度の測定になり、実用的な時間での回折測定が可能となる。なお、波長は PF の放射光特性か 1.2 Å が多用されているが、ビームラインのモノクロメータ調整により、試料に含まれる元素にフォーカスした波長に変更しての測定も行われている。

2. 整備開発および運用状況

MDS は長期間に渡り安定して稼働している。2015 年度には測定を高速化するために、高速 8ch カウンターの設置を行った。制御・測定用の PC を更新し、測定の高速化・安定化を行った。これらの効果で測定時間が 10% 程度短縮され、長時間の連続測定時にも安定して測定が可能となった。2016 年度には回転試料台の整備を行った。また、単結晶解析の BL を併用した課題、中性子回折データと合わせた高度な解析を行う課題も実施されている。25% 程度の測定は高温炉を利用した高温測定となっている。ユ

ユーザー持ち込みの電気炉は、粉末試料や平板試料を空気中 1500°C 以上の高温で測定できることが特徴である。放射光と高温炉アタッチメントの利点を活かした研究例として、高圧合成した $\gamma\text{-Si}_3\text{N}_4$ の熱膨張挙動を空气中で最大 1460°C まで研究したものがある [4]。高圧合成で得られた直径 2 mm 程度の微小なペレットをそのまま使って加熱と測定を実施している。また、高分解能データの特徴を活かした有機結晶の粉末未知構造解析による医薬品結晶の研究 [5] から、電池材料に応用が可能なセラミックイオン伝導体の研究 [6-10] など幅広い分野で活用されていることも特徴である。

2024 年度は、燃料電池など多様な用途で重要な役割を果たすセラミックプロトン伝導体の新物質 $\text{BaSc}_{0.8}\text{W}_{0.2}\text{O}_{2.8}$ が、酸素空孔が多いペロブスカイト型酸化物に W^{6+} をドープするという新戦略で発見され、MDS を活用した研究として報告されている [11]。高いプロトン伝導性と化学的安定性を実現した有望な材料であり、応用研究が期待される。

ユーザーグループでは、ユーザー支援を行っており、サンプル調製、測定、解析まで支援しているため、装置に慣れないユーザーでも実験が可能である。

3. ビームタイム利用状況

ビームタイムは比較的余裕があり、ユーザーからの希望にほぼ応えることができている。このため、充分に実験を行なうことができており、例えば、ビームタイム割当を分割し、データや試料の検討期間を置くことによって、測定戦略を柔軟に変更する配分が可能である。

4. 今後の展望

引き続き、高速測定により測定時間を短縮化する試みを行っている。前述の 8ch カウンターの設置はその一部である。連続スキャン方式への転換も検討しており、大幅な高

速化を達成できる。一方、現在では一次元・二次元検出器による短時間測定が一般的であり、現状の高分解能測定との併用が検討されている。また、他の放射光施設との情報交換も行っており、回折強度・スペクトル同時測定や、キャピラリー試料測定におけるサンプル交換の自動化などの基礎検討を行っている。余裕を持った測定による高精度データによる高精度解析、高温炉による稼働条件下での測定など、4B2 の特徴を生かした研究のさらなる展開が期待される。

引用文献

- [1] H. Toraya, H. Hibino, and K. Ohsumi, *J. Synchrotron Rad.* **3**, 75 (1996).
- [2] T. Ida, H. Hibino, and H. Toraya, *J. Appl. Cryst.* **34**, 144 (2001).
- [3] T. Ida and H. Hibino, *J. Appl. Cryst.* **39**, 90 (2006).
- [4] N. Nishiyama, K. Fujii, E. Kulik, M. Shiraiwa, N. A. Gaida, Y. Higo, Y. Tange, A. Holzheid, M. Yashima, and F. Wakai, *J. Euro. Ceram. Soc.* **39**, 3627 (2019).
- [5] O. D. Putra, A. Patterson, E. Yonemochi, and H. Uekusa, *CrystEngComm* **22**, 7272 (2020).
- [6] K. Kawai, D. Asakura, S. Nishimura, and A. Yamada, *Chem. Mater.* **33**, 1373 (2021).
- [7] H. Yaguchi, K. Fujii, Y. Tsuchiya, H. Ogino, Y. Tsujimoto, and M. Yashima, *ACS Appl. Energy Mater.* **5**, 295 (2022).
- [8] M. Matsui, K. Fujii, M. Shiraiwa, and M. Yashima, *Inorg. Chem.* **61**, 12327 (2022).
- [9] Y. Suzuki, T. Murakami, K. Fujii, J. R. Hester, Y. Yasui, and M. Yashima, *Inorg. Chem.* **61**, 7537 (2022).
- [10] S. Nishimura, A. Hayashi, A. Sakuda, and A. Yamada, *ACS Appl. Energy Mater.* **5**, 14053 (2022).
- [11] K. Saito, K. Umeda, K. Fujii, K. Mori, M. Yashima, *J. Mater. Chem. A*, **12**, 13310 (2024).

BL-4C：精密単結晶 X 線回折ステーション

中尾 裕則

物質構造科学研究所 放射光科学第一研究系

1. 概要

本ビームラインは、4 軸回折計（HUBER）を用いた精密X線回折ステーションとして、PF 建設当初より運用されてきている [1]。そのため各種ビームラインコンポーネント・実験機器は老朽化し、心臓部である回折計はすでに 30 歳を超えており、しかしながら、物性変化に伴う僅かな結晶・電子構造の変化を捉え、その物性の起源を解明する「構造物性研究」が、現在も盛んに行われている。このような物性変化に伴う構造変化を反映した微弱な信号を捉るために、回折計・検出器等は老朽化対策とともに整備してきた。また、様々な外場下で多彩な物性を示す系がターゲットである。現在は以下のような実験用付帯設備が整備されている。

広範囲温度実験用 He 循環型冷凍機（4-600 K）、
電気炉（300-1000 K）

また X 線の偏光を利用して「共鳴 X 線散乱手法」を用いて、物性変化に対応した電荷・軌道・スピンの秩序状態を調べる研究が数多く行われている。そのため、散乱光の偏光状態を調べることが重要であり、偏光解析装置が整備されている。また対象とする系は多種多様であり、ビームラインとして用意している各種機器に加え、ユーザーが自由な装置を組み付けることで、他にはない実験条件での実験が実施できるのも特徴である。このように多彩な実験環境（Do it yourself な環境）を維持するのは、ビームライン担当だけでは難しく、ユーザーと協力することで初めて可能となっている。

2. 整備開発および運用状況

4 軸回折計の実験（図 1）は、上述にあるような測定対象に応じた多彩な実験環境に対応することで常に新しい研究が行われているが、測定に関するハード的な部分は長年同じである。一方、ユーザーと装置をつなぐソフト的な部分は、常に改良を進めてきた。回折計・ビームラインの制御には SPEC を利用し、ユーザー独自の機器の制御にも対応している。測定 PC は仮想化し、Nomachine での遠隔操作、Nextcloud によるデータの共有が行われている。

BL-4C は、PF 建設当時より運用が開始された古いビームラインということもあり、毎年 老朽化に伴う作業を行っている。2024 年度は、He 循環型冷凍機の真空槽側への He ガスリーク、ビームラインの真空バルブ圧空漏れ、集光ミラー駆動不良等への対応を行った。



図 1 4 軸回折計に He 循環型冷凍機を搭載している。20 アーム上に、2 次元 X 線検出器が搭載され、精密な格子定数測定が行われている様子。

3. ビームタイム利用状況

ベンディングマグネットビームラインである BL-4C は、汎用的な構造物性研究を展開するビームラインとして利用されている。挿入光源ビームラインである BL-3A は、同様の実験が実施可能でかつ、輝度が高く、大強度の X 線が利用できる。そこで、BL-3A と BL-4C のビームタイム配分は、希望、研究内容を精査の上、BL-3A でないとできない研究（大強度、超伝導磁石の利用など）を優先して BL-3A でビームタイム配分し、予備的実験や、時間をかけなければ実施可能なものは、BL-4C でのビームタイム配分するよう調整の上、課題評点を加味し決定している。またビームタイム希望調査では、希望配分日数と、実験を実施する上で最低限の日数を伺い、可能な限り広いユーザー層に使ってもらえるようにしている。

引用文献

- [1] H. Iwasaki *et al.*, Rev. Sci. Instrum. **60**, 2406 (1989).

BL-6C：X線回折・散乱実験ステーション

八方 直久¹、杉山 和正²、福田 勝利³、土井 教史⁴、林 好一⁵、木村 正雄⁶、
大田 浩正⁷、中尾 裕則⁸

¹ 広島市立大学 情報科学研究科、² 東北大学 金属材料研究所、³ 京都大学 産官学連携本部、

⁴ 日本製鉄（株）先端技術研究所、⁵ 名古屋工業大学 工学研究科、

⁶ 物質構造科学研究所 放射光科学第二研究系、

⁷ 三菱電機システムサービス（株）加速器技術センター、⁸ 物質構造科学研究所 放射光科学第一研究系

1. 概要

BL-6C では、物質の構造・物性や機能を解明することを目的とした硬X線領域の回折・散乱・吸収実験を行っている。精密構造解析用4軸回折計、薄膜評価用表面回折計、動的構造解析用多軸回折計の3つの回折計が常設されている。また、蛍光X線ホログラフィー測定装置や、吸収分光実験のセットアップを行う事もできる。実験ごとにハッチ内の装置レイアウトを変更することで、X線異常散乱、X線共鳴磁気散乱、表面回折、in-situ X線回折、蛍光X線ホログラフィー、X線吸収スペクトル測定など、多様な実験が可能となっている。2結晶分光器と集光ミラーのレイアウト変更により、2014年5月から集光可能なX線エネルギー領域が20 keV程度まで拡大したこと、ユーザーのアクティビティが向上している。また、2020年に、これまで長らく使用してきた大型の3軸4円回折計を、装置老朽化のために撤去した。撤去後のスペースを利用してことで、X線吸収スペクトル測定装置などの設置が簡便になっている。

2. 整備開発および運用状況

BL-6C は UG 運営ステーションであり、物質物理UGとPF所内担当者で協力してビームラインの保守・管理に当たっている。2024年度は、体制が整わなかった動的構造解析グループ（代表：土井教史）の利用がなかったが、他の蛍光X線ホログラフィー（代表：八方直久）、精密構造

解析（代表：杉山和正）、表面回折（代表：福田勝利）の3グループは例年通り活動することができた。ビームライン制御系に特に異常はなく、実験装置は、測定手法別に小グループを組織し、保守や改良を行った。なお、2025年度より PF 所内担当者が中尾裕則教授から、奥山大輔准教授に交代する。

3. ビームタイム利用状況

実験手法ごとに用いる実験装置が異なり、装置や実験レイアウトの切り替えが発生する際には実験の立上げに時間を要する。そこで、立上げにかかる時間を減らし効率的に実験を行うため、BL-6C では同じ実験手法を用いて行う課題のビームタイムは連続した日程での配分を行っている。測定手法別的小グループごとに、代表を中心に WG メンバーで実験セットアップや小グループ内の新規ユーザーの実験支援を行っている。2024年度第1期は13課題（計66.3日）、第2期は14課題（計72.3日）、第3期は13課題（計20.7日）のビームタイムを実施することができた。2023年度に続き、2024年度も既存ユーザーの更新のみだった。新規ユーザーの獲得に努めたい。

4. 今後の展望

効率的で新規ユーザーにも使いやすい実験システムの構築を目指すとともに、昨今の事情を鑑みて、可能な限りのオンライン化、自動化を進める予定である。

BL-7C：汎用X線ステーション

杉山 弘

物質構造科学研究所 放射光実験施設

1. 概要

本ビームラインは 2013 年秋に XAFS 優先ステーションから X 線汎用ステーションに運用方法を変更し、現時点では特定・優先の使用目的を設けずに運用されている唯一の X 線汎用ステーションである。ビームラインの特徴としては比較的大型の実験装置を課題に応じて自由に搬出入可能、高調波除去全反射ミラー、サジタル結晶による集光などがある。

2. 整備開発および運用状況

PF 建設初期から使用されている数少ないビームラインであるため、現状の機能を可能な限り維持することに努めた。各種機器の老朽化も進み、真空機器や圧空機器などを中心に毎年いずれかの機器の修理・保守などを実施している。2024 年度は VC2 圧空駆動系の分解修理を実施した。各種機器の保守・修理を早期実施することにより、ビームタイム日程に影響しないようにしている。

3. ビームタイム利用状況

汎用ステーションであるため、実験装置の入替が頻繁に行われる。したがって可能な限り同一装置の課題をまとめて実施することにより、立上・調整や搬出入の回数を減らし、ビームタイムを有効活用して多くの課題が実施できるようにした。実験手法は多岐にわたり 2024 年度は薄膜回折、二次 X 線分光、X 線異常散乱といった手法による実験が実行された。

4. 今後の展望

汎用ステーションであるがゆえにユーザ側からビームラインに特別な機能を追加する要望はほぼ無い。専用化される予定は今のところ無いため、基本的には現状機能を可能な限り維持する。

また反射効率および集光性能を維持するために、モノクロメータ第一・第二結晶とともに 2 年程度毎にカーボン除去洗浄を実施していく予定である。次回の洗浄は 2025 年夏期停止期間を予定している。

BL-8A/8B：多目的極限条件下ワイセンベルグカメラ

奥山 大輔
物質構造科学研究所 放射光実験施設

1. 概要

BL-8A と 8B にはそれぞれに大型二次元 Imaging Plate (IP) 検出器を用いた汎用回折計が設置されている。IP の面積が異なる等の若干の違いはあるものの、アタッチメントの規格を共有してほぼ同等の測定環境を実現し、二つのビームラインを一元化して管理運営を行っている。回折計は RIGAKU が市販する X 線回折計 RAPID と概ね共通のシステムを用いて操作できるため、ラボ機と同様の簡便さで放射光 X 線回折実験を行うことができる。IP は高いダイナミックレンジで広い Q 空間を測定できるため汎用性が高く、粉末結晶試料、単結晶試料を主として、ナノ粒子、カーボンナノチューブ、液体等の非晶質試料の測定も行われている。輝度の高い放射光 X 線と IP の高ダイナミックレンジを利用した精密構造解析を得意としていて、例えば、電子密度解析により物質中の水素の電子状態やその位置を精度よく決定する、微小な超格子反射やわずかな反射のスプリットをとらえて結晶対称性を決定する、等の高い精度が要求される実験が行われている。入射 X 線のエネルギーを選択し (5~21 keV)、逆空間の測定範囲や X 線吸収の大小等の測定条件を最適化することができる。また、異常散乱項を積極的に利用することも可能である。

試料環境について汎用性の高いことも特徴の一つであり、高圧、低温、高温、等の極端条件下での測定を簡便に

行うことができる環境が整っている。そのため初心者のユーザーの利用が比較的多く、放射光を用いた回折実験の入り口として機能している。はじめに IP を用いた広範囲測定で回折像の全体像を把握し、他のビームラインで特定の領域をゼロ次元ディテクターで詳細に測定することで、効率よく研究を進めることができる。

2. 整備開発および運用状況

測定試料は単結晶、粉末結晶、非晶質試料と多岐にわたる。それぞれの測定によりニーズが異なるため、いずれの実験においても精度の高いデータが得られるよう、安定したビームと散乱強度測定を提供できるように整備を行っている。低温、高温、高圧、電場下といった極限環境下での測定のニーズが高いため、これらの測定を簡便かつ低バッケージングで行えるよう、付属装置を開発し測定環境の拡充を継続的に行っている。具体的には、ダイヤモンドアンビルセル、ピストンシリンダー型圧力セル（高圧下 (~1 GPa) で単結晶構造解析が可能)、He 循環型冷凍機（室温～4 K）、電気炉（室温～1000 K）、ガス吹き付け型温調装置（30 K ～ 400 K）、高温窒素ガス吹き付け装置（室温～700 K）、粉末試料用スピナーが使用可能である。

また、バルク試料や重い元素の入った試料を用いた回折実験のために、より短い波長の X 線を用いた回折実験のニーズが高まっており、AR-NE1A にて 35 keV の X 線を用いて同様の実験が可能になるようサポート体制をとっている。

3. ビームタイム利用状況

2024 年度は概ね予定通り稼働した。トラブルによるビームタイムの損失はほとんど無い。

4. 今後の展望

汎用性が高く簡便に高精度の放射光回折実験ができる環境を安定して供給することを第一に運営する。一方、装置の老朽化によるトラブルも若干ながら起こっているので、回折計の後継機の模索を始めている。

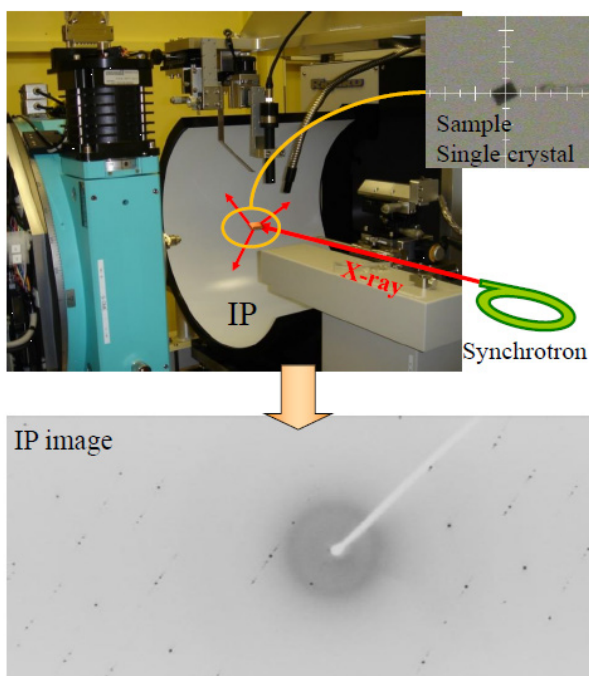


図 1 BL-8A に設置されている IP 回折計

BL-10A：鉱物・合成複雑単結晶構造解析

栗林 貴弘¹、杉山 和正²、吉朝 朗³、熊井 玲児⁴

¹ 東北大学 大学院理学研究科、² 東北大学 金属材料研究所、³ 熊本大学 先端科学研究所、

⁴ 物質構造科学研究所 放射光科学第一研究系

1. 概要

BL-10A は、途切れの無いチューナブルな波長と極めて高い回折角度精度を特徴とする放射光 X 線に対し、四軸型回折計とシンチレーション検出器を用いた単結晶 X 線回折法の優位性を利用した逆空間での空間分解能に秀でたビームラインである。複雑な化学組成をもつ天然の鉱物や、優れた物性を発現する素子材料物質の結晶構造の詳細（構造中の特定元素の位置特定や変調構造解析などを含む）を解明することを目的とした実験が行われている。近年では、X 線異常散乱法を用いた特定元素の占有様式の解明、圧力誘起相転移機構の解明とその相転移後の空間群（構造）の決定、Debye-Waller 因子による格子振動解析、対称中心存在の有無やキラリティーの決定、電子密度分布解析、欠陥構造解析など物質現象の本質を結晶構造の観点から明らかにすることを目指している。

BL-10A では、前述の目的のために通常の回折実験だけでなく、ダイアモンドアンビルセルによる超高压実験、低温・高温実験、強磁場・電場印加実験等の各種物理条件を変えた測定が可能であり、また波長可変を活用した異常散乱実験などが行われている。放射光 X 線とシンチレーション検出器を用いた単結晶 X 線回折法の特性を最大限引き出した固有の研究ステーションとして、深化をはかりつつ、次世代の研究者の育成も含めた運用を行っている。しかしながら、PF 開設最初期から運用されている BL のため、垂直型四軸回折計とその計測系の老朽化が進んでおり、現状のシステムの更新が不可欠となっている。そのため BL-10A の特徴を活かした新たな測定システム（同一微小試料の X 線回折実験と X 線分光測定）の構築・改善を進め、2023 年秋に通信ならびに測定系のシステムについて大規模な改善と刷新を行った。2024 期は、新たなユーザー獲得に向けて、X 線分光系と X 線回折系の測定システムの改善等を引き続き進めている。

2. 整備開発および運用状況

BL-10A は、UG 運営ステーションであり、鉱物・合成単結晶 UG と所内担当者で協力してビームラインの保守・運営管理にあたっている。

BL-10A では精密構造解析が主体であり、そのためには強度データを如何に精確に測定できるかが重要である。これまでに多くのユーザーの多様な実験に活用され成果を上げてきた装置であるが老朽化してきている。そのため、架台や回転部のメンテナンスには細心の注意を払って角度精度を維持している。ユーザー側にも、強度データの同価点

測定による精度の確認、実験室では取得できない高角度領域の強度データの取得等を行ってもらうことで、放射光データによる高精度の精密構造解析を行っている。また、本ビームラインの特色の一つである単結晶法による高圧その場回折実験では、高圧実験用の専用プログラムが用意されている。合わせて、四軸型回折計の ϕ 軸部にダイアモンドアンビルのような重量物をゴニオメーターに搭載するためには保持強度を高めてある。高圧実験以外にも各種実験にも対応できるよう装置周辺環境を整えている。

現状、本装置を利用するにあたり、ある程度専門的な結晶学的知識が必要なため、誰でも容易に使用できるユーザーフレンドリーな状態ではないが、使いこなすにあたって学生等への教育効果が大変大きいといったプラス面もある。実際、2024 期では修士院生による異常散乱実験の成果 [1] や単結晶その場 X 線回折解析実験が PF シンポジウムで発表 [2] されるなど、継続的に有意義な教育効果を挙げている。また、2024 年度も継続的に BL-10A のシステムの改善に取り組んだ。2023 年度に多様な実験を行うために必要な高度化に対応したシステム構築（通信系と測定系の一部刷新）を行ったが、2024 年度は、解析処理のソフトウェアの追加やマニュアルの更新を進め、よりユーザーフレンドリーとなるよう改善を進めている。

加えて、所内担当と相談しながら継続的に次世代機の設置・ビームラインの整備開発に努力しており、2024 年度には XAFS 測定で必要であったガスラインの整備を行い実用化した。一方で、XAFS 測定では耐用年数を超える機器があるため、回折実験と分光実験を同時にできる利点を活かした測定を継続的に行うために更新を検討する必要がある。BL-10A の UG メンバーで広く情報交換、意見交換を継続的に行っており、多様な実験環境の維持に向けた運営と、更新に向けた協議と、実務である改善・整備作業を進めている。結果として、各種エネルギーでの回折実験と XAFS 測定をセットにした測定が積極的に進められ、成果が出始めている [3]。異常散乱法による回折実験は国内外でも非常に限られており、特に、1 Å 付近の波長域での回折実験は BL-10A が有利な状況である。この特色は、単結晶法による高圧実験と合わせて、本ビームラインの特徴であり、関連するユーザーで運用が行われている。

3. ビームタイム利用状況と成果の例

BL-10A はベンディングマグネットビームラインであり、短波長から長波長までの波長可変性を活かした結晶構造解析を主体とする研究に活用されている。近年では、異常散

乱効果を積極的に活用した結晶構造解析（AXS）、ダイアモンドアンビルセルによる高圧下でのその場測定、日本産新鉱物の高精度結晶学的データ測定[4]、超重力を印加した新物質の測定、機能性結晶の精密解析に向けた測定、温度変化に伴う Debye-Waller 因子の変化による格子振動解析等の課題が採択されている。ビームタイムの配分は、放射光共同利用実験審査委員会（PF-PAC）の取得点数によって時間傾斜配分を行っており、3 点以上の課題にマシンタイムの配分を行っている。その際、ビームタイム希望調査を行い、希望配分日数と、実験を実施するために必要な最低限の日数を調査し、可能な限り広いユーザー層に使ってもらえるように対応している。異常散乱法による測定では吸収端近傍での複数回の強度測定が必要であり、また極微小天然鉱物試料や高圧下でのその場測定では、極微小結晶からの回折線の強度が非常に弱くなるため測定時間を増やす必要性と、高圧実験では複数の圧力点での測定が必要となるため、マシンタイムを多めに配分するよう配慮している。

4. 今後の展望

2024 期も継続的に、老朽化への対応として計測系・装置制御系だけでなく、ソフトウェアの更新を進めた。単結晶 X 線回折実験は、二次元検出器による実験が測定時間短縮の恩恵が大きいために主流となっているが、BL-10A の放射光 X 線の特長とシンチレーション検出器を用いた四軸型回折計による精密測定装置は、逆格子スキャンなどによる精密な逆格子点の解析が行える点でその存在意義は大きく、回折計を有する BL-10A の特性をフル活用した実験結果から、これまで多様な重要な成果が得られている。加えて BL-10A ステーションでは、広い選択波長領域を活用した異常散乱法とその XAFS 測定が可能であり、厳密な意味での同時測定ではないが、X 線回折実験と X 線分光実験を全く同一な領域に対して測定できるシステムが構築

され、この利点を活用した周期律表上で隣接する元素が含まれる物質中の特定元素の席選択性の精査など、放射光と BL-10A の特徴を活かした測定ステーションの運営を目指しており、積極的に関連する学会での発表[5] やビームラインの紹介に取り組んでいる。日本における本装置の存在価値をさらに高め、本装置により築かれたノウハウを基に温故知新で日本先導の先端装置の開発を進めたい。

引用文献

- [1] Harada, K., Kuribayashi, T., Nagase, T., Yamane, R. and Sugiyama, K. (2025) Observation on Zn/Cu Distribution in a Natural Tetrahedrite using Anomalous X-Ray Scattering Method with Synchrotron Radiation. Photon Factory Activity Report 2024 #42. Paper No. 75.
- [2] 堀越拓海、服部亮佑、松石清人、中野智志、藤久裕司、栗林貴弘 (2025) ダブルペロブスカイト半導体 Cs₂AgInCl₆ の高圧相における変調構造と光物性、第 42 回 PF シンポジウム /2024 年度量子ビームサイエンスフェスタ .
- [3] Ryo Yamane, Hiroaki Takeda, Takahiro Kuribayashi, Kazumasa Sugiyama, and Tsuguo Fukuda (2025) Fine Structural Analysis of Calcium–Niobium–Gallium Garnet by Single-Crystal Anomalous X-ray Scattering. Journal of Crystal Growth, 649, 127947. Doi: <https://doi.org/10.1016/j.jcrysgro.2024.127947>.
- [4] T. Kuribayashi, T. Nagase, T. Nozaki, J. Ishibashi, K. Shimada, M. Shimizu and K. Momma, Mineral. Mag. **83**, 733–739 (2019).
- [5] 栗林 貴弘、山根 峻、原田 敬太、長瀬 敏郎、杉山 和正 (2024) PF BL-10A の単結晶構造解析の新たな取り組みと現状について～X 線異常散乱実験と高圧下での場単結晶 X 線回折実験. 日本鉱物科学会 2024 年度年会 .

BL-14A：単結晶構造解析／検出器開発ステーション

佐賀山 基

物質構造科学研究所 放射光科学第一研究系

1. 概要

BL-14A は単結晶構造解析／検出器開発ステーションとして運用している。世界的にもユニークな垂直偏光を発生させ、しかも 5T の超伝導磁石による強力な磁場により放射光のエネルギーを高エネルギー側へと押し上げる垂直ウィグラーを光源とするビームラインである。垂直 (ω) 回転軸の 4 軸 X 線回折計はおもに無機結晶の精密構造解析を利用されている。90 年代半ばにはシリコン・アバランシェフォトダイオード (Si-APD) 検出器と組み合わせた精密測定法が確立され、主として汎用自動測定に利用されてきた。近年は高速 4 軸回折計 + APD 検出器 + 多重回折回避プログラムを組み合わせた精密構造解析法の特長を意識した利用を進めている。また、広いエネルギー範囲 (5-80 keV) および縦偏光と 10^{10} phs/mm² 程度までの X 線ビーム強度を利用して検出器開発研究も展開されている。

2. 整備開発および運用状況

BL-14A の光学系パルスモータ制御および 4 軸 X 線回折計測定システムでは GP-IB 通信によるパルスモータコントローラおよび高速パルス計測系 (CAMAC) が使われていたが、20~30 年経過していること、制御機器の仕様が更新されてより高度な制御・計測が可能となっていることから、今後の継続性・汎用性の点を考慮し、2023 年にイーサネット通信による制御・計測システムへ移行した。2024 年度より、ピクセルアレイ型二次元検出器 (PILATUS3S 1M) が利用できるよう環境を整備している。現在は基盤系

のサポートを受けながら測定用ソフトウェアの開発を行っている。

3. ビームタイム利用

状況

超伝導垂直ウィグラーの光を使って順調にユーザー利用を進めている。回折計利用課題のビームタイムについては 6 日間程度（最短で 4 日間）、検出器開発については 3 日間程度を基準に配分している。

4. 今後の展望

Si-APD 検出器など独自の検出器開発と垂直偏光を利用した高速 X 線回折計の組み合わせにより精密・高効率測定の手法開発をさらに進める。光学系多軸同時駆動を実現し、高速駆動 4 軸 X 線回折計と高速パルス検出器による高精度・高計数率測定を効率よく行うシステムの整備を進める。

PILATUS3S 1M の導入に向けて開発した電動検出器移動ステージを整備する。2025 年度には実際に検出器を載せた状態で各可動軸やステージの原点と動作精度を確認し、必要に応じて補正を行う。

2023 年度から第一モノクロメーター結晶の冷却水が、配管の腐食により目詰まりを起こして流量が大幅に減少し、冷却が不十分な状況が度々生じた。そのため、アルミ製の結晶固定用ブロックを 2024 年度末に新たに銅で作り変えた。今後、交換して光学系を再調整する予定である。

BL-18B : Multipurpose Monochromatic Hard X-ray Station

熊井 玲児¹、Mrinmay K Mukhopadhyay²、Saha Pinku³、Vishnu Kumar³、Ananya Chattarj³

¹物質構造科学研究所 放射光科学第一研究系、² Saha Institute of Nuclear Physics (SINP)、

³ Jawaharlal Nehru Centre for Advanced Scientific Research (JNCASR)

1. 概要

BL-18B（インドビームライン）は 2008 年に締結されたインド DST（科学技術省）と KEK の協定に基づき設置された汎用 X 線実験のためのビームラインとして、インド人研究者による運営が行われている。インド側プロジェクトによるインド国内研究者向けの利用に加え、放射光共同利用実験課題審査委員会（PF-PAC）による課題選定を通じた一般の共同利用も受け入れている。ハッチ内には 2 台の回折計が導入され、利用できる実験手法は、(a) 高分解能粉末 X 線回折、(b) 低温 ($T > 10$ K) 粉末 X 線回折、(c) 高温 ($T < 1200$ K) 粉末 X 線回折、(d) 単結晶およびエピタキシャル薄膜回折、(e) 固体表面・界面の反射率・散漫散乱測定、(f) 斜入射及び透過配置による X 線小角散乱、(g) 液体表面の斜入射 X 線回折及び X 線反射率測定、(h) 高圧 X 線回折である。

2009 年度よりビームラインの貸与が開始され、コミッショニングを行った後、2011 年 10 月よりユーザー実験が開始された。まずインド人一般ユーザーからの公募による実験課題を実施し、その後 2014 年度より PF-PAC 課題による日本人を含む一般ユーザーの利用が開始された。インドビームラインプロジェクトは、インド科学技術省 (DST) による資金提供を受けており、第一期はコルカタの Saha Institute of Nuclear Physics (SINP) によって実施され、2016 年度から開始された第二期、および 2024 年度から開始された第三期はバンガロールの Jawaharlal Nehru Centre for Advanced Scientific Research (JNCASR) によって運営実施されている。

インドビームラインプロジェクト第二期の終了に伴い、2023 年 10 月以降、一時的に利用を休止していたが、新たなプロジェクト（第三期）が承認され、KEK と DST の間

で協定が締結されて、2024 年 10 月より利用が再開された。

2. 整備開発および運用状況

本ビームラインの運営およびユーザーサポートは PF スタッフの協力を得て常駐インド人研究者により行われている。ビームライン設置以降、各種測定装置は SINP および JNCASR によって調整が行われている。2024 年度も大きなトラブルはなく、順調にユーザー実験が行われた。インド側プロジェクトによる課題審査を経てビームタイムを配分された課題にはインド DST からユーザー実験に必要な経費が全額補助されている。

3. ビームタイム利用状況

BL-18B では、全ビームタイムの最大 50% まで PF-PAC を通じて申請された一般課題を受け入れており、残りのビームタイムはインド側プロジェクトを通じて募集したインド国内研究者向けに配分している。インド人ユーザーからの課題は年に 2 回（6/15、12/15 締切）募集を行い、インドビームライン運営委員会により選定された国際評価委員会による審査を経て、ビームタイム配分を行っている。2024 年度はインド側プロジェクトにより採択された 20 件が実施され、長期滞在者 2 名を含む 34 名がインド国内の研究機関から来日して実験を実施した。PF-PAC を通じて採択された一般課題については、PF のビームタイム配分委員会による配分を行っているが、2024 年度の配分はなかった。

4. 今後の展望

プロジェクト第二期で導入を予定していたすべての装置の設置が完了し、一般ユーザーにも開放された。2024 年度からのプロジェクト第三期でも、新たな機器の導入が予定されている。



図 1 BL-18B 実験ハッチ内の装置

BL-4A：蛍光X線分析／マイクロビーム分析

宇尾 基弘¹、光延 聖²、高橋 嘉夫³、木村 正雄⁴、丹羽 尉博⁵

¹ 東京科学大学 医歯学総合研究科、² 愛媛大学 農学部、³ 東京大学 大学院理学系研究科、

⁴ 物質構造科学研究所 放射光科学第二研究系、⁵ 物質構造科学研究所 放射光実験施設

1. 概要

本ステーションでは放射光X線集光ビームによる放射光蛍光X線分析を主に行っている。放射光蛍光X線分析法は低バックグラウンドのため検出下限が低く、しかも信号強度が高いため感度の高い元素分析の手法である。特にX線集光ビームを用いた局所領域の非破壊元素分析にその特徴がある。生物学・医学応用試料や岩石などの地球物理学・各種環境試料など、さまざまな物質科学の材料評価に使われている。

放射光蛍光X線分析は元素分析のみならず、蛍光X線強度の入射エネルギー依存性測定(XAFS)による化学状態分析も同じ装置で実現できるため応用領域が広い。本ステーションは、放射光源として偏向電磁石を利用し、ビーム出射位置固定型2結晶分光器(DCM)により単色化したX線領域の放射光を利用している。実験ハッチは光源からは13mの位置にあり、X線集光光学系はハッチ内に設置されている。本ステーションでは、Kirkpatrick-Baez(K-B)集光光学系を用いたX線マイクロビーム(ビームサイズ約5μm角;KB実験)、およびpoly-Capillaryレンズを用いたセミ・マイクロビーム(ビームサイズ約30μm径;PC実験)が利用でき、上記蛍光X線分析・XANES測定などが定常的に行われている。

2. 整備開発および運用状況

本ステーションは蛍光X線分析関連ステーションとしてPF初期から利用されてきたが、2014年度よりユーザーグループ運営ステーションとして測定手法をマイクロビームとセミ・マイクロビームに特化し再出発した。2024年度の整備状況と関連する活動について以下に記す。

(1) 2024年度も引き続きユーザーグループ運営ステーションとして光学系調整方法の定型化を図り、運営ワーキンググループメンバーのみによる調整が可能な状況になっている。KB、PC実験の調整をその手法を利用するUGメンバーが行うことにより、一部のUGメンバー

が手法を跨いで調整する必要がない体制をつくり、メンバーの負担低減を進めている。

(2) 2024年度第Ⅰ期はKB実験のみとし、第Ⅱ期はKB実験からスタートして、期中でPC実験への切り替えを行って後半約1/3をPC実験とし、第Ⅲ期は前半をPC実験、期中でKB実験に切り替えて実験を終えた。

3. ビームタイム利用状況

ビームタイムは、ユーザーからの「ビームタイム要求書」による要求希望時間および利用可能な時期についての要望に従い配分している。ユーザーグループ運営ステーション化以後は利用ユーザーの数が絞られ、2024年度は要求ビームタイムが配分可能ビームタイムをやや上回る程度のため、配分調整の困難は生じていない。

4. 今後の展望

本ステーションは、ビームサイズやX線強度などの点で実験室系分析装置とナノビーム放射光分析ステーションの中間位置を占める装置として、またユーザーフレンドリーカーな放射光X線分析装置としてユーザーに利用され研究成果が出ている。また、例年継続申請が多いとはいえ、いくつかの新規課題申請もある。このことから、本ステーションは放射光マイクロビーム蛍光X線分析ステーションとして先端的とは言えないが、適切な運営のもとで存在意義は十分にあると考えられる。この考えのもとユーザーグループ運営ステーションとして10年以上運用してきており、その間の管理運営の実績を検討すると、ステーションとして定常状態に入りつつあると思われる。今後、さらにユーザーグループがより自立的に長期に安定して運営できるよう検討を進めている。KB実験の希望が多いため、2019年度からは、PC実験とKB実験の切り替えを第Ⅱ期と第Ⅲ期の年間で2回だけにして運営の負担を軽減する工夫を行っている。さらに長期的には施設の将来計画との整合性を含めて、検討を行う必要がある。

BL-9A : XAFS（高強度）実験ステーション

阿部 仁^{1,3}、丹羽 尉博²、仁谷 浩明²、松岡 亜衣²、城戸 大貴¹、木村 正雄¹

¹物質構造科学研究所 放射光科学第二研究系、²物質構造科学研究所 放射光実験施設、

³茨城大学 大学院理工学研究科

1. 概要

BL-9A は高強度 X 線と 7 素子シリコンドリフト検出器 (7SDD) を利用した希薄試料測定に適した XAFS 実験ステーションである。また、セットアップの変更により、He 雰囲気下で軟 X 線 ($\sim 2.1 - 4$ keV) 領域 (SX-mode) も利用可能である。モノクロメーターの上流に平行化ミラーが設置してあることによりエネルギー分解能を損ねることなく、高強度 (high flux) の X 線が得られる。また、軟 X 線 ($\sim 2.1 - 4$ keV) 領域で抜群の強度を持つことも特徴で、P、S、Cl などの軽元素に加え、K、Ca などの測定に威力を発揮する。一方で、高エネルギー側の cut off は低く、 ~ 15 keV となっている。高強度であることを活かし、7SDD の Quick scan 測定 (MSSD-QXAFS) が可能なシステムも導入されている。

上記特性を活かした実験として、ユーザー所有装置の実験ハッチ内持込み、XAFS 定盤上への設置による課題も多く行われている。

2. 整備開発および運用状況

高強度 X 線が得られ、7SDD が設置されていることから、希薄試料測定、微弱信号検出測定を行う課題を中心に運用している。

I0 および I1 測定に用いる 2 台のアンプのゲイン変更等は測定用 PC から行う設定としている。一方、I2 測定用アンプについては従前のようにアンプを直接操作する必要がある。イオンチャンバーのガス切替も測定用 PC から行う。

I0 前スリットは自動ステージ駆動となっており、スリット開口の調整は、測定用 PC から行える。これにより、強度を確認しながらのスリット調整が可能となっている。

SX-mode での P、S、Cl などの軽元素の測定を行う課題

の実施の推進を目指している。

XAFS を用いた食品中の Ca の化学状態分析に関するテーマが、量子ビーム連携研究センター (CIQuS) のテーマ設定型共同研究プロジェクト「量子ビームを用いた食品科学」の一環として他の量子ビーム研究者との連携も含め進められている。複合測定環境の構築も含め、9A の特徴でもある Tender x-ray と呼ばれる比較的低エネルギー領域の XAFS 利用研究の推進に繋げたい。

3. ビームタイム利用状況

材料科学部門の XAFS 関係 BL は一元化してビームタイム配分を行っている。希薄試料測定、微弱信号検出測定を行う課題からの需要が多い。また、Ca や Ti などの 4 - 5 keV 程度の測定の需要に加え、ランタノイドの L 吸収端測定、軟 X 線 (Tender x-ray) 領域の P、S の測定希望も一定程度ある。例えば、金属錯体の配位子、あるいは硫化物等に含まれる S の XANES 測定から電子状態について考察するような実験が行われている。高強度 X 線で 7SDD 測定が出来ることから、需要の多い実験ステーションとなっている。

4. 今後の展望

引き続き高強度 X 線と 7SDD を活かした希薄試料測定、微弱信号検出測定が実施可能な実験ステーションとして運用していく。

SX-mode で P、S、Cl などの軽元素の測定が可能であり、生体関連物質やその模倣錯体をはじめとして、これらの測定に関する潜在的需要は少なくないと考えている。一層の需要を喚起できるよう、宣伝していきたい。

BL-9C : XAFS (その場) 実験ステーション

阿部 仁^{1,3}、丹羽 尉博²、仁谷 浩明²、松岡 亜衣²、城戸 大貴¹、木村 正雄¹

¹物質構造科学研究所 放射光科学第二研究系、²物質構造科学研究所 放射光実験施設、

³茨城大学 大学院理工学研究科

1. 概要

各種ガス雰囲気下でのその場 (*in situ*) 観察 XAFS 測定を容易に実施可能な XAFS 実験ステーションとして整備している。高次光除去ミラーを持たないことから比較的低エネルギー領域は 9A や 12C に劣るもの、7 素子シリコンドリフト検出器 (7SDD) が設置されて以降、希薄試料も他の XAFS BL と同様に測定可能となっている。温度制御された試料の各種可燃性および支燃性ガス雰囲気下での *in situ* XAFS 測定に最適な実験ステーションとして整備を進め、可燃性および支燃性ガスのシリンドーキャビネット、ガス無害化用の触媒燃焼器が常設となっている。各種ガスの流量や切替の制御、専用 *in situ* cell での温度制御等は、専用 PC から行える。この整備により、*in situ* 実験に取り組みやすくなり、安全性も格段に向上了した。また、蛍光収量モードでの測定が可能で反応ガスを流通することができる蛍光 XAFS 用フローセルも導入されている。

測定プログラムも、様々なリクエストに応える形で拡張され、QXAFS での多元素連続測定、外部機器との連携、などが可能となっている。

ハードウェアおよびソフトウェア両面の進化により、多様なリクエストに対応できる *in situ* XAFS 測定環境が構築されつつある。比較的容易に多様な *in situ* XAFS 測定が実施可能な実験ステーションとして整備及び高度化を進めしていく。

2. 整備開発および運用状況

各種ガス雰囲気下での *in situ* XAFS 測定を容易に実施可能な XAFS 実験ステーションとして、整備している。*in situ* 実験の利便性、安全性を向上させるべく、細かなアップデートを隨時実施している。

以前の 9C には希薄試料測定に適した半導体検出器が設置されていなかったが、2022 年度に 7 素子へアップグレードした SDD が設置された。これにより、9C でも蛍光法での測定が 9A、12C と同様に行うことができるようになっている。

I0 および I 測定に用いる 2 台のアンプのゲイン変更等は

測定用 PC から行う設定としている。一方、I2 測定用アンプについては従前のようにアンプを直接操作する必要がある。イオンチャンバーのガス切替も測定用 PC から行う。

光学系では、高次光除去ミラーの導入を希望しているが、残念ながら必要な予算の確保には至っていない。

物構研スタッフによる手法開発として、Kramers-Kronig 変換を用いた表面敏感な XAFS 測定手法の開発を行ってきた（科研費若手 B、若手 A）。種々の表面現象の XAFS 解析に応用可能で、通常、表面では困難な各種ガス雰囲気下での *in situ* XAFS 測定を可能にする手法である。この手法は全反射 X 線分光法 TREXS (Total REflection X-ray Spectroscopy) と名付け、更なる高度化を目指している。2023 年度から科研費基盤 C の支援を得て、さらに 2024 年度からは学術変革領域研究 (A) イオン渦滞学に計画班として参画し、これまで表面（固気界面）のみであった TREXS を固液界面に適用するための研究開発を進めている。

3. ビームタイム利用状況

材料科学部門の XAFS 関係 BL は一元化してビームタイム配分を行っている。多素子半導体検出器や高次光除去ミラーがないことなどの理由により、従来は 9A、12C に比べて需要が低かったが、*in situ* XAFS 測定環境の整備、7SDD の設置、などにより、需要が急増した。この結果、希望時間数通りのビームタイムが配分可能な課題の評点は 9A、12C と概ね同等程度となった。企業ユーザーからの要望も増加している。

4. 今後の展望

各種ガス雰囲気下での *in situ* XAFS 測定環境の一層の充実、高度化を目指す。適切に宣伝を行い、潜在的需要を喚起したい。また、7 素子へとアップグレードした SDD が整備できたことにより、微量元素や希薄試料の蛍光収量法での測定需要にも対応できるようになったため、幅広い需要を取り込みたい。

BL-12C : XAFS（ハイスループット）実験ステーション

城戸 大貴¹、仁谷 浩明²、丹羽 尉博²、松岡 亜衣²、阿部 仁^{1,3}、木村 正雄¹

¹物質構造科学研究所 放射光科学第二研究系、²物質構造科学研究所 放射光実験施設、

³茨城大学 大学院理工学研究科

1. 概要

BL-12C はハイスループット XAFS 実験ステーションとして整備しており、自動測定システムの導入により効率よくデータ収集を行える。このシステムを用いたメールイン測定サービスを運用している。2023 年度に BL-12A 建設のためのハッチ減築を行ったが、これまで通りのビームを供給できている。引き続き XAFS データ収集データベースの構築を進めており、2024 年度からデータクオリティの自動判定システムの運用を開始した。今後も利便性向上のための開発を行う。

2. 整備開発および運用状況

現状はハイスループット XAFS 実験ステーションとしてユーザー不在でも実験が可能なシステムと、BL-9A、BL-9C、AR-NW10A と互換性のある XAFS 測定システムを維持するための保守作業がメインとなっている。常設設備として、

- 100 連装自動試料交換装置

・電離箱ガス自動混合フロー装置

・リモート制御対応型 X 線検出系

・高速パスルカウント測定対応 7 素子 SDD システムを整備している。

3. ビームタイム利用状況

ビームタイム配分は他の XAFS 実験ステーション群と一緒にして配分を行っている。BL-12C は多素子半導体検出器と高調波抑制ミラーを備え、利用可能エネルギー範囲も 4 ~ 23 keV と広いため、ほぼ全ての XAFS 実験を受入れ可能である。企業ユーザーの割合も多く、ステーションの利用率はほぼ 100% となっている。

4. 今後の展望

放射光実験施設基盤技術部門が進めている PF 基盤ネットワーク強化と連携し、高度なデータハンドリングシステムの整備を行う。

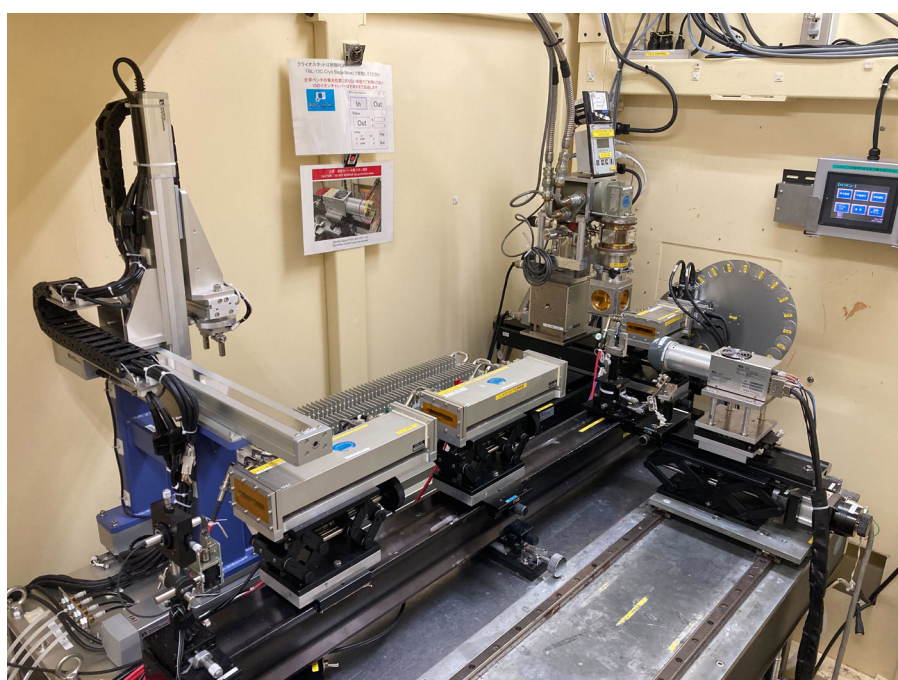


図 1 BL-12C 実験ハッチ内

BL-15A1 : XAFS (セミマイクロビーム) 実験ステーション

丹羽 尉博¹、仁谷 浩明¹、阿部 仁^{2,3}、木村 正雄²

¹ 物質構造科学研究所 放射光実験施設、² 物質構造科学研究所 放射光科学第二研究系、

³ 茨城大学 大学院理工学研究科

1. 概要

BL-15A1 のビームライン光学系は、短周期アンジュレーターから供給される光エネルギー 2.1 ~ 15 keV の大強度 X 線を各種ミラーで 20 μm に集光して供給する [1]。このエネルギー領域には 3d 遷移金属元素 K 端や希土類元素 L 端など材料科学で基礎となる元素、P (リン) や S (硫黄) といった環境科学や高分子材料で重要な元素が含まれ、さまざまな元素に着目した分析を行うことができる。BL-15A1 は図 1 に示すような多彩な検出器群を備えており、透過 X 線、蛍光 X 線、X 線回折パターンの同時測定が可能である。試料中の特定の領域の X 線吸収 (XAFS) スペクトルを測定したり、試料位置をスキャンして試料中に含まれる微量元素の分布を観察したりすることができる。また試料位置と光エネルギーの両方をスキャン、あるいは回折パターンのスキャンをすることで、元素分布だけからは判別できない化学状態や結晶構造を識別し、その

分布を可視化することができる (図 1 右)。

そのほか全反射 XAFS 法や分光結晶を用いた高分解能蛍光 X 線測定など、20 μm に集光された大強度 X 線を利用することで可能になる先鋭的な測定法の実施にも対応している。

2. 整備開発および運用状況

BL-15A1 は、2014 年度秋からユーザー供用を開始した。大強度 X 線を室温や光エネルギーなどによらず常に試料上の同じ場所に照射するには、ビームライン光学系にさまざまな工夫が必要となる。これまで二結晶分光器の定位出射性や集光ミラー調整方法の再検討を中心に、ユーザー供用と並行してビームライン調整を継続してきた。その結果、図 2 に示すように 20 μm サイズに X 線が集光できていることを確認し、DECTRIS RIGI によるビーム位置検出とフィードバック処理によって、測定範囲のエネルギーを変化

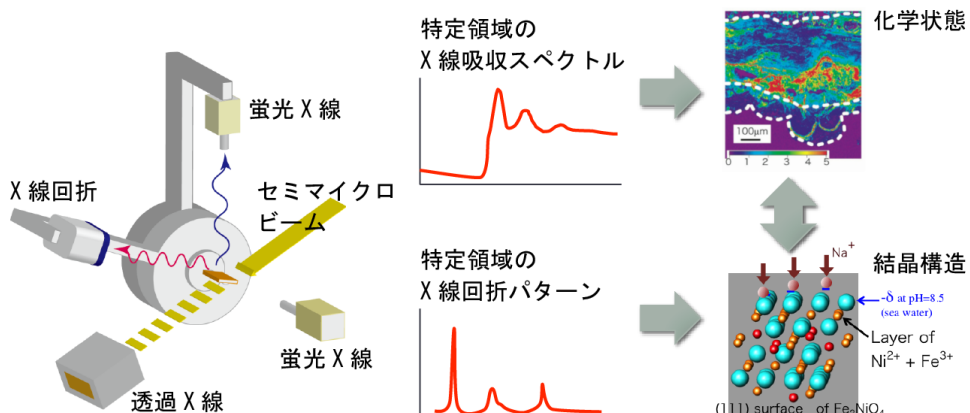


図 1 BL-15A1 で行われる測定の模式図。透過・蛍光・回折 X 線の測定が同時にでき、特定領域の X 線吸収スペクトルや回折パターンが得られ、化学状態や結晶構造の分布を可視化することができる。

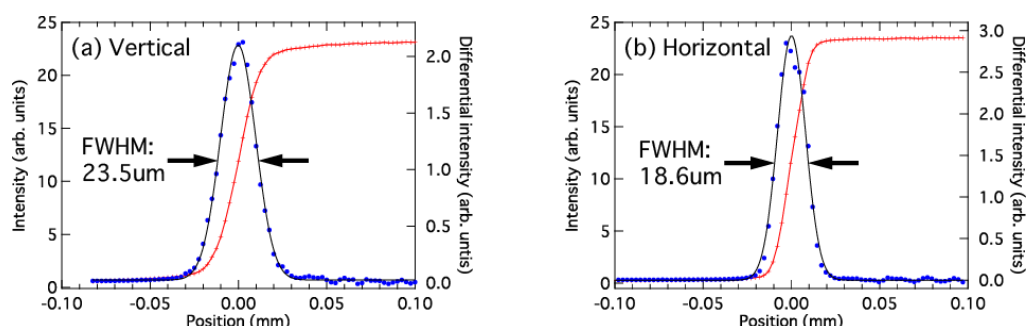


図 2 BL-15A1 試料位置で測定した、(a) 垂直方向、(b) 水平方向の X 線ビームサイズ。

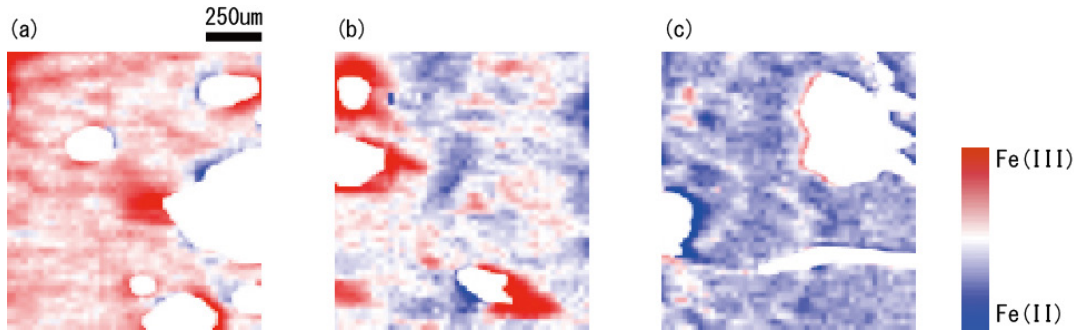


図3 BL-15A1 でのマッピング測定により得られた、鉄焼結鉱の還元反応における Fe の価数分布。(a) から (c) へ向かって、Fe の III 値から II 値への還元が進行している。

させた際のビーム位置ずれを垂直、水平とも $10 \mu\text{m}$ 未満に抑えることを可能にした。また、二結晶分光器駆動コントローラの更新により動作を高速化するなどの技術開発を行っている。

2024 年度には、半導体検出器からのデジタル信号処理において、蛍光 X 線シグナルと検出タイミングを同時に記録可能な高速信号処理 DSP (Digital Signal Processor) を整備した。これにより DSP の時定数に相当するマイクロ秒オーダーでの時間分解実験を実現した。この技術は既にユーザー実験に用いられており、高圧電場印加下や、レーザー照射下での比較的長寿命の励起種の状態観察に活用されている。また同様の DSP を有する汎用 XAFS ビームライン BL-9A、9C、12C、NW10A でも水平展開可能である。

測定に関わる制御ソフトウェア、解析技術の更新も継続して行っている。これまでに、高速に空間分布を取得するオン・ザ・フライ試料走査、高速に XAFS スペクトルを測定する分光器クイックスキャンを実装した。また、フリーの画像解析ソフトウェア（主に Image J）に独自開発のプラグインを組み合わせ、XAFS や蛍光 X 線のマッピングデータ、X 線回折像などの画像データの解析を可能にし、公開している。

このような解析の事例を、図 3 に示す [2]。ここで測定された試料は、鉄鋼の製造過程において溶鉱炉内部で還元される鉄焼結鉱である。蛍光 X 線を検出し、試料位置をスキャナするマッピングに加えて光エネルギーを Fe K 端のまわりで変化させることで、鉄の価数分布を得ることに成功した。焼結鉱全体で III 値から II 値への還元反応が進行していることに加え、還元反応の進行度合いは空孔・亀裂の分布に応じて局所的に異なる様子が可視化されており、これまで「想像」で語られてきた溶鉱炉内部の化学反応の分布に直接的な描像を与える結果が得られた。なお、本ビームラインの整備の一部、上記研究の一部（図 3）は、内閣府戦略的イノベーション創造プログラム（SIP）革新的構造材料（SM4I）のユニット D66（SIP-IMASM）での研究推進の一環として実施された。

また、環境科学・地球化学物質の微量元素の分布を捉え、さらに XAFS や XRD によって元素の吸着状況を分析するといった、BL-15A1 の大強度と複合分析を生かした研究

も行われている [3]。

3. ビームタイム利用状況

これまでのユーザー層は、BL 建設当初から深く関わってきた大学共同利用ユーザー、これまで BL-9A ほか旧物質化学グループビームラインでの XAFS 実験や、BL-4A でのマイクロビーム分析実験の経験があるユーザーを中心であった。しかしながら近年では、初心者課題を含め、これまで利用経験のない新規ユーザーの課題が増えており、BL-15A1 の認知度と高強度微小ビームのニーズが高まっていることが推測できる。さらに、XAFS という単独の分析手法で解決できなかった課題を、BL-15A1 のアプローチ（multi-scale, multi-modal）で取り組みたいとするニーズも増えてきている。

BL-15A1 の複合アプローチは、実材料開発の面でもニーズが高く、民間との共同研究が進められ、株式会社日立製作所による Li イオン電池セルの充放電状態の分析 [4]、日本製鉄株式会社による鉄鉱石の還元反応過程の分析、ENEOS 株式会社による潤滑材料の化学状態分布解析、富士フィルム株式会社による機能性薄膜の化学状態分布解析といった企業研究者の利用が活発に行われてきている。

4. 今後の展望

BL-15A1 の利用研究が学会などで報告されるにつれ、新規の利用申請や問い合わせが増加している。今後も測定の効率化、X 線ビームのさらなる安定化による調整負担の軽減を行い、増加する需要に応えていく。また、BL-4A の多層膜ミラーで得られる $30 \mu\text{m}$ のビームは強度が重要なユーザー向けのモードであり、BL-15A1 はその上位互換となるため移行メリットが大きいと考えられるが、ユーザーの移行は進んでいない。継続的に声をかけ、BL-15A1 への移行を促したい。

BL-15A1 はテンダーエネルギー領域で微小ビームを使用できる数少ないビームラインであるため、同エネルギー領域での計測の利便性を向上する開発を優先して進める。

引用文献

- [1] N. Igarashi, N. Shimizu, A. Koyama, T. Mori, H. Ohta, Y. Niwa, H. Nitani, H. Abe, M. Nomura, T. Shioya, K. Tsuchiya and K. Ito, *J. Phys.: Conf. Ser.* **425**, 072016 (2013).
- [2] M. Kimura, R. Murao, N. Ohta, K. Noami, Y. Uemura, Y. Niwa, K. Kimijima, Y. Takeichi and H. Nitani, *J. Phys.: Conf. Ser.* **712**, 012077 (2016).
- [3] H.-B. Qin, Y. Takeichi, H. Nitani, Y. Terada and Y. Takahashi, *Environ. Sci. Technol.* **51**, 6027 (2017).
- [4] H. Konishi, T. Hirano, D. Takamatsu, A. Gunji, X. Feng, S. Furutsuki, T. Okumura, S. Terada and K. Tamura, *J. Solid State Chem.* **258**, 225 (2018).

BL-27B：放射性試料用X線実験ステーション

宇佐美 徳子¹、横谷 明徳^{2,3}、岡本 芳浩⁴

¹ 物質構造科学研究所 放射光実験施設、² 量子科学技術研究開発機構 (QST)、

³ 茨城大学、⁴ 日本原子力研究開発機構 (JAEA)

1. 概要

BL-27B は、偏向電磁石を光源とする X 線ビームラインであり、プランチの軟 X 線ビームライン BL-27A とともに非密封 RI 管理区域（放射光アイソトープ実験施設）内に設置され、放射性同位元素（RI）および核燃料物質を試料として用いることができる。日本原子力研究開発機構 JAEA（当時は日本原子力研究所）と高エネルギー加速器研究機構 KEK（当時は高エネルギー物理学研究所）の共同で建設され、1992 年度から運用が開始された。ビームラインコンポーネントの多くは JAEA 所有であったが、KEK に譲渡され、2019 年度からは、放射線生物ユーザーグループおよび原子力基盤研究ユーザーグループによって運営されるユーザーグループ運営ステーションとなった。2024 年度は 2 期目の最終年度にあたるが、次年度以降も更新の予定で準備を進めている。

実験ハッチ内には上流側に XAFS 測定装置、下流側にマイクロビーム X 線細胞照射装置が常設されており、簡単な作業で装置を切り替えて使用することができる。上流の XAFS 測定装置は、透過法および多素子 SSD による蛍光 XAFS の測定が可能である。下流のマイクロビーム X 線細胞照射装置は、シリコン結晶の(311)面を利用して 5.35 keV の X 線を上方にはね上げ、蛍光顕微鏡自動ステージ上の細胞試料に下方から照射する。マイクロビームは、精密スリットでビームを成形することにより作成しているため、任意のサイズの矩形のビームが得られる。また、遮蔽用 X 線マスクを併用することにより、細胞核の部分を遮蔽し細胞質にのみ照射できるビームを作ることができる。

この他に定盤上や下流側の装置のすぐ上流の空いたスペースに任意の装置を設置することができる。常設ではないが、PF 所有の装置として、エネルギー可変マイクロビーム細胞照射装置、単色 X 線照射装置などがあり、これらの装置の利用も可能である。

2. 整備開発および運用状況

BL-27 はビームライン建設から 20 年以上を経過し、老朽化による機器の故障が増えてきているが、ユーザーグループの協力により機器の更新や修理が行われている。2024 年度は老朽化したイオンチェンバー、電流アンプなどがユーザーの外部資金により確保され、順次入れ替えを行っている。検出器等の高度化も順次進めている。

3. ビームタイム利用状況

全ビームタイムのうち、マイクロビーム細胞照射実験などの生物関連実験が約 1/3 で、残りの 2/3 が XAFS 実験である。どちらのカテゴリーの課題にもほぼ希望どおり配分できている。XAFS 課題の 90% が原子力分野（除染・環境修復なども含む）であり、ビームラインの特色を活かした利用がされていると言える。RI・核燃料物質の利用実験は、4 課題により合計 792 時間（12 回）実施された。

4. 今後の展望

BL-27B に常設のマイクロビーム X 線細胞照射装置は、スリットと遮蔽用 X 線マスクの利用により X 線によるエネルギー付与の空間分布を任意に設定することが可能であり、最近では空間的に不均一な照射を受けた細胞の生物応答など、がんの放射線治療や不均一被ばくのリスク評価の基礎となる研究にも利用が広がっている。CREST「独創的原理に基づく革新的光科学技術の創成」に採択された「光を用いたヒト生体深部での分子制御」に関する成果 [1] に関しては、BL-11において、X 線誘起反応を同時測定する 2 ビーム利用実験に発展する計画を立てている。また、BL-27A と合わせて広いエネルギー領域が利用できることを利用した放射線化学に関する成果も得られている [2]。引き続き多様なニーズに対応できるように実験環境を整備して行きたい。

XAFS 分野では、福島第一原子力発電所の廃炉に関する研究やガラス固化体などの放射性廃棄物処理に関する研究課題があり、核燃料試料を利用した実験も活発に実施されている。人材育成の観点から、学部学生を含めた学生の利用も奨励しており、使用済み核燃料の再処理に関する大学院生の研究が 2024 年 3 月の量子ビームサイエンスフェスタで学生奨励賞を受賞し、PF ニュースに論文が掲載された [3]。燃料デブリをはじめとする多元素からなる不均一な多相系の試料は、マイクロビームの利用が不可欠であり、ビームラインの特徴を活かした実験として、廃炉対策を中心とした原子力関連研究を引き続き推進する。

引用文献

- [1] M. Ohara *et al.*, Radiat. Phys. Chem. **216**, 111394 (2024).
- [2] S. Nakagawa *et al.*, Radiat. Phys. Chem. **214**, 111304 (2024).
- [3] 算輪一希 他, PF News 42, No.3, 15 (2024).

AR-NW2A：時間分解 DXAFS/X 線顕微鏡

丹羽 尉博¹、阿部 仁^{2,3}、森 丈晴¹、仁谷 浩明¹、木村 正雄²

¹ 物質構造科学研究所 放射光実験施設、² 物質構造科学研究所 放射光科学第二研究系、

³ 茨城大学 大学院理工学研究科

1. 概要

AR-NW2A はアンジュレーター光源から得られる大強度の単色および白色 X 線を自由に利用できるビームラインである。ビームラインで整備しているユーザー共用装置としては波長分散型 XAFS (Dispersive XAFS : DXAFS) および通常の XAFS があり、特に時間分解 DXAFS に関する研究に注力している。DXAFS を用いた時分割 XAFS 測定ではミリ秒からマイクロ秒の時間分解能での連続測定の他に、パルスレーザーなどの外的刺激と DXAFS とを組み合わせ PF-AR から得られる X 線パルスの時間構造を利用したナノ秒からサブナノ秒での超高速時間分解 XAFS 測定が可能である。前者は不均一触媒のガス反応メカニズムの解明など Quick XAFS の時間分解能では不十分だが比較的遅い反応系に適用される。後者は繰り返し可能な系を対象として光触媒、錯体などの光励起化学種の状態解明などに使用される一方で、材料の破壊や衝撃圧縮などの不可逆な過程の反応ダイナミクス解明にも力を発揮している [1-3]。本ビームラインではユーザーの持ち込み装置にも柔軟に対応している。このため汎用的な XAFS 測定以外の特殊な実験が多いのが特徴である。ユーザーは自身の実験装置を持ち込むことによって測定手法を縛られることなく大強度の単色もしくは白色 X 線を自由に使用することができる。2021 年 5-6 月期の運転をもってユーザー持込装置として実験が行われていた X 線回折のアクティビティが全てタンパク質結晶構造解析ビームライン群に移行された。

2. 整備開発および運用状況

AR-NW2A では PF スタッフが中心となってナノ秒からサブナノ秒で進展する構造変化を解明するためのシングルショット DXAFS システムと、マイクロメートルからナノメートルオーダーの X 線顕微分光システムの整備を進めている [4-7]。時間分解 DXAFS では、パルスレーザー、CW レーザーと DXAFS システムを組み合わせた不可逆反応の観察を行うための環境整備を進めており、炭素鋼の温度誘起相変態のメカニズムや金属の破壊の起点解明などの分野で成果を上げている [2, 3]。

X 線顕微分光では、2021 年度第二期より投影型二次元イメージング XAFS システムを導入し運用を開始した。これは非集光の幅広ビームを試料に照射し、透過した X 線を二次元検出器で一度に検出する手法であり、8 mm × 3 mm 程度の視野の X 線吸収マップを 10 μm 以下の空間分解能で一度に取得できるようになった。この手法は原理的に透過法に限定されるが、試料を走査することなくビーム

照射領域のイメージを一度に取得するため測定時間を大幅に短縮できる。例えば、0.5 mm × 2 mm の視野の二次元 XAFS イメージを BL-15A1 の試料走査型システムで測定すると約 12 時間を要するが、AR-NW2A のシステムでは約 8 分で終了する。2022 年度には制御システムの最適化により更に測定時間が短縮し、約 5 分で二次元 XAFS イメージングデータを取得できるようになった。また、学術変革領域研究「データ記述科学」[8] での X 線顕微法の高度化の一環として、将来のサブミクロンスケールへの展開を見据え、微小空間分解計測の根幹となる X 線顕微鏡用の高精度かつ高剛性（高安定）な多機能定盤を導入した。2016 年度末に戦略的イノベーション創造プログラム（内閣府、Cross-ministerial Strategic Innovation Promotion Program : SIP、KEK 機関代表者：木村正雄教授）革新的構造材料分野の先端計測拠点構築の一環として導入された最高 50 nm の空間分解能を持つ X 線顕微鏡（XAFS-CT）[4-7] は 2018 年度でプロジェクトでの使用期間を終え、S2 型及び G 型課題での共同利用実験および民間企業との共同研究が展開されている。

2024 年 5 月に本顕微鏡の試料ステージに重大な故障が発生し CT 計測ができなくなるトラブルが発生した。このため、2024 年 5-6 月期の X 線顕微鏡の全ユーザーのビームタイムをキャンセルし、2024 年 10 月に同装置の修理を実施した。しかしながらその後、CCD カメラ本体、結像用 Zoneplate ステージなどに不具合が見つかり、都度修理を実施している。本装置導入から 8 年が経過し、使用頻度の高い部位での不具合が一通り出て、現状ではそれらにおおよそ手を入れた状態である。今後は予防的な機器の交換を実施しつつ安定運用ができるよう計画的な整備を行う。

3. ビームタイム利用状況

本ビームラインでは既述のとおり持込装置と光学系モード（白色、単色、集光、非集光など）が多いため装置入替とビームライン光学系調整の頻度が非常に高い。このためこれらに費やされるビームタイムが多く、実質的な利用可能時間が短くなるという問題点がある。

また、計測手法の性格上、いずれの実験においても、特殊なセットアップや in situ 環境の構築に時間を要するため各課題からの 1 回の要求ビームタイムが長いのが特徴である。そのため、本ビームラインで有効な課題（S2 型 1 件を含む）は、他の XAFS ビームラインと較べて高評点の課題が多いにもかかわらず配分できない課題が存在するという厳しい状況が続いている。これは汎用性と自由度の高い

high-flux ビームラインへの潜在的なニーズの高さを示していると考えている。しかし、近年では PF-AR の運転時間の減少のため、チャレンジングな研究課題にじっくりと取り組むことが困難になり、AR-NW2A の有効課題が減少し、結果として配分率が 100% に近い状況である。これは AR-NW2A での潜在的なニーズ、アクティビティを損なうものであり非常に危機感を感じている。チャレンジングな研究課題に取り組むことは将来の成果創出のために不可欠であり、競争力のある課題が共存し成果創出できるための、ハード (ex. 測定のハイスループット化) およびソフト (ex. 重点領域テーマ制度) の両面での対策を検討中である。

4. 今後の展望

投影型二次元イメージング XAFS システムのさらなる高速化を図る。現在のシステムでは計算結合型の二結晶分光器の動作速度が律速になっており、分光器を連続掃引する on the fly システムを実装することでさらなる計測の高速化を実現したい。

ビームラインの競争力強化に関しては放射光施設スタッフが主導的に実施する研究の充実化を図る。導入された X 線顕微鏡を活用して航空機をターゲットとした構造材料の亀裂発生のメカニズムを解明する拠点としての役割も引き続き担っていきたい。さらに材料のみでなく、地球惑星学や岩石学といった分野での展開も進めていく。また X 線顕微鏡を用いた研究で得られるビッグデータを解析するための環境整備についても、材料科学研究部門等と連携して進

めていく。時間分解 XAFS では CW レーザーを用いた鋼の温度誘起相転移の解明に関する研究をさらに進めることにより、鉄鋼材料の高付加価値化に不可欠な要因を明らかにする。AR-NW2A では X 線分光法をベースとして空間および時間のふたつの切り口から物質、材料の成り立ちや機能発現の起源を解明することに注力し、その分野をリードする土壤を創出する。

引用文献

- [1] Y. Niwa, T. Sato, K. Ichiyanagi, K. Takahashi and M. Kimura, High Pressure Research **36**, 471 (2016).
- [2] Y. Niwa, K. Takahashi, K. Ichiyanagi and M. Kimura, Materials Transactions **62**(2), 155 (2021).
- [3] Y. Niwa, K. Takahashi, T. Sato, K. Ichiyanagi, H. Abe and M. Kimura, Materials Science and Engineering: A, **831**, 142199 (2022).
- [4] Y. Niwa, Y. Takeichi, T. Watanabe and M. Kimura, AIP Conference Proceedings **2054**, 050003 (2019).
- [5] Y. Takeichi, T. Watanabe, Y. Niwa, S. Kitaoka and M. Kimura, Microsc. Microanal. **24**(S2), 484 (2018).
- [6] M. Kimura, T. Watanabe, Y. Takeichi and Y. Niwa, Sci. Rep. **9**, 19300 (2019).
- [7] T. Watanabe, Y. Takeichi, Y. Niwa, M. Hojo and M. Kimura, Compos. Sci. Technol. **197**, 108244 (2020).
- [8] <https://data-descriptive-science.org/>

AR-NW10A : XAFS（高エネルギー）実験ステーション

城戸 大貴¹、仁谷 浩明²、丹羽 尉博²、松岡 亜衣²、阿部 仁^{1,3}、木村 正雄¹

¹物質構造科学研究所 放射光科学第二研究系、²物質構造科学研究所 放射光実験施設、

³茨城大学 大学院理工学研究科

1. 概要

AR-NW10A は 6.5 GeV または 5 GeV で運転される PF-AR を光源とした XAFS 実験ステーションであり、2.5 GeV の PF リングにおける XAFS 実験ステーションよりも高い 20 keV 以上のエネルギー域での実験をターゲットにした実験ステーションである。PF/PF-AR において利用可能な唯一の高エネルギー域対応 XAFS 実験専用ステーションであるため、種々の XAFS 実験が可能な汎用 XAFS ビームラインとして整備している。他の XAFS ステーションの整備状況に合わせて AR-NW10A にも同様の装置を追加していくことで、低エネルギーから高エネルギーまでの XAFS 実験をシームレスに実施することが可能である。例えば、BL-9C と同様の *in situ* 実験支援用のガスフロー・試料セルコントロールシステムや、BL-12C と同等の多素子半導体検出器用高速信号処理システムなどが導入されている。これにより、他の XAFS 実験ステーションと同じ実験環境で、より高エネルギー域での XAFS 測定が可能になっている。

2. 整備開発および運用状況

ステーションでは PF 共通の XAFS 測定システムに加え

て、常設設備として以下のものを準備している。

- 21 素子ピクセルアレイ型 Ge-SSD
- 高速パルスカウント測定 (QXAFS) 対応 Ge-SSD 用 DSP
- *in situ* 実験支援用特ガス混合ガスフローおよび試料セル加熱システム

3. ビームタイム利用状況

ビームタイム配分は他の XAFS 実験ステーションとともに一括して割り当てを行っている。AR-NW10A は、利用可能エネルギー範囲である 8 ~ 42 keV (14 keV 以下は高調波抑制ミラー使用時) においてほぼ全ての XAFS 実験を受け入れ可能である。企業ユーザーの割合も多く、ステーションの利用率はほぼ 100% となっている。

PF-AR の 5 GeV 運転時においても通常通りの実験が実施可能である。

4. 今後の展望

リモート測定システムの導入やメールイン代行測定サービスの運用などを検討している。



図 1 AR-NW10A 実験ハッヂ内

BL-1A：タンパク質結晶構造解析ステーション

松垣 直宏¹、引田 理英²、平木 雅彦³、千田 俊哉²

¹ 物質構造科学研究所 放射光実験施設、² 物質構造科学研究所 放射光科学第二研究系、

³ 共通基盤研究施設 機械工学センター

1. 概要

BL-1A は PF および PF-AR にある 5 本のタンパク質結晶構造解析ビームラインの一つである。ターゲットタンパク研究プログラム（2007 – 2011）のもと建設され 2010 年よりユーザー公開されている。4 keV 近傍の低エネルギービームを利用した Native SAD 法による位相決定（タンパク質に本来含まれるイオウ等の軽原子の異常散乱を利用した位相決定）を効率よく遂行できるビームラインとして整備・開発が行われている。短周期アンジュレータ光源と非球面集光光学系により試料位置で 10 ミクロン程度の大きさの高輝度ビームが利用可能であるため、微小結晶の回折実験に適したビームラインとなっている。また、測定を完全なヘリウム雰囲気で実行できるなど、低エネルギービームを用いた実験に最適化されている。検出器は高いフレームレートを持つピクセルアレイ型検出器（Dectris 社製 EIGER X 4M、有効面積 155 × 163 mm、2 台）で、2 台を V 字配置に切り替えることで高分解能データの収集も可能となっている。

2. 整備開発および運用状況

共同利用実験課題や創薬等先端技術支援基盤プラットフォーム（BINDS）プロジェクトなどの学術利用及び産業利用において、全自动測定やリモート実験といった非来所実験のサポートを行っている。

2024 年度は、2023 年度に開発した不純ガス吸着塔ユニットをヘリウムガス循環ラインに組み込み、実際の運用に供しつつ、その特性テストを行った。従来の吸着塔ユニットに比べ閉塞するまでの時間が長く、かつ急激な閉塞を起こさないという特徴があり、再生時間も約 30 分以内に大幅に短縮された。クライオ気流を 30K 付近で連続運転す

るためににはガスの純化能力を高める必要があるが、新吸着塔ユニットの有用性が確認された。

3. ビームタイム利用状況

ビームタイム希望調査と配分は、5 本のタンパク質結晶構造解析ビームラインでまとめて行われ、BL-1A では主に微小ビームを必要とするユーザーに配分が行われた。低エネルギービームの利用に関しては、native SAD 実験は減少し、一方で、結晶中の軽原子の同定測定や、MR-native SAD（分子置換法に異常分散情報を加えた位相決定法）測定が行われた。

ビームタイムの利用形態としては大学・公的研究機関からの共同利用実験課題による利用のほか、BINDS 事業の支援としての利用、および施設利用・民間共同研究制度を用いた民間企業による利用があった。BINDS 事業には他ビームラインよりも大きな割合（10 ~ 20%）でビームタイムを配分し、支援のためのビームタイムに加え、低エネルギービームの手法開発等を目的とした高度化ビームタイムとしても利用された。BL-1A ではサンプル交換にロボットの利用が必須であるため、ユーザー実験の 9 割近くが全自动測定またはリモート実験として行われた。

4. 今後の展望

ヘリウム環境による低バックグラウンド、低エネルギー X 線、微小ビームなど、BL-1A の特徴を生かした利用を拡大する。低エネルギー X 線による結晶中の軽金属原子の同定法の開発、ミニカッパーゴニオを用いた多点測定による全自动測定の実現に取り組んでいきたい。常時 30 K 付近での測定環境の実現に向けて、システム開発を継続する。

BL-5A：タンパク質結晶構造解析ステーション

松垣 直宏¹、引田 理英²、平木 雅彦³、千田 俊哉²

¹ 物質構造科学研究所 放射光実験施設、² 物質構造科学研究所 放射光科学第二研究系、

³ 共通基盤研究施設 機械工学センター

1. 概要

BL-5A は PF および PF-AR にある 5 本のタンパク質結晶構造解析ビームラインの一つである。文部科学省科学技術振興調整費、文部科学省新世紀重点創生研究プラン (RR2002) およびタンパク 3000 プロジェクトの予算により建設され、2004 年度よりユーザー公開されている。多極ウェイグラーを光源とし、前置鏡、二結晶分光器、および擬似トロイダル鏡による光学系により 7 ~ 17 keV の幅広い波長範囲で 100 ~ 200 ミクロンサイズの高フレックスビームが利用できる。回折計横にはサンプルチェンジャーが常設されており、200 ~ 300 個の凍結試料を自動で交換することが出来る。様々な原子種からの多波長異常分散法による位相決定や、平均サイズのタンパク質結晶からのハイスループット測定等に適したビームラインである。当初から大面積の X 線 CCD 検出器 (ADSC 社製 Quantum 315、有効面積 315 × 315 mm) や高精度のゴニオメータを備え、高分解能データ収集することにも利用してきた。2017 年度に X 線検出器がピクセルアレイ検出器 (Dectris 社製 PILATUS3 S6M、有効面積 423.6 mm × 434.6 mm) に更新されると同時に回折計も一新された。

2. 整備開発および運用状況

共同利用実験課題や創薬等先端技術支援基盤プラットフォーム (BINDS) プロジェクトなどの学術利用及び産業利用において、全自動測定やリモート実験といった非来所実験のサポートを行っている。

分光器を冷却する液体窒素循環装置の冷凍機 (CRYOMECH AL600-CP1114) が 2024 年秋から起動でき

なくなり、液体窒素の継ぎ足しによる運転が行われた。不具合原因の調査と対応に時間を要したが、最終的には 2024 年度第 3 期、コールドヘッド駆動用のドライバおよび電源ユニットの交換で復旧した。

3. ビームタイム利用状況

ビームタイム希望調査と配分は、5 本のタンパク質結晶構造解析ビームラインでまとめて行われ、BL-5A では主に標準的な大きさ (100 ~ 200 ミクロン程度) の結晶を持つユーザーに配分が行われた。

ビームタイムの利用形態としては大学・公的研究機関からの共同利用実験課題による利用のほか、BINDS 事業の支援としての利用、および施設利用・民間共同研究制度を用いた民間企業による利用があった。5 本のビームライン全体では、全自动測定、リモート実験、来訪実験がそれぞれ 1/3 程度であったが、BL-5A では 6 割以上が来訪実験であった。室温測定や、MOF 結晶などの中分子結晶解析など、サンプル交換にロボットを利用しない実験がそのほとんどを占めた。

4. 今後の展望

標準的な試料の全自动測定の効率化を更に進め、低・中分子結晶の測定に対しても適用を広げる。データの完全性を高めるためのミニカッパーゴニオメータを、現在の手動方式のものから自動軸で構成されたものに置き換える。

大面積検出器による高分解能測定、湿度気流下での室温測定、光照射など特殊環境下での測定等、ビームラインの特徴を生かす測定をサポートしていく。

BL-17A：タンパク質結晶構造解析ステーション

引田 理英¹、松垣 直宏²、平木 雅彦³、千田 俊哉¹

¹物質構造科学研究所 放射光科学第二研究系、²物質構造科学研究所 放射光実験施設、

³共通基盤研究施設 機械工学センター

1. 概要

BL-17A は PF および PF-AR にある 5 本のタンパク質結晶構造解析ビームラインの一つである。短周期アンジュレータを光源とし、選択可能な波長範囲は、0.9 ~ 2.1 Å で、試料位置では 20 ~ 50 μm 角程度のサイズのビームを利用することが可能で、主に小さな結晶からのデータ収集を行うことを目的としたビームラインである。また、通常の水平方向のゴニオメータに加えて、鉛直方向の結晶化プレート専用のゴニオメータを備えており、結晶化プレート上の結晶に対して直接 X 線を照射して回折像を取得する in-situ 回折データ測定が可能である。

2. 整備開発および運用状況

共同利用実験課題や創薬等先端技術支援基盤プラットフォーム (BINDS) プロジェクトなどの学術利用及び産業利用において、全自動測定やリモート実験といった非来所実験のサポートを行っている。

In-situ 回折データ収集の需要が増してきたこともあり、より迅速かつ簡便にデータ収集が行えるよう自動化開発を続けている。2023 年度には協働ロボットを用いたプレート交換ロボット (図 1) の開発や制御ソフトウェア VERGOMAN2 導入により、プレートチェンジャーを使用した実験をユーザーが実施可能となり、実際にリモート実験を行った。2024 年度には実際の運用で露見したバグ等について、修正を行いながら開発を進めた。

3. ビームタイム利用状況

ビームタイム希望調査と配分は、5 本のタンパク質結晶構造解析ビームラインでまとめて行われ、その中で微小ビームが必要とするユーザーに BL-17A のビームタイム配分が行われた。広範囲な波長が選択可能であることやより大面積の検出器を備えていること、さらに回折計へのアクセスが可能であることなどが、同様に微小ビームが利用可能なタンパク質結晶構造解析ビームラインである BL-1A と相補的で、施設全体でのタンパク質結晶構造解析実験の適用範囲を広げている。利用形式としては大学・公的研究機関からの共同利用実験課題による利用のほか、BINDS 事業の支援としての利用、および施設利用・民間共同研究制度を用いた民間企業による利用があった。実験スタイルは全自動測定、リモート実験、来訪実験がそれぞれ 1/3 程度を占めた。

4. 今後の展望

回折データ測定の更なるスループット向上を目指して、結晶交換ロボットの高速化、回折データ測定の高速化、構造解析の自動化などがタンパク質結晶構造解析ビームライン全体で進められている。これらの技術を滞りなくビームラインへと実装する。プレート交換ロボットの安定化・高速化や、AI 技術等を用いた画像解析による結晶の自動検出等の開発を行い、in-situ データ収集の自動化を目指すとともに、タンパク質結晶構造解析実験における結晶化から構造決定までの全自動パイプラインの実現に向けて開発を行う。

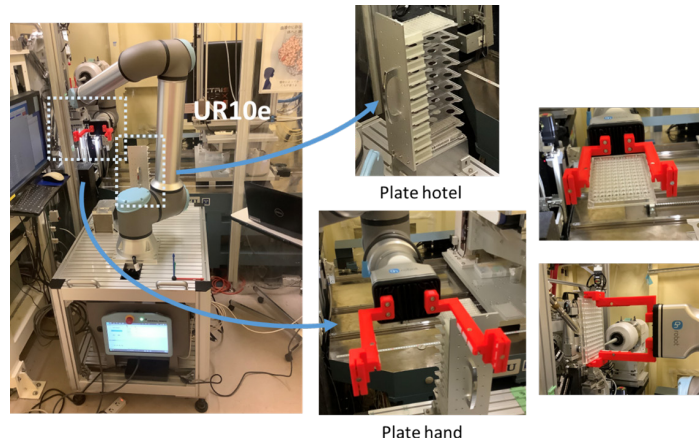


図 1 協働ロボットを利用した自動結晶化プレート交換システム。プレート交換システムは 10 枚の結晶化プレートを搭載可能なプレートホテルと 2 つの方向で結晶化プレートが保持可能なプレートハンドを備えている。

AR-NE3A：タンパク質結晶構造解析ステーション

松垣 直宏¹、引田 理英²、平木 雅彦³、千田 俊哉²

¹物質構造科学研究所 放射光実験施設、²物質構造科学研究所 放射光科学第二研究系、

³共通基盤研究施設 機械工学センター

1. 概要

AR-NE3A は PF および PF-AR にある 5 本のタンパク質結晶構造解析ビームラインの一つである。2009 年にアステラス製薬株式会社（アステラス製薬）からの受託研究により建設された本ビームラインは、創薬研究のためのビームラインとして多量の試料からの回折データセットを全自动で取得することを目的として開発、運用がなされている。アンジュレータ光源による 7 ~ 17 keV、50 ~ 200 ミクロンサイズの大強度ビーム、最大約 600 個の試料を一度にセットできる大容量のサンプルデュワー、高速高精度での回折データ測定が可能なピクセルアレイ型検出器 (DECTRIS 社製 PILATUS 2M-F) を特徴としている。

2. 整備開発および運用状況

共同利用実験課題や創薬等先端技術支援基盤プラットフォーム (BINDS) プロジェクトなどの学術利用及び産業利用において、全自动測定やリモート実験といった非来所実験のサポートを行っている。

2024 年 5 月、ビームラインが光軸から水平方向に大きく異なっており、フロントエンドスリットの開口を大きく取ることができないことが判明した。これを受け 6 月上旬、水平方向に約 0.1 mrad ビームラインに合わせるかたちで光軸変更を行った。結果として、試料位置でのビーム強度が 1 ~ 2 割向上した。2024 年 6 月上旬、分光器を冷却する液体窒素循環装置の冷却能力が急激に低下したため、上流スリットの開口を狭め熱負荷調整し、ビーム強度を制限して利用せざるを得ない状況となった。夏の停止期間中の定期メンテナンスで冷却能力は回復し、秋以降は通常通りの運転が可能となった。

3. ビームタイム利用状況

2009 年より開始したアステラス製薬との協定研究による同社の専有利用は本ビームラインを中心に行われた。残りのビームタイムは他の 4 本のタンパク質結晶構造解析ビームラインと同様に、まとめて利用希望調査および配分がなされた。ビームタイムの利用形態としては大学・公的研究機関からの共同利用実験課題による利用のほか、BINDS 事業の支援による利用、および施設利用・民間共同研究制度を用いた民間企業による利用があった。

元々全自动測定を目的としたビームラインであるため、全自动測定の実験スタイルを希望するユーザーを優先的に配分した。これまで毎週金曜日を全自动ビームタイムとして確保し、共同利用実験課題を対象とした随時ビームタイム利用に供していたが、2024 年度秋以降は全ビームライン共通のラピッドアクセスビームタイムとしての配分方式に統合された。

4. 今後の展望

AR-NE3A は大強度ビームによるハイスループット測定が可能なビームラインである。しかしながら、近年のタンパク質結晶構造解析ビームライン全体としての利用時間の低下、およびビームラインスタッフのマンパワーの集中の観点から、2025 年度以降 AR-NE3A のビームタイムのユーザー配分を当面停止する予定である。構造生物学研究センターでの議論を経て、PF 執行部や施設スタッフ、ビームタイム配分委員会で説明を行いました承された。一方で、企業による大口利用や教育目的での利用など、新たなビームライン利用形態を模索していく。

AR-NW12A：タンパク質結晶構造解析ステーション

引田 理英¹、松垣 直宏²、平木 雅彦³、千田 俊哉¹

¹物質構造科学研究所 放射光科学第二研究系、²物質構造科学研究所 放射光実験施設、

³共通基盤研究施設 機械工学センター

1. 概要

AR-NW12A は PF および PF-AR にある 5 本のタンパク質結晶構造解析ビームラインの一つで、2003 年度から稼働している。試料位置では 100 ~ 200 ミクロンサイズの高フラックスビームが利用でき、回折計横にはサンプルチェンジャーが常設されており、200 ~ 300 個の凍結試料を自動で交換することが可能である。様々な原子種からの多波長異常分散法による位相決定や、平均サイズのタンパク質結晶からのハイスループット測定等に適したビームラインである。検出器は、2017 年度よりピクセルアレイ型検出器（DECTRIS 社製 PILATUS3 S2M、有効面積 253.7 mm × 288.8 mm）に更新されており、検出器の特性を活かした高速高精度な測定が可能となっている。

2. 整備開発および運用状況

共同利用実験課題や創薬等先端技術支援基盤プラットフォーム（BINDS）プロジェクトなどの学術利用及び産業利用において、全自动測定やリモート実験といった非来所実験のサポートを行っている。

AR-NW12A では、近年需要が増えてきた無機・有機の低中分子結晶測定に対応するため、より高分解のデータ収集を目指した開発を行っている。具体的には、より高エネルギーの X 線が利用できるように集光ミラーの更新を進めている。また、高エネルギー利用に合わせた検出器の更新も予定しており、高エネルギー側でも量子効率の高い CdTe センサーを搭載した DECTRIS 社製の PILATUS4 X CdTe 2M を調達した（図 1）。

実験ハッチ内に導入した深紫外レーザーを用いたタンパ

ク質結晶加工機については、新規で開発した吊り下げ式ゴニオメータの導入や、結晶輸送ロボットとして使用する協働ロボットの設置が完了している。また、導入したロボットハンドを使用した動作テストは完了しており、協働ロボットを使用した新ゴニオメータへの結晶マウントプログラムの開発を進めている。

3. ビームタイム利用状況

ビームタイム希望調査と配分は、5 本のタンパク質結晶構造解析ビームラインでまとめて行われ、主に AR-NW12A では標準的な大きさ（100 ~ 200 ミクロン以上）の結晶を持つユーザーへの配分が行われた。また、試料周りの自由度を活かし、特殊セルやキャピラリ一封入された試料の室温測定や、レーザー照射による結晶の時分割実験なども行われた。

ビームタイムの利用形態としては大学・公的研究機関からの共同利用実験課題による利用のほか、BINDS 事業の支援としての利用、および施設利用・民間共同研究制度を用いた民間企業による利用があった。5 本のビームライン全体で、全自动測定、リモート実験、来訪実験がそれぞれ 1/3 程度を占めた。AR-NW12A では特殊セルの使用やレーザー照射実験といった結晶交換ロボットを使用しない実験が多く、9 割以上が来訪実験であった。

4. 今後の展望

標準的な試料のハイスループット測定の効率化を進めるとともに、特殊環境下での測定等、ビームラインの特徴を生かした測定を積極的にサポートしていく。

高エネルギー対応については、2025 年度の秋に新検出器や新ミラーをビームラインへ導入し利用環境の整備を進める。

タンパク質結晶加工機については、結晶輸送ロボットの動作を制御するためのプログラムの開発を進め、X 線回折実験と結晶加工をシームレスに利用できる環境の構築を目指す。



図 1 2024 年度に調達した DECTRIS 社の PILATUS4 X CdTe 2M

BL-6A : X 線小角散乱ステーション

高木 秀彰¹、森 丈晴¹、永谷 康子¹、谷田部 景子²、高橋 正剛²、西條 慎也³、中村 文俊³、

羽方 望³、仁谷 浩明¹、石井 晴乃¹、小菅 隆¹、松垣直宏¹、五十嵐教之¹

¹ 物質構造科学研究所 放射光実験施設、² 物質構造科学研究所 放射光科学第二研究系、

³ (株) 日本アクシス

1. 概要

BL-6A は偏光電磁石によって X 線を発生させ、X 線小角散乱 (SAXS) 実験を行う専用のビームラインである。波長は 1.5 Å と固定で、カメラ長は 250、500、1000、2000、2500 mm の中から利用できる。また WAXS 用検出器を搭載した真空チャンバーを利用することで、一度に広い q レンジが測定できる SAXS/WAXS 同時測定が可能である。他の小角散乱ビームライン BL-15A2、BL-10C と比較した場合、輝度に関してはアンジュレーターが挿入光源となっている BL-15A2 には及ばないが、BL-10C に比べると 2 倍程度となっている。一方、光学系配置よりビームの発散度が大きいため、小角分解能に関してはカメラ長が長くなるにつれて他の 2 本よりもやや劣る性能となっている。性能の詳細は小角散乱ビームラインの HP (<https://pfwww.kek.jp/saxs/>) にて公開している [1-2]。

2. 整備開発および運用状況

BL-6A は他の 2 本の小角散乱ビームライン (BL-10C、BL-15A2) と共同運用されているため、各所の高度化などは共通で実施している。

測定試料は生体試料を含むソフトマテリアルからハードマテリアルまで多岐に渡っている。2024 年度は、ビームタイムの 59.9% が材料科学 (ソフト&ハードマテリアル)、19.2% が脂質・生体線維試料、2.3% が BioSAXS (タンパク質 X 線溶液散乱)、残り 18.6% は施設の調整や留保時間であり、材料を中心としたユーザーが多いのが特徴である。加熱冷却装置を利用した測定や、引張試験機、斜入射 (GI) ステージを使った測定が多い。

SAXS 検出器である PILATUS3 1M を制御する detector control unit (DCU) は検出器本体を購入した 2013 年度から使用しており老朽化していたため、2024 年度に新たなる DCU に交換した。BL-6A 実験ハッチ 2 階の 19 インチラック内に設置し (図 1)、旧 DCU は取り外し予備として保管している。

3. ビームタイム利用状況

BL-6A のビームタイムは、他の 2 本の小角散乱ビームライン BL-10C、15A2 と一緒に配分を行なっている。基本的に評点に基づく傾斜配分を行なっており、時期によって異なるが、1 課題に対して最大で 72 時間、続いて 48、24 時間の順でビームタイム時間を配分している。BL-6A に関しては混雑具合がおおむね改善しており、希望通りの時間



図 1 BL-6A で更新された PILATUS3 1M の新 DCU

配分が行なわれ、空いた時間には再募集をかけている。ビームタイム開始時のセットアップは、平日・休日に関係なく基本的に施設スタッフが対応している。エキスパートユーザーに関しては、ビームタイム中のセットアップ変更などを自身で行なうことも可能である。

4. 今後の展望

PF の 3 本の小角散乱ビームラインは一体で運用されており、その高度化・整備に関しても同様である。BL-6A は光学系やスペースの問題から、測定波長が固定されているなど他の 2 本と比較して利用環境に幾つか制限があるが、その性能に合せて構築された実験系・装置系を用いる限りは不都合は無い。トライアル、講習会利用などにも活用するなど、今後も高精度なデータを安定的に計測できる測定環境を提供する計画である。

引用文献

- [1] N. Shimizu, T. Mori, N. Igarashi, H. Ohta, Y. Nagatani, T. Kosuge, and K. Ito, J. Phys.: Conf. Ser. **425**, 202008 (2013).
- [2] H. Takagi, N. Igarashi, T. Mori, S. Saijyo, H. Ohta, Y. Nagatani, T. Kosuge, and N. Shimizu, AIP Conf. Proc. **1741**, 030018 (2016).

BL-10C : X 線小角散乱ステーション

高木 秀彰¹、永谷 康子¹、森 丈晴¹、谷田部 景子²、高橋 正剛²、西條 慎也³、中村 文俊³、

羽方 望³、仁谷 浩明¹、石井 晴乃¹、小菅 隆¹、松垣 直宏¹、五十嵐 教之¹

¹ 物質構造科学研究所 放射光実験施設、² 物質構造科学研究所 放射光科学第二研究系、

³ (株) 日本アクシス

1. 概要

BL-10C は X 線小角散乱 (SAXS) 専用のビームラインで、偏向電磁石によって発生した X 線を利用している。波長は 0.89~1.77 Å が利用でき、カメラ長は 250、500、1000、2000、3000 mm が利用できる。また BL-6A よりも大きな検出面をもった WAXS 用検出器を搭載したチャンバーを利用することでき、SAXS/WAXS の同時測定が可能である。ビーム性能に関して他の小角散乱ビームライン BL-15A2、BL-6A と比較した場合、輝度に関してはアンジュレーターが挿入光源となっている BL-15A2 には及ばず、BL-6A の半分程度となっている。しかしながら、BL-10C は波長変更が可能なビームラインで、BL-15A2 が BL-15A1 との共存によりフルタイムでは利用できないことから、PF の小角散乱ビームラインの中では最も汎用度が高いビームラインとなっている。性能の詳細は小角散乱ビームラインの HP (<https://pfwww.kek.jp/saxs/>) にて公開している [1]。

2. 整備開発および運用状況

BL-10C は他の 2 本の小角散乱ビームライン (BL-6A、BL-15A2) と共同運用されているため、各所の高度化などは共通で実施している。

測定試料は生体試料を含むソフトマテリアルからハードマテリアルまで多岐に渡っている。2024 年度は、ビームタイムの 33.7% が材料科学 (ソフト & ハードマテリアル)、28.3% が脂質・生体線維試料、16.1% が BioSAXS (タンパク質 X 線溶液散乱) での利用になっており、残り 21.9% は施設の調整及び留保時間である。他の 2 つのビームラインと比較して BioSAXS ユーザーが多いのが特徴である。そのため、加熱冷却装置や引張試験機を使った in-situ 測定だけでなく、HPLC 装置を用いたゲルfiltration (Size-Exclusion Chromatography) によって試料溶液を単離・生成させながら SAXS 測定を行う SEC-SAXS の利用が多い。

2024 年 2 月に真空パスが破裂し、SAXS 検出器が破損する事故が起こった。この事故により検出器を構成する 24 個あるモジュールの内 5 個が破損し、検出器前面を覆うアルミマイラ膜も破損した。2024 年度はこの検出器の修理を行った。2024 年 10 月 24 日に故障したモジュールを 1 か所、2025 年 2 月 12 日に 3 か所交換した。また、修理作業中に不調なモジュール 1 か所も問題なく稼働するようになり、真空事故で故障したモジュールは全て問題なく稼働するようになっている。また同じ 2025 年 2 月 12 日に破損したアルミマイラ膜も交換し、真空事故前の状態までに戻

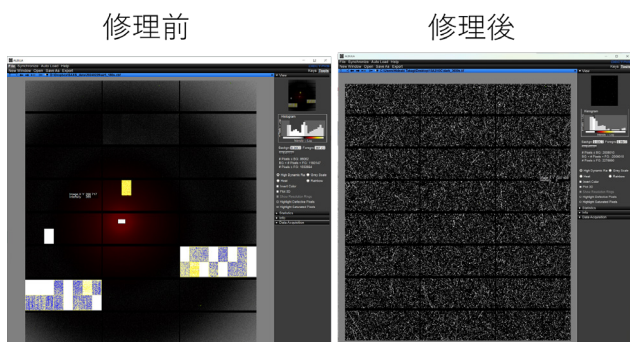


図 1 修理前後の二次元 SAXS イメージ。修理前の中央上から 5 段目の白い長方形は故障部ではなくダイレクトビームストップである。

すことができた。図 1 に修理前後の二次元 SAXS データを示す。

3. ビームタイム利用状況

BL-10C のビームタイムは、他の 2 本の小角散乱ビームライン BL-6A、15A2 と一体で配分を行なっている。基本的に評点に基づく傾斜配分を行なっており時期によって異なるが、1 課題に対して最大で 72 時間、続いて 48、24 時間の順でビームタイム時間を配分している。BL-10C は波長が変更できるため、非常に混雑したビームラインとなっている。ビームタイム開始時のセットアップは、休日平日に関係無く基本的に施設スタッフが対応している。エキスパートユーザーに関しては、ビームタイム中のセットアップ変更などは、自身で行なうことも可能である。

4. 今後の展望

PF の 3 本の小角散乱ビームラインは一体で運用されており、その高度化・整備に関しても同様である。BL-10C は最も汎用度が高く様々な試料分野に活用されているが、BioSAXS の利用割合が他よりも高く、SEC-SAXS システム利用と相まって、今後もこの傾向が続くと推測される。

引用文献

- [1] N. Shimizu, T. Mori, Y. Nagatani, H. Ohta, S. Saijo, H. Takagi, M. Takahashi, K. Yatabe, T. Kosuge, and N. Igarashi, AIP Conf. Proc. **2054**, 060041 (2019).

BL-15A2：高輝度 X 線小角散乱実験ステーション

高木 秀彰¹、永谷 康子¹、森 丈晴¹、谷田部 景子²、高橋 正剛²、西條 慎也³、中村 文俊³、羽方 望³、仁谷 浩明¹、石井 晴乃¹、小菅 隆¹、松垣 直宏¹、五十嵐 教之¹

¹ 物質構造科学研究所 放射光実験施設、

² 物質構造科学研究所 放射光科学第二研究系、³ (株) 日本アクシス

1. 概要

BL-15A2 は X 線小角散乱 (SAXS) 専用のビームラインで、ショートギャップアンジュレーターを挿入光源とし、広い波長が利用できる。実験ハッチ内下流側に一般的な試料が大気下で実験ができる汎用的な SAXS 回折計が設置されるとともに、上流側に 2.1~5 keV 程度のテンダー X 線専用の回折計が常設されている世界的にもユニークなビームラインである。汎用的な SAXS 回折計では 5~15 keV の X 線が利用でき、カメラ長は 250、500、1000、1500、2500, 3500 mm が利用できる。WAXS 検出器に関しては、他のビームラインよりも広い散乱角領域が測定できるものや、広い方位角領域が測定できるものが実装されており、WAXS 測定でも他のビームラインよりも優れた実験が可能である。ビーム性能に関しては、他の 2 本の SAXS ビームラインよりも平行度も輝度も高いため、PF 内で最も優れた性能を持った SAXS ビームラインである。性能の詳細は小角散乱ビームラインの HP (<https://pfwww.kek.jp/saxs/>) にて公開している [1,2]。

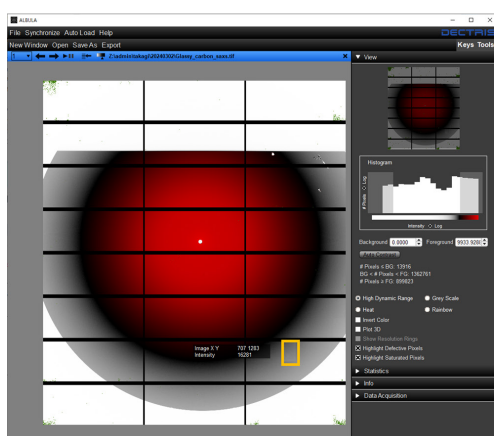
2. 整備開発および運用状況

BL-15A2 は他の 2 本の小角散乱ビームライン (BL-10C、BL-15A2) と共同運用されているため、各所の高度化などは共通で実施している。

測定試料は生体試料を含むソフトマテリアルからハードマテリアルまで多岐に渡っている。2024 年度は、ビームタイムの 60.4% が材料科学 (ソフト & ハードマテリアル)、11.5% が脂質・生体線維試料、5.7% が BioSAXS (タンパク質 X 線溶液散乱) での利用になっており、残り 22.4% は施設の調整及び留保時間である。テンダー X 線利用時には、上流側の回折計だけでなく、下流側の真空パスと連結させて使用することで極小角散乱測定も可能であり、一部ユーザーが利用している。加熱冷却装置や引張試験機を使った in-situ 測定だけでなく、HPLC 装置を用いたゲルfiltration (Size-Exclusion Chromatography) によって試料溶液を単離・生成させながら SAXS 測定を行う SEC-SAXS の利用が多い。ビーム径が他のビームラインと比較して小さいため、マイクロ流路を使った実験なども実施されている。また実験ハッチ内が広いため、大型の装置を持ち込んで実験するユーザーもいる。

BL-15A2 の PILATUS3 2M には一か所モジュールが不調な部分があった。2024 年度にはこの不調なモジュールを 2025 年 2 月 14 日に交換した。修理前後の二次元 SAXS 画像を図 1 に示す。不調であった右側下から 2 つ目のモジュールの不調は解消されたが、その代わりにその上の段の一番右端のサブモジュールに不調が発生した。ただし、一番端のため、実験に大きな影響は与えないと考えられる。

修理前



修理後

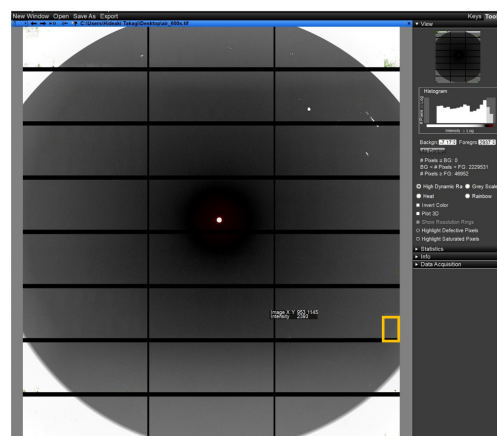


図 1 PILATUS3 2M の修理前後の写真。オレンジ色線で囲んだ部分が不調箇所。右側の下から 2 段目のモジュールを交換し、修理後には不調は解消されている。しかしながら、交換したすぐ上のモジュールの右端のサブモジュールに不調が発生。ただし、一番端なので実験には大きな影響は与えない。

3. ビームタイム利用状況

BL-15A2 のビームタイムは、他の 2 本の小角散乱ビームライン BL-6A、10C と一体で配分を行なっている。BL-15A2 に関しては 1 課題で最大 48 時間、通常は 24 時間のビームタイム配分となっている。BL-15A1 と排他的に運用されているため、15A2 側は 2024 年度は 6 月の 3 週間、11 月後半～12 月半ばの 3 週間、2～3 月の 3 週間程度のビームタイム配分となった。ビームタイム開始時のセットアップは、休日平日に関係無く基本的に施設スタッフが対応している。エキスパートユーザーに関しては、ビームタイム中のセットアップ変更などは、自身で行なうことも可能である。

4. 今後の展望

PF の 3 本の小角散乱ビームラインは一体で運用されており、その高度化・整備に関しても同様である。BL-15A2 は PF 小角散乱のフラグシップであり、特に Tender 領域の X 線を利用した GISAXS 測定に関しては国際的にも特色のある実験設備である。従って、学術、企業利用共に、今後も活発に利用されると考える。

引用文献

- [1] H. Takagi, N. Igarashi, Y. Nagatani, H. Ohta, T. Mori, T. Kosuge, and N. Shimizu, AIP Conf. Proc. **2054**, 060038 (2019).
- [2] H. Takagi, N. Igarashi, T. Mori, S. Sajio, Y. Nagatani, H. Ohta, K. Yamamoto, and N. Shimizu, J. Appl. Phys. **120**, 142119 (2016).

BL-18C：超高压粉末X線回折計

鍵 裕之¹、柴崎 裕樹²、渡邊 一樹³

¹東京大学 大学院理学系研究科, ²物質構造科学研究所 放射光実験施設,

³三菱電機システムサービス(株) 加速器技術センター

1. 概要

本ステーションは、小型の高圧発生装置であるダイヤモンドアンビルセル(DAC)を利用し、放射光の特長を生かして種々の条件を複合した超高压条件下での物質の構造をその場観察することを目的としている。主として単色X線とフラットパネル検出器を利用した室温高压条件での粉末X線回折の測定が行われており、高压下での格子定数・原子座標の精密測定、結晶構造やガラスなどの非晶質物質の構造解析、高压下での相転移の観察など固体物性、材料科学、地球惑星科学などの広い分野での研究が展開されている。また、クライオスタッフが装備されており、低温高压条件でのX線回折測定のほか、外熱式のDACを用いた高温高压条件での実験や大気圧・高湿度条件での結晶成長観察に関する実験も行われている。本ビームラインには低角測定用のチャンバーも整備されており、高压条件下での低角測定($>\sim 0.1\text{\AA}^{-1}$)も可能である。本ステーションは外部ユーザーによって維持されているユーザーグループ運営ステーションの一つとなっている。

2. 整備開発および運用状況

2020年度に先端研究設備整備費補助事業にてフラットパネル検出器を導入した。これにより、イメージングプレートでは困難であったX線回折の短時間測定、連続測定が可能になり、測定時間を大幅に短縮することができた。また、フラットパネル検出器の導入に合わせ、ステージ等をPCにて制御できるように整備し、リモート測定環境の整備も行った。2021年度からこれらシステムの本格的なユーザー利用が開始され、時分割測定やリモート測定が行われている。現在はフラットパネル検出器の利用が定着し、従来から使用されているイメージングプレートとフラットパネル検出器の切り替えがユーザーでも容易に行えるような改良も施された。また、新規ユーザーも参入している。

BL-18Cではユーザーの外部資金によって導入されたCCD検出器付きシングルポリクロメーター(分光器)をルビーフラッシュスペクトル測定による圧力計測のために供用している。多くのユーザーからラマンスペクトルの測定も行いたいという要望が寄せられているが、ラマンスペクトルの測定を行うためには現在使用中の励起レーザーの出力は不十分である。100 mWクラスの高出力レーザーを新たに調達するか外部ユーザーから移管するなどして、ラマンスペクトルを定常的に測定できるビームラインの環境整備を検討したい。

3. ビームタイム利用状況

本ビームラインでは定常的に20件程度の有効課題にビームタイムを配分している。主としてDACを用いた室温条件でのX線回折測定(一部高温条件も含む)が行われているが、高压下での低角測定の実験も行われている。2024年度には、新たに1グループが低角測定の実験を開始し、現在4グループが実験を行っている。また、クライオスタッフを用いた低温条件での測定も可能であり、現時点では3グループが利用している。これらの測定モードの切り替えと調整には半日以上の時間を要するため、マシンスタディの時間を活用するなど切り替えが最小限ですむように工夫してビームタイムを配分した。また、PF-AR NE1Aでの高エネルギー(30 keV)によるDACを用いた高压実験と同時にビームタイム申請しているユーザーもいるため、両者の重複がないようにビームタイムを調整して配分している。

BL-18Cのビームタイムは、これまでと同様に実験計画を精査してビームタイムが適正に要求されているかを確認した後、課題申請書の評点に応じて100%から70%の係数をかけて配分している。

4. 今後の展望

今後も引き続き、光学系並びに周辺環境の細かな改良を進めていく予定である。室温・低温条件のみならず、抵抗加熱による高温高压実験を行うユーザーもいる本ビームラインは、国内外の幅広いユーザーが利用できるポテンシャルをもつ。原則として、実験に必要な消耗品はユーザーが準備することになっているが、新規ユーザーの実験の立ち上げのために必要となるDACならびに消耗品の整備が定常的に必要である。また、レーザーなどの使用頻度と共通性の高い備品が老朽化によって寿命を迎える事例も発生しており、ユーザーグループとして外部資金を獲得するなどして更新を計画していく。将来的には、より多角的な極限条件での測定を視野に入れ、より広い実験ハッチをもつビームラインへの移行も含めて展開を考えたい。

AR-NE1A：レーザー加熱超高压実験ステーション

柴崎 裕樹¹、若林 大佑¹、森 文晴¹、渡邊 一樹²

¹物質構造科学研究所 放射光実験施設、²三菱電機システムサービス（株） 加速器技術センター

1. 概要

PF-AR の N 棟直線部に設置された橢円多極ウイグラーを光源としている。微細溝加工された Si(111) 結晶で単色化し、K-B 多層膜ミラーによって 100 μm 程度に集光された 50 keV、30 keV、14.4 keV の 3 種類の単色光を使用できる。多層膜ミラーを全反射ミラーとして使用することで、この 3 種類のエネルギーに比べると強度は低くなるが、10 keV 付近のエネルギーを使用することも可能である。また、高分解能分光器 (Si(422)・Si(1222)) も整備され、14.4 keV の光を準超単色化し、PF-AR のシングルバンチ運転を活用した核共鳴散乱実験も可能である。実験装置としては、高圧実験用ダイヤモンドアンビルセル (DAC) 実験ステージと高磁場下での低温高圧実験ができる超伝導マグネット付きのクライオスタットが整備されている。また、フレネルゾーンプレート (FZP) を用いた結像型 X 線顕微鏡 (ズーミング顕微鏡) も整備され、サブミクロン空間分解能でのイメージング (CT、ラミノグラフィ) も可能である。

2. 整備開発および運用状況

核共鳴散乱実験は、高分解能光学系やマルチ APD 検出器・計測タイミング系などを調整する必要があり、手順が複雑である。施設に核共鳴散乱実験の専門家がないことから、兵庫県立大の小林寿夫氏のグループを中心としたユーザーによってマニュアルが整備されている。

高圧実験時に使用していた XRD 検出器 (R-Axis IV) が電気基板部不具合により動作しなくなってしまった。メーカーによる修理も不可であったため、復旧を断念し、2022 年度第Ⅲ期運転からはフラットパネル検出器 (FPD) と手差しのイメージングプレート (IP) を併用する形での運用に切り替えた。現在は、FPD と IP の切り替えをより簡便に行えるように整備されており、測定の目的によってユーザー自身が検出器を切り替えられるようになっている。

2020 年度より、放射光実験施設基盤技術部門 X 線光学チームが中心になり、FZP を用いた倍率可変 (ズーミング) 結像型 X 線顕微鏡システムの開発を行っている。本システムは、10 keV 程度の硬 X 線による高空間分解能イメージング (空間分解能: 数十 nm) に加え、カメラ、試料位置固定で拡大倍率を連続的に変更できる機能を有するイメージング装置である。これらに必要な光学系、チャンバー、ステージ、カメラ等がビームラインには整備されている。2021 年度は、ズーミング顕微鏡システムにマイクロビーム集光光学系を組み合わせ、ズーミング顕微鏡による高空間分解能での試料観察とマイクロビームによる XRD 測定

が可能な複合システムの開発を行った。XRD 測定用に新たに FPD (Rad-icon 1520) も導入した。2022 年度より 3 次元撮像試験を開始し、CT およびラミノグラフィ測定が可能となっている。現在は、高圧容器 DAC 内試料のラミノグラフィ測定試験を行っている。

3. ビームタイム利用状況

DAC による超高压下 X 線回折実験の他に、超伝導マグネットを用いた高圧下核共鳴散乱実験、さらにズーミング X 線顕微鏡など、実験手法・装置の異なる課題が混在している。基本的にユーザーの希望時間を実験課題の評点に準じて傾斜配分しているが、それだけで最適な配分を実現するのは難しい。例えば、回折実験のデータ取得に必要な時間は数分で十分であるが、核共鳴散乱実験では数時間も掛かるなど、それぞれの実験での測定時間がシグナル強度や温度圧力などの試料環境などに大きく依存するという、このステーション特有の問題があるためである。これらを考慮した結果、2024 年度は、70% 程度の配分率 (配分 / 希望) となった。また、30 keV の高エネルギーを必要とする超高压下 X 線回折実験には 6.5 GeV 加速器運転時のみを配分し、14.4 keV や 10 keV を利用するメスバウアー実験、ズーミング X 線顕微鏡には、5.0 GeV 加速器運転時と 6.5 GeV 加速器運転時両方を配分している。

4. 今後の展望

これまで行ってきた超高压下 X 線回折実験、核共鳴散乱実験を継続するとともに、ズーミング X 線顕微鏡を用いた DAC 内試料の 3 次元測定システムの整備を引き続き進めしていく。

AR-NE5C：高温高圧実験ステーション /MAX80

柴崎 裕樹¹、渡邊 一樹²

¹ 物質構造科学研究所 放射光実験施設、² 三菱電機システムサービス（株） 加速器技術センター

1. 概要

PF-AR からの高エネルギー白色 X 線を用いた高温高圧下での測定を行うことを目的としている。MAX80 と呼ばれる 500 トンの油圧プレス（図 1）に組み込まれたキュービック型アンビルにより、1,500°C・15 GPa 程度までの温度圧力に保持された様々な試料について、Ge 半導体検出器（Ge-SSD）によるエネルギー分散型の X 線回折（XRD）実験が行われている。また、X 線吸収微細構造（XAES）分光測定のための二結晶分光器（Si(111)、Si(311)）も実験ハッチ内に整備されている。

2. 整備開発および運用状況

AR-NE5C では、Ge-SSD および周辺機器の老朽化が深刻な問題となっている。XAES グループより譲り受けた単素子 Ge-SSD を 2023 年度初めより使用しているが、こちらも 30 年以上利用しているものであり、ヘッドの真空悪化頻度を踏まえると、こちらもいつ動作不良に陥るか分からない。そこで、2023 年度と 2024 年度の PF 施設高度化予算にて Ge-SSD（CANBERRA 製 GL0110, Amplifier2022）と DSP（テクノエーピー製 APU101X-C）を新規購入した。



図 1 AR-NE5C 実験ハッチに設置されている 500 トンプレス（MAX80）。中心部に DIA 型高圧発生装置が組み込まれている。右手上游に放射光光源および二結晶分光器があり、白色 / 単色 X 線が実験ハッチに導かれる。白色 X 線を用いた XRD 測定のための Ge-SSD や単色 X 線を用いた XAFS 測定のための電離箱などが設置されている。

Ge-SSD の分解能等の性能は、これまでの ORTEC 製 Ge-SSD と同等である。動作確認をしたところ、これまでと同等の XRD データが取得できていることが確認できた。現状は、こちらを予備機とし、徐々に入れ替えていく予定である。

AR-NE5C で使用している MAX80 及び周辺機器の老朽化も深刻な問題である。2023 年度途中から、稀に上部ガイドブロックの上昇スピードが非常に遅くなるという症状が現れはじめ、2024 年度に入ってからはそれが頻発するようになった。原因を調査したところ、低圧ポンプのインバーターが必要な出力を出していないことが分かり、新品と交換し、復旧した。このインバーターは 2022 年度に新品に交換したものであったため、劣化には早すぎると思われるが、その原因是不明である。予備機も用意して、様子見をしている。

3. ビームタイム利用状況

ユーザーの希望時間と実験課題の評点に準じてビームタイムの配分を行っている。2024 年度は、全体として 90% 程度の配分率（配分 / 希望）であった。しかしながら、50 keV 以上の高エネルギーを必要とする課題が多いいため、6.5 GeV 期間での配分率は 80% 程度、5 GeV 期間は 100% という偏った配分率となっている。

4. 今後の展望

AR-NE5C では、MAX80、Ge-SSD および周辺機器の老朽化が深刻な問題となっている。MAX80 については電気系統の老朽化が顕著であるため、こちらを随時更新していく、Ge-SSD については新規購入と周辺機器のデジタル化を行っていくことで、長期的な設備の安定化を図っていく。

AR-NE7A：X線イメージングおよび高温高圧実験ステーション

平野 鑿一¹、柴崎 裕樹¹、兵藤 一行¹、久保 友明²、渡邊 一樹³

¹ 物質構造科学研究所 放射光実験施設、² 九州大学 大学院理学研究院、

³ 三菱電機システムサービス（株） 加速器技術センター

1. 概要

本ステーションは、偏向電磁石から発生する放射光を利用できるステーションであり、必要に応じて白色X線、単色X線（20-60 keV程度）を実験ハッチに導入することができる。実験ハッチの上流側には、図1に示すようにメインハッチが設置されていて、二結晶分光器、ビームシャッター等が設置されている。放射光使用時にはこのビームシャッターを閉じるだけで実験ハッチに入室できる設計になっていて、二結晶分光器の光学素子（Si(111)結晶）に常時放射光が照射されることで光学素子が熱的に安定な状態で実験を遂行することができる。この光学素子表面は、画像データの目的とする空間分解能が確保される程度にSiCで研磨していて、得られる単色X線の積分反射強度を増大している。実験ハッチ内上流側には汎用定盤が設置されていて、吸収コントラストを用いたX線イメージング実験を中心に、位相コントラストを用いたX線イメージング実験、構造変化の時分割測定法の開発・応用実験、X線検出器の開発・評価実験などが実施されている。また、この汎用定盤は実験ハッチ外に搬出することも可能であり、ユーザー実験グループにより独自の実験定盤、実験装置を搬入、使用することも可能である。実験ハッチ内下流側には高温高圧実験装置（MAX-III）が常設されていて、高温高圧下でのX線回折実験、X線イメージング実験、岩石・鉱物の変形実験等が実施されている。

2. 整備開発および運用状況

2024年度は既存のビームライン機器及び測定装置の保守・整備を行った。

白色X線を用いる実験では、最下流端に設置した真空封

止用ベリリウム窓を保護するためにヘリウムガスを供給していて、ヘリウムガスを一時にベリリウム窓周辺に封止するためにベリリウム窓下流側に設置した穴空きフランジにカプトン膜をアルミニウムフォイル（白色X線部分のみ）と共に貼付している。一定の実験時間が経過するとカプトン膜の放射光による損傷が生じるので、ヘリウムガスが漏れないように、2週間程度の頻度でカプトン膜の追加貼付や張替えを実施している。この作業を簡素化するために2022年度に新たな取り付けフランジを導入したが、これまでのところ特に問題なく運用されている。

2023年度に二結晶分光器の冷却水循環装置の交換を行ったが、新たに導入した冷却水循環装置の水タンクの底に褐色の異物が見つかったため、放射線科学センターの環境計測グループに異物の分析を依頼したところ、主成分は樹脂製品等に使用される酸化防止剤という推定結果が得られた。この異物は微量ではあるが冷却水の流量をモニターしている流量計を詰まらせるおそれがあるため、水路の途中にフィルターを追加設置する措置を講じた。

近年のヘリウムガスの供給不足による価格高騰を受けて、前々年度より採用しているビームライン備え付けポンベからの供給方式を継続して運用している。

2016年度から高温高圧実験装置MAX-IIIはユーザーグループ運営装置となり、外部ユーザーによって装置が維持されている。ユーザーの外部資金によって、変形実験装置（D-DIA型、D111型）やX線イメージング装置などがMAX-III用に導入され、従来の装置では調べることが困難であった高温高圧下での地球深部物質のレオロジー研究が進められている。

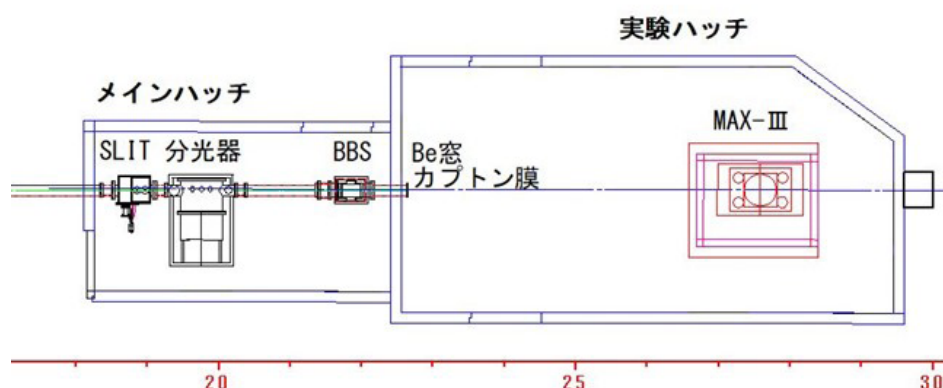


図1 AR-NE7A 平面図



図2 AR-NE7A のハッチ

3. ビームタイム利用状況

本実験ステーションでは、放射光共同利用実験審査委員会（PF-PAC）の第6分科で審査され採択された実験課題の研究が実施されている。すべての実験課題に関して PF-PAC 評点に基づいてビームタイムを配分している。PF-AR で 2019 年度から 5.0 GeV 加速器運転が導入されてから、高エネルギー X 線領域における X 線強度を考慮して 6.5 GeV 加速器運転時は高圧関係実験課題を、5.0 GeV 加速器運転時はイメージング実験等の実験課題を実施している。

4. 今後の展望

引き続き、基本的に 6.5 GeV 加速器運転時は高圧関係実験課題を、5.0 GeV 加速器運転時はイメージング実験等の実験課題を実施していく予定である。

AR-NW14A：ピコ秒時間分解 X 線回折・散乱・分光

野澤 俊介¹、深谷 亮¹、福本 恵紀¹、足立 伸一²

¹物質構造科学研究所、²高エネルギー加速器研究機構

1. 概要

・測定手法

ピコ秒時間分解X線測定（回折・散乱・分光）

・使用目的の概要

定常測定では困難なピコ秒～ミリ秒の時間スケールの過渡的な構造・電子状態変化を測定するために使用

2. 整備開発および運用状況

AR-NW14A では光物理性物理・光化学・生体物質における光反応といった様々な分野の光誘起ダイナミクス現象について、回折・散乱・分光といった従来の放射光測定法を時間分解測定に幅広く適用させることで利用研究が行われている。世界的にもユニークな時間分解X線実験専用ビームラインの性質を踏まえ、様々な分野のユーザーに対し、常に新規性のある動的情報が測定できるような実験環境を提供することを、基本的な運用方針としている。また、XFEL で展開されているフェムト秒ダイナミクス研究との相補利用を考慮し、PF-AR の高エネルギー性、白色性、高繰り返し性を有効に活用して、蓄積リング型放射光源としての特徴を生かした動的情報を引き出す整備も進めている。

2024 年度の整備開発として、EIGER2X の Double Gate Mode を用いた時間分解共鳴 X 線非弾性散乱 (TR-RIXS) の高度化を実施した。新しく高度化されたシステムでは、各ピクセル素子が持つ 2 系統のカウンタを用いて pump-

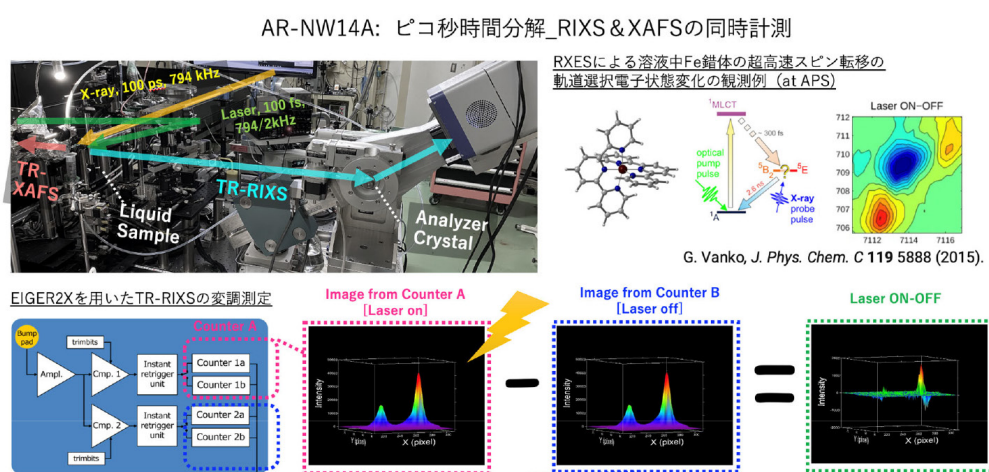
probe 測定を実施することで、実験的な低周波数ノイズが除去された kHz スケールの光変調イメージを取得することが可能となった。また、エネルギースキャンを用いた共鳴測定時には、X 線発光分光器と反対側に設置された高速シンチレーションプローブにより、時間分解 XAFS スペクトルの同時取得も可能となっている。

3. ビームタイム利用状況

2024 年度における手法別のビームタイム利用率は、およそ回折：散乱：分光 = 0.3 : 0.3 : 0.4 であった。2024 年度におけるビームタイム配分率は 70 % であり、ビームタイム配分があった課題の最低 PF-PAC 点数は 3.4 であった。ビームタイム配分は PF-PAC 配点を基準に決定されている。

4. 今後の展望

シングルバンチ flux で比較すると PF-AR は PETRA-III, SOLEIL, ESRF と同等であり、世界最高クラスの性能を持つため、PF-AR における時間分解 X 線測定は、現在でも非常に高い国際的な競争力を持つ。今後の整備予定としては、まず BL のアクティビティを上げる方向性として、引き続き測定システムの高効率化を中心に整備を進めて行く。加えて、XFEL との相補利用を意識し、AR-NW14A と XFEL を相補的に用いた研究が広く展開されていくよう、今後も整備を進めていく予定である。



- 400 kHz の光変調 RIXS イメージ計測 → 低周波数ノイズ成分を除去し、微弱な信号の長時間積算が可能
- 時間分解_RIXS & XAFS → XAFS による光励起状態の常時モニタリングと、光変調 RIXS の長時間積算が両立
- 光励起状態の非弾性成分(RIXS), 軌道選択電子状態(RXES), 軽元素吸収(NRIXS)の可視化が実現される

図 1 EIGER2X の Double Gate Mode を用いた時間分解 RIXS 測定法の開発

BL-3C : X 線光学素子評価／白色磁気回折ステーション

平野 騒一、杉山 弘
物質構造科学研究所 放射光実験施設

1. 概要

BL-3C は偏向電磁石を光源とする単色・白色X線実験ステーションであり、ハッチ内に水平多軸精密X線回折計と四軸X線回折計を常設している。水平多軸精密X線回折計の利用研究としては、シリコン格子定数の精密評価 [1] やパワーデバイス用半導体結晶のX線トポグラフィーによる観察・評価 [2] 等が行われている。また、四軸X線回折計を用いた研究としては、X線磁気回折による多層膜の磁性研究 [3] 等が行われている。この他にも、ユーザー持ち込み装置によるX線顕微鏡実験 [4] も行われている。

2. 整備開発および運用状況

2024 年度は制御・測定プログラムの改良を行った他、既存のビームライン機器及び測定装置の保守・整備を行った。また、ビームラインのホームページの移設を行った [5]。

3. ビームタイム利用状況

2024 年度の有効課題は、G 型課題 8 件だった。有効課題の内訳は格子定数の精密測定の課題が 1 件、X線トポグラフィーの課題が 3 件、X線磁気回折の課題が 1 件、X線顕微鏡の課題が 1 件、X線光学の課題が 2 件だった。ほぼユーザーの希望通りにビームタイムの配分が行われた。

4. 今後の展望

X線トポグラフィーの実験では、原子核乾板が撮像のために長年利用されてきたが、最近入手するのが困難になりつつあるため、早急に代替案を検討する必要がある。最有力候補は高分解能のX線 sCMOS カメラだが、導入するにはユーザーと協力して外部資金の獲得を目指す必要がある。

測定システムに関しては、今後も引き続き更新を行い、ユーザーフレンドリーな実験環境の構築を進める。

引用文献

- [1] 物構研ハイライト「国際単位系（SI）kg 再定義の舞台裏」（2018 年 11 月 9 日）
<https://www2.kek.jp/imss/news/2018/highlight/1107SI-1kg/>
- [2] KEK プレスリリース「GaN の結晶欠陥を大面積且つ非破壊で検出・分類する方法を開発～青色 LED から電力制御素子まで、GaN 結晶の高品質化を加速～」（2018 年 7 月 9 日）
https://www.kek.jp/ja/newsroom/attic/20180709pressrelease_imss.pdf
- [3] M. Ito *et al.*, J. Phys. : Conf. Ser. **502**, 012018 (2014).
- [4] N. Watanabe *et al.*, J. Phys. : Conf. Ser. **463**, 012011 (2013).
- [5] <https://research.kek.jp/people/hirano/bl3c.html>

BL-14B：精密X線光学実験ステーション

平野 騒一、杉山 弘
物質構造科学研究所 放射光実験施設

1. 概要

BL-14B は垂直ウィグラーを光源とする単色X線実験ステーションであり、精密なX線光学系を水平面内に比較的容易に構築できるという特徴を持っている（図1）。この特徴を活かして、BL-14B では先端的X線光学研究だけでなく、X線イメージング等の応用研究も行われている。

2. 整備開発および運用状況

X線吸収・位相イメージングやX線トポグラフィー等を中心として運用を行っている。2024年度も引き続き、前者では各種工業材料や生体試料の観察、後者ではGaNやGa₂O₃等の次世代パワーデバイス用結晶[1]や高品質タンパク質結晶[2]の評価等が行われている。

整備開発としては、X線吸収・位相・散乱CTの開発を取り組んでいる。従来のX線吸収・位相・散乱CTには、検出器の視野よりも大きな試料の観察や平板状の試料の観察が困難という問題があるが、この問題を解決するべくラミノグラフィー[3]の導入と改良を行っている。これまで大型の回折計を試料ステージとして用いてきたため設置に大きな労力を要したが、今年度はこの問題を解決するために小型の試料ステージを設計・製作して、そのテスト実験を行った。さらに、この小型試料ステージで得られたデータから各種2D・3D像を再構成するための解析プログラムの開発にも取り組んでいる。その他、X線CCDカメラ制御用のPCの更新、故障した測定装置の修理、ビームラインのホームページの移設[4]等を行った。

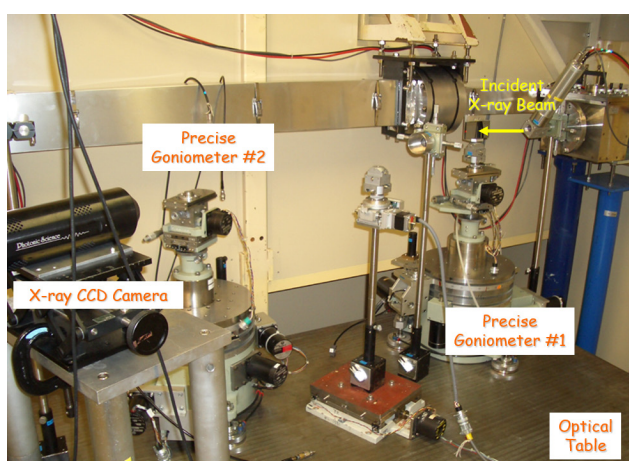


図1 BL-14B のハッチ内の写真。垂直回転軸の精密X線回折計や各種X線カメラなどを備えており、自由に精密X線光学系を構築することができる。

3. ビームタイム利用状況

2024年度の有効課題は、G型課題15件、PF課題2件だった。全体的にビームタイムは不足しがちであるが、ビームタイム希望者には少なくとも最低希望日数が確保されるようにしつつ、放射光共同利用実験審査委員会(PF-PAC)の評点に従って傾斜配分を行っている。

4. 今後の展望

現在、BL-14Bでユーザー実験に供している実験手法は、X線吸収型イメージング、回折強調X線イメージング、複画像ラジオグラフィー、斜入射X線トポグラフィー、二結晶平面波トポグラフィー等である。これに加えて、X線回折格子干渉計を用いたマルチコントラストイメージングもユーザー実験に供するべく、ステージ等のハードウェアや画像解析ソフトウェアの整備を進めている。

BL-14Bでは数台のX線CCDカメラを使用しているが、そろそろ更新を考えるべき時期になりつつある。更新にあたっては、ユーザーと協力して外部資金の獲得を目指す。測定システムに関しては、今後も引き続き更新を行い、ユーザーフレンドリーな実験環境の構築を進める。

引用文献

- [1] KEK プレスリリース「GaN の結晶欠陥を大面积且つ非破壊で検出・分類する方法を開発～青色 LED から電力制御素子まで、GaN 結晶の高品質化を加速～」(2018年7月9日) https://www.kek.jp/ja/newsroom/attic/20180709pressrelease_imss.pdf
- [2] M. Abe, R. Suzuki, K. Hirano, H. Koizumi, K. Kojima and M. Tachibana, PNAS **119**, 2120846119 (2022).
- [3] K. Hirano, Y. Takahashi, K. Hyodo and M. Kimura, J. Synchrotron Rad. **23**, 1484 (2016).
- [4] <https://research.kek.jp/people/hirano/bl14b.html>

BL-14C : X線イメージングおよび汎用X線実験ステーション

杉山 弘、平野 錦一、兵藤 一行
物質構造科学研究所 放射光実験施設

1. 概要

本ステーションは、垂直ウィグラー光源から発生する縦偏光放射光を利用でき、必要に応じて白色X線または単色X線を実験ハッチに導入することができる。実験ハッチの上流側には、図1、図2に示すように14C メインハッチが設置されていて、縦偏光放射光に対応した二結晶分光器、DSS (Down Stream Shutter) が設置されている。単色X線利用時にはこのDSSを閉じるだけで実験ハッチに入室できる設計になっており、二結晶分光器の光学素子(Si 220回折)に常時放射光が照射されることで光学素子が熱的に安定な状態で実験を遂行することができる。単色X線は、8 keV程度から80 keV程度まで利用可能であり、17-50 keVの単色X線が多用されている。実験ハッチ内上流側には汎用定盤が設置されており、吸収コントラスト、位相コントラストを用いたX線イメージング実験、X線検出器やX線量計の開発・評価実験などが実施されている。実験遂行に必要な精密ゴニオメータ、X線スリット、試料位置調整装置、パルスマータードライバー、制御系等の基本的実験機器は常備されているが、独自の実験機器を搬入して使用することも可能である。実験ハッチには、大型実験装置を出し入れするための搬入口が用意されている。実験ハッチ内上流側には汎用の実験スペース(図3)、実験ハッチ内下流側には大型の分離型X線干渉計(図4)が常設されており、位相コントラストを用いたX線イメージング実験が実施されている。本ステーションは、縦偏光、縦長の放射光を利用できることから、光学素子、実験機器の水平面内での展開が可能であり、X線イメージング実験、特に大型の分離型X線干渉計を用いた実験遂行に最適なステーションとなっている。実験ハッチは、実験に影響を与える環境温度変化を小さくするために内側全面に断熱材を貼っている。



図2 BL-14C 外観

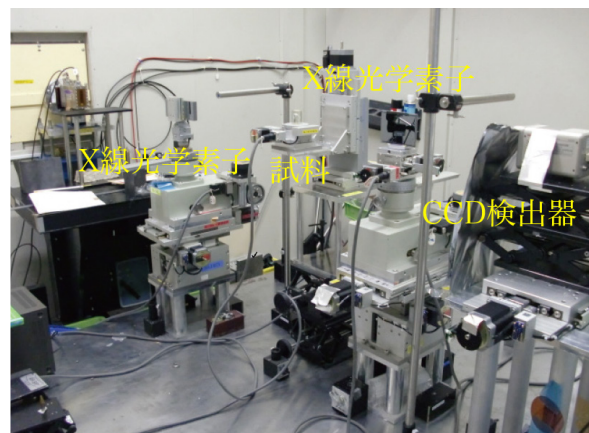


図3 X線イメージング用実験装置配置の一例。実験ハッチ上流側の様子。位相コントラストイメージングシステムの配置。写真の左側から単色X線が導入され、写真右側のCCD検出器でX線イメージを取得している。

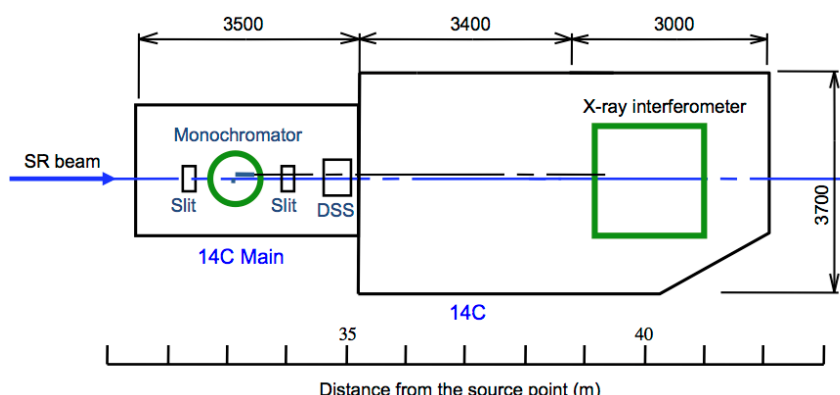


図1 BL-14C 平面図



図4 大型X線干渉計

2. 整備開発および運用状況

2024年度から分離型X線干渉計のさらなる性能向上を目指して、実験ハッチ内に設置する前置光学系の試験を開始した。冷却性能や高次回折、散乱X線などの問題が明らかになり対策を検討中である。また分離型X線干渉計の制御PCなどの更新を検討中である。

現在、二結晶分光器が熱的に安定するまでに2-3日間を要している。調査の結果、放射光照射後に分光器機器（真空チャンバ、分光器架台）全体の温度が徐々に上昇していくことが明らかになった。そのため分光機器全体が熱ドリフトし、出射X線が角度的、エネルギー的にドリフトしている可能性がある。その主たる原因是分光結晶からの散乱X線が分光器真空チャンバで吸収され温度上昇することにあると考え対策を検討中である。2025年度に対策テストを実施する予定である。

単色X線利用と白色X線利用の実験ステーション切り替

えは、従来通り、ビームタイムの有効利用を考慮しながらユーザー実験遂行に最適なタイミングで実施できるように、毎回、ユーザーと詳細な日時調整をして実施している。

3. ビームタイム利用状況

本ステーションでは、常設の大型X線干渉計を用いたイメージング実験、位相コントラストを用いたイメージング実験（小型X線干渉計、DEI：Diffraction Enhanced Imaging、DFI：Dark Field Imaging）、吸収コントラストを用いたイメージング実験、X線検出器の開発・評価実験を遂行する実験グループの利用があり、ビームタイム配分は実験課題の放射光共同利用実験審査委員会（PF-PAC）で付与された評点に則って行われている。また、本ステーションは白色X線を利用できる数少ない実験ステーションの一つであり、時間分解能が必要なX線イメージング実験、通常のX線発生装置を用いたイメージング実験への応用を目的とした実験や大線量の放射線照射が必要な実験などにも利用されている。

4. 今後の展望

今後も、世界的に貴重な縦偏光、縦長の白色放射光、高エネルギー単色X線の特性を利用した共同利用研究を推進する予定である。大きなX線照射面を得ることができる分離型X線干渉計は、生体試料撮影の場合、軟部組織中の微小な差異を描出する能力が他のX線イメージング法と比較して特に優れており、生体試料に関する積極的な利用推進を予定している。また同様にX線干渉計イメージングの特長を利用したガスハイドレートや燃料電池などのエネルギー分野などの産業応用、微小な温度変化を撮像するサーモグラフィとしての応用実験、食品科学への展開などを、引き続き実施する予定である。

BL-20B：白色・単色X線トポグラフィ / X線回折実験ステーション

杉山 弘、平野 馨一
物質構造科学研究所 放射光実験施設

1. 概要

本ビームラインは白色・単色X線によるX線回折トポグラフィおよび関連するX線回折実験専用ステーションである。旧オーストラリアビームラインを改造し、2013年秋から旧BL-15B、15CなどX線トポグラフィ関連課題を統合して専用ビームラインとして運用を開始した。入替形式により白色X線トポグラフィ用垂直軸大型回折計および精密X線トポグラフィ用水平軸回折計が使用可能である。他のビームラインと共に各種解像度のX線CCDカメラも標準使用可能である。

2. 整備開発および運用状況

X線トポグラフィ実験ステーションとして安定してX線トポグラフィおよび関連実験が遂行されている。

モノクロメータ用Si単結晶上には主に白色放射光の影響によりカーボンが堆積する。堆積したカーボンはX線トポグラフィなどのイメージング実験の際には入射ビーム不均一性による画像のノイズとなり、6 keV程度以下の低エネルギーX線領域では反射強度の減衰としての影響も大きい。

そのため、2020年度から運転期間終了毎にモノクロメータ用Si単結晶の第一、第二結晶ともエキシマランプ洗

浄またはプラズマ洗浄により堆積カーボンを除去して、実験への影響を最低限に止めている。

3. ビームタイム利用状況

回折装置の入替は30分程度の作業ではあるが、立上・調整には最低でも1シフト程度必要になるため、可能な限り同一装置を使用する課題を連続して実行するようしている。また、実験の性質上、1課題あたりの必要とする時間が4-6日間と長い場合が多く、本ステーションにおいて現実的に実行できる課題数は最大10課題程度であると考えている。

2024年度に実行された課題では、SiC、ダイヤモンド、卵白リゾチーム、有機伝導体単結晶、Si単結晶X線光学素子を試料としてX線トポグラフィおよびロッキングカープ法などで研究・評価が実施されている。

4. 今後の展望

現時点では規模の大きな改造や保守の予定はなく、ビームラインの安定運用に努めている。モノクロメータ用Si単結晶のカーボン除去洗浄については、今後も運転期間終了毎に実施していく。

6. PF スタッフの研究成果

2024年1月～12月（暦年）に刊行された、PF（およびSPF）スタッフが筆頭もしくは共著で、KEK研究成果データベースに登録された成果のリストを以下に示す。KEKスタッフには下線をつけた。総計で212報が報告された。

- [1] C. Suppaso, T. KANAZAWA, S. NOZAWA, K. Maeda, N. Khaorapapong, *ChemCatChem* **16**, 858 (2024).
- [2] J. Choudhury, K. YONEZAWA, A. Anu, N. SHIMIZU, B. Chaudhuri, *Data in Brief* **52**, 109932 (2024).
- [3] L. Bonal, E. Quirico, G. Montagnac, M. Komatsu, Y. Kebukawa, H. Yabuta, K. Amano, J. Barosch, L. Bejach, G. Cody, E. Dartois, A. Dazzi, B. Gregorio, A. Deniset-Besseau, J. Duprat, C. Engrand, M. Hashiguchi, K. Kamide, D. Kilcoyne, Z. Martins, J. Mathurin, S. Mostefaoui, L. Nittler, T. Ohigashi, T. Okumura, L. Remusat, S. Sandford, M. Shigenaka, R. Stroud, H. Suga, Y. Takahashi, Y. TAKEICHI, Y. Tamenori, M. Verdier-Paoletti, S. YAMASHITA, T. Nakamura, H. Naraoka, T. Noguchi, R. Okazaki, H. Yurimoto, S. Tachibana, M. Abe, A. Miyazaki, A. Nakato, S. Nakazawa, M. Nishimura, T. Okada, T. Saiki, K. Sakamoto, S. Tanaka, F. Terui, Y. Tsuda, T. Usui, S. Watanabe, T. Yada, K. Yogata, M. Yoshikawa, *Icarus* **408**, 115826 (2024).
- [4] S. Takeya, A. Hachikubo, H. Sakagami, H. Minami, S. Yamashita, K. HIRANO, K. HYODO, A. Yoneyama, *J. Chem. Phys.* **160**, 24201 (2024).
- [5] S. KISHIMOTO, A. Toda, *Nucl. Instrum. Methods Phys. Res. Sect. A-Accel.* **1058**, 168884 (2024).
- [6] S. Nakagawa, A. Yokoya, M. Ohara, N. USAMI, M. Asada, M. Fujiwara, T. Nakamura, K. Ishikawa, *Radiat. Phys. Chem.* **214**, 111304 (2024).
- [7] A. Tiwari, M. Gupta, G. DAS, Y. Garreau, A. Coati, A. Gupta, *Acta Mater.* **266**, 119694 (2024).
- [8] M. Yoshikawa, M. SENDA, H. Nakamura, N. OdaUeda, T. Ueda, T. SENDA, T. Ohkuri, *Biochem. Biophys. Res. Commun.* **700**, 149592 (2024).
- [9] S. Hosokawa, H. Sato, Y. Tezuka, J. ADACHI, K. Kimura, K. Hayashi, S. Kohara, H. Tajiri, K. Kobayashi, A. Koura, F. Shimojo, *e-J. Surf. Sci. Nanotech.* **22**, 25 (2024).
- [10] H. TAKAGI, T. Nakano, T. Aoki, M. Tanimoto, *Food Chem.* **443**, 138606 (2024).
- [11] T. Yasuda, K. Toko, K. AMEMIYA, T. Suemasu, *J. Magn. Magn. Mater.* **593**, 171813 (2024).
- [12] M. Kuriki, Z. Liptak, S. Mukherjee, J. Power, K. Sakaue, L. Guo, H. HAYANO, X. JIN, S. Kashiwagi, N. YAMAMOTO, Y. YAMAMOTO, S. Kim, P. Piot, *J. Phys. Conf. Ser.* **2687**, 022013 (2024).
- [13] M. Kuriki, Z. Liptak, L. Guo, X. JIN, N. YAMAMOTO, *J. Phys. Conf. Ser.* **2687**, 022015 (2024).
- [14] N. HIGASHI, C. MITSUDA, S. NAGAHASHI, K. HARADA, T. NOGAMI, T. UCHIYAMA, N. NAKAMURA, T. HONDA, M. SATOH, Y. OKAYASU, Y. ENOMOTO, *J. Phys. Conf. Ser.* **2687**, 032006 (2024).
- [15] Y. HONDA, R. KATO, M. SHIMADA, R. TAKAI, *J. Phys. Conf. Ser.* **2687**, 032026 (2024).
- [16] H. SAKAI, M. YAMAMOTO, O. TANAKA, Y. HONDA, K. UMEMORI, T. YAMADA, H. SHIMIZU, Y. MORIKAWA, Y. KAMIYA, N. NAKAMURA, K. HARADA, N. HIGASHI, *J. Phys. Conf. Ser.* **2687**, 092013 (2024).
- [17] L. Oktariza, Y. Sato, S. Govurof, K. OZAWA, M. Islam, S. Ikeda, T. Sakurai, *Jpn. J. Appl. Phys.* **63**, 02SP41 (2024).
- [18] K. Murata, G. Kitahara, S. Inoue, T. Higashino, S. Matsuoka, S. Arai, R. KUMAI, T. Hasegawa, *Phys. Rev. Appl.* **21**, 24005 (2024).
- [19] N. Mitsuishi, Y. Sugita, T. Akiba, Y. Takahashi, M. Sakano, K. HORIBA, H. KUMIGASHIRA, H. Takahashi, S. Ishiwata, Y. Motome, K. Ishizaka, *Phys. Rev. Res.* **6**, 13155 (2024).
- [20] E. Yi, N. Sunaguchi, J. Lee, S. Seo, S. Lee, D. Shimao, M. ANDO, *Cancers* **16**, 806 (2024).
- [21] R. Toyoshima, T. Tanaka, T. Kato, H. ABE, K. Uchida, H. Kondoh, *Chem. Lett.* **53**, upad031 (2024).
- [22] W. Cheng, D. KIDO, Y. NIWA, S. Bo, M. KIMURA, R. Ota, T. Shibayama, K. Asakura, *Chem. Lett.* **53**, upae012 (2024).
- [23] M. Nakayama, S. Nakagawa, T. Yamaguchi, H. Minami, K. Kadokawa, H. NAKAO, T. Mochiku, M. Tsujimoto, S. Ishida, H. Eisaki, T. Kashiwagi, *J. Appl. Phys.* **135**, 73902 (2024).
- [24] M. KIMURA, I. Obayashi, D. KIDO, Y. NIWA, X. Gao, K. Akagi, *Miner. Met. Mater. Ser.* **2024**, 784 (2024).
- [25] S. KISHIMOTO, *Nucl. Instrum. Methods Phys. Res. Sect. A-Accel.* **1062**, 169175 (2024).
- [26] K. Taniguchi, P. Huang, H. SAGAYAMA, R. Kiyanagi, K. Ohishi, S. Kitou, Y. Nakamura, H. Miyasaka, *Phys. Rev. Materials* **8**, 24409 (2024).
- [27] H. Liang, K. Otsubo, Y. Wakabayashi, H. SAGAYAMA, S. Kawaguchi, H. Kitagawa, *Angew. Chem.-Int. Edit.*

- [28] T. Higashino, S. Inoue, S. Arai, S. Tsuzuki, H. Matsui, R. KUMAI, K. Takaba, S. Maki-Yonekura, H. Kurokawa, I. Inoue, K. Tono, K. Yonekura, T. Hasegawa, *Chem. Mat.* **36**, 848 (2024).
- [29] L. Zhang, T. Fujita, Y. Masutake, M. Kawamura, T. Arima, H. KUMIGASHIRA, M. Tokunaga, M. Kawasaki, *Commun. Mater.* **5**, 35 (2024).
- [30] S. Nakano, H. Fujihisa, H. Yamawaki, T. KIKEGAWA, *Inorg. Chem.* **63**, 3283 (2024).
- [31] Y. Kudo, F. KUMAKI, M. Nagasaka, J. ADACHI, Y. Noguchi, N. Koga, H. Itabashi, M. Hiyama, *J. Phys. Chem. A* **128**, 611 (2024).
- [32] K. Komaba, S. Kimura, R. KUMAI, H. Goto, *J. Phys. Chem. B* **128**, 2000 (2024).
- [33] K. Yoshimatsu, H. NAKAO, H. Kumigashira, *Phys. Rev. Materials* **8**, 35002 (2024).
- [34] C. Kim, H. Maeda, B. Lu, Y. Nakamura, Y. Lin, Y. Wakisaka, D. KIDO, K. Asakura, S. Takakusagi, *Chem. Lett.* **53**, upad045 (2024).
- [35] R. Tanaka, T. Yasui, Y. Kitamura, K. Tsunoda, H. TAKAGI, N. SHIMIZU, N. IGARASHI, H. Masunaga, K. Urayama, S. Sakurai, *ACS Appl. Polym. Mater.* **6**, 2799 (2024).
- [36] A. Kumar, T. Ghosh, Z. Aabdin, J. Roy, V. Verma, A. Ghosh, S. Sahoo, R. Urkude, S. Bhunia, U. Goutam, K. AMEMIYA, A. Kandasami, V. Singh, *AIP Adv.* **14**, 25250 (2024).
- [37] A. Hatate, T. Horiuchi, T. Ishiyama, K. Toko, K. AMEMIYA, T. Suemasu, *J. Magn. Magn. Mater.* **597**, 171973 (2024).
- [38] Y. Guan, F. Komori, M. Horio, A. Fukuda, Y. Tsujikawa, K. OZAWA, M. Kamiko, D. NishioHamane, T. Kawauchi, K. Fukutani, Y. Tokumoto, K. Edagawa, R. Tamura, I. Matsuda, *Jpn. J. Appl. Phys.* **63**, 30906 (2024).
- [39] S. Watanabe, Y. Kise, K. YONEZAWA, M. Inoue, N. SHIMIZU, O. Nureki, K. Inaba, *Nat. Commun.* **15**, 2404 (2024).
- [40] H. Inaba, Y. Shisaka, S. Ariyasu, E. Sakakibara, G. Ueda, Y. Aiba, N. SHIMIZU, H. Sugimoto, O. Shoji, *RSC Adv.* **14**, 8829 (2024).
- [41] K. Kimoto, J. Kikkawa, K. Harano, O. Cretu, Y. SHIBAZAKI, F. Uesugi, *Sci. Rep.* **14**, 2901 (2024).
- [42] S. Banu, M. Kato, K. Takubo, Y. Okimoto, S. Koshihara, K. IWANO, W. Kosaka, H. Miyasaka, T. Ishikawa, *Adv. Opt. Mater.* **12**, 2301554 (2024).
- [43] S. Inoue, T. Higashino, K. Nikaido, R. Miyata, S. Matsuoka, M. Tanaka, S. Tsuzuki, S. Horiuchi, R. Kondo, R. SAGAYAMA-TAZAKI, R. KUMAI, D. Sekine, T. Koyanagi, M. Matsubara, T. Hasegawa, *Adv. Sci.* **11**, 2308270 (2024).
- [44] N. Hamaguchi-Suzuki, N. ADACHI, T. MORIYA, S. Yasuda, M. KAWASAKI, K. Suzuki, S. Ogasawara, N. Anzai, T. SENDA, T. Murata, *Biochem. Biophys. Res. Commun.* **709**, 149855 (2024).
- [45] J. Li, Q. Wang, L. Xu, L. Liu, H. Zhang, S. TAKAGI, K. ICHIYANAGI, R. FUKAYA, S. NOZAWA, J. Hu, *Chin. Phys. B* **33**, 46401 (2024).
- [46] S. Kino, S. Ukai, N. Fukui, R. HARUKI, R. KUMAI, Q. Wang, S. Horike, Q. Phung, D. Sundholm, H. Shinokubo, *J. Am. Chem. Soc.* **146**, 9311 (2024).
- [47] H. Abe, S. Maruyama, Y. Yoshiichi, H. Kishimura, D. OKUYAMA, H. SAGAYAMA, *J. Mol. Liq.* **401**, 124583 (2024).
- [48] Q. Wang, S. Iguchi, I. Yamanaka, J. Ohta, T. Wada, M. Uo, D. KIDO, M. KIMURA, K. Asakura, *J. Phys. Chem. C* **128**, 3242 (2024).
- [49] C. Tabata, F. Kon, K. Ota, R. Hibino, Y. Matsumoto, H. Amitsuka, H. NAKAO, Y. Haga, K. Kaneko, *Phys. Rev. B* **109**, 134403 (2024).
- [50] P. Kotei, D. Paley, V. Oklejas, D. MittanMoreau, E. Schriber, M. Aleksich, M. Willson, I. Inoue, S. Owada, K. Tono, M. Sugahara, S. INABA-INOUE, A. Aquila, F. Poitevin, J. Blaschke, S. Lisova, M. Hunter, R. Sierra, J. Gascon, N. Sauter, A. Brewster, J. Hohman, *Small Sci.* **4**, 2300110 (2024).
- [51] S. Yoshino, T. Kurutach, Q. Liu, T. Yamanaka, S. NOZAWA, M. Kobayashi, H. Kumagai, H. Kato, *Sustain. Energ. Fuels* **8**, 1260 (2024).
- [52] A. Renodon-Corniere, T. Mikawa, N. KUWABARA, K. Ito, D. Levitsky, H. Iwasaki, M. Takahashi, *Int. J. Mol. Sci.* **25**, 3633 (2024).
- [53] A. Shimoda, K. Iwasa, K. Kuwahara, H. SAGAYAMA, H. NAKAO, M. Ishikado, A. Nakao, S. Ohira-Kawamura, N. Murai, T. Ohhara, Y. Nambu, *Phys. Rev. B* **109**, 134425 (2024).
- [54] K. AMEMIYA, K. SAKATA, *ACS Omega* **9**, 18593 (2024).
- [55] J. Mathurin, L. Bejach, E. Dartois, C. Engrand, A. Dazzi, A. Deniset-Besseau, J. Duprat, Y. Kebukawa, H. Yabuta, L. Bonal, E. Quirico, C. Sandt, F. Borondics, J. Barosch, P. Beck, G. Cody, B. Gregorio, M. Hashiguchi, D. Kilcoyne, M. Komatsu, Z. Martins, M. Matsumoto, G. Montagnac, S. Mostefaoui, L. Nittler, T. Ohigashi, T. Okumura, V. Phan, L. Remusat, S. Sandford, M. Shigenaka, R. Stroud, H. Suga, Y. Takahashi, Y. TAKEICHI, Y. Tamenori, M. Verdier-Paoletti, S. YAMASHITA, T. Nakamura, T. Morita, M. Kikuiri, K. Amano, E. Kagawa, T. Noguchi, H. Naraoka, R. Okazaki, K. Sakamoto, H. Yurimoto, M. Abe, K. Kamide, A. Miyazaki, A. Nakato, S. Nakazawa, M.

- Nishimura, T. Okada, T. Saiki, S. Tachibana, S. Tanaka, F. Terui, Y. Tsuda, T. Usui, S. Watanabe, T. Yada, K. Yogata, M. Yoshikawa, Astron. Astrophys. **684**, A198 (2024).
- [56] K. Dong, B. Hu, M. Rashid, B. Lu, K. Miyabayashi, K. Higashi, T. Uruga, Y. Iwasawa, D. KIDO, S. Takakusagi, K. Asakura, e-J. Surf. Sci. Nanotech. **22**, 129 (2024).
- [57] S. Takeya, S. Muromachi, M. Muraoka, K. Suzuki, N. Tenma, K. HIRANO, K. HYODO, M. Kawamoto, A. Yoneyama, J. Chem. Phys. **160**, 154704 (2024).
- [58] K. Mio, T. Ohkubo, D. Sasaki, M. Sugiura, K. Kawaguchi, K. Araki, K. Taninaka, M. Sakaguchi, S. NOZAWA, T. Arai, Y. Sasaki, Membranes **14**, 75 (2024).
- [59] M. Maeki, N. Kimura, Y. Okada, K. Shimizu, K. Shibata, Y. Miyazaki, A. Ishida, K. YONEZAWA, N. SHIMIZU, W. Shinoda, M. Tokeshi, Nanoscale Adv. **6**, 2166 (2024).
- [60] Y. Kamiya, R. NISHIMURA, S. Mitsui, Z. Wang, C. Morris, M. Makela, S. Clayton, J. Baldwin, T. Ito, S. Akamatsu, H. IWASE, Y. ARAI, J. Murata, S. Asai, Nucl. Instrum. Methods Phys. Res. Sect. A-Accel. **1064**, 169390 (2024).
- [61] X. Zhang, Y. Tsujikawa, K. Yamaguchi, M. Miyamoto, M. Horio, K. Yubuta, H. Ando, M. Yuan, K. OZAWA, K. Sugiyama, T. Kondo, I. Matsuda, Phys. Rev. Materials **8**, 54001 (2024).
- [62] N. Ohara, N. Kawakami, R. Arai, N. ADACHI, A. IKEDA, T. SENDA, K. Miyamoto, Chem. Commun. **60**, 4605 (2024).
- [63] G. Hayashi, T. Shimaiwa, M. Okawa, N. Nakamura, R. Higashinaka, T. Matsuda, Y. Aoki, M. KITAMURA, D. Shiga, H. Kumigashira, M. Kopciuszynski, A. Barinov, N. Saini, T. Mizokawa, J. Phys. Soc. Jpn. **93**, 14702 (2024).
- [64] 高木 秀彰, 中野 智木, 青木 孝良, 谷本 守正, ミルクサイエンス **73**, 3 (2024).
- [65] M. Nagasaka, F. KUMAKI, Y. Yao, J. ADACHI, K. Mochizuki, Phys. Chem. Chem. Phys. **26**, 13634 (2024).
- [66] S. Kofuji, K. Wolfe, K. Sumita, S. Kageyama, H. Yoshino, Y. Hirota, A. OgawaIio, H. Kanoh, M. Sasaki, K. Kofuji, M. Davis, R. Pragani, M. Shen, M. Boxer, F. Nakatsu, K. Nigorikawa, T. Sasaki, K. Takeuchi, T. SENDA, S. Kim, A. Edinger, A. Simeonov, A. Sasaki, Biochem. Biophys. Res. Commun. **718**, 149981 (2024).
- [67] H. Matsuda, K. OZAWA, Y. Hashimoto, T. Matsushita, F. Matsui, Jpn. J. Appl. Phys. **63**, 46503 (2024).
- [68] R. NISHIMURA, N. IGARASHI, D. WAKABAYASHI, Y. SHIBAZAKI, Y. SUZUKI, K. HIRANO, Y. ARAI, Nucl. Instrum. Methods Phys. Res. Sect. A-Accel. **1064**, 169429 (2024).
- [69] Y. Nakayama, D. Hirai, H. SAGAYAMA, K. Kojima, N. Katayama, J. Lehmann, Z. Wang, N. Ogawa, K. Takenaka, Phys. Rev. Materials **8**, 55001 (2024).
- [70] K. FUKUMOTO, S. LEE, S. ADACHI, Y. Suzuki, K. Kusakabe, RikutoYamamoto, M. Kitatani, K. Ishida, Y. Nakagawa, M. Merkel, D. Shiga, H. Kumigashira, Sci. Rep. **14**, 10537 (2024).
- [71] N. Komiyama, T. Ohkubo, Y. Maeda, Y. Saeki, N. Ichikuni, H. Masu, H. Kanoh, K. Ohara, R. Takahashi, H. Wadati, H. TAKAGI, Y. Miwa, S. Kutsuzizu, K. Kishikawa, M. Kohri, Adv. Sci. **11**, 2309226 (2024).
- [72] M. Hirschberger, B. Szigeti, M. Hemmida, M. Hirschmann, S. Esser, H. Ohsumi, Y. Tanaka, L. Spitz, S. Gao, K. Kolincio, H. SAGAYAMA, H. NAKAO, Y. Yamasaki, L. Forro, H. Nidda, I. Kezsmarki, T. Arima, Y. Tokura, npj Quantum Mater. **9**, 45 (2024).
- [73] J. Tokimoto, S. Ohmura, A. Takahashi, K. IWANO, H. Okamoto, Phys. Rev. B **109**, 195150 (2024).
- [74] K. SAKATA, K. AMEMIYA, Electrochim. Commun. **165**, 107771 (2024).
- [75] S. Akatsuka, M. Sakano, T. Yamamoto, T. Nomoto, R. Arita, R. Murata, T. Sasagawa, K. Watanabe, T. Taniguchi, N. Mitsuishi, M. KITAMURA, K. Horiba, K. Sugawara, S. Souma, T. Sato, H. Kumigashira, K. Shinokita, H. Wang, K. Matsuda, S. Masubuchi, T. Machida, K. Ishizaka, Phys. Rev. Res. **6**, L022048 (2024).
- [76] Z. Li, H. Suto, V. Barwal, K. Masuda, T. Sasaki, Z. Chen, H. Tajiri, L. Kumara, T. Koganezawa, K. AMEMIYA, S. Kokado, K. Hono, Y. Sakuraba, Acta Mater. **276**, 120110 (2024).
- [77] M. Uy, A. Rillera, K. Shinohara, M. Empizo, T. Shimizu, K. Yamanoi, A. Yoshikawa, N. Sarukura, H. ABE, J. Cryst. Growth **643**, 127787 (2024).
- [78] T. Matsumura, C. Tabata, K. Kaneko, H. NAKAO, M. Kakihana, M. Hedo, T. Nakama, Y. Onuki, Phys. Rev. B **109**, 174437 (2024).
- [79] T. OBINA, M. ADACHI, S. EGUCHI, K. HAGA, K. HARADA, N. HIGASHI, T. HONDA, X. JIN, T. KAGEYAMA, Y. KOBAYASHI, K. MARUTSUKE, T. MIMASHI, C. MITSUDA, H. MIYAUCHI, A. MOTOMURA, S. NAGAHASHI, D. NAITO, N. NAKAMURA, K. NIGORIKAWA, T. NOGAMI, T. OZAKI, H. SAGEHASHI, H. SAITO, S. SAKANAKA, H. SASAKI, Y. SHIMOSAKI, S. SHINOHARA, T. SHIOYA, M. SHIOZAWA, M. TADANO, T. TAHARA, T. TAKAHASHI, R. TAKAI, H. TAKAKI, O. TANAKA, Y. TANIMOTO, M. TAWADA, K. TSUCHIYA, T. UCHIYAMA, A. UEDA, K. WATANABE, N. YAMAMOTO, M. YOSHIDA, S. YOSHIMOTO, Proc. BEAM **2024**, 1286 (2024).
- [80] M. KURATA, H. SAGEHASHI, H. SAKAI, M. SHIOZAWA, M. YAMAMOTO, M. SHIMADA, O.

- [81] TANAKA, R. KATO, T. TANIKAWA, T. OBINA, Y. HONDA, H. Koay, Proc. BEAM **2024**, 2010 (2024).
- [82] Z. Liptak, M. Kuriki, M. Isobe, L. Guo, X. JIN, N. YAMAMOTO, Proc. BEAM **2024**, 2076 (2024).
- [83] D. NAITO, N. YAMAMOTO, T. TAKAHASHI, A. MOTOMURA, S. SAKANAKA, Proc. BEAM **2024**, 3442 (2024).
- [84] R. Hayasaka, T. Kanda, Y. Masutake, D. Nguyen, N. Hasegawa, S. Inoue, A. Wada, M. KITAMURA, D. SHIGA, K. Yoshimatsu, H. KUMIGASHIRA, APL Mater. **12**, 71111 (2024).
- [85] T. Matsumura, K. Kurauchi, M. Tsukagoshi, N. Higa, H. NAKAO, M. Kakihana, M. Hedo, T. Nakama, Y. Onuki, J. Phys. Soc. Jpn. **93**, 74705 (2024).
- [86] H. TAMATSUKURI, Y. MURAKAMI, N. Saito, N. Ohashi, S. Tsutsui, Phys. Rev. B **110**, 24301 (2024).
- [87] Y. Ishii, Y. Yamasaki, Y. Kozuka, J. Lustikova, Y. Nii, Y. Onose, Y. Yokoyama, M. Mizumaki, J. ADACHI, H. NAKAO, T. Arima, Y. Wakabayashi, Sci. Rep. **14**, 15504 (2024).
- [88] K. Ito, N. Kobayashi, K. Ikeda, T. Ichimura, M. Matsuki, T. Kubota, K. AMEMIYA, A. Kimura, K. Takanashi, J. Magn. Magn. Mater. **606**, 172361 (2024).
- [89] H. Changela, Y. Kebukawa, L. Petera, M. Ferus, E. Chatzitheodoridis, L. Nejdl, R. Nebel, V. Protiva, P. Krepelka, J. Moravcova, R. Holbova, Z. Hlavenkova, T. Samoril, J. Bridges, S. YAMASHITA, Y. Takahashi, T. Yada, A. Nakato, K. Sobotkova, H. Tesarova, D. Zapotok, Nat. Commun. **15**, 6165 (2024).
- [90] K. Shinohara, M. Empizo, A. Rillera, M. Uy, M. Cadatal-Raduban, K. Yamanoi, T. Shimizu, M. Yoshimura, N. Sarukura, T. Murata, H. ABE, A. Yoshikawa, P. Mai, C. Dujardin, M. Guzik, G. Boulon, Opt. Mater.: X **23**, 100339 (2024).
- [91] T. Yasuda, D. Ogawa, K. AMEMIYA, T. Suemasu, Appl. Phys. Lett. **125**, 82401 (2024).
- [92] S. Ota, J. Fukushima, K. KIMIJIMA, M. KIMURA, N. Igura, N. Tezuka, T. Sato, H. Einaga, S. Tsubaki, Chem. Eng. J **497**, 154737 (2024).
- [93] S. Oshima, Y. Seryo, M. KIMURA, M. Hojo, Compos. Sci. Technol. **257**, 110837 (2024).
- [94] K. Imamura, Y. Kida, A. Kagamihata, T. Seike, S. YAMAMOTO, H. Ohashi, T. Tanaka, J. Synchrot. Radiat. **31**, 1154 (2024).
- [95] D. OKUYAMA, M. Bleuel, Q. Ye, J. Krzywon, N. Nagaosa, A. Kikkawa, Y. Taguchi, Y. Tokura, J. Reim, Y. Nambu, T. Sato, Phys. Rev. B **110**, 14431 (2024).
- [96] H. Yoshimochi, R. Takagi, J. Ju, N. Khanh, H. Saito, H. SAGAYAMA, H. NAKAO, S. ITOH, Y. Tokura, T. Arima, S. Hayami, T. Nakajima, S. Seki, Nat. Phys. **20**, 1001 (2024).
- [97] M. Miyazaki, K. Ogasawara, Y. Takekoshi, K. Miyashita, H. ABE, Y. NIWA, H. Hosono, M. Kitano, Chem. Commun. **60**, 6447 (2024).
- [98] Y. Tamura, M. Okazaki, H. Ueki, K. Aihara, T. KANAZAWA, D. FAN, R. HARUKI, A. Iwase, S. NOZAWA, F. Ishiwari, K. Sugimoto, A. Saeki, K. Maeda, ChemSusChem **17**, 408 (2024).
- [99] L. Nittler, J. Barosch, K. Burgess, R. Stroud, J. Wang, H. Yabuta, Y. Enokido, M. Matsumoto, T. Nakamura, Y. Kebukawa, S. YAMASHITA, Y. Takahashi, L. Bejach, L. Bonal, G. Cody, E. Dartois, A. Dazzi, B. Gregorio, A. Deniset-Besseau, J. Duprat, C. Engrand, M. Hashiguchi, A. Kilcoyne, M. Komatsu, Z. Martins, J. Mathurin, G. Montagnac, S. Mostefaoui, T. Okumura, E. Quirico, L. Remusat, S. Sandford, M. Shigenaka, H. Suga, Y. TAKEICHI, Y. Tamenori, M. Verdier-Paoletti, D. WAKABAYASHI, M. Abe, K. Kamide, A. Miyazaki, A. Nakato, S. Nakazawa, M. Nishimura, T. Okada, T. Saiki, S. Tanaka, F. Terui, T. Usui, T. Yada, K. Yogata, M. Yoshikawa, H. Yurimoto, T. Noguchi, R. Okazaki, H. Naraoka, K. Sakamoto, S. Tachibana, S. Watanabe, Y. Tsuda, Earth Planet. Sci. Lett. **637**, 118719 (2024).
- [100] S. KISHIMOTO, A. Toda, IEEE Trans. Nucl. Sci. **71**, 1324 (2024).
- [101] H. Takeda, M. Irimajiri, T. Mizutani, S. NOZAWA, Y. Matsuura, M. Kurosu, O. Ishitani, Inorg. Chem. **63**, 7343 (2024).
- [102] Z. Wang, R. Toyoshima, M. Yoshida, K. MASE, H. Kondoh, J. Phys. Chem. C **128**, 9193 (2024).
- [103] N. Koga, Y. Saito, K. Miyake, S. Amuti, S. Fukuyoshi, S. Yoshida, S. Sato, Y. YAMADA, A. IKEDA, N. ADACHI, M. KAWASAKI, A. TAKASU, S. Aramaki, T. SENDA, A. Rahim, A. Najib, G. Alam, N. Tanaka, K. Nakagawa-Goto, Org. Lett. **26**, 4302 (2024).
- [104] R. Tanaka, T. Yasui, H. TAKAGI, N. SHIMIZU, N. IGARASHI, H. Masunaga, Y. Kitamura, K. Tsunoda, T. Mai, K. Urayama, S. Sakurai, Polym. J. **56**, 753 (2024).
- [105] N. Mahmoud, H. TAKAGI, N. SHIMIZU, N. IGARASHI, S. Sakurai, Polym. J. **56**, 819 (2024).
- [106] T. Yoshida, M. Touji, H. TAKAGI, N. SHIMIZU, N. IGARASHI, S. Sakurai, M. Uchida, Y. Kaneko, Polym. J. **56**, 833 (2024).
- [107] S. Mori, H. TAKAGI, N. SHIMIZU, N. IGARASHI, S. Sakurai, K. Urayama, Soft Matter **20**, 3931 (2024).
- [108] A. Hatake, T. Yasuda, K. AMEMIYA, T. Suemasu, Phys. Rev. Materials **8**, L091403 (2024).
- [109] K. SAKATA, K. Macounova, K. AMEMIYA, P. Krtil, Electrochim. Acta **507**, 145066 (2024).
- [110] T. Kaneyasu, H. Takeda, K. Hosaka, J. ADACHI, J. Electron Spectrosc. Relat. Phenom. **276**, 147488 (2024).
- [111] E. Kikuchi, S. Yoshino, T. KANAZAWA, R. HARUKI,

- [D. FAN, S. NOZAWA, Y. Yamaguchi, A. Kudo, J. Phys. Chem. C **128**, 16353 (2024).]
- [111] A. Verchovsky, F. Abernethy, M. An, I. Franchi, M. Grady, R. Greenwood, S. Barber, M. Suttle, M. Ito, N. Tomioka, M. Uesugi, A. Yamaguchi, M. Kimura, N. Imae, N. Shirai, T. OHIGASHI, M. Liu, K. Uesugi, A. Nakato, K. Yogata, H. Yuzawa, Y. Karouji, S. Nakazawa, T. Okada, T. Saiki, S. Tanaka, F. Terui, M. Yoshikawa, A. Miyazaki, M. Nishimura, T. Yada, M. Abe, T. Usui, S. Watanabe, Y. Tsuda, Nat. Commun. **15**, 8075 (2024).
- [112] A. Honma, N. Kabeya, S. Souma, Y. Wang, K. Yamauchi, K. Nakayama, D. Takane, K. OZAWA, M. Kitamura, K. Horiba, H. Kumigashira, T. Oguchi, T. Takahashi, N. Kimura, Y. Ando, T. Sato, Phys. Rev. B **110**, 115152 (2024).
- [113] S. Suzuki, T. Kato, Y. Li, K. Nakayama, Z. Wang, S. Souma, K. OZAWA, M. KITAMURA, K. Horiba, H. Kumigashira, T. Takahashi, Y. Yao, T. Sato, Phys. Rev. B **110**, 165104 (2024).
- [114] 柴嶋 裕樹, 船守 展正, 高圧力の科学と技術 **34**, 11 (2024).
- [115] Y. Ito, Y. Takeichi, H. Hino, K. ONO, Sci. Rep. **14**, 22549 (2024).
- [116] 打越 雅仁, 君島 堅一, 篠田 弘造, 鉄と鋼 **110**, 962 (2024).
- [117] K. Koreishi, T. Soma, H. KUMIGASHIRA, A. Ohtomo, Appl. Phys. Lett. **125**, 152101 (2024).
- [118] T. MORIYA, Y. YAMADA, M. YAMAMOTO, T. SENDA, Commun. Biol. **7**, 1320 (2024).
- [119] R. Dawn, B. Pramanik, K. Das, W. Tjiu, Z. Aabdin, A. Ghosh, S. Sahoo, K. AMEMIYA, A. Kandasami, V. Singh, J. Appl. Phys. **136**, 143904 (2024).
- [120] M. Cadatal-Raduban, L. Mui, M. Yamashita, Y. SHIBAZAKI, T. Shimizu, N. Sarukura, K. Yamanoi, NPG Asia Mater. **16**, 50 (2024).
- [121] K. Miyashita, K. Ogasawara, M. Miyazaki, H. ABE, Y. NIWA, H. Kato, H. Hosono, M. Kitano, NPG Asia Mater. **16**, 54 (2024).
- [122] N. Watanabe, S. Souma, K. Nakayama, K. Yamauchi, J. Ribeiro, Y. Wang, M. KITAMURA, K. Horiba, H. Kumigashira, T. Oguchi, Z. Mao, Y. Chen, T. Sato, Phys. Rev. B **110**, 155134 (2024).
- [123] R. Nasukawa, C. Kamezawa, Y. Nakaye, Y. Sakuma, M. Kuribayashi, L. Xiaoyu, K. HYODO, A. Yoneyama, W. Yashiro, Proc. BEAM 2024, 10676847 (2024).
- [124] M. SATO, Z. FANG, Y. FUKUI, K. FUTATSUKAWA, K. IKEGAMI, H. KOBAYASHI, C. KUBOTA, T. KURIHARA, T. MIURA, F. NAITO, K. NANMO, T. OBINA, T. SHIBATA, T. SUGIMURA, A. TAKAGI, H. Kumada, Y. Matsumoto, S. Tanaka, T. Ohba, N. Nagura, T. Toyoshima, H. Oguri, Proc. LINAC **2024**, 530 (2024).
- [125] Y. Miyai, S. Ishida, K. OZAWA, Y. Yoshida, H. Eisaki, K. Shimada, H. Iwasawa, Sci. Technol. Adv. Mater. **25**, 2379238 (2024).
- [126] Y. Miyashita, T. MORIYA, T. Kato, M. KAWASAKI, S. Yasuda, N. ADACHI, K. Suzuki, S. Ogasawara, T. Saito, T. SENDA, T. Murata, Structure **32**, 1926 (2024).
- [127] D. Furuya, M. Oda, Z. Chen, L. Li, H. Murakawa, H. Sakai, H. NITANI, Y. NIWA, H. ABE, H. Uetsuka, T. Karube, H. Inui, N. Hanasaki, Appl. Phys. Lett. **125**, 201901 (2024).
- [128] K. Nikaido, S. Inoue, S. Tsuzuki, R. KUMAI, H. Matsui, K. Takaba, S. Maki-Yonekura, K. Yonekura, T. Hasegawa, Phys. Rev. Materials **8**, 115601 (2024).
- [129] S. Ogawa, M. HIKITA, T. Fujishiro, Protein Sci. **33**, e5208 (2024).
- [130] Y. Shino, N. Muraki, Y. Kobatake, H. Kamishina, R. KATO, Y. Furukawa, Protein Sci. **33**, e5210 (2024).
- [131] K. Shibuya, K. AMEMIYA, Rev. Sci. Instrum. **95**, 113903 (2024).
- [132] G. Uramoto, S. YAMASHITA, Y. Takeichi, Y. Takahashi, Geochim. J. **58**, 276 (2024).
- [133] K. Hiromori, N. Nakajima, T. Hasegawa, S. Wada, O. Takahashi, T. Ohkochi, K. MASE, K. OZAWA, J. Phys. Chem. C **128**, 21767 (2024).
- [134] Z. Chi, Y. Lau, V. Zhang, G. Shibata, S. Sakamoto, Y. Nonaka, K. Ikeda, Y. Wan, M. Suzuki, M. Kawaguchi, M. SAKAMAKI, K. AMEMIYA, N. Kawamura, M. Mizumaki, M. Suzuki, H. Yang, M. Hayashi, A. Fujimori, Phys. Rev. B **110**, 184401 (2024).
- [135] T. Hasegawa, S. Inoue, S. Tsuzuki, S. Horiuchi, H. Matsui, T. Okada, R. KUMAI, K. Yonekura, S. Maki-Yonekura, Sci. Technol. Adv. Mater. **25**, 2418282 (2024).
- [136] M. Hiramatsu, Z. Hu, S. Yoshikawa, Z. Yang, X. He, T. Katase, J. Yamaura, H. SAGAYAMA, T. Tadano, S. Ueda, H. Hiramatsu, H. Hosono, T. Kamiya, ACS Appl. Electron. Mater. **6**, 8339 (2024).
- [137] M. Namba, H. Takatsu, K. Murayama, Y. SHIBAZAKI, N. Ishimatsu, H. Ubukata, R. Terada, N. Yoshimura, S. Kawanishi, T. Terashima, H. Kageyama, Chem. Mat. **36**, 3918 (2024).
- [138] R. Mizuochi, Y. Sugawara, K. Oka, Y. Inaguma, S. NOZAWA, T. Yokoi, T. Yamaguchi, K. Maeda, J. Am. Chem. Soc. **146**, 32343 (2024).
- [139] K. Ishihara, A. Nakada, H. Suzuki, O. Tomita, S. NOZAWA, A. Saeki, R. Abe, J. Mater. Chem. A **12**, 30279 (2024).
- [140] T. Kimura, H. Kubota, Y. Okuda, Y. SHIBAZAKI, M. Sakata, S. Sasaki, J. Phys. Chem. C **128**, 15704 (2024).
- [141] X. Zhang, M. Miyamoto, M. Yuan, Y. Tsujikawa, K. Yamaguchi, M. Horio, K. OZAWA, K. Yubuta, T. Kondo, I. Matsuda, J. Phys. Chem. Lett. **15**, 9349 (2024).

- [142] H. Abe, S. Maruyama, H. Kishimura, M. Uruichi, D. OKUYAMA, H. SAGAYAMA, J. Phys. Chem. Lett. **15**, 10668 (2024).
- [143] N. Sunaguchi, T. Yuasa, D. Shimao, Z. Huang, S. Ichihara, R. Nishimura, A. Iwakoshi, J. Kim, R. Gupta, M. ANDO, Med. Phys. **51**, 9179 (2024).
- [144] B. Gregorio, G. Cody, R. Stroud, A. Kilcoyne, S. Sandford, C. Guillou, L. Nittler, J. Barosch, H. Yabuta, Z. Martins, Y. Kebukawa, T. Okumura, M. Hashiguchi, S. YAMASHITA, Y. TAKEICHI, Y. Takahashi, D. WAKABAYASHI, C. Engr, L. Bejach, L. Bonal, E. Quirico, L. Remusat, J. Duprat, M. Verdier-Paoletti, S. Mostefaoui, M. Komatsu, J. Mathurin, A. Dazzi, A. Deniset-Besseau, E. Dartois, Y. Tamenori, H. Suga, G. Montagnac, K. Kamide, M. Shigenaka, M. Matsumoto, Y. Enokido, M. Yoshikawa, T. Saiki, S. Tanaka, F. Terui, S. Nakazawa, T. Usui, M. Abe, T. Okada, T. Yada, M. Nishimura, A. Nakato, A. Miyazaki, K. Yogata, H. Yurimoto, T. Nakamura, T. Noguchi, R. Okazaki, H. Naraoka, K. Sakamoto, S. Tachibana, S. Watanabe, Y. Tsuda, Nat. Commun. **15**, 7488 (2024).
- [145] K. Nakayama, A. Tokuyama, K. Yamauchi, A. Moriya, T. Kato, K. Sugawara, S. Souma, M. KITAMURA, K. Horiba, H. Kumigashira, T. Oguchi, T. Takahashi, K. Segawa, T. Sato, Nature **631**, 54 (2024).
- [146] K. Shu, Y. Tajima, R. Uozumi, N. Miyamoto, S. Shiraishi, T. Kobayashi, A. Ishida, K. Yamada, R. Gladen, T. Namba, S. Asai, K. WADA, I. MOCHIZUKI, T. HYODO, K. Ito, K. Michishio, B. ORourke, N. Oshima, K. Yoshioka, Nature **633**, 793 (2024).
- [147] N. Imae, N. Tomioka, M. Uesugi, M. Kimura, A. Yamaguchi, M. Ito, R. Greenwood, T. Kawai, N. Shirai, T. OHIGASHI, C. Pilorget, J. Bibring, M. Liu, K. Uesugi, A. Nakato, K. Yogata, H. Yuzawa, Y. Kodama, M. Yasutake, K. Hirahara, A. Takeuchi, I. Sakurai, I. Okada, Y. Karouji, T. Yada, M. Abe, T. Usui, Meteorit. Planet. Sci. **59**, 1705 (2024).
- [148] R. Stroud, J. Barosch, L. Bonal, K. Burgess, G. Cody, B. Gregorio, L. Daly, E. Dartois, E. Dobrica, J. Duprat, C. Engrand, D. Harries, M. Hashiguchi, H. Ishii, Y. Kebukawa, A. Kilcoyne, F. Langenhorst, M. Lee, L. Nittler, E. Quirico, T. Okumura, L. Remusat, S. Sandford, H. Yabuta, M. Abe, N. Abreu, P. Bagot, P. Beck, L. Bejach, P. Bland, J. Bridges, B. Cymes, A. Dazzi, F. Pena, A. Denisetbesseau, S. Enju, Y. Enokido, D. Frank, J. Gray, M. Haruta, S. Hata, L. Hicks, Y. Igami, D. Jacob, K. Kamide, M. Komatsu, S. Laforet, H. Leroux, C. Guillou, Z. Martins, M. Marinova, J. Martinez, J. Mathurin, M. Matsumoto, T. Matsumoto, J. Matsuno, S. Mcfadzean, T. Michikami, I. Mitsukawa, A. Miyake, M. Miyahara, A. Miyazaki, G. Montagnac, S. Mostefaoui, T. Nakamura, A. Nakato, H. Naraoka, Y. Nakauchi, S. Nakazawa, M. Nishimura, T. Noguchi, K. Ohtaki, T. Ohigashi, T. Okada, S. Okumura, R. Okazaki, T. Phan, R. Rebois, K. Sakamoto, T. Saiki, H. Saito, Y. Seto, M. Shigenaka, W. Smith, H. Suga, M. Sun, S. Tachibana, Y. Takahashi, Y. Takeichi, A. Takeuchi, A. Takigawa, Y. Tamenori, S. Tanaka, F. Terui, M. Thompson, N. Tomioka, A. Tsuchiyama, Y. Tsuda, K. Uesugi, M. Uesugi, T. Usui, M. Verdier-Paoletti, D. WAKABAYASHI, S. Watanabe, T. Yada, S. YAMASHITA, M. Yasutake, K. Yogata, M. Yoshikawa, H. Yurimoto, P. Zanetta, T. Zega, M. Zolensky, Meteorit. Planet. Sci. **59**, 2023 (2024).
- [149] C. Pilorget, D. Baklouti, J. Bibring, R. Brunetto, M. Ito, I. Franchi, N. Tomioka, M. Uesugi, A. Yamaguchi, R. Greenwood, T. Okada, T. Usui, T. Yada, K. Hatakeyama, K. Yogata, D. Loizeau, T. Pivert-Jolivet, T. Jiang, J. Carter, V. Hamm, M. Abe, A. Aleon-Toppani, F. Borondics, Y. Enokido, Y. Hitomi, N. Imae, Y. Karouji, K. Kumagai, M. Kimura, Y. Langevin, C. Lantz, M. Liu, M. Mahlke, A. Miyazaki, Z. Mughal, K. Nagashima, A. Nakano, A. Nakata, A. Nakato, M. Nishimura, T. OHIGASHI, T. Ojima, F. Poulet, L. Riu, N. Shirai, Y. Sugiyama, R. Tahara, K. Uesugi, M. Yasutake, H. Yuzawa, A. Moussi-Soffys, S. Nakazawa, T. Saiki, F. Terui, M. Yoshikawa, S. Tanaka, S. Watanabe, Y. Tsuda, Nat. Astron. **8**, 1529 (2024).
- [150] M. Boutchich, K. FUKUMOTO, A. Mahmoudi, A. Jaffre, J. Alvarez, D. Alamarguy, C. Euaruksakul, F. Oehler, A. Ouerghi, ACS Appl. Electron. Mater. **6**, 6484 (2024).
- [151] K. MORI, K. Sato, T. Ogawa, A. Kuwabara, S. SONG, T. SAITO, T. Fukunaga, T. Abe, ACS Appl. Energy Mater. **7**, 7787 (2024).
- [152] F. Takeiri, K. Kusumoto, K. Kawai, H. Yaguchi, T. SAITO, K. MORI, S. Hosokawa, M. Okubo, G. Kobayashi, Chem. Commun. **60**, 14388 (2024).
- [153] S. Nakamura, K. Nishiwaki, M. TSUYUGUCHI, T. Kinoshita, S. Oishi, H. Ohno, I. Nakanishi, Chem. Pharm. Bull. **72**, 776 (2024).
- [154] V. Markmann, J. Pan, B. Hansen, M. Haubro, A. Nimmrich, P. Lenzen, M. Levantino, T. Katayama, S. ADACHI, S. Gorski-Bilke, F. Temps, A. Dohn, K. Moller, M. Nielsen, K. Haldrup, Chem. Sci. **15**, 11391 (2024).
- [155] T. Satoh, M. Yagi-Utsumi, N. Ishii, T. Mizushima, H. Yagi, R. KATO, Y. Tachida, H. Tateno, I. Matsuo, K. Kato, T. Suzuki, Y. Yoshida, FEBS Lett. **598**, 2259 (2024).
- [156] Y. Kebukawa, E. Quirico, E. Dartois, H. Yabuta, L. Bejach, L. Bonal, A. Dazzi, A. Deniset-Besseau, J.

- Duprat, C. Engrand, J. Mathurin, J. Barosch, G. Cody, B. Gregorio, M. Hashiguchi, K. Kamide, D. Kilcoyne, M. Komatsu, Z. Martins, G. Montagnac, S. Mostefaoui, L. Nittler, T. Ohigashi, T. Okumura, L. Remusat, S. Sandford, M. Shigenaka, R. Stroud, H. Suga, Y. Takahashi, Y. TAKEICHI, Y. Tamenori, M. Verdier-Paoletti, D. WAKABAYASHI, S. YAMASHITA, H. Yurimoto, T. Nakamura, T. Noguchi, R. Okazaki, H. Naraoka, K. Sakamoto, S. Tachibana, T. Yada, M. Nishimura, A. Nakato, A. Miyazaki, K. Yogata, M. Abe, T. Okada, T. Usui, M. Yoshikawa, T. Saiki, S. Tanaka, F. Terui, S. Nakazawa, S. Watanabe, Y. Tsuda, Meteorit. Planet. Sci. **59**, 1845 (2024).
- [157] E. Quirico, L. Bonal, Y. Kebukawa, K. Amano, H. Yabuta, V. Phan, P. Beck, L. Remusat, E. Dartois, C. Engrand, Z. Martins, L. Bejach, A. Dazzi, A. Deniset-Besseau, J. Duprat, J. Mathurin, G. Montagnac, J. Barosch, G. Cody, B. Gregorio, Y. Enokido, M. Hashiguchi, K. Kamide, D. Kilcoyne, M. Komatsu, M. Matsumoto, S. Mostefaoui, L. Nittler, T. Ohigashi, T. Okumura, S. Sandford, M. Shigenaka, R. Stroud, H. Suga, Y. Takahashi, Y. TAKEICHI, Y. Tamenori, M. Verdier-Paoletti, D. WAKABAYASHI, S. YAMASHITA, T. Nakamura, H. Naraoka, T. Noguchi, R. Okazaki, H. Yurimoto, K. Sakamoto, S. Tachibana, S. Watanabe, Y. Tsuda, T. Yada, M. Nishimura, A. Nakato, A. Miyazaki, K. Yogata, M. Abe, T. Okada, T. Usui, M. Yoshikawa, T. Saiki, S. Tanaka, F. Terui, S. Nakazawa, Meteorit. Planet. Sci. **59**, 1907 (2024).
- [158] M. Komatsu, H. Yabuta, Y. Kebukawa, L. Bonal, E. Quirico, T. Fagan, G. Cody, J. Barosch, L. Bejach, E. Dartois, A. Dazzi, B. Gregorio, A. Deniset-Besseau, J. Duprat, C. Engrand, M. Hashiguchi, Z. Martins, J. Mathurin, G. Montagnac, S. Mostefaoui, L. Nittler, T. Ohigashi, T. Okumura, L. Remusat, S. Sandford, R. Stroud, H. Suga, Y. Takahashi, Y. TAKEICHI, Y. Tamenori, M. Verdier-Paoletti, S. YAMASHITA, H. Yurimoto, T. Nakamura, T. Noguchi, R. Okazaki, H. Naraoka, K. Sakamoto, M. Yoshikawa, T. Saiki, S. Tanaka, F. Terui, S. Nakazawa, T. Usui, M. Abe, T. Okada, T. Yada, M. Nishimura, A. Nakato, A. Miyazaki, K. Yogata, S. Tachibana, S. Watanabe, Y. Tsuda, Meteorit. Planet. Sci. **59**, 2166 (2024).
- [159] T. Matsumoto, T. Noguchi, A. Miyake, Y. Igami, M. Matsumoto, T. Yada, M. Uesugi, M. Yasutake, K. Uesugi, A. Takeuchi, H. Yuzawa, T. OHIGASHI, T. Araki, Nat. Astron. **8**, 1536 (2024).
- [160] T. Awakawa, T. Mori, L. Barra, Y. Ahmed, R. Ushimaru, Y. Gao, N. ADACHI, T. SENDA, T. Terada, D. Tantillo, I. Abe, Nat. Catalysis **7**, 1099 (2024).
- [161] D. OKUYAMA, M. Bleuel, Q. Ye, J. Krzywon, N. Nagaosa, A. Kikkawa, Y. Taguchi, Y. Tokura, J. D. Reim, Y. Nambu, T. J. Sato, Neutron News **35**, 29 (2024).
- [162] T. Yokoyama, F. Matsui, H. ABE, T. Kinoshita, Synchrotron Radiat. News **37**(2), 43 (2024).
- [163] R. TAKAI, T. OBINA, M. TADANO, H. SAGEHASHI, M. SHIOZAWA, Proc. IBIC **2024**, 378 (2024).
- [164] N. Sunaguchi, T. Yuasa, D. Shimao, Z. Huang, S. Ichihara, R. Nishimura, A. Iwakoshi, J. Kim, R. Gupta, M. ANDO, International Journal of Computer Assisted Radiology and Surgery **19**, 153701 (2024).
- [165] K. Komaba, R. KUMAI, H. Goto, FUTURUM-Tsukuba Sci. J. **6**, 82 (2024).
- [166] 谷本 育律, 神谷 潤一郎, 山田 逸平, 加速器 **21**, 146 (2024).
- [167] 発生川 陽子, 富永 宇, 鈴木 政紀, 小林 嘉正, 高橋 嘉夫, 山下 翔平, Zolensky Michael, 日本地球化学会年会要旨集 **71**, 130 (2024).
- [168] 藤原 秀平, 岡本 敦, 吉田 一貴, 石井 友弘, 木村 正雄, 城戸 大貴, 日本地質学会学術大会講演要旨 **2024**, 8 (2024).
- [169] 坂下 福馬, 岡本 敦, 吉田 一貴, ダンダル オトゴン バヤル, 宇野 正起, 日本地質学会学術大会講演要旨 **2024**, 196 (2024).
- [170] 黄 卓然, 砂口 尚輝, 湯浅 哲也, 島雄 大介, 市原 周, 西村 理恵子, 岩越 朱里, J. Kim, R. Gupta, 安藤 正海, 計測自動制御学会論文集 **60**, 439 (2024).
- [171] 阪田 薫穂, 雨宮 健太, 表面技術 **75**, 403 (2024).
- [172] 高木 秀彰, ミルクサイエンス **73**, 118 (2024).
- [173] 竹谷 敏, 室町 実大, 村岡 道弘, 鈴木 清文, 天満 則夫, 平野 錠一, 兵藤 一行, 河本 正秀, 米山 明男, 日本エネルギー学会大会講演要旨集 **33**, 36 (2024).
- [174] C. Ooka, Y. Nakayasu, S. Sokabe, T. Yamada, N. Nagamura, K. OZAWA, M. Watanabe, ECS Meet. Abstr. **2024**, 4501 (2024).
- [175] D. NAITO, N. YAMAMOTO, T. TAKAHASHI, A. MOTOMURA, S. SAKANAKA, 日本加速器学会年会 **2024**, 131 (2024).
- [176] K. Sumi, Y. Ibaraki, T. Ichikawa, T. Iijima, K. Inami, S. Koji, A. Kondo, S. Sugiyama, K. Suzuki, K. Ueda, M. Yotsuzuka, S. Aritome, R. Matsushita, S. Oyama, T. Sato, K. FUTATSUKAWA, Y. IKEDO, K. ISHIDA, S. KAMIOKA, N. KAWAMURA, M. KIMURA, A. KODA, K. KOJIMA, T. MIBE, J. NAKAMURA, Y. OKAZAKI, M. OTANI, N. SAITO, K. SHIMOMURA, P. STRASSER, T. YAMAZAKI, M. YOSHIDA, H. Hara, Y. Imai, Y. Miyamoto, S. Uetake, S. Yamamoto, K. Hayasaka, Y. Sato, K. Yamura, H. Iinuma, M. Kuzuba, H. Sato, S. Kamal, Y. Kondo, Y. Nakazawa, S. Ogawa, Z. Shioya, Y. Takeuchi, M. Tanida, J. Tojo, M. Yamada, T. Yoshioka, X. Xie, 日本加速器学会年会 **2024**, 171 (2024).

- [177] S. YAMAMOTO, H. MIYAUCHI, 日本加速器学会年会 **2024**, 179 (2024).
- [178] Y. SHIMOSAKI, 日本加速器学会年会 **2024**, 285 (2024).
- [179] D. NAITO, N. YAMAMOTO, T. TAKAHASHI, A. MOTOMURA, S. SAKANAKA, 日本加速器学会年会 **2024**, 290 (2024).
- [180] C. MITSUDA, T. HONDA, T. NOGAMI, S. NAGAHASHI, T. UCHIYAMA, H. TAKAKI, K. HANAGAKI, Y. IKEGAMI, I. NAKAMURA, S. UNO, T. MORI, J. Maeda, 日本加速器学会年会 **2024**, 295 (2024).
- [181] N. HIGASHI, S. NAGAHASHI, C. MITSUDA, 日本加速器学会年会 **2024**, 301 (2024).
- [182] Y. Lu, M. Shimada, H. Miyauchi, T. OBINA, K. HARADA, Y. Takashima, M. Katoh, 日本加速器学会年会 **2024**, 356 (2024).
- [183] S. SHINOHARA, C. MITSUDA, D. NAITO, T. Okuda, T. Nakamura, 日本加速器学会年会 **2024**, 390 (2024).
- [184] K. MASE, R. Kanno, T. KIKUCHI, H. Nishiguchi, S. Ohno, 日本加速器学会年会 **2024**, 466 (2024).
- [185] N. YAMAMOTO, D. NAITO, T. TAKAHASHI, S. SAKANAKA, 日本加速器学会年会 **2024**, 475 (2024).
- [186] Y. Lu, M. Katoh, M. SHIMADA, H. MIYAUCHI, 日本加速器学会年会 **2024**, 480 (2024).
- [187] S. SAKANAKA, N. YAMAMOTO, D. NAITO, T. TAKAHASHI, A. MOTOMURA, R. TAKAI, 日本加速器学会年会 **2024**, 483 (2024).
- [188] H. SAGEHASHI, T. OBINA, 日本加速器学会年会 **2024**, 564 (2024).
- [189] M. SHIOZAWA, T. OBINA, T. Michikawa, 日本加速器学会年会 **2024**, 577 (2024).
- [190] O. TANAKA, M. YAMAMOTO, M. KURATA, 日本加速器学会年会 **2024**, 613 (2024).
- [191] N. HIGASHI, S. SHINOHARA, K. HARADA, T. OBINA, 日本加速器学会年会 **2024**, 713 (2024).
- [192] T. KIKUCHI, R. KATAOKA, H. TANAKA, D. WAKABAYASHI, T. OHIGASHI, H. ISHII, H. NITANI, K. MASE, 日本加速器学会年会 **2024**, 795 (2024).
- [193] N. NAKAMURA, 日本加速器学会年会 **2024**, 804 (2024).
- [194] N. NAKAMURA, 日本加速器学会年会 **2024**, 809 (2024).
- [195] S. Isoda, A. Tokuti, I. MOCHIZUKI, T. HYODO, K. WADA, 日本加速器学会年会 **2024**, 819 (2024).
- [196] M. YAMAMOTO, H. SAKAI, T. UCHIYAMA, S. NAGAHASHI, O. TANAKA, M. KURATA, T. TANIKAWA, Y. HONDA, N. HIGASHI, T. NOGAMI, 日本加速器学会年会 **2024**, 826 (2024).
- [197] M. SATO, Z. FANG, E. KADOKURA, T. KURIHARA, H. KOBAYASHI, T. SUGIMURA, F. NAITO, Y. FUKUI, K. FUTATSUKAWA, T. OBINA, H. Kumada, S. Tanaka, T. Ohba, N. Nagura, 日本加速器学会年会 **2024**, 843 (2024).
- [198] T. NOGAMI, T. HONDA, Y. TANIMOTO, T. UCHIYAMA, X. JIN, H. SASAKI, 日本加速器学会年会 **2024**, 1051 (2024).
- [199] D. TOMONO, Y. Yuri, Y. Morita, M. Fukuda, 日本加速器学会年会 **2024**, 1105 (2024).
- [200] T. OBINA, M. ADACHI, A. UEDA, T. UCHIYAMA, S. EGUCHI, T. OZAKI, T. KAGEYAMA, X. JIN, Y. KOBAYASHI, H. SAITO, S. SAKANAKA, H. SASAKI, H. SAGEHASHI, M. SHIOZAWA, T. SHIOYA, S. SHINOHARA, Y. SHIMOSAKI, R. TAKAI, H. TAKAKI, T. TAKAHASHI, M. TADANO, O. TANAKA, Y. TANIMOTO, T. TAHARA, M. TAWADA, K. TSUCHIYA, D. NAITO, S. NAGAHASHI, N. NAKAMURA, K. NIGORIKAWA, T. NOGAMI, K. HAGA, K. HARADA, N. HIGASHI, B. BIAN, T. HONDA, K. MARUTSUKA, C. MITSUDA, T. MIMASHI, H. MIYAUCHI, A. MOTOMURA, N. YAMAMOTO, M. YAMAMOTO, M. YOSHIDA, S. YOSHIMOTO, K. WATANABE, 日本加速器学会年会 **2024**, 1141 (2024).
- [201] K. Nogami, Y. Hayakawa, T. Sakai, Y. Takahashi, K. Hayakawa, T. Tanaka, Y. Sumitomo, N. Sei, H. EGO, S. MICHIZONO, K. TSUCHIYA, T. SUWADA, M. YOSHIDA, S. OHSAWA, S. FUKUDA, K. FURUKAWA, S. YAMAMOTO, T. SHINTOMI, A. ENOMOTO, 日本加速器学会年会 **2024**, 1188 (2024).
- [202] Z. FANG, M. SATO, T. SUGIMURA, T. KURIHARA, T. SHIBATA, K. FUTATSUKAWA, Y. FUKUI, S. MIZOBATA, F. NAITO, H. KOBAYASHI, T. MIURA, T. OBINA, C. KUBOTA, K. NANMO, H. Kumada, S. Tanaka, T. Ohba, N. Nagura, T. Toyoshima, H. Oguri, 日本加速器学会年会 **2024**, 1210 (2024).
- [203] M. Kando, Z. Jin, N. Nakanii, Y. Gu, K. Huang, S. YAMAMOTO, Z. Lei, S. Sato, T. Muto, H. MIYAUCHI, I. Daito, R. Alexandre, A. Zhidkov, T. Hosokai, 日本加速器学会年会 **2024**, THOA08 (2024).
- [204] T. Michikawa, M. Yamamoto, T. UCHIYAMA, 日本加速器学会年会 **2024**, 567 (2024).
- [205] S. Mukherjee, M. Kuriki, Z. Liptak, K. Date, H. Hayano, M. Fukuda, M. Kurata, N. Yamamoto, X. Jin, Y. Yamamoto, K. Sakaue, Proc. IPAC2024, Nashville, TN **2024**, 133 (2024).
- [206] T. Yamaguchi, N. YAMAMOTO, D. NAITO, T. TAKAHASHI, S. SAKANAKA, Nucl. Instrum. Methods Phys. Res. A. **1064**, 169449 (2024).
- [207] H. KAWATA, N. NAKAMURA, R. KATO, H. SAKAI, K. TSUCHIYA, Y. TANIMOTO, Y. HONDA, M. SHIMADA, T. TANIKAWA, O. TANAKA, T. OBINA,

- S. MICHIZONO, Proc. EUVXRAY Vienna, AUSTRIA
2024, ETh2A.3 (2024).
- [208] 満田 史織, 本田 融, 花垣 和則, 池上 勇一, 中村 勇,
放射光 **37**, 210 (2024).
 - [209] 下崎 義人, 放射光 **37**, 347 (2024).
 - [210] 東直, 放射光 **37**, 352 (2024).
 - [211] 東直, 放射光 **37**, 356 (2024).
 - [212] H. SAITO, T. Muto, S. Kashiwagi, F. Hinode, H. Hama,
Infrared Phys. Technol. **136**, 105076 (2024).

7. 登録論文の被引用数

PF の論文成果としてこれまでに登録された論文（20631 報）について、Scopus を元に 2024 年 7 月時点での被引用数を調査した。全期間、直近 10 年、および各年の登録論文において、被引用数の上位 10 位までにランクされる論文を以下に紹介する。

全期間の被引用数 Top10 (1983 ~ 2024 年)

論文タイトル	著者名	雑誌名	発行年	使用 BL	被引用数
Magnetic Control of Ferroelectric Polarization	T.Kimura, T.Goto, H.Shintani, K.Ishizaka, T.Arima and Y.Tokura	Nature	2003	4C	4347
Atomic Structure and Chemistry of Human Serum Albumin	X.M.He and D.C.Carter	Nature	1992	14A	3734
Ordered Nanoporous Arrays of Carbon Supporting High Dispersions of Platinum Nanoparticles	S.H.Joo, S.J.Choi, I.Oh, J.Kwak, Z.Liu, O.Terasaki and R.Ryoo	Nature	2001	10B	2468
P2-Type $\text{Na}_x[\text{Fe}_{1/2}\text{Mn}_{1/2}]\text{O}_2$ made from Earth-Abundant Elements for Rechargeable Na Batteries	N.Yabuuchi, M.Kajiyama, J.Iwatate, H.Nishikawa, S.Hitomi, R.Okuyama, R.Usui, Y.Yamada and S.Komaba	Nature Materials	2012	12C	2048
The Selective Autophagy Substrate P62 Activates the Stress Responsive Transcription Factor Nrf2 through Inactivation of Keap1	M.Komatsu, H.Kurokawa, S.Waguri, K.Taguchi, A.Kobayashi, Y.Ichimura, Y.-S.Sou, I.Ueno, A.Sakamoto, K.I.Tong, M.Kim, Y.Nishito, S.-I.Iemura, T.Natsume, T.Ueno, E.Kominami, H.Motohashi, K.Tanaka and M.Yamamoto	Nature Cell Biology	2010	NW12A	2041
Structure at 2.8 Å Resolution of Cytochrome c Oxidase from <i>Paracoccus denitrificans</i>	S.Iwata, C.Ostermeier, B.Ludwig and H.Michel	Nature	1995	6A	2020
The Whole Structure of the 13-Subunit Oxidized Cytochrome c Oxidase at 2.8 Å	T.Tsukihara, H.Aoyama, E.Yamashita, T.Tomizaki, H.Yamaguchi, K.Shinzawa-Itoh, R.Nakashima, R.Yaono and S.Yoshikawa	Science	1996	6A	1999
Highly Efficient Water Splitting into H_2 and O_2 over Lanthanum-Doped NaTaO_3 Photocatalysts with High Crystallinity and Surface Nanostructure	H.Kato, K.Asakura and A.Kudo	Journal of the American Chemical Society	2003	9A	1670
Inkjet Printing of Single-Crystal Films	H.Minemawari, T.Yamada, H.Matsui, J.Tsutsumi, S.Haas, R.Chiba, R.Kumai and T.Hasegawa	Nature	2011	8A	1658
Experimental Evidence for Epitaxial Silicene on Diboride Thin Films	A.Fleurence, R.Friedlein, T.Ozaki, H.Kawai, Y.Wang and Y.Yamada-Takamura	Physical Review Letters	2012	18A	1518

※被引用数は 2025 年 7 月 Scopus 調べ

直近 10 年の被引用数 Top10 (2015 ~ 2024 年)

論文タイトル	著者名	雑誌名	発行年	使用 BL	被引用数
Skyrmion Lattice with a Giant Topological Hall Effect in a Frustrated Triangular-Lattice Magnet	T.Kurumaji, T.Nakajima, M.Hirschberger, A.Kikkawa, Y.Yamasaki, H.Sagayama, H.Nakao, Y.Taguchi, T.-H.Arima and Y.Tokura	Science	2019	3A	558
Evidence for Magnetic Weyl Fermions in a Correlated Metal	K.Kuroda, T.Tomita, M.-T.Suzuki, C.Bareille, A.A.Nugroho, P.Goswami, M.Ochi, M.Ikhlas, M.Nakayama, S.Akebi, R.Noguchi, R.Ishii, N.Inami, K.Ono, H.Kumigashira, A.Varykhalov, T.Muro, T.Koretsune, R.Arita, S.Shin, T.Kondo and S.Nakatsuji	Nature Materials	2017	28A, 28B	537
Self-Assembly of Tetravalent Goldberg Polyhedra from 144 Small Components	D.Fujita, Y.Ueda, S.Sato, N.Mizuno, T.Kumasaka and M.Fujita	Nature	2016	1A	527
Sodium-Ion Intercalation Mechanism in MXene Nanosheets	S.Kajiyama, L.Szabova, K.Sodeyama, H.Iinuma, R.Morita, K.Gotoh, Y.Tateyama, M.Okubo and A.Yamada	ACS Nano	2016	9C	522
PLEKHM1 Regulates Autophagosome-Lysosome Fusion through HOPS Complex and LC3/GABARAP Proteins	D.G.McEwan, D.Popovic, A.Gubas, S.Terawaki, H.Suzuki, D.Stadel, F.P.Coxon, D.MirandadeStegmann, S.Bhogaraju, K.Maddi, A.Kirchof, E.Gatti, M.H.Helfrich, S.Wakatsuki, C.Behrends, P.Pierre and I.Dikic	MOLECULAR CELL	2015	5A	450
High-Capacity Electrode Materials for Rechargeable Lithium Batteries: Li ₃ NbO ₄ -Based System with Cation-Disordered Rocksalt Structure	N.Yabuuchi, M.Takeuchi, M.Nakayama, H.Shiiba, M.Ogawa, K.Nakayama, T.Ohta, D.Endo, T.Ozaki, T.Inamasu, K.Sato and S.Komaba	Proceedings of the National Academy of Science, USA	2015	9C	444
DWARF14 is a Non-Canonical Hormone Receptor for Strigolactone	R.Yao, Z.Ming, L.Yan, S.Li, F.Wang, S.Ma, C.Yu, M.Yang, L.Chen, L.Chen, Y.Li, C.Yan, D.Miao, Z.Sun, J.Yan, Y.Sun, L.Wang, J.Chu, S.Fan, W.He, H.Deng, F.Nan, J.Li, Z.Rao, Z.Lou and D.Xie	Nature	2016	NE3A	428
Dirac Fermions in Borophene	B.Feng, O.Sugino, R.-Y.Liu, J.Zhang, R.Yukawa, M.Kawamura, T.Iimori, H.Kim, Y.Hasegawa, H.Li, L.Chen, K.Wu, H.Kumigashira, F.Komori, T.-C.Chiang, S.Meng and I.Matsuda	Physical Review Letters	2017	2A, 2B	423
MXene as a Charge Storage Host	M.Okubo, A.Sugahara, S.Kajiyama and A.Yamada	Accounts of Chemical Research	2018	9C	391
Origin of Stabilization and Destabilization in Solid-State Redox Reaction of Oxide Ions for Lithium-Ion Batteries	N.Yabuuchi, M.Nakayama, M.Takeuchi, S.Komaba, Y.Hashimoto, T.Mukai, H.Shiiba, K.Sato, Y.Kobayashi, A.Nakao, M.Yonemura, K.Yamanaka, K.Mitsuhara and T.Ohta	Nature Communications	2016	12C	374

※被引用数は 2025 年 7 月 Scopus 調べ

2024 年出版

論文タイトル	著者名	雑誌名	使用 BL	被引用数
Observation of a Giant Band Splitting in Altermagnetic MnTe	T.Osumi S.Souma T.Aoyama, K.Yamauchi A.Honma K.Nakayama T.Takahashi, K.Ohgushi and T.Sato	Physical Review B	28A, 28B, 2A, 2B	102
High-Performance NIR Emission in Chromium-Doped Garnet Phosphors Enabled by Structure and Excitation Regulation	Z.Li, G.Zhu, S.Li, W.Xu, Q.Bian, Y.Cong, M.He, X.Luo, S.Xin and B.Dong	Laser and Photonics Reviews	9A	43
Multistep Topological Transitions among Meron and Skyrmion Crystals in a Centrosymmetric Magnet	H.Yoshimochi, R.Takagi, J.Ju, N.D.Khanh, H.Saito, H.Sagayama, H.Nakao, S.Itoh, Y.Tokura, T.Arima, S.Hayami, T.Nakajima and S.Seki	Nature Physics	3A	32
Fucoidan from Brown Seaweed <i>Tubinaria Decurrens</i> : Structure and Structure - Anticancer activity Relationship	A.N.Nguyen, Q.Van Ngo, T.T.M.Quach, S.Ueda, Y.Yuguchi, Y.Matsumoto, S.Kitamura, C.D.Ho and T.T.T.Thanh	International Journal of Biological Macromolecules	6A	20
Analysis of Nanomaterial Biocoronas in Biological and Environmental Surroundings	P.Zhang, M.Cao, A.J.Chetwynd, K.Faserl, F.Abdolahpur Monikh, W.Zhang, R.Ramautar, L.-J.A.Ellis, H.H.Davoudi, K.Reilly, R.Cai, K.E.Wheeler, D.S.T.Martinez, Z.Guo, C.Chen and I.Lynch	Nature Protocols	11B, 12C	19
Highly Effective Photocatalytic Degradation of Plastic Film (LDPE) using Ruthenium-Incorporated g-C3N4 via the Norrish Mechanism	L.A.Ningsih, P.-Y.Lu, S.Ashimura, M.Yoshida, W.-C.Chen, Y.-C.Chiu and C.Hu	Chemical Engineering Journal	12C	19
High Proton Conduction in the Octahedral Layers of Fully Hydrated Hexagonal Perovskite-Related Oxides	K.Matsuzaki, K.Saito, Y.Ikeda, Y.Nambu and M.Yashima	Journal of the American Chemical Society	4B2	15
Effects of Thiophene-Fused Isomer on High-Layered Crystallinity in π -Extended and Alkylated Organic Semiconductors	T.Higashino, S.Inoue, S.Arai, S.Tsuzuki, H.Matsui, R.Kumai, K.Takaba, S.Maki-Yonekura, H.Kurokawa, I.Inoue, K.Tono, K.Yonekura and T.Hasegawa	Chemistry of Materials	7C, 8A	15
Unraveling Non-Uniform Strain-Induced Crystallization Near a Crack Tip in Natural Rubber	T.-T.Mai, T.Yasui, R.Tanaka, H.Masunaga, T.Kabe, K.Tsunoda, S.Sakurai and K.Urayama	Advanced Science	15A2	14
Understanding the Effects of Ethanol on the Liposome Bilayer Structure using Microfluidic-Based Time-Resolved Small-Angle X-ray Scattering and Molecular Dynamics Simulations	M.Maeki, N.Kimura Y.Okada, K.Shimizu, K.Shibata, Y.Miyazaki, A.Ishida, K.Yonezawa, N.Shimizu, W.Shinoda and M.Tokeshi	Nanoscale Advances	15A2	13
Unlocking Electrode Performance of Disordered Rocksalt Oxides Through Structural Defect Engineering and Surface Stabilization with Concentrated Electrolyte	Y.Zhang, Y.Ugata, B.L.Campéon and N.Yabuuchi	Advanced Energy Materials	12C	13
Development of Polymer-Lipid Hybrid Nanoparticles for Large-Sized Plasmid DNA Transfection	M.Maeki, S.Uno, K.Sugiura, Y.Sato, Y.Fujioka, A.Ishida, Y.Ohba, H.Harashima and M.Tokeshi	ACS Applied Materials and Interfaces	15A2	13
Close Stacking of Antiaromatic Ni(II) Norcorrole Originating from a Four-Electron Multicentered Bonding Interaction	S.Kino, S.Ukai, N.Fukui, R.Haruki, R.Kumai, Q.Wang, S.Horike, Q.M.Phung, D.Sundholm and H.Shinokubo	Journal of the American Chemical Society	8A	13

※被引用数は 2025 年 7 月 Scopus 調べ

2023 年出版

論文タイトル	著者名	雑誌名	使用 BL	被引用数
Formation and Evolution of Carbonaceous Asteroid Ryugu: Direct Evidence from Returned Samples	T.Nakamura <i>et.al.</i> ,	Science	3A, 19A	210
Macromolecular Organic Matter in Samples of the Asteroid (162173) Ryugu	H.Yabuta <i>et.al.</i> ,	Science	19A, 19B	87
Impact of Ti and Zn Dual-Substitution in P2 Type $\text{Na}_{2/3}\text{Ni}_{1/3}\text{Mn}_{2/3}\text{O}_2$ on Ni–Mn and Na-Vacancy Ordering and Electrochemical Properties	K.Kubota, T.Asari and S.Komaba	Advanced Materials	12C	87
Evolution of Short-Range Order and Its Effects on the Plastic Deformation Behavior of Single Crystals of the Equiatomic Cr-Co-Ni Medium-Entropy Alloy	L.Li, Z.Chen, S.Kuroiwa, M.Ito K.Yuge, K.Kishida, H.Tanimoto, Y.Yu, H.Inui and E.P.George	Acta Materialia	12C	78
NH ₄ Cl-Assisted Preparation of Single Ni Sites Anchored Carbon Nanosheet Catalysts for Highly Efficient Carbon Dioxide Electroreduction	D.Ping, F.Yi G.Zhang, S.Wu, S.Fang, K.Hu, B.B.Xu, J.Ren and Z.Guo	Journal of Materials Science and Technology	12C	69
Strain-Induced Crystallization and Phase Separation used for Fabricating a Tough and Stiff Slide-Ring Solid polymer Electrolyte	K.Hashimoto, T.Shiwaku, H.Aoki, H.Yokoyama, K.Mayumi and K.Ito	Science Advances	10C	61
Highly Efficient and Stable Photothermal Catalytic CO ₂ Hydrogenation to Methanol over Ru/In ₂ O ₃ under Atmospheric Pressure	B.Deng H.Song, Q.Wang, J.Hong, S.Song, Y.Zhang, K.Peng, H.Zhang, T.Kako and J.Ye	Applied Catalysis B: Environmental	NW10A	54
A near Dimensionally Invariable High-Capacity Positive Electrode Material	I. Konuma, D.Goonetilleke, N.Sharma, T.Miyuki, S.Hiroi, K.Obara, Y.Yamakawa, Y.Morino, H.B.Rajendra, T.Ishigaki and N.Yabuuchi	Nature Materials	9C	50
Platinum Nanosheets Synthesized via Topotactic Reduction of Single-Layer Platinum Oxide Nanosheets for Electrocatalysis	D.Takimoto, S.Toma, Y.Suda, T.Shirokura, Y.Tokura, K.Fukuda, M.Matsumoto, H.Imai and W.Sugimoto	Nature Communications	6C	46
Chloride Ligands on DNA-Stabilized Silver Nanoclusters	A.González-Rosell, S.Malola, R.Guha, N.R.Arevalos, M.F.Matus, M.E.Goulet, E.Haapaniemi, B.B.Katz B.B, T.Vosch, J.Kondo, H.Häkkinen and S.M.Copp	Journal of the American Chemical Society	17A	43

※被引用数は 2025 年 7 月 Scopus 調べ

2022 年出版

論文タイトル	著者名	雑誌名	使用 BL	被引用数
Virological Characteristics of the SARS-CoV-2 Omicron BA.2 Subvariants, Including BA.4 and BA.5	I.Kimura, <i>et.al.</i> ,	Cell	17A	184
Discovery of Non-Squalene Triterpenes	H.Tao, L.Lauterbach, G.Bian, R.Chen, A.Hou, T.Mori, S.Cheng, B.Hu, L.Lu, X.Mu, M.Li, N.Adachi, M.Kawasaki, T.Moriya, T.Senda, X.Wang, Z.Deng, I.Abe, J.S.Dickschat and T.Liu	Nature	1A	109
3CL Protease Inhibitors with an Electrophilic Arylketone Moiety as Anti-SARS-CoV-2 Agents	S.Konno, K.Kobayashi, M.Senda, Y.Funai, Y.Seki, I.Tamai, L.Schäkel, K.Sakata, T.Pillaiyar, A.Taguchi, A.Taniguchi, M.Gütschow, C.E.Müller, K.Takeuchi, M.Hirohama, A.Kawaguchi, M.Kojima, T.Senda, Y.Shirasaka, W.Kamitani and Y.Hayashi	Journal of Medicinal Chemistry	17A	104
High-Entropy Intermetallics Serve Ultrastable Single-Atom Pt for Propane Dehydrogenation	Y.Nakaya, E.Hayashida, H.Asakura, S.Takakusagi, S.Yasumura, K.-I.Shimizu and S.Furukawa	Journal of the American Chemical Society	9A	101
Coexistence of Fe Nanoclusters Boosting Fe Single Atoms to Generate Singlet Oxygen for Efficient Aerobic Oxidation of Primary Amines to Imines	Z.Ma, S.Liu, N.Tang, T.Song, K.Motokura, Z.Shen and Y.Yang	ACS Catalysis	9C	98
Nanoengineering of Curved Supramolecular Polymers: Toward Single-Chain Mesoscale Materials	S.Datta, S.Takahashi and S.Yagai	Accounts of Materials Research	10C	72
Zoology of Multiple-Q Spin Textures in a Centrosymmetric Tetragonal Magnet with Itinerant Electrons	N.D.Khanh, T.Nakajima, S.Hayami, S.Gao, Y.Yamasaki, H.Sagayama, H.Nakao, R.Takagi, Y.Motome, Y.Tokura, T.-H.Arima and S.Seki	Advanced Science	3A	72
Structural Changes of Spinel $M\text{Co}_2\text{O}_4$ ($M = \text{Mn, Fe, Co, Ni, and Zn}$) Electrocatalysts during the Oxygen Evolution Reaction Investigated by <i>in Situ</i> X-Ray Absorption Spectroscopy	M.Harada, Kotegawa and M.Kuwa	ACS Applied Energy Materials	9C	71
Glassy Thermal Conductivity in $\text{Cs}_3\text{Bi}_2\text{I}_6\text{Cl}_3$ Single Crystal	P.Acharyya, T.Ghosh, K.Pal, K.S.Rana, M.Dutta, D.Swain, M.Etter, A.Soni, U.V.Waghmare and K.Biswas	Nature Communications	18B	65
Cooperative Catalysis of vibrationally excited CO_2 and Alloy Catalyst Breaks the Thermodynamic Equilibrium Limitation	D.-Y.Kim, H.Ham, X.Chen, S.Liu, H.Xu, B.Lu, S.Furukawa, H.-H.Kim, S.Takakusagi, K.Sasaki and T.Nozaki	Journal of the American Chemical Society	9A, NW10A	64

※被引用数は 2025 年 7 月 Scopus 調べ

2021 年出版

論文タイトル	著者名	雑誌名	使用 BL	被引用数
Co Single Atoms in ZrO ₂ with Inherent Oxygen Vacancies for Selective Hydrogenation of CO ₂ to CO	N.H.M.D.Dostagir, R.Rattanawan, M.Gao, J.Ota, J.-Y.Hasegawa, K.Asakura, A. Fukouka and A.Shotri	ACS Catalysis	9C	196
Evidence for a Higher-Order Topological Insulator in a Three-Dimensional Material Built from Van Der Waals Sacking of Bismuth-Halide Chains	R.Noguchi, M.Kobayashi, Z.Jiang, K.Kuroda, T.Takahashi, Z.Xu, D.Lee, M.Hirayama, M.Ochi, T.Shirasawa, P.Zhang, C.Lin, C.Bareille, S.Sakuragi, H.Tanaka, S.Kunisada, K.Kurokawa, K.Yaji, A.Harasawa, V.Kandyba, A.Giampietri, A.Barinov, T.K.Kim, C.Cacho, M.Hashimoto, D.Lu, S.Shin, R.Arita, K.Lai, T.Sasagawa and T.Kondo	Nature Materials	3A	128
Humoral Immune Response to Circulating SARS-CoV-2 Variants Elicited by Inactivated and RBD-Subunit Vaccines	Y.Cao, A.Yisimayi, Y.Bai, W.Huang, X.Li, Z.Zhang, T.Yuan, R.An, J.Wang, T.Xiao, S.Du, W.Ma, L.Song, Y.Li, X.Li, W.Song, J.Wu, S.Liu, X.Li, Y.Zhang, B.Su, X.Guo, Y.Wei, C.Gao, N.Zhang, Y.Zhang, Y.Dou, X.Xu, R.Shi, B.Lu, R.Jin, Y.Ma, C.Qin, Y.Wang, Y.Feng, J.Xiao and X.S.Xie	Cell Research	1A	125
Multiple Energy Scales and Anisotropic Energy Gap in the Charge-Density-Wave Phase of the Kagome Superconductor CsV ₃ Sb ₅	K.Nakayama, Y.Li, T.Kato, M.Liu, Z.Wang, T.Takahashi, Y.Yao and T.Sato	Physical Review B	28A	118
Influence of Phosphorus Doping on Triazole-Based g-C ₃ N ₄ Nanosheets for Enhanced Photoelectrochemical and Photocatalytic Performance	C.Hu, Y.-H.Lin, M.Yoshida and S.Ashimura	ACS Applied Materials and Interfaces	7A,9A	118
Metavalent Bonding in GeSe Leads to High Thermoelectric Performance	D.Sarkar, S.Roychowdhury, R.Arora, T.Ghosh, A.Vasdev, B.Joseph, G.Sheet, U.V.Waghmare and K.Biswas	Angewandte Chemie - International Edition	18B	86
Dissociative and Associative Concerted Mechanism for Ammonia Synthesis over Co-Based Catalyst	T.-N.Ye, S.-W.Park, Y.Lu, J.Li, J.Wu, M.Sasase, M.Kitano and H.Hosono	Journal of the American Chemical Society	12C	82
Ammonia Decomposition over CaNH-Supported Ni Catalysts via an NH ₂ -Vacancy-Mediated Mars-van Krevelen Mechanism	K.Ogasawara, T.Nakao, K.Kishida, T.-N.Ye, Y.Lu, H.Abe, Y.Niwa, M.Sasase, M.Kitano and H.Hosono	ACS Catalysis	12C	78
Robust Charge-Density Wave Strengthened by Electron Correlations in Monolayer 1T-TaSe ₂ and 1T-NbSe ₂	Y.Nakata, K.Sugawara, A.Chainani, H.Oka, C.Bao, S.Zhou, P.-Y.Chuang, C.-M.Cheng, T.Kawakami, Y.Saruta, T.Fukumura, S.Zhou T.Takahashi and T.Sato	Nature Communications	28A, 28B	72
Impact of Mg and Ti Doping in O ₃ type NaNi _{1/2} Mn _{1/2} O ₂ on Reversibility and Phase Transition during Electrochemical Na Intercalation	K.Kubota, N.Fujitani, Y.Yoda, K.Kuroki, Y.Tokita and S.Komaba	Journal of Materials Chemistry A	12C	70

※被引用数は 2025 年 7 月 Scopus 調べ

2020 年出版

論文タイトル	著者名	雑誌名	使用 BL	被引用数
Nanometric Square Skyrmion Lattice in a Centrosymmetric Tetragonal Magnet	N.D.Khanh, T.Nakajima, X.Tu, S.Gao, K.Shibata, M.Hirschberger, Y.Yamasaki, H.Sagayama, H.Nakao, H., L.Peng, K.Nakajima, R.Takagi, T.Arima, Y.Tokura and S.Seki	Nature Nanotechnology	3A	275
Mechanism of Sodium Storage in Hard Carbon: An X-Ray Scattering Analysis	Y.Morikawa, S.-I.Nishimura, R.-I.Hashimoto, M.Ohnuma and A.Yamada	Advanced Energy Materials	8B	261
Mn ²⁺ Directly Activates cGAS and Structural Analysis Suggests Mn ²⁺ Induces a Noncanonical Catalytic Synthesis of 2'3'-cGAMP	Z.Zhao, Z.Ma, B.Wang, Y.Guan, X.-D.Su and Z.Jiang	Cell Reports	1A	230
Versatile Whole-Organ/Body Staining and Imaging Based on Electrolyte-Gel Properties of Biological Tissues	E. A.Susaki, C.Shimizu, A.Kuno, K.Tainaka, X.Li, K.Nishi, K.Morishima, H.Ono, K.L.Ode, Y.Saeki, K.Miyamichi, K.Isa, C.Yokoyama, H.Kitaura, M.Ikemura, T.Ushiku, Y.Shimizu, T.Saito, T.C.Saido, M.Fukayama, H.Onoe, K.Touhara, T.Isa, A.Kakita, M.Shibayama and H.R.Ueda	Nature Communications	10C	150
CH7233163 Overcomes Osimertinib-Resistant EGFR-Del19/T790M/C797S Mutation	K.Kashima, H.Kawauchi, H.Tanimura, Y.Tachibana, T.Chiba, T.Torizawa and H.Sakamoto	Molecular Cancer Therapeutics	17A	135
Intrinsically Ultralow Thermal Conductivity in Ruddlesden-Popper 2D Perovskite Cs _x PbI _x Cl _{3-x} : Localized Anharmonic Vibrations and Dynamic Octahedral Distortions	P.Acharyya, T.Ghosh, K.Pal, K.Kundu, K.Singh Rana, J.Pandey, A.Soni, U.V.Waghmare and K.Biswas	Journal of the American Chemical Society	18B	131
Stable Single Platinum Atoms Trapped in Sub-Nanometer Cavities in 12CaO·7Al ₂ O ₃ for Chemoselective Hydrogenation of Nitroarenes	T.-N.Ye, Z.Xiao, J.Li, Y.Gong, H.Abe, Y.Niwa, M.Sasase, M.Kitano and H.Hosono	Nature Communications	12C	129
Sulfur-Doped g-C ₃ N ₄ Nanosheets for Photocatalysis: Z-scheme Water Splitting and Decreased Biofouling	Y.-R.Lin, G.V.C. Dizon, K.Yamada, C.-Y.Liu, A.Venault, H.-Y.Lin, M.Yoshida and C.Hu	Journal of Colloid and Interface Science	9A	120
Radial Spin Texture in Elemental Tellurium with Chiral Crystal Structure	M.Sakano, M.Hirayama T.Takahashi, S.Akebi, M.Nakayama, K.Kuroda, K.Taguchi, T.Yoshikawa, K.Miyamoto T.Okuda, K.Ono, H.Kumigashira, T.Ideue, Y.Iwasa, N.Mitsuishi, K.shizaka, S.Shin, T.Miyake, S.Murakami T.Sasagawa and T.Kondo.	Physical Review Letters	28A, 28B	117
Single-Atom Catalysts Supported by Crystalline Porous Materials: Views from the Inside	T.Zhang, Z.Chen, A.G.Walsh, Y.Li and P.Zhang	Advanced Materials	9C	113

※被引用数は 2025 年 7 月 Scopus 調べ

2019 年出版

論文タイトル	著者名	雑誌名	使用 BL	被引用数
Skyrmion Lattice with a Giant Topological Hall Effect in a Frustrated Triangular-Lattice Magnet	T.Kurumaji, T.Nakajima, M.Hirschberger, A.Kikkawa, Y.Yamasaki, H.Sagayama, H.Nakao, Y.Taguchi, T.-H.Arima and Y.Tokura	Science	3A	558
Atg2 Mediates Direct Lipid Transfer between Membranes for Autophagosome Formation	T.Osawa, T.Kotani, T.Kawaoka, E.Hirata, K.Suzuki, H.Nakatogawa, Y.Ohsumi and N.N.Noda	Nature Structural & Molecular Biology	1A,17A	334
Skyrmion Phase and Competing Magnetic Orders on a Breathing Kagomé Lattice	M.Hirschberger, T.Nakajima, S.Gao, L.Peng, A.Kikkawa, T.Kurumaji, M.Kriener, Y.Yamasaki, H.Sagayama, H.Nakao and K.Ohishi	Nature Communications	3A	293
Observation of Chiral Fermions with a Large Topological Charge and Associated Fermi-Arc Surface States in CoSi	D.Takane, Z.Wang, S.Souma, K.Nakayama, T.Nakamura, H.Oinuma, Y.Nakata, H.Iwasawa, C.Cacho, T.Kim, K.Horiba, H.Kumigashira, T.Takahashi, Y.Ando and T.Sato	Physical Review Letters	2A	256
Natural Van Der Waals Heterostructural Single Crystals with both Magnetic and Topological Properties	J.Wu, F.Liu, M.Sasase, K.Jenaga, Y.Obata, R.Yukawa, K.Horiba, H.Kumigashira, S.Okuma, T.Inoshita and H.Hosono	Science Advances	2A	227
An Al-Doped SrTiO ₃ Photocatalyst Maintaining Sunlight-Driven Overall Water Splitting Activity for over 1000 h of Constant Illumination	H.Lyu, T.Hisatomi, Y.Goto, M.Yoshida, T.Higashi, M.Katayama, T.Takata, T.Minegishi, H.Nishiyama, T.Yamada, Y.Sakata, K.Asakura and K.Domen	Chemical Science	NW10A	207
Structural Basis for Blue-Green Light Harvesting and Energy Dissipation in Diatoms	W.Wang, L.-J.Yu, C.Xu, T.Tomizaki, S.Zhao, Y.Umena, X.Chen, X.Qin, Y.Xin, M.Suga, G.Han, T.Kuang and J.-R. Shen	Science	1A	199
Boosting Electrochemical Water Splitting: via Ternary NiMoCo Hybrid nanowire Arrays	K.Hu, M.Wu, S.Hinokuma, T.Ohoto, M.Wakisaka, J.-I.Fujita and Y.Ito	Journal of Materials Chemistry A	9C	199
Low-Temperature Synthesis of Perovskite Oxynitride-Hydrides as Ammonia Synthesis Catalysts	M.Kitano, J.Kujirai, K.Ogasawara, S.Matsuishi, T.Tada, H.Abe, Y.Niwa and H.Hosono	Journal of the American Chemical Society	NW10A	153
Negative Dielectric Constant of Water Confined in Nanosheets	A.Sugahara, Y.Ando, S.Kajiyama, K.Yazawa, K.Gotoh, M.Otani, M.Okubo and A.Yamada	Nature Communications	9C	148

※被引用数は 2025 年 7 月 Scopus 調べ

2018 年出版

論文タイトル	著者名	雑誌名	使用 BL	被引用数
MXene as a Charge Storage Host	M.Okubo, A.Sugahara, S.Kajiyama and A.Yamada	Accounts of Chemical Research	9C	391
Ternary Intermetallic LaCoSi as a Catalyst for N ₂ Activation	Y.Gong, J.Wu, M.Kitano, J.Wang, T.-N. Ye, J.Li, Y.Kobayashi, K.Kishida, H.Abe, Y.Niwa, H.Yang, T.Tada and H.Hosono	Nature Catalysis	12C	249
The Smart Surface Modification of Fe ₂ O ₃ by WO _x for Significantly Promoting the Selective Catalytic Reduction of NO _x with NH ₃	F.Liu, W.Shan, Z.Lian, J.Liu and H.He	Applied Catalysis B-Environmental	9C, 12C, NW10A	215
Scaling Up Electronic Spin Qubits into a Three-Dimensional Metal-Organic Framework	T.Yamabayashi, M.Atzori, L.Tesi, G.Cosquer, F.Santanni, M.-E.Boulon, E.Morra, S.Benci, R.Torre, M.Chiesa, L.Sorace, R.Sessoli and M.Yamashita	Journal of the American Chemical Society (J. Am. Chem. Soc.)	NW2A	155
Dynamic Ionic Crosslinks Enable High Strength and Ultrastretchability in a Single Elastomer	Y.Miwa, J.Kurachi, Y.Kohbara and S.Kutsumizu	Communications Chemistry	6A	145
Structure of Photosynthetic LH1-RC Supercomplex at 1.9 Å Resolution	L.J.Yu, M.Suga, Z.Y.Wang-Otomo and J.R.Shen	Nature	1A	133
Optically Transparent, High-Toughness Elastomer using a Polyrotaxane Cross-Linker as a Molecular Pulley	H.Gotoh, C.Liu, A.B.Imran, M.Hara, T.Seki, K.Mayumi, K.Ito and Y.Takeoka	Science Advances	6A	133
Structural Analyses of Toll-like Receptor 7 Reveal Detailed RNA Sequence Specificity and Recognition Mechanism of Agonistic Ligands	Z.Zhang, U.Ohto, T.Shibata, M.Taoka, Y.Yamauchi, R.Sato, N.M.Shukla, S.A.David, T.Isobe, K.Miyake and T.Shimizu	Cell Reports	NE3A,5A	122
Structural Basis for Amino Acid Transport by the CAT Family of SLC7 Transporters	K.E.J.Jungnickel, J.L.Parker and S.Newstead	Nature Communications	1A	113
Toll-like Receptor 9 Contains Two DNA Binding Sites that Function Cooperatively to Promote Receptor Dimerization and Activation	U.Ohto, H.Ishida, T.Shibata, R.Sato, K.Miyake and T.Shimizu	Immunity	NE3A	110

※被引用数は 2025 年 7 月 Scopus 調べ

2017 年出版

論文タイトル	著者名	雑誌名	使用 BL	被引用数
Evidence for Magnetic Weyl Fermions in a Correlated Metal	K.Kuroda, T.Tomita, M.T.Suzuki, C.Bareille, A.A.Nugroho, P.Goswami, M.Ochi, M.Ikhlas, M.Nakayama, S.Akebi, R.Noguchi, R.Ishii, N.Inami, K.Ono, H.Kumigashira, A.Varykhalov, T.Muro, T.Koretsune, R.Arita, S.Shin, T.Kondo and S.Nakatsuji	Nature Materials	28A,28B	537
Dirac Fermions in Borophene	B.Feng, O.Sugino, R.-Y.Liu, J.Zhang, R.Yukawa, M.Kawamura, T.Iimori, H.Kim, Y.Hasegawa, H.Li, L.Chen, K.Wu, H.Kumigashira, F.Komori, T.-C.Chiang, S.Meng and I.Matsuda	Physical Review Letters	2A,2B	423
Enhanced Li-Ion Accessibility in MXene Titanium Carbide by Steric Chloride Termination	S.Kajiyama, L.Szabova, H.Iinuma, A.Sugahara, K.Gotoh, K.Sodeyama, Y.Tateyama, M.Okubo and A.Yamada	Advanced Energy Materials	9C	275
Phosphorylation of the Mitochondrial Autophagy Receptor Nix Enhances its Interaction with LC3 Proteins	V.V.Rogov, H.Suzuki, M.Marinković, V.Lang, R.Kato, M.Kawasaki, M.Buljubašić, M.Šprung, N.Rogova, S.Wakatsuki, A.Hamacher-Brady, V.Dötsch, I.Dikic, N.R.Brady and I.Novak	Scientific Reports	NW12A	241
A Metallo-DNA Nanowire with Uninterrupted One-Dimensional Silver Array	J.Kondo, Y.Tada, T.Dairaku, Y.Hattori, H.Saneyoshi, A.Ono and Y.Tanaka	Nature Chemistry	5A, 1A	187
Platinum Clusters with Precise Numbers of Atoms for Preparative-Scale Catalysis	T.Imaoka, Y.Akanuma, N.Haruta, S.Tsuchiya, K.Ishihara, T.Okayasu, W.-J.Chun, M.Takahashi and K.Yamamoto	Nature Communications	12C, 9A	153
Structure of the Complete Elongation Complex of RNA Polymerase II with Basal Factors	H.Ehara, T.Yokoyama, H.Shigematsu, S.Yokoyama, M.Shirouzu and S.I.Sekine	Science	NE3A	152
P'2-Na _{2/3} Mn _{0.9} Me _{0.1} O ₂ (Me = Mg, Ti, Co, Ni, Cu, and Zn): Correlation between Orthorhombic Distortion and Electrochemical Property	S.Kumakura, Y.Tahara, S.Sato, K.Kubota and S.Komaba	Chemistry of Materials	9C	146
Structure of the Dnmt1 Reader Module Complexed with a Unique Two-Mono-Ubiquitin Mark on Histone H3 Reveals the Basis for DNA Methylation Maintenance.	S.Ishiyama, A.Nishiyama, Y.Saeki, K.Moritsugu, D.Morimoto, L.Yamaguchi, N.Arai, R.Matsumura, T.Kawakami, Y.Mishima, H.Hojo, S.Shimamura, F.Ishikawa, S.Tajima, K.Tanaka, M.Ariyoshi, M.Shirakawa, M.Ikeguchi, A.Kidera, I.Suetake, K.Arita and M.Nakanishi	Molecular Cell	17A	135
Enhanced Layered-Herringbone Packing due to Long Alkyl Chain Substitution in Solution-Processable Organic Semiconductors	H.Minemawari, M.Tanaka, S.Tsuzuki, S.Inoue, T.Yamada, R.Kumai, Y.Shimoi and T.Hasegawa	Chemistry of Materials	8A,8B	133

※被引用数は 2025 年 7 月 Scopus 調べ

2016 年出版

論文タイトル	著者名	雑誌名	使用 BL	被引用数
Self-Assembly of Tetravalent Goldberg Polyhedra from 144 Small Components	D.Fujita, Y.Ueda, S.Sato, N.Mizuno, T.Kumasaka and M.Fujita	Nature	1A	527
Sodium-Ion Intercalation Mechanism in MXene Nanosheets	S.Kajiyama, L.Szabova, K.Sodeyama, H.Iinuma, R.Morita, K.Gotoh, Y.Tateyama, M.Okubo and A.Yamada	ACS Nano	9C	522
DWARF14 is a Non-Canonical Hormone Receptor for Strigolactone	R.Yao, Z.Ming, L.Yan, S.Li, F.Wang, S.Ma, C.Yu, M.Yang, L.Chen, L.Chen, Y.Li, C.Yan, D.Miao, Z.Sun, J.Yan, Y.Sun, L.Wang, J.Chu, S.Fan, W.He, H.Deng, F.Nan, J.Li, Z.Rao, Z.Lou and D.Xie	Nature	NE3A	428
Origin of Stabilization and Destabilization in Solid-State Redox Reaction of Oxide Ions for Lithium-Ion Batteries	N.Yabuuchi, M.Nakayama, M.Takeuchi, S.Komaba, Y.Hashimoto, T.Mukai, H.Shiiba, K.Sato, Y.Kobayashi, A.Nakao, M.Yonemura, K.Yamanaka, K.Mitsuhara and T.Ohta	Nature Communications	12C	374
Structural Analysis Reveals that Toll-Like Receptor 7 is a Dual Receptor for Guanosine and Single-Stranded RNA	Z.Zhang, U.Ohto, T.Shibata, E.Krayukhina, M.Taoka, Y.Yamauchi, H.Tanji, T.Isobe, S.Uchiyama, K.Miyake and T.Shimizu	Immunity	NE3A	345
Self-Assembly of $M_{30}L_{60}$ Icosidodecahedron	D.Fujita, Y.Ueda, S.Sato, H.Yokoyama, N.Mizuno, T.Kumasaka and M.Fujita	Chem	1A	257
Intermediate Honeycomb Ordering to Trigger Oxygen Redox Chemistry in Layered Battery Electrode	B.M.de Boisse, G.Liu, J.Ma, S.Nishimura, S.Chung, H.Kiuchi, Y.Harada, J.Kikkawa, Y.Kobayashi, M.Okubo and A.Yamada	Nature Communications	8B	255
SARS-CoV 3CL Protease Cleaves its C-Terminal Autoprocessing Site by Novel Subsite Cooperativity	T.Muramatsu, C.Takemoto, Y.-T.Kim, H.Wang, W.Nishii, T.Terada, M.Shirouzu and S.Yokoyama	Proceedings of the National Academy of Sciences of the United States of America	NW12A, 5A	208
Quantum Hall Effect in a Bulk Antiferromagnet EuMnBi ₂ with Magnetically Confined Two-Dimensional Dirac Fermions	H.Masuda, H.Sakai, M.Tokunaga, Y.Yamasaki, A.Miyake, J.Shiogai, S.Nakamura, S.Awaji, A.Tsukazaki, H.Nakao, Y.Murakami, T.-H.Arima, Y.Tokura and S.Ishiwata	Science Advances	3A	193
Synthesis of Highly Coke Resistant Ni Nanoparticles Supported MgO/ZnO Catalyst for Reforming of Methane with Carbon Dioxide	R.K.Singha, A.Yadav, A.Agrawal, A.Shukla, S.Adak, T.Sasaki and R.Bal	Applied Catalysis B: Environmental	7C, 9C	162

※被引用数は 2025 年 7 月 Scopus 調べ

2015 年出版

論文タイトル	著者名	雑誌名	使用 BL	被引用数
PLEKHM1 Regulates Autophagosome-Lysosome Fusion through HOPS Complex and LC3/GABARAP Proteins	D.G.McEwan, D.Popovic, A.Gubas, S.Terawaki, H.Suzuki, D.Stadel, F.P.Coxon, D.MirandadeStegmann, S.Bhogaraju, K.Maddi, A.Kirchof, E.Gatti, M.H.Helfrich, S.Wakatsuki, C.Behrends, P.Pierre and I.Dikic	Molecular Cell	5A	450
High-Capacity Electrode Materials for Rechargeable Lithium Batteries: Li ₃ NbO ₄ -Based System with Cation-Disordered Rocksalt Structure	N.Yabuuchi, M.Takeuchi, M.Nakayama, H.Shiiba, M.Ogawa, K.Nakayama, T.Ohta, D.Endo, T.Ozaki, T.Inamasu, K.Sato and S.Komaba	Proceedings of the National Academy of Science, USA	9C	444
Toll-Like Receptor 8 Senses Degradation Products of Single-Stranded RNA	H.Tanji, U.Ohoto, T.Shibata, M.Taoka, Y.Yamauchi, T.Isobe, K.Miyake and T.Shimizu	Nature Structural & Molecular Biology	5A, NE3A	318
Structural Basis of CpG and Inhibitory DNA Recognition by Toll-Like Receptor 9	U.Ohoto, T.Shibata, H.Tanji, H.Ishida, E.Krayukhina, S.Uchiyama, K.Miyake and T.Shimizu	Nature	17A, NE3A	315
Use of Synchrotron Radiation-Analytical Techniques to Reveal Chemical Origin of Silver-Nanoparticle Cytotoxicity	L.Wang, T.Zhang, P.Li, W.Huang, J.Tang, P.Wang, J.Liu, Q.Yuan, R.Bai, B.Li, K.Zhang, Y.Zhao and C.Chen	ACS Nano	NW10A	264
High-Temperature Superconductivity in Potassium-Coated Multilayer FeSe Thin Films	Y.Miyata, K.Nakayama, K.Sugawara, T.Sato and T.Takahashi	Nature Materials	28A,28B	258
Direct Observation of Bond Formation in Solution with Femtosecond X-Ray Scattering	K.Kim, J.Kim, S.Nozawa, T.Sato, K.Oang, T.Kim, H.Ki, J.Jo, S.Park, C.Song, T.Sato, K.Ogawa, T.Togashi, K.Tono, M.Yabashi, T.Ishikawa, J.Kim, R.Ryoo, J.Kim, H.Ihee and S.Adachi	Nature	NW14A	228
Structural and Mechanistic Basis of PAM-Dependent Spacer Acquisition in CRISPR-Cas Systems	J.Wang, J.Li, H.Zhao, G.Sheng, M.Wang, M.Yin and Y.Wang	Cell	1A, 17A, NW12A	217
New Insight into Structural Evolution in Layered NaCrO ₂ during Electrochemical Sodium Extraction	K.Kubota, I.Ikeuchi, T.Nakayama, C.Takei, N.Yabuuchi, H.Shiiba, M.Nakayama and S.Komaba	Journal of Physical Chemistry C	9C	187
Structural Basis for Self-Assembly of a Cytolytic Pore Lined by Protein and Lipid	K.Tanaka, J.M.M.Caaveiro, K.Morante, J.M.González-Manás and K.Tsumoto	Nature Communications	5A, NW12A, NE3A	186

※被引用数は 2025 年 7 月 Scopus 調べ

付録

付録 1. 低速陽電子実験施設

付録 2. PF の活動に関する統計データ（ビームタイムの配分状況 評点別データ）

付録 3. ビームラインの性能仕様一覧

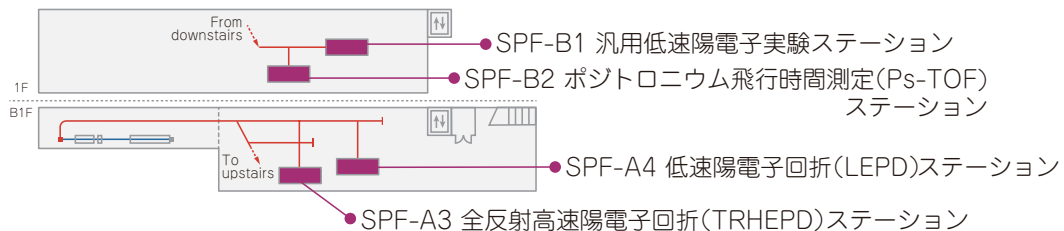
付録 1. 低速陽電子実験施設

和田 健

物質構造科学研究所 低速陽電子実験施設

ビームライン

SPF
Slow Positron Facility



1. 概要

低速陽電子実験施設 (Slow Positron Facility、SPF) では、加速器により生成した高強度低速陽電子ビームを用いた物質最表面および表面直下数原子層の原子配列の精密決定、ポジトロニウム (Ps) や Ps 負イオンといったエキゾチック粒子の基礎的性質の解明、およびそれらの粒子と物質との相互作用の解明等を目的とした共同利用実験を推進している。陽電子は、専用加速器によって 50 MeV 程度に加速した電子を重金属（タンタル）標的に入射し、制動放射 X 線からの電子陽電子対生成によって得ている。得られる陽電子は幅の広いエネルギー分布をもつが、負の陽電子仕事関数を持つ物質に入ると、エネルギーを失った（熱化した）後にそのごく一部が表面から負の仕事関数に対応するエネルギーで再放出される。当施設ではその目的のために厚さ 25 μm のタングステン薄膜を井桁状に組んだものを用いている（タングステンの陽電子仕事関数は -3 eV）。このエネルギーの揃った再放出陽電子を再加速して得られるエネルギー可変単色陽電子ビームのことを、「低速陽電子ビーム」と呼ぶ。SPF では、0.1 ~ 35 keV の任意のエネルギーに再加速した低速陽電子ビームを、磁場により各実験ステーションに供給している [1-3]。

共同利用実験は、全反射高速陽電子回折 (TRHEPD、トレプト)、低速陽電子回折 (LEPD、レプト)、汎用ステーションにおける低速陽電子利用実験、Ps 飛行時間測定 (Ps-TOF) の 4 つの実験ステーションで実施している。全反射高速陽電子回折 (TRHEPD) においても上で説明した方法でエネルギーを単色化した「低速陽電子」を用いるが、電子による反射高速電子回折 (RHEED) の陽電子版なので、それとの対応から「高速」陽電子回折と呼ばれる。さらに「全」反射と呼ばれるのは、電子にはない全反射が起きるためである。汎用ステーションでは、現在、Ps のレーザー冷却実験が行われている。

専用加速器は、電子銃と 30 MW クライストロン 1 本か

らプレバンチャー、バンチャー、4 m の S バンド加速管 1 本にマイクロ波を供給する構成の電子線形加速器（リニアック）である。電子陽電子対生成と低速陽電子ビーム生成の過程はナノ秒以下のオーダーで終了してしまうため、低速陽電子ビームのパルス時間幅はリニアックによる加速電子のパルス時間幅を反映する。SPF では、パルス幅 1.2 μs のロングパルスモードと、14 ns のショートパルスモードの 2 つのパルスモードでの 50 Hz 運転を行っている。

専用リニアックの保守管理・運転は、加速器第 5 研究系（入射器）が担当している。陽電子生成標的から下流側のビームラインの保守管理・運転および共同利用実験は、物構研（低速陽電子実験施設と放射光実験施設）が担当している。

スタッフは、自身の研究と共に、ビームライン・ステーションの管理・運用と研究開発を行い、共同利用研究を推進している。構成ビームライン・実験ステーション名と担当者は下表のとおり。

SPF では、一台の専用リニアックで生成した低速陽電子ビームを、輸送ラインの途中の異なる場所で 4 本 (SPF-A3、A4、B1、B2) に分岐して、ビームタイム毎のタイムシェア方式で共同利用実験に供している（ビームを同時に複数

BL・実験ステーション	担当者	備考（ユーザー運営、大学運営など）
SPF-A3・TRHEPDステーション	和田 健	
SPF-A4・LEPDステーション	和田 健	
SPF-B1・汎用低速陽電子実験ステーション	和田 健	現在は Ps のレーザー冷却実験に用いられている。
SPF-B2・Ps-TOFステーション	和田 健	

の実験ステーションに供給することはできない)。共同利用のビームタイムは、放射光共同利用実験審査委員会(PF-PAC)の評点に基づいて配分される。どの課題も計測時間を要する蓄積型実験で、1課題に対して、1期あたり概ね3-4日間程度割り振られる。ビーム輸送パラメータのセットアップはスタッフが対応しているが、経験のあるユーザーは、輸送パラメータ変更などを各自で行うことが可能である。

各実験ステーションの概要は以下のとおり。

【SPF-A3:全反射高速陽電子回折(TRHEPD)ステーション】

SPF-A3ステーションでは、ロングパルスモードの高強度・高輝度低速陽電子ビームを用いて、全反射高速陽電子回折(Total-reflection high-energy positron diffraction、TRHEPD、トレプト)実験[4-6]を行っている。

実験は、図1に示すように、10 keVに加速した高輝度陽電子ビームを試料表面にすれすれの視射角で入射し、進行方向に對面したスクリーンに現れる回折パターンを撮影する。入射陽電子ビームに対する試料の視射角(θ)を変化させながらパターン取得する方法(ロッキング曲線と呼ばれる)と、方位角(φ)を変化させながらパターン取得する方法(方位角プロットと呼ばれる)の自動測定が可能である。

構造解析では、可能性のある様々な原子座標を仮定したロッキング曲線や方位角プロットの計算データセットを、得られた実験データと比較して、最も適合する原子座標を探査する。計算は多重散乱を考慮した回折理論が用いられる。

測定試料の標準的な大きさは10 mm × 4 mm × 0.5 mm(t)である。試料は、ロードロック室を経由して、超高真空を破らず測定チャンバ内の試料マニピュレータに搬送できる、試料温度は、直接通電加熱もしくは電子衝撃加熱による高温域の温度制御(500 K ~ 1500 K程度)と、GM冷凍機とヒーターを併用した低温域の温度制御(15 K ~ 250 K程度)が可能である。

また、独立したTRHEPD測定用の試料準備チャンバーがオフラインに設置され、現在以下のプローブ・設備が整備されている: LEED/AES装置; RHEED装置; Ar⁺イオンスパッタ装置; 蒸着源用ポート(ICF70 × 4); 電子衝撃(最大印加電圧2 kV)加熱型3源エバポレータ; O₂ガス導入; H₂ガス導入; 試料通電/電子衝撃加熱機構; 試料冷却/温

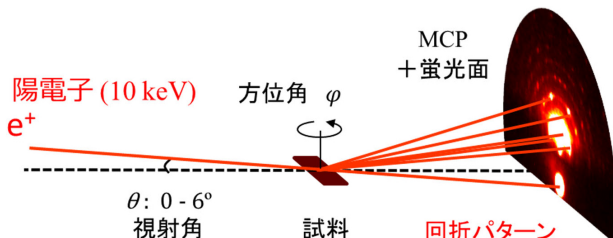


図1 TRHEPD実験配置

度制御機構; 試料ストッカー×5; 試料交換用ロードロック室; 超高真空維持型試料トランസファーベッセル; 試料ホルダ×6; 試料温度測定用放射温度計; 四重極形質量分析計など。

【SPF-A4:低速陽電子回折(LEPD)ステーション】

SPF-A4ステーションでは、ロングパルスモードで生成された高輝度・高強度低速陽電子ビームを用いた、試料表面への垂直入射による低速陽電子回折(Low-energy positron diffraction、LEPD、レプト)の開発と実験を行っている。LEPDは、低速電子回折(Low-energy electron diffraction、LEED)の陽電子版である。

実験は、図2に示すように、数十から数百 eV の高輝度陽電子ビームを試料表面に主に垂直に入射し、後方散乱によって得られる回折パターンを観測する。近年微小表面領域の観測ニーズが高まっており、例えば角度分解光電子分光(ARPES)実験では顕微的装置開発が急速に進展している。陽電子回折においても、微小領域観測のためには、垂直入射による回折手法の開発が重要である。

LEED装置は、清浄表面や表面結晶の対称性などの確認に用いられることが多いが、定量的なI-V解析によって、精密な表面構造決定にも使用される。この解析では、入射ビームのエネルギーの関数として各回折スポット強度を測定し、可能性のある様々な原子座標を仮定した計算データセットと比較して、最も適合する原子座標を探査する。計算には多重散乱を考慮した回折理論が用いられる。このLEED I-V解析は、表面構造解析の確立された手法であるが、LEEDの計算精度には限界があり、構造解析がうまくいかないことがある。

陽電子は電子との交換相互作用が無く原子との散乱因子が単純で、電子よりも浅い最表面および表面直下3~4原子層にのみ感度がある。

LEPD実験では、パルス幅1.2 μsのロングパルスモードの低速陽電子ビームを、パルスストレッチャーにより、200 μsから20 msの間の任意のパルス幅まで伸長する[7]。LEPD観測に用いる位置敏感検出器(Delay-line detector、DLD)は、1つ1つの陽電子の時間情報をと共に記録できるが、多重検出の処理能力には限界があるため、準連続ビームへ

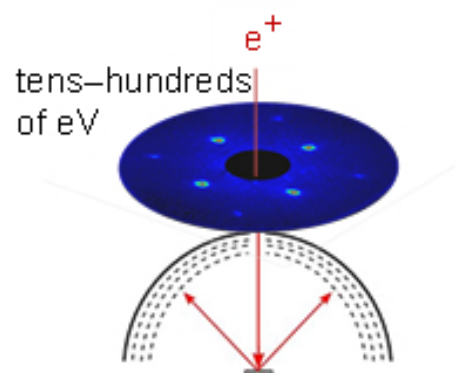


図2 TRHEPD実験配置

の変換が必要だからである。このパルスストレッチャーは、各陽電子パルスを長さ約 6 m の Penning-Malmberg トрапにトラップした後、その 20 ms 秒後（50 Hz 運転の場合）に次のパルスが来る前に、トラップした陽電子を一定エネルギーで徐々に下流側に放出するものである。LEPD 実験では、このパルスストレッチャーによる 5.2 keV の準 DC ビームを用いている。2017 年度に、加速器ベースの高強度低速陽電子ビームを用いた LEPD パターンの観測に世界で初めて成功した [8]。

LEPD の共同利用ステーションの整備が進み、表面構造解析のための実用的な回折実験が可能となった。現在、様々な金属表面における実験データの蓄積とデータ解析を進めている。放射光実験施設 (PF) における角度分解光電子分光 (ARPES) 等と共に化した Omicron 型試料ホルダが導入されており、超高真空搬送容器を用いて試料を搬送することにより、PF の一部の実験ステーションとの間で同一試料を用いた測定が可能となっている。

【SPF-B1: 汎用低速陽電子実験ステーション】

SPF-B1 は汎用ステーションで、ショートパルスモードのビームの特長を利用した種々の研究のために用意されている。レーザー設置用の定盤を置くスペースが確保されており、これまでにレーザーを用いた Ps 負イオンの光脱離の研究やそれを応用したエネルギー可変 Ps ビームの生成実験などが行われてきた。

現在は、Ps のレーザー冷却実験が行われている。直線導入機に取付けた Ps 生成ターゲット（シリカエアロゲル）を真空チャンバ内に設置し、ショートパルスモードの低速陽電子ビームをターゲットに入射すると、ターゲットで生成された Ps（スピニ三重項のオルソポジトロニウム）がビーム上流側に放出される。この Ps にレーザーを照射して $^1S_0 - ^3P_J$ ($J = 0, 1, 2$) 遷移を引き起こすことによって、Ps のレーザー冷却および温度の測定を行っている（ここで 1S_0 および 3P_J は原子物理で一般に用いられる項記号 $n^{2S+1}L_J$ （ただし、 $L=0,1,2, \dots$ を S,P,D, … と表記）に従って表したエネルギー準位である。 n は主量子数、 J は軌道角運動量 (L) とスピン角運動量 (S) を合わせた全角運動量を表す）。

【SPF-B2：ポジトロニウム飛行時間測定 (Ps-TOF) ステーション】

SPF-B2 では、ショートパルスモードの低速陽電子ビームを用いて、ポジトロニウムの飛行時間測定 (Positronium time-of-flight, Ps-TOF) 実験を行っている。

Ps-TOF 装置の概略を図 3 に示した。試料位置でのショートパルスモードのパルス幅は 14 ns 程度である。試料に対する陽電子入射エネルギーは、低速陽電子ビームの輸送エネルギー、あるいは、試料への印可電圧を調整することによって行う。なお、試料直前には接地されたグリッドが設置されている。

このビームを試料に打ち込み、試料表面から放出される

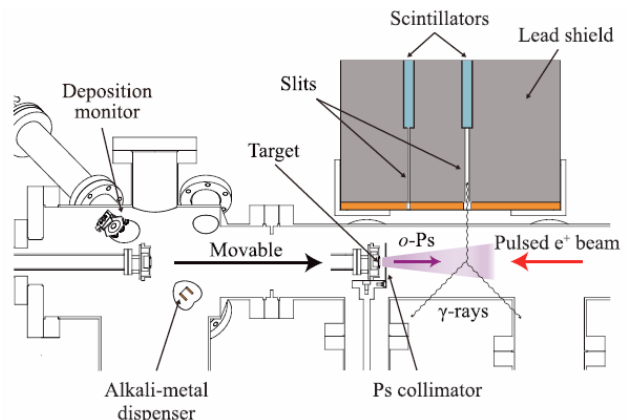


図 3 Ps-TOF 実験装置 [9]

オルソポジトロニウムの飛行時間を測定する。測定チャンバ上流部には、試料位置から水平距離にして 40 mm および 120 mm の位置に鉛スリットとシンチレーション検出器が設置されており、真空中の寿命 142 ns のオルソポジトロニウムが各検出器の真下を通る時に自己消滅して発生した γ 線のうち 1 本を検出する。検出器の光電子増倍管からの信号を高速デジタイザに入力し、リニアックのタイミング信号をトリガーとして飛行時間スペクトルを得る。陽電子の入射時刻は、入射後 200 ps 程度の時間内に試料内で消滅した陽電子からの消滅 γ 線がスリットの鉛シールドを抜けたものがプロンプト信号として同じ飛行時間スペクトルに検出されるので、それを利用して知る。

測定試料の標準的な大きさは 15 mm × 15 mm × 2 mm (t) である。試料の背面には電子衝撃による加熱機構が備えられている。

本ステーションには、Ps-TOF 測定システムの他、RHEED 装置、蒸着源用ポート (ICF70 × 1)、O₂ ガス導入、試料温度測定用放射温度計等が備えられている。ただし現在は、GM 冷凍機によって試料を冷却しながらの Ps-TOF 実験実施のために、これらの設備は一時的に取外している。

2. 活動内容

2024 年 2 月 11 日未明に、2 次ビームラインの最上流から 2 番目に位置するビーム輸送用ソレノイドコイルへの電流供給配線において、接地電位と短絡する事象が発生した。運転中は現場近辺の線量が高くなることから、長期的な放射線照射によって配線被覆が劣化したことが原因と考えられる。これを受け、2024 年春の休止期間中に、放射線シールド内に設置されている当該コイルを含む 4 つのコイルへの配線を耐放射線性が比較的高いと思われるポリイミドテープ巻きガラス編組電線に交換した。当初は、納期の都合により抵抗値が高めのワイヤを一時的に使用したが、2024 年夏の休止期間に、あらためてより低抵抗のワイヤに交換した。

2024 年度第 2 期より、SPF 専用リニアックの加速電子パワーを増強しての運転が開始された。それまでは、加速電子パワーを 530 W 以下に制限した運転を行っていた。

その理由となっていた加速器上階のクライストロンギャラリー実験室における線量率について再測定を実施したところ、値が十分に低いことが確認された。これにより、加速電子パワーを増強しても問題が無いと判断され、放射線管理室より上限 1.2 kW での条件運転が認められた。2024 年度第 1 期のユーザー運転終了後のスタディ期間中に、加速電子パワーを 950 W 程度まで引き上げての試運転が実施された。2024 年度第 2 期および第 3 期のユーザー運転では、加速電子パワー 930 W 程度での運転を実施した。

2024 年度第 2 期の運転において、低速陽電子ビームに変動が生じ、それと連動して陽電子生成ターゲット部の電位モニター出力にも大きな変動が観測された。この現象は、ロングパルスモードにおいて、陽電子生成ターゲット部に 5 kV を印加して運転する場合に確認され、同じロングパルスモードでも 15 kV 印加時 (TRHEPD 用) や、ショートパルスモードでの運転時にこうした変動は確認されなかった。5 kV ロングパルスモードで変動が生じた際には、加速器のビーム軌道やカレントの調整によって一時的に安定する条件を見出すことができたものの、半日ほど経過すると再び変動が発生するという傾向が見られた。変動の原因は現時点でも特定されていないが、LEPD 以外の実験に対する影響は無いことから、状況を注視しつつ共同利用実験を継続した。なお、第 3 期の運転では同様の変動は確認されなかったが、安定化した要因については明らかになっていない。

2024 年 11 月に、2 次ビームライン最上流部に設置されている真空インターロック用ゲージ GAB1 において真空ディスターが発生し、それに連動して、2 次ビームラインのメインビームシャッター (MBS) として使用しているゲートバルブが閉じ、ビームが停止する事象が複数回発生した。調査の結果、原因是 GAB1 のゲージコントローラの老劣化によるものであることが判明した。具体的には、真空値のログ取得コマンドを受信した際にエラーが発生し、その際、仕様上リレー接点が OFF 状態となることで、インターロック信号が変化しディスターが惹き起こされていた。応急処置として、当該ゲージに対する真空値ログ取得コマンドの送信を停止し、真空インターロック機能のみに専念させる設定とした。その後、当該ゲージコントローラを新品と交換し、真空値のログ取得を再開した。以降は同様の問題は発生していない。

低速陽電子実験施設 1F のクライストロンギャラリー実験室では、Ps のレーザー冷却および精密分光実験などの共同利用実験を効率的に進めるため、同室南側の実験スペース全体をレーザー用に間仕切りで囲い、レーザーブースとして運用する模様替えを実施した。この措置は、安全性と利便性を両立する方法として、以前より安全衛生室およびレーザー安全担当者から推奨されていた方式である。2024 年 11 月には、安衛室、施設部、放射線管理室、PF 安全担当による現場確認および指導を経て、加速器および PF の運転当番向け説明会を実施し、運用を開始した。

2024 年度第 2 期の運転から専用リニアックのビームモ

ニターシステムに不調が生じていた。ビームカレントの値は正常にモニターできていたものの、ビームポジションの確認に支障があった。この問題に対し、2024 年度冬の停止期間中に加速器シールドを開けて現場での確認作業が行われ、専用リニアックビームのスクリーンモニター用のカメラに不具合があることが判明し、当該カメラの交換が実施された。カメラの不具合の原因として、放射線損傷が疑われたため、カメラの周囲をシールドで覆い、今後は定期的に放射線損傷の影響を確認することとなった。また、2024 年度夏の休止期間中に電流モニター (CoreMonitor2, CM2) 本体とケーブルが交換されたことに伴いゲインが数倍変化した。これに対応し、上流側の CM1 の電荷測定値に合わせるかたちで、較正が実施された。

2023 年 5 月に実施された共同利用ユーザーによる実験において、電子と陽電子から成る水素原子様束縛状態であるポジトロニウム (Ps) のレーザー冷却に世界で初めて成功した。この成果は、2024 年 9 月に論文として公表された (図 4)。Ps はレプトンのみで構成される特異な「原子」

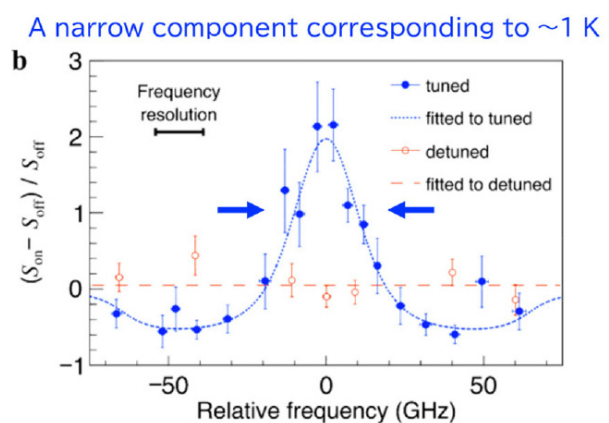
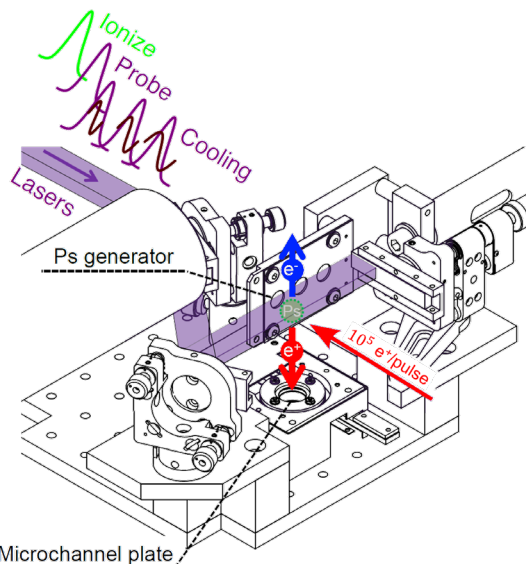


図 4 (上図) Ps レーザー冷却の実験配置図。(下図) Ps レーザー冷却によるドップラープロファイルの変化 (文献 [10] より転載)。

であり、束縛系量子電磁力学（QED）を高精度に検証するための理想的な系と考えられる。しかし、その寿命の短さ（スピニ三重項の基底状態で 142 ns）と、質量の軽さ（水素原子の 1/900 程度）に起因する広いドップラー広がりのため、長年にわたり精密分光が困難とされてきた。この課題に対し、中心周波数が逐次的に変化するパルス列を出力する革新的なレーザーシステムが、共同利用ユーザーによって開発された。このレーザーを、低速陽電子汎用実験ステーション（SPF-B1）におけるショートパルスモードの高強度低速陽電子ビームによる Ps 生成と組み合わせることで、Ps の 1 次元冷却が実現した。これにより、分光できる Ps のうちおよそ 10% を 600 K から 1 K 程度にまで冷却することに成功した [10]。

この成果は、Ps を用いた高精度分光や反物質の基礎物理に新たな進展をもたらすものと期待されており、英国物理学会（Institute of Physics, IOP）が発行する Physics World 誌において、「Top 10 Breakthroughs of the Year in physics for 2024」の 1 つに選出された [11]。

次の段階として、Ps の 3 次元冷却実験に向けた準備が進められている。SPF-B1 のある低速陽電子実験施設 1F のクライストロンギャラリー実験室では、前述のレーザーブースの整備に加え、実験ステーションの全面刷新が進められた。新実験ステーションでは、ソレノイド磁場によって輸送された低速陽電子ビームを、Ps 生成およびレーザー分光が行われる非磁場領域に取り出すための新しいレンズ系を導入した。このレンズ系は、もともと陽電子回折実験用に開発を進めてきたものを、Ps レーザー冷却・精密分光実験に転用した。

LEPD ステーションの改良を進め、2023 年度から 2024 年度にかけて桁違いの高速化を実現し、*I-V* 曲線による構造解析に必要な約 100 枚の回折パターンを 2 時間程度で取得できるようになった。また、SPF-A4 の LEPD ステーションと PF BL-13B の角度分解光電子分光（ARPES）ステーションの双方で共通に使用可能な新設計の試料ホルダを開発し、PF で開発された超高真空搬送ベッセルにより、同一試料・同一試料表面作成条件のもとで LEPD と ARPES 測定を連携して行う環境を整備した。現在、新 LEPD 実験ステーションによる構造解析の検証が Cu(001) 表面をベンチマークに用いて進行中であり、既に LEED を越えた実験と計算の高度な一致が得られることが確認できている。

解析には、TRHEPD 向け開発が開始され、その後さまざまな量子ビーム計測手法の汎用データ解析プラットフォームとして整備された「2DMAT」（ツーディーマット）を用いている。2DMAT は、ポピュレーションアニーリングモンテカルロ（PAMC）法などを取り入れた大域探索型の逆問題解析プラットフォームであり、局所解に陥ることなく正しい大域解を見出すことが可能な解析フレームワークである [12,13]。そのことが保証されているために、物理的に妥当でない解が得られたとき、それが局所解である可能性にあまりとらわれることなく、効率的に、実験データ

あるいは解析コードも含めた広い視点から原因の特定と改良ができる。これは、2DMAT の可能性が本来想定された以上に広いことを示す大きな利点で、実際に LEPD 解析においては、実験データにおける系統的なずれ（くり返し実験によって明らかにすることのできない不確かさ）を見出し、多数の検出器と測定法の改良を行った。さらに、計算コードや計算条件の見直しや最適化を効率的に進めている。

陽電子回折実験（TRHEPD と LEPD）では、磁場によって輸送された低速陽電子ビームを、ビーム輸送用ソレノイド磁場から開放したのち、透過型減速材（リモデレータ）に収束させて輝度を増強している。透過型リモデレータとして、TRHEPD 用に厚さ 100 nm の W 結晶、LEPD 用に厚さ 150 nm の Ni 結晶を用いており、輝度を増強したいビームをこれらへ高効率に収束入射することは、ビーム技術開発の核心をなす要素である。これまでの開発により、磁性体薄膜による磁場遮蔽構造と磁場収束レンズの組合せによって、ビームの輸送効率と収束性能の向上を実現した。さらに、磁場遮蔽構造と磁場収束レンズの距離をつめた光学系の改造を行い、最終段の磁場収束レンズによって形成されるビーム径は、改造前の 1.7 mm から 1.0 mm へと大幅に縮小され、中心強度も桁違いに増大した。ビーム内の単位面積あたりの陽電子密度としては約 2 桁の向上が達成されており、これに対応する下流側の静電レンズシステムの開発によって、陽電子回折装置全体の革新的な性能向上が期待される。この新レンズ系は、すでに前述の 3 次元 Ps レーザー冷却実験ステーションにも導入し、使用が開始されている。さらに、磁場遮蔽グリッドと磁場収束レンズとの距離を可能な限り詰めた新たな光学系を開発した。

3. 今後の展望

SPF-A3（TRHEPD ステーション）は、本格的に共同利用実験を開始した 2013 年以降、認知度も上がりユーザーは増加している。引き続き、TRHEPD の表面超敏感性を活かして、表面特性が重要なグラフェンやボロフェン（ホウ素の単原子シート）などの原子層状物質、もしくはそれらを複合した多原子層状物質や化合物、新たに合成された超薄膜物質、機能性触媒物質などの構造解析の研究を推進する。これまでよりも長周期の表面構造の解析のニーズも高まっており、コーヒーレンズ長のより長いビームの生成を検討している。SPF-A4（LEPD ステーション）は、全面改良により、表面構造解析のための実用的な実験ステーションとなった。得られた実験データの解析ソフトウェアの開発と、それを用いた実際の構造解析の実証を進め、TRHEPD に加え、もう 1 つの表面構造解析の基盤ツールとして KEK 施設利用者に提供していく。LEPD は垂直入射方式のため、微小な試料や表面の平滑性に多少乏しい試料表面の観測も可能になる。将来的には、狙った微小結晶ドメインに対する、放射光による角度分解光電子分光（ARPES）との 2 ビーム利用実験への発展が期待できる。SPF-B1 で実施中の Ps レーザー冷却実験においては、実験

を開始した3次元レーザー冷却の実現と、それによるPsのエネルギー準位や質量の精密な測定を通して、物理学の基礎理論の検証や反物質の性質の理解など、物理学が抱える謎を解くための研究分野が大きく進展することが期待できる。

引用文献

- [1] K. Wada, T. Hyodo, *et al.*, Eur. Phys. J. D **66**, 37 (2012).
- [2] 和田健,「KEK低速陽電子実験施設の現状と最近の研究」陽電子科学 **3**, 11 (2014).
- [3] 和田健,「低速陽電子ビームの生成と物質研究への応用」第40回高エネルギー加速器セミナー OHO' 23 講義テキスト (2023).
- [4] M. Maekawa, K. Wada, *et al.*, Eur. Phys. J. D **68**, 165 (2014).
- [5] 兵頭俊夫,「全反射陽電子回折(TRHEPD)による表面構造解析」固体物理 **53**, 705 (2018年11月号 p141).
- [6] Y. Fukaya, A. Kawasuso, *et al.*, J. Phys. D: Appl. Phys. **52**, 013002 (2019).
- [7] K. Wada, *et al.*, Nucl. Instrum. Methods Phys. Res. Sect. A **975**, 164161 (2020).
- [8] K. Wada, T. Shirasawa, *et al.*, e-J. Surf. Sci. Nanotechnol. **16**, 313 (2018).
- [9] S. Iida, K. Wada, *et al.*, J. Phys.: Condens. Matter **28**, 475002 (2016).
- [10] K. Shu, Y. Tajima, *et al.*, Nature **633**, 793 (2024).
- [11] <https://physicsworld.com/a/top-10-breakthroughs-of-the-year-in-physics-for-2024-revealed/>
- [12] <https://www.pasums.issp.u-tokyo.ac.jp/2dmat/>
- [13] Y. Motoyama, K. Yoshimi, *et al.*, Comp. Phys. Commun. **280**, 108465 (2022).

付録 2. PF の活動に関する統計データ（ビームタイム配分状況）

2024 年度に有効であった共同利用実験課題の評点分布（5 点満点）と、ビームライン毎のビームタイムの配分状況をビームライン群毎に図と表で示す。評点分布（図）では実験課題カテゴリー（G、S2、U、T、MP）毎に色分けして示している。配分状況（表）には、年度内 3 期（2024 年 4-7 月、2024 年 10-12 月、2025 年 2-3 月）に毎に、有効課題数（共同利用実験以外も含む）、ビームタイム配分率（Allocated Beamtime）=（配分ビームタイムの総和）／（利用希望ビームタイムの総和）、ビームタイムの配分が可能であった最低の評点（Cutoff Score）をまとめた。

1) 第 1 分科ビームライン群（真空紫外・軟 X 線ビームライン、低速陽電子ビームライン）

第 1 分科ビームライン群は、PF リングの電子エネルギー（2.5 GeV）の特徴を活かした真空紫外・軟 X 線のエネルギー領域を用いた光電子分光、吸収分光、軟 X 線顕微鏡などの手法を用いた実験研究をカバーしている（低速陽電子実験施設のビームラインも第 1 分科に含めている）。特に PF リングの直線部増強により整備された挿入光源ビームライン（BL-2、BL-13、BL-16、BL-19、BL-28）の利用ニーズは引き続き高く、多くの S2 型課題が実施されていることによって競争率が高い状況となっている。

Subcommittee 1

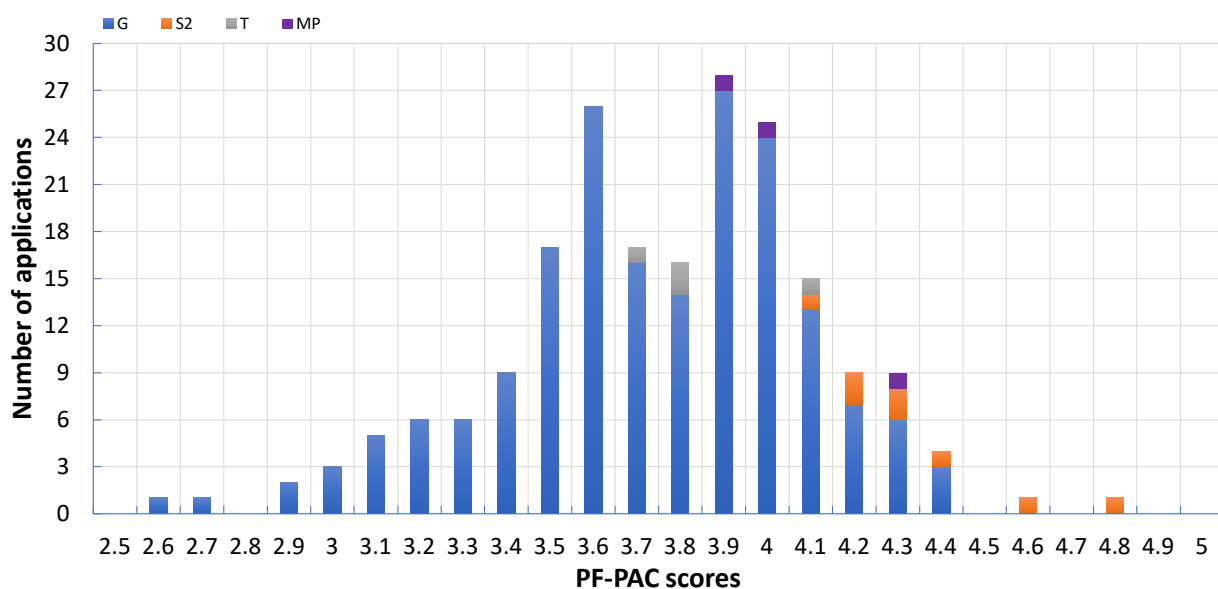


図 1 第 1 分科ビームライン群（真空紫外・軟 X 線ビームラインおよび低速陽電子ビームライン）の有効共同利用実験課題の評点分布

表 1 第 1 分科ビームライン群（真空紫外・軟 X 線ビームラインおよび低速陽電子ビームライン）の 3 期分のビームタイム配分率

Beamline	Light Source	Subcommittee 1								
		2025/2-3			2024/10-12			2024/4-7		
		No. of Proposals	Allocated Beamtime	Cutoff Score	No. of Proposals	Allocated Beamtime	Cutoff Score	No. of Proposals	Allocated Beamtime	Cutoff Score
BL-2A/B (VUV and Soft X-ray spectroscopy)	U	31	61%	3.5	31	100%	2.9	30	99%	2.9
BL-13A/B (VUV and Soft X-ray spectroscopy)	U	38	43%	3.0	37	100%	1.0	37	89%	3.0
BL-16A (Soft X-ray spectroscopy)	U	40	38%	3.6	39	64%	2.6	42	69%	2.7
BL-28A/B (VUV and Soft X-ray spectroscopy)	U	25	33%	3.8	25	73%	3.1	24	74%	3.2
BL-3B (VUV and Soft X-ray spectroscopy)	BM	3	0%	0.0	3	100%	3.5	3	99%	3.5
BL-11A (R&D Beamline planning)	BM	-	-	-	-	-	-	-	-	-
BL-11B (R&D Beamline in planning)	BM	-	-	-	-	-	-	-	-	-
BL-12A (Soft and Tender X-ray Beamline under construction)	BM	19	72%	2.7	19	100%	2.7			
BL-19A/B (Soft X-ray Microscopy (STXM) and Spectroscopy)	U	45	37%	3.9	41	75%	3.4	33	100%	3.4
BL-20A (VUV spectroscopy)	BM	6	90%	3.3	6	101%	3.9	6	93%	3.9
BL-27A (Radiation biology and XPS for radioactive samples)	BM	15	89%	3.0	15	100%	3.0	15	100%	3.0
SPF (Slow positron facility)	SP	14	37%	3.7	14	68%	3.3	15	67%	3.3

2) 第2分科ビームライン群（硬X線回折・散乱実験用ビームライン）

第2分科ビームライン群は、硬X線エネルギー領域での回折・散乱実験により、単結晶や粉末の構造解析を行う構

造物性分野を主な対象としており、特に単結晶構造解析とX線回折測定用のビームライン（BL-3A、4C、8A、8B）の利用ニーズが高く、それぞれ30件程度の実験課題を実施している。

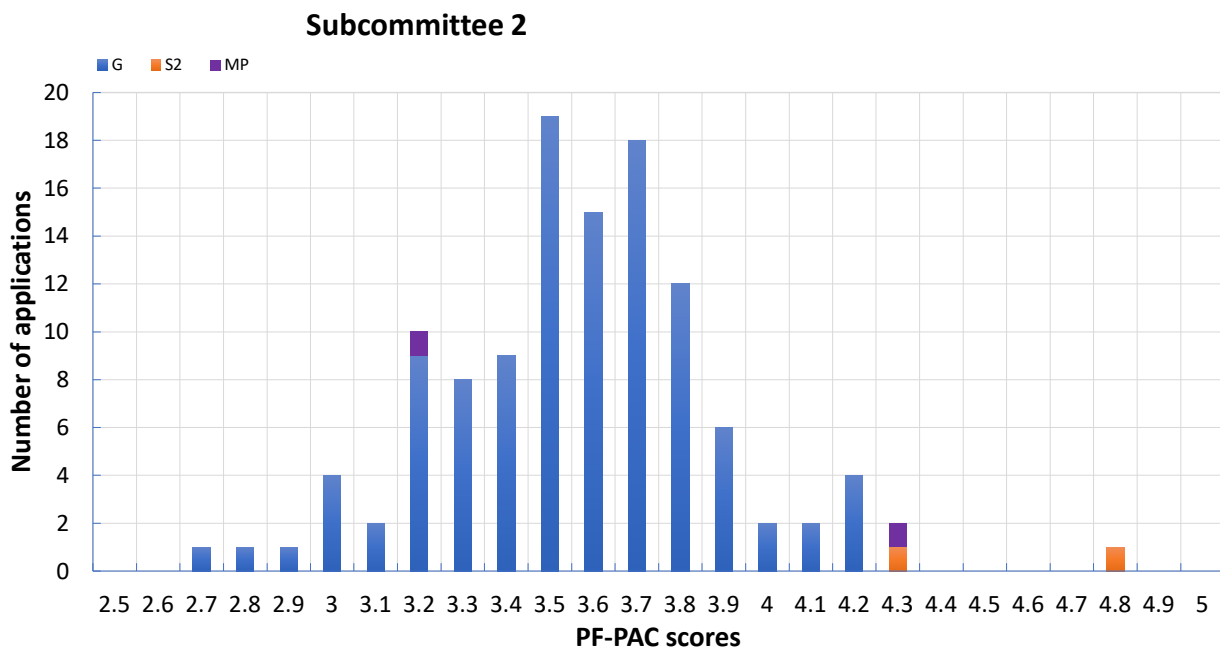


図2 第2分科ビームライン群（硬X線回折・散乱実験用ビームライン）の有効共同利用実験課題の評点分布

表2 第2分科ビームライン群（硬X線回折・散乱実験用ビームライン）の3期分のビームタイム配分率

Beamline	Light Source	Subcommittee 2			2024/10-12			2024/4-7		
		No. of Proposals	Allocated Beamtime	Cutoff Score	No. of Proposals	Allocated Beamtime	Cutoff Score	No. of Proposals	Allocated Beamtime	Cutoff Score
BL-3A (X-ray diffraction)	SGU	27	37%	3.6	27	73%	3.2	33	94%	3.2
BL-4C (X-ray diffraction)	BM	21	52%	3.4	20	87%	3.0	25	98%	3.2
BL-4B2 (X-ray powder diffraction)	BM	8	101%	3.2	8	100%	3.2	7	100%	3.5
BL-6C (X-ray diffraction)	BM	15	49%	3.0	15	79%	3.0	15	65%	3.0
BL-7C (Multipurpose)	BM	9	65%	3.4	8	101%	2.8	9	100%	2.8
BL-8A,8B (X-ray diffraction)	BM	34	79%	3.2	34	100%	3.2	32	100%	3.2
BL-10A (X-ray diffraction)	BM	9	72%	3.2	9	88%	3.2	7	82%	3.3
BL-14A (X-ray diffraction and detector studies)	VW	4	100%	0.0	4	100%	3.4	4	99%	3.4

3) 第3分科ビームライン群（硬X線分光ビームライン）

第3分科ビームライン群は、硬X線分光測定による物質・材料の化学状態、分子構造の研究等を対象としており、対象となるビームライン群は学術・産業界の広範なユーザーに利用されている。特にX線吸収微細構造(XAFS)ビームライン(BL-9A、9C、12C、AR-NW2A、AR-NW10A)

は多数の実験課題を実施しており、高い利用ニーズを有している。

BL-15A1は、マイクロビームを必要とする実験に特化されているため課題数は多くはないが、小角散乱(第5分科)のBL-15A2と時間を分けた利用となっていて配分率が少し低くなっている。

Subcommittee 3

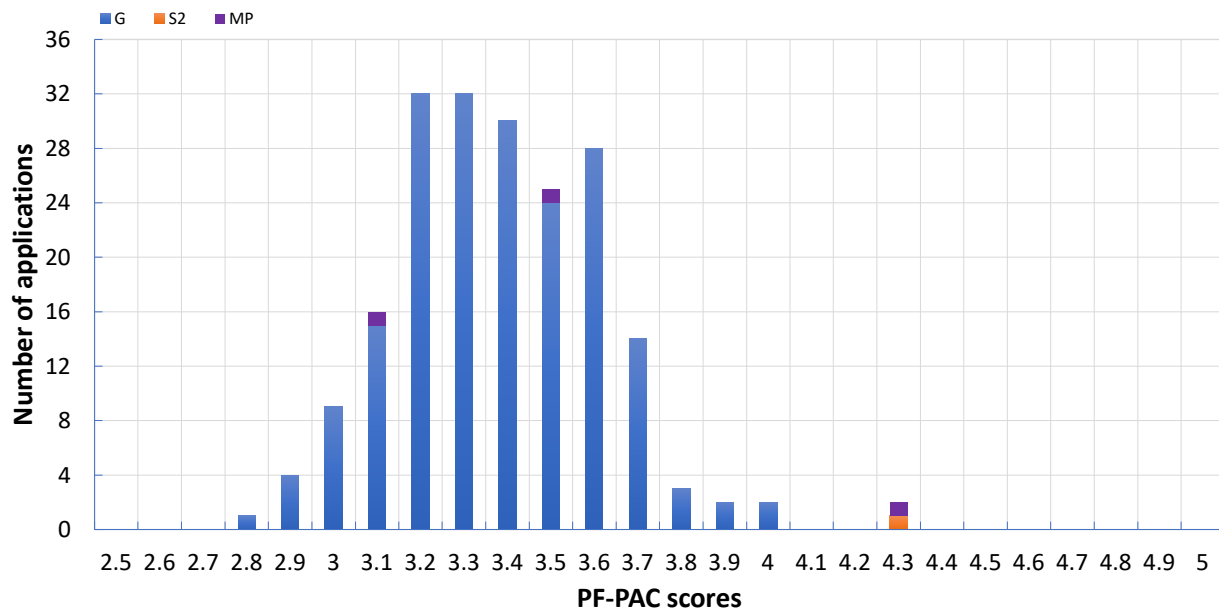


図3 第3分科ビームライン群（硬X線分光ビームライン）の有効共同利用実験課題の評点分布

表3 第3分科ビームライン群（硬X線分光ビームライン）の3期分のビームタイム配分率

Beamline	Light Source	Subcommittee 3						2024/10-12			2024/4-7		
		No. of Proposals	Allocated Beamtime	Cutoff Score	2025/2-3			No. of Proposals	Allocated Beamtime	Cutoff Score	No. of Proposals	Allocated Beamtime	Cutoff Score
					2024/10-12	2024/4-7	2025/2-3						
BL-4A (X-ray fluorescence and microbeam)	BM	13	60%	3.1	13	101%	3.1	14	100%	3.1	125	100%	2.9
Beamlines for XAFS (BL-9A, 9C, 12C)	BM	128	59%	3.3	126	99%	2.9	14	100%	3.5	8	100%	3.0
BL-15A1 (Microbeam XAFS and XRD)	SGU	18	0%	0.0	18	100%	3.3	127	96%	3.0	124	86%	3.1
AR-NW2A (Time resolved XAFS and XRD)	U	9	92%	3.6	8	100%	3.5	22	100%	3.0	25	100%	2.9
AR-NW10A (High energy XAFS)	BM	127	46%	3.3	127	100%	3.0	124	86%	3.1	0	0	0
BL-27B (Radiation biology and XAFS for radioactive samples)	BM	22	95%	3.0	22	100%	3.0	0	0	0	0	0	0

4) 第4分科ビームライン群（タンパク質結晶構造解析）

第4分科ビームライン群（タンパク質結晶構造解析）ビームライン：BL-1A、5A、17A、AR-NE3A、AR-NW12A）は130件程度の実験課題を実施している。タンパク質結晶

構造解析の測定試料は規格標準化が進めやすく、計測自動化により短時間で多くの実験課題を実施できる環境が整備されていることもあり、ビームタイム配分率は100%に近くになっている。

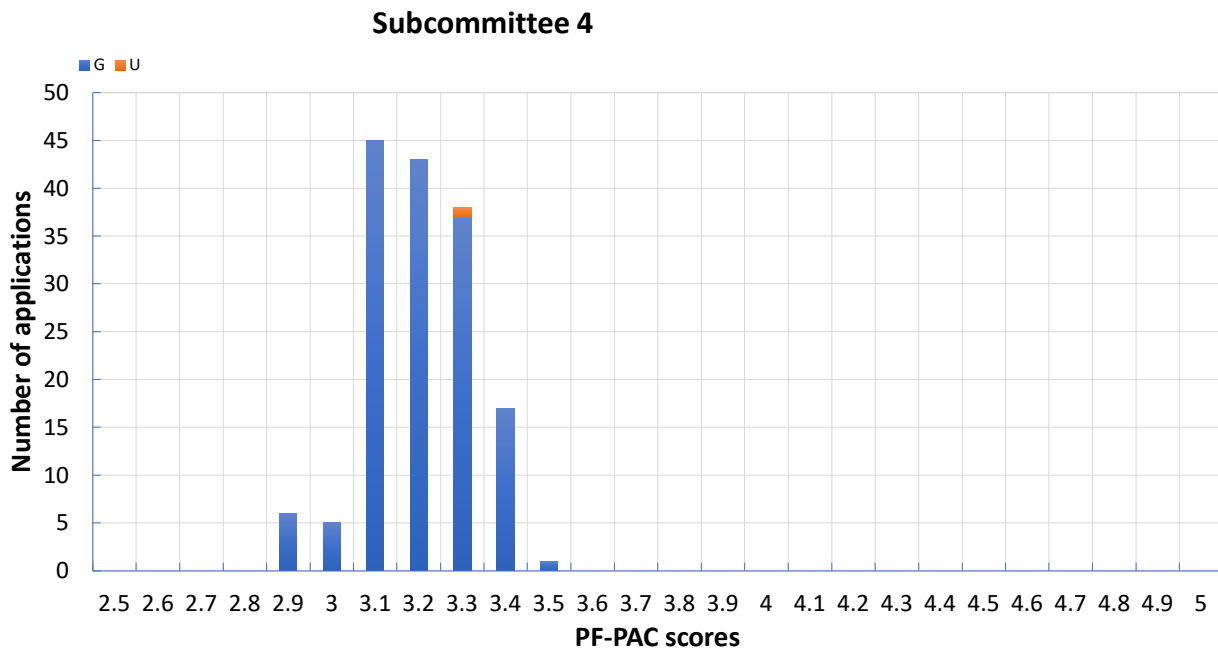


図4 第4分科ビームライン群（タンパク質結晶構造解析）の有効共同利用実験課題の評点分布

表4 第4分科ビームライン群（タンパク質結晶構造解析）の3期分のビームタイム配分率

Beamline	Light Source	Subcommittee 4								
		2025/2-3			2024/10-12			2024/4-7		
		No. of Proposals	Allocated Beamtime	Cutoff Score	No. of Proposals	Allocated Beamtime	Cutoff Score	No. of Proposals	Allocated Beamtime	Cutoff Score
Beamlines for protein crystallography (BL-1A, 5A, 17A, NE3A, NW12A)	SGU, MPW, U	131	96%	2.9	130	96%	2.9	126	96%	2.9

5) 第5分科ビームライン群（X線小角散乱ビームライン）

第5分科ビームライン群（X線小角散乱ビームライン：

BL-6A、10C、15A2）も90件以上の実験課題を実施しており、ユーザーニーズが高い。

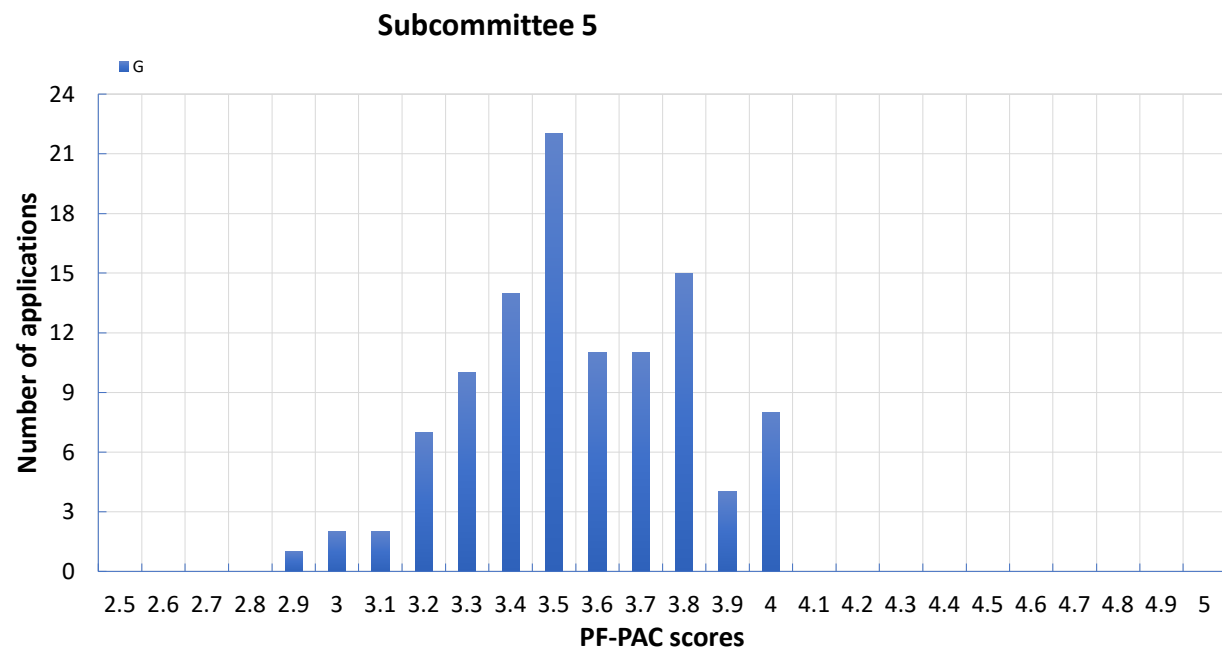


図5 第5分科ビームライン群（X線小角散乱ビームライン）の有効共同利用実験課題の評点分布

表5 第5分科ビームライン群（X線小角散乱ビームライン）の3期分のビームタイム配分率

Beamline	Light Source	Subcommittee 5								
		2025/2-3			2024/10-12			2024/4-7		
		No. of Proposals	Allocated Beamtime	Cutoff Score	No. of Proposals	Allocated Beamtime	Cutoff Score	No. of Proposals	Allocated Beamtime	Cutoff Score
Beamlines for SAXS (BL-6A, 10C, 15A2)	BM, SGU	97	51%	3.5	98	92%	2.9	93	100%	3.0

6) 第6分科ビームライン群（高圧・超高速時間分解・X線イメージングビームライン）

第6分科ビームライン群（高圧・超高速時間分解・X線イメージングビームライン）は、PFリングに設置されて

いる世界唯一の垂直偏向超伝導ウィグラーや常時シングルバンチ運転のPF-ARの特徴を活かした手法でユニークな研究が行われている。

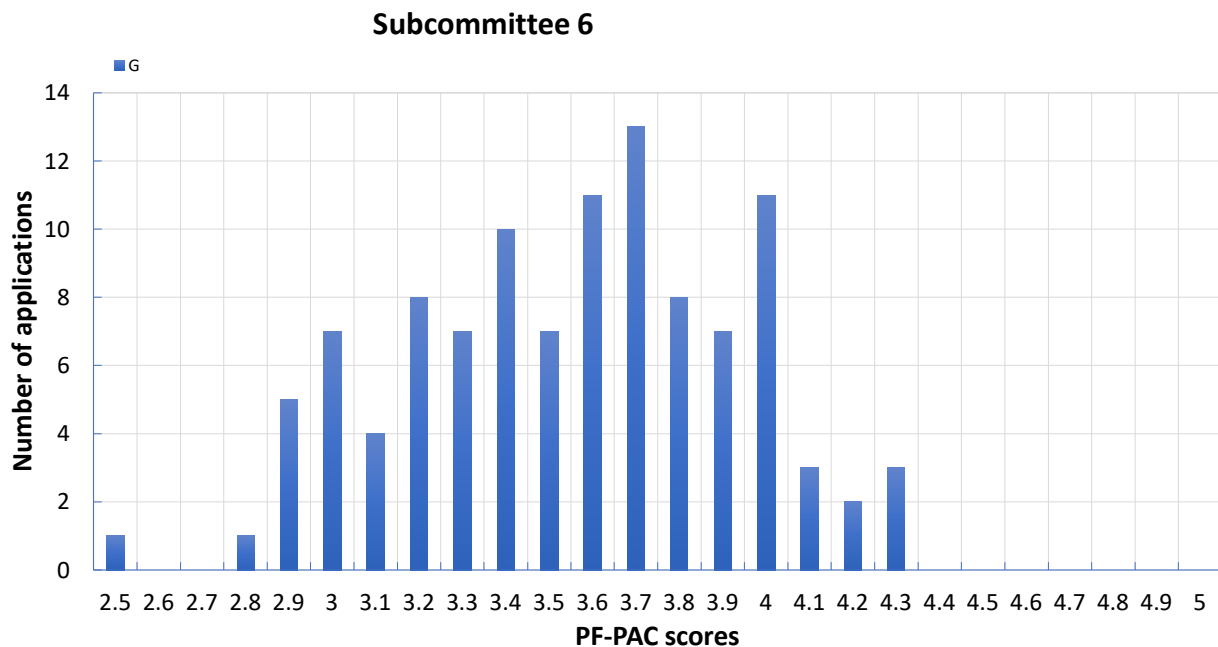


図6 第6分科ビームライン群（高圧・超高速時間分解・X線イメージングビームライン）の有効共同利用実験課題の評点分布

表6 第6分科ビームライン群（X線小角散乱ビームライン）の3期分のビームタイム配分率

Beamline	Light Source	Subcommittee 6								
		2025/2-3			2024/10-12			2024/4-7		
		No. of Proposals	Allocated Beamtime	Cutoff Score	No. of Proposals	Allocated Beamtime	Cutoff Score	No. of Proposals	Allocated Beamtime	Cutoff Score
BL-3C (Multipurpose)	BM	8	95%	3.5	8	100%	3.3	8	100%	3.5
BL-14B (X-ray optics)	VW	16	63%	2.9	15	96%	2.5	14	100%	2.5
BL-14C (X-ray imaging)	VW	20	44%	2.9	19	100%	2.9	18	99%	2.9
AR-NE7A without high pressure experiment (X-ray imaging)	BM	8	0%	0.0	8	99%	2.8	9	71%	2.8
BL-20B (X-ray topography and diffraction)	BM	6	66%	3.2	6	100%	3.2	6	100%	3.2
BL-18C (High pressure science)	BM	20	56%	3.3	19	99%	3.3	21	100%	3.3
AR-NE1A (High pressure science)	EMPW	9	54%	3.9	9	95%	3.5	10	80%	3.5
AR-NE5C (High pressure science)	BM	7	98%	3.8	7	90%	3.7	7	86%	3.7
AR-NE7A, high pressure experiment only	BM	8	77%	3.2	8	100%	3.2	9	100%	3.2
AR-NW14A (Time resolved experiment)	U	12	48%	3.4	12	80%	3.4	12	76%	3.4

付録3. ビームラインの性能仕様一覧

表1 硬X線実験ステーションの性能表

ステーション名	水平取込角 (mrad)	分光器	ミラー	光のエネルギー 範囲 (keV)	ビームサイズ (H×V) (mm)	試料位置での光子数 (photons/s)	エネルギー 分解能 (ΔE/E)×10 ⁻⁴	参考文献
BL-1A	0.01	Channel-Cut Si(111) Liquid N ₂ Cooling	Bimorph Si Rh-Coated Si Rh-Coated	3.7 ~ 4.5 11.2 ~ 12.9	0.013×0.013	5×10 ¹⁰ @11.2 keV	~2	1, 2
BL-3A	1	Flat Double Crystal Si(111)	Bent Cylinder	4 ~ 14	0.6×0.4	6×10 ¹²	~5	3, 4
BL-3C	1.75	Double Crystal Si(111)	None	4 ~ 20 or white	20×6 (mono) 0.1×0.1 (white)		~2	
BL-4A	6	Double Crystal Si(111)	KB mirror polycapillary	4 ~ 17	0.005×0.005 0.03×0.03		~2	5, 6
BL-4B2	4.5	Flat Double Crystal Si(111)	Bent Cylinder	6 ~ 20	13×2		~2	7, 8
BL-4C	2	Flat Double Crystal Si(111)	Bent Cylinder	5 ~ 18	0.8×0.6		~5	9, 10
BL-5A	0.125	Double Crystal Si(111) Liquid N ₂ Cooling	Bent Plane Si Rh-Coated Bent Cylinder Si Rh-Coated	6.5 ~ 17	0.8×0.2	1.3×10 ¹¹ (0.2×0.2 mm ²)	~2	
BL-6A	2	Bent Crystal Ge(111) (α = 8.0°)	Bent Cylinder ULE	8.3 (fixed)	0.5×0.2	1.0×10 ¹² /mm ² (Slit full-open)	~10	11, 12
BL-6C	2	Flat Double Crystal Si(111)	Bent Cylinder	5 ~ 20 (~25 non-Focus)	0.5×0.3			
BL-7C	4	Double Crystal Si(111) Sagittal Focusing	Double Mirror Fused Quartz Focusing	4 ~ 20 (4 ~ 13)	5×1	1×10 ¹⁰ /6 mm ² (8 keV, 300 mA) (1×10 ¹¹ when focused)	~2	13 - 15
BL-8A	2.22	Flat Double Crystal Si(111)	Bent Cylinder	5 ~ 19	0.82×0.52	3.2×10 ¹¹ (12.4 keV, 400 mA)	~5	16
BL-8B	2.21	Flat Double Crystal Si(111)	Bent Cylinder	5 ~ 19	0.75×0.45	2.2×10 ¹¹ (12.4 keV, 400 mA)	~5	16
BL-9A	3	Double Crystal Si(111)	Collimating and Focusing Bent Conical Mirrors Rh-Coated Double Flat Mirror Ni-Coated	2.1 ~ 15	0.5×0.3	6×10 ¹¹ (7 keV, 450 mA)	2	17, 18
BL-9C	3.5	Double Crystal Si(111)	Bent Cylinder Rh-Coated	4 ~ 20	0.8×0.6	1×10 ¹¹ (8 keV, 450 mA)	~2	
BL-10A	1	Si(111), Si(311) Quartz(100) PG(002) Curved Si(111) (α ~ 4°, 8°)	Plane Pt Coated Fused Quartz	5 ~ 25	10×3		10~5	19
BL-10C	2.1	Fix-Exit Double Crystal Si(111)	Bent Cylinder Rh-Coated	6 ~ 14	0.63×0.18	1.5×10 ¹¹ (8 keV)	2	20
BL-12A (T-path)	5	Double Crystal Si(111) or InSb(111)	Bent Cylinder Ni-coated	1.7 ~ 5	0.9×1.9	6.3 × 10 ¹¹ (3 keV, 450 mA)	~2	

ステーション名	水平取込角 (mrad)	分光器	ミラー	光のエネルギー 範囲 (keV)	ビームサイズ (H×V) (mm)	試料位置での光子数 (photons/s)	エネルギー 分解能 (ΔE/E)×10 ⁻⁴	参考文献
BL-12C	2	Double Crystal Si(111)	Bent Cylinder Rh-Coated, Double Flat Mirror Ni-Coated	4 ~ 23	0.6×0.6	9×10 ¹⁰ (8 keV, 450 mA)	~2	21
BL-14A	1.28 (Vertical)	Double Crystal Si (111) Si (311) Si (553)	Bent Cylinder Rh-Coated Fused Quartz	5.1 ~ 19.1 9.9 ~ 35.6 22.7 ~ 84.5	2×1 at focus 5×38		2	22
BL-14B	2.2 (Vertical)	Flat Double Crystal Si(111)	None	10 ~ 57	5×14		2	23
BL-14C	1.96 (Vertical)	Double Crystal Si(111), Si(220)	None	5 ~ 100 or white	6×70		2	24, 25
BL-15A1	0.2	Double Crystal Si(111) Liquid N ₂ Cooling	Horizontal: Bent Plane Si Bimorph Silica Rh-Coated Vertical: Bent Plane Si Rh-Coated Double Flat Si Ni-Coated	2.1 ~ 15	0.02×0.02	3.5×10 ¹¹ (7.5 keV, 450 mA)	~2	26, 27
BL-15A2	0.2	Double Crystal Si(111) Liquid N ₂ Cooling	Horizontal: Bent Plane Si Bimorph Silica Rh-Coated Vertical: Bent Plane Si Rh-Coated Double Flat Si Ni-Coated	2.1 ~ 15	0.6×0.04	3.5×10 ¹¹ (7.5 keV, 450 mA)	~2	26, 28, 29
BL-17A	0.1 ~ 0.2	Double Crystal Si(111) Liquid N ₂ Cooling	Horizontal: Bent Plane Si Rh-Coated Bimorph Silica Rh-Coated Vertical: Bent Plane Si Rh-Coated Bimorph Silica Rh-Coated	6 ~ 13	0.08×0.016	3.1×10 ¹¹ (12.4 keV, 450 mA, 0.04×0.016 mm ²)	~2	30 - 32
BL-18B [India, DST]	2	Double Crystal Si(111)	Plane and Bent Cylinder	6 ~ 20			~2	
BL-18C	1	Double Crystal Si(111)	Cylinder Fused Quartz Pt-Coated	6 ~ 25	0.07×0.04		~2	
BL-20B	2	Double Crystal Si(111)	None	5 ~ 25 or white	26×5	1×10 ¹¹ (12 keV, 450 mA)	~2	
BL-27B	4	Double Crystal Si(111)	None	4 ~ 20	100×6		~2	33
AR-NE1A	0.28	Micro-Channel Double Crystal Si(111), High- Resolution Channel Cut Si(4,2,2)&(12,2,2)	Bent Plane W/C Multilayer Coated Si	6 ~ 50	0.8×0.2	8×10 ¹¹ (0.2×0.2 mm ²)	~2	
AR-NE3A	H:0.2 V:0.1	Double Crystal Si(111) Liquid N ₂ Cooling	Pre-Mirror Bent Flat Si Rh-Coated Post-Mirror Bent Cylinder Fused Quartz Rh-Coated	6.5 ~ 17	0.8×0.2	8×10 ¹¹ (0.2×0.2 mm ²)	~2	34, 35

ステーション名	水平取込角 (mrad)	分光器	ミラー	光のエネルギー範囲 (keV)	ビームサイズ (H×V) (mm)	試料位置での光子数 (photons/s)	エネルギー分解能 ($\Delta E/E \times 10^{-4}$)	参考文献
AR-NE5C	3	Double Crystal Si(111)	None	30 ~ 100 or white	60×5		5	36
AR-NE7A	4	Double Crystal Si(111)		25 ~ 50 or white	80×3		5	
AR-NW2A	H:1.0 V:0.2	Double Crystal Si(111) Liquid N ₂ Cooling	Bent Cylinder Si Rh-Coated Bent Flat Si Rh-Coated	5 ~ 25	0.6×0.2 ~10×0.06	6×10 ¹² (12 keV, 60 mA)	~2	27, 37 - 39
AR-NW10A	1.2	Si(311)	Bent Cylinder Pt-Coated, Double Flat Mirror Rh-Coated	8 ~ 42	2.2×0.5	1×10 ¹⁰ (22 keV, 60 mA)	~1	40
AR-NW12A	H:0.3 V:0.1	Double Crystal Si(111) Liquid N ₂ Cooling	Pre-Mirror Bent Flat Si Rh-Coated Post-Mirror Bent Cylinder Si Rh-Coated	6.5 ~ 17	1.3×0.3	2×10 ¹¹ (0.2×0.2 mm ²)	~2	41 - 43
AR-NW14A	H:0.3 V:0.1	Double Crystal Si(111) Liquid N ₂ Cooling	Bent Cylinder Rh-Coated Bent Flat Rh-Coated	4.9 ~ 25	0.45×0.25	1×10 ¹²	~2	44

India DST: インド政府科学技術省 (Department of Science & Technology)

引用文献

- [1] Liebschner *et al.* Acta Cryst. D **72**, 728 (2016).
- [2] M. Hiraki, N Matsugaki, Y. Yamada and T. Senda. AIP Conf. Proc. **1741**, 030029 (2016).
- [3] Photon Factory Activity Report 2006, #**24**, A 64 (2008).
- [4] Photon Factory Activity Report 2006, #**24**, A 104 (2008).
- [5] A. Iida, X-Ray Spectrom. **26**, 359 (1997).
- [6] A. Iida, X-Ray Spectrom. **40**, 376 (2011).
- [7] Powder Diffraction User Group, KEK Report 94-11 (1995).
- [8] H. Toraya, H. Hibino, and K. Ohsumi, J. Synchrotron Rad. **3**, 75 (1996).
- [9] H. Iwasaki *et al.*, Rev. Sci. Instrum. **60**, 2406 (1989).
- [10] Photon Factory Activity Report 1995 #**13**, E-1 (1996).
- [11] N. Shimizu *et al.*, J. Phys.: Conf. Ser. **425**, 202008 (2013).
- [12] H. Takagi *et al.*, AIP Conf. Proc. **1741**, 030018 (2016).
- [13] M. Nomura and A. Koyama, KEK Internal, 93-1 (1993).
- [14] M. Nomura *et al.*, KEK Report, 91-1 (1991).
- [15] M. Nomura and A. Koyama, in "X-ray Absorption Fine Structure", ed. by S. S. Hasnain, Ellis Horwood, Chichester, **667** (1991).
- [16] A. Nakao *et al.*, AIP Conf. Proc. **1234**, 367 (2010).
- [17] M. Nomura and A. Koyama, J. Synchrotron Rad. **6**, 182 (1999).
- [18] M. Nomura and A. Koyama, Nucl. Instrum. Meth. A **467-468**, 733 (2001).
- [19] S. Sasaki, Rev. Sci. Instrum. **60**, 2417 (1989).
- [20] N. Shimizu *et al.*, AIP Conf. Proc. **2054**, 060041 (2019).
- [21] M. Nomura and A. Koyama, KEK Report, 95-15 (1996).
- [22] Y. Satow and Y. Iitaka, Rev. Sci. Instrum. **60**, 2390 (1989).
- [23] M. Ando *et al.*, Nucl. Instrum. Meth. A **246**, 144 (1986).
- [24] Photon Factory Activity Report 1999, #**17**, A 92 (2000).
- [25] Photon Factory Activity Report 1999, #**17**, A 103 (2000).
- [26] N. Igarashi *et al.*, J. Phys.: Conf. Ser. **425**, 072016 (2013).
- [27] Y. Niwa *et al.*, AIP Conf. Proc. **2054**, 050003 (2019).
- [28] H. Takagi *et al.*, Appl. Phys. **120**, 142119 (2016).
- [29] H. Takagi *et al.*, AIP Conf. Proc. **2054**, 060038 (2019).
- [30] N. Igarashi *et al.*, AIP Conf. Proc. **879**, 812 (2007).
- [31] N. Igarashi *et al.*, J. Synchrotron Rad. **15**, 292 (2008).
- [32] Y. Yamada *et al.*, J. Synchrotron Rad. **20**, 938 (2013).
- [33] H. Konishi *et al.*, Nucl. Instrum. Meth. A **372**, 322 (1996).
- [34] Y. Yamada *et al.*, AIP Conf. Proc. **1234**, 415 (2010).
- [35] M. Hiraki *et al.*, AIP Conf. Proc. **1234**, 673 (2010).
- [36] T. Kikegawa *et al.*, Rev. Sci. Instrum. **66**, 1335 (1995).
- [37] T. Mori *et al.*, AIP Conf. Proc. **705**, 255 (2004).
- [38] H. Kawata *et al.*, AIP Conf. Proc. **705**, 663 (2004).
- [39] Y. Inada *et al.*, AIP Conf. Proc. **879**, 1230 (2007).
- [40] M. Nomura *et al.*, AIP Conf. Proc. **882**, 896 (2007).
- [41] L. M. G. Chavas *et al.*, J. Synchrotron Rad. **19**, 450 (2012).
- [42] L. M. G. Chavas *et al.*, J. Phys.: Conf. Ser. **425**, 012008 (2013).
- [43] L. M. G. Chavas *et al.*, J. Synchrotron Rad. **20**, 838 (2013).
- [44] S. Nozawa *et al.*, J. Synchrotron Rad. **14**, 313 (2007).

表2 真空紫外・軟X線実験ステーションの性能表

ステーション名	スリットサイズ H×V(mrad) または アンジュレータの パラメータ	分光器	溝密度 (/mm)	光のエネルギー 範囲 (eV)	ビームサイズ H×V(mm)	エネルギー分解能 (E/ΔE) 光子数 (photons/s)	参考文献
BL-2A ID02-1: Planer Undulator ID02-2: Variable Polarized Undulator	ID02-1: $K_{\max} = 2.3$, $\lambda_u = 6 \text{ cm}$ ID02-2: $K_{\max} = 4.93$, $\lambda_u = 16 \text{ cm}$	Variable-Included-Angle Varied-Line-Spacing Plane Grating	400 600 1000	35 ~ 2000	$\sim 0.5 \times 0.1$	2000 ~ 20000 $10^{13} \sim 10^{11}$	1
BL-2B ID02-1: Planer Undulator ID02-2: Variable Polarized Undulator	ID02-1: $K_{\max} = 2.3$, $\lambda_u = 6 \text{ cm}$ ID02-2: $K_{\max} = 4.93$, $\lambda_u = 16 \text{ cm}$	Variable-Included-Angle Varied-Line-Spacing Plane Grating Double Crystal InSb(111), Ge(111), Si(111)	400 600 1000	35 ~ 4000	$\sim 0.5 \times 0.1$	2000 ~ 20000 $10^{13} \sim 10^{11}$	1
BL-3B	10×2	Grazing Incidence $R = 24 \text{ m}$ $\alpha + \beta = 165^\circ$ 1800	200 600	10 ~ 280	$< 2\phi$	200 ~ 3000 $10^{12} \sim 10^9$	2, 3
BL-7A [RCS]	6×1	Varied-Line-Spacing Plane Grating	150 300 650	50 ~ 1300	2.5×0.5	1000 ~ 9000 $10^{12} \sim 10^9$	4
BL-12A (S-path)	30×10 mm	Variable-Included-Angle Varied-Line-Spacing Plane Grating	800	80 ~ 2000	0.7×0.75	~ 3000 9.0×10^{10} @800 eV	
BL-13A/B Variable Polarized Undulator	$K_{\max} = 5.28$ (Horizontal Linear Polarization) $K_{\max} = 3.65$ (Vertical Linear Polarization) $\lambda_u = 7.6 \text{ cm}$	Variable-Included-Angle Varied-Line-Spacing Plane Grating	300 1000	50 ~ 330 100 ~ 2000	$\sim 0.22 \times 0.05$	4000 ~ 12000 $10^{13} \sim 10^9$	5-9
BL-16A ID16-1 & ID16-2: Variable Polarized Undulator	$K_{\max} = 2.37$ (Circular Polarization) $K_{\max} = 3.12$ (Horizontal Linear Polarization) $K_{\max} = 1.98$ (Vertical Linear Polarization) $K_{\max} = 1.73$ (45-deg Linear Polarization) $\lambda_u = 5.6 \text{ cm}$	Variable-Included-Angle Varied-Line-Spacing Plane Grating	100, 250, 500, 1000	250 ~ 1500	$\sim 0.2 \times 0.1$	4000 ~ 8000 $10^{12} \sim 10^{11}$	10, 11
BL-19A/B Variable Polarized Undulator	$K_{\max} = 4.50$ (Horizontal Linear Polarization) $K_{\max} = 2.87$ (Vertical Linear Polarization) $K_{\max} = 2.42$ (Circular Polarization) $\lambda_u = 6.8 \text{ cm}$	Variable-Included-Angle Varied-Line-Spacing Plane Grating	600 1200	90 ~ 2000	0.2×0.05 (19B)	> 5000 10^{13}	1
BL-20A	28 × 5	3 m Normal Incidence	1200 2400	5 ~ 40	2×1	300 ~ 30000 $10^{12} \sim 10^8$	12
BL-27A	5 × 0.5	Double Crystal InSb (111)		1800 ~ 4000		2000	13
BL-28A/B Variable Polarized Undulator	$K_{\max} = 4.93$ (Horizontal Linear Polarization) $K_{\max} = 4.93$ (Vertical Linear Polarization) $\lambda_u = 16.0 \text{ cm}$	Variable-Included-Angle Varied-Line-Spacing Plane Grating	400	30 ~ 300	0.1×0.04 0.01×0.012	30000 $10^{12} \sim 10^{11}$	1, 14

RCS: 東京大学大学院理学系研究科附属スペクトル化学研究センター (Research Center for Spectrochemistry)

引用文献

- [1] K. Amemiya and T. Ohta, J. Synchrotron Rad. **11**, 171 (2004).
- [2] A. Yagishita *et al.*, Nucl. Instrum. Meth. A **306**, 578 (1991).
- [3] S. Masui *et al.*, Rev. Sci. Instrum. **63**, 1330 (1992).
- [4] K. Amemiya *et al.*, J. Elec. Spectrosc. Relat. Phenom. **124**, 151 (2002).
- [5] K. Mase *et al.*, AIP Conf. Proc. **1234**, 709 (2010).
- [6] A. Toyoshima *et al.*, J. Vac. Soc. Jpn. **54**, 580 (2011).
- [7] A. Toyoshima *et al.*, J. Phys.: Conf. Ser. **425**, 152019 (2013).
- [8] A. Toyoshima *et al.*, J. Synchrotron Rad. **22**, 1359 (2015).
- [9] K. Ozawa *et al.*, J. Synchrotron Rad. **29**, 400 (2022).
- [10] K. Amemiya *et al.*, AIP Conf. Proc. **1234**, 295 (2010).
- [11] K. Amemiya *et al.*, J. Phys.: Conf. Ser. **425**, 152015 (2013).
- [12] K. Ito *et al.*, Rev. Sci. Instrum. **66**, 2119 (1995).
- [13] H. Konishi *et al.*, Nucl. Instrum. Meth. A **372**, 322 (1996).
- [14] M. Kitamura *et al.*, Rev. Sci. Instrum. **93**, 033906 (2022).

表3 低速陽電子実験ステーションの性能表

ステーション名	ビームエネルギー	パルス幅	繰り返し周波数	ビーム強度	参考文献
SPF-A3	10 keV	1.2 μs	≤ 50 Hz	$1 \times 10^8 e^+/s$ (before brightness enhancement)	1, 2, 3
SPF-A4	20 eV - 1 keV	1.2 μs (long-pulse mode), 200 μs - 20 ms (pulsestretching mode)	≤ 50 Hz	$1 \times 10^8 e^+/s$ (before brightness enhancement)	4, 5, 6
SPF-B1	100 eV - 35 keV	1-16 ns	≤ 50 Hz	$1 \times 10^7 e^+/s$	7, 8, 9
SPF-B2	100 eV - 35 keV	1-16 ns	≤ 50 Hz	$1 \times 10^7 e^+/s$	10, 11

引用文献

- [1] K. Wada, *et al.*, Eur. Phys. J. D **66**, 37 (2012).
- [2] K. Wada, *et al.*, J. Phys.: Conf. Ser. **443**, 012082 (2013).
- [3] M. Maekawa, *et al.*, Eur. Phys. J. D **68**, 165 (2014).
- [4] K. Wada *et al.*, e-J. Surf. Sci. Nanotechnol. **16**, 313 (2018).
- [5] K. Wada *et al.*, Nucl. Instrum. Methods Phys. Res., Sect. A **975**, 164161 (2020).
- [6] R. Ahmed *et al.*, Nucl. Instrum. Methods Phys. Res., Sect. A **1073**, 170270 (2025).
- [7] K. Michishio *et al.*, Appl. Phys. Lett. **100**, 254102 (2012).
- [8] K. Michishio *et al.*, Nucl. Instrum. Methods **785**, 5 (2015).
- [9] K. Shu *et al.*, Nature **633**, 793 (2024). [
- [10] H. Terabe *et al.*, J. Phys.: Conf. Ser. **443**, 012075 (2013).
- [11] S. Iida *et al.*, J. Phys.: Condens. Matter **28**, 475002 (2016).

